

**TUGAS AKHIR**

**PERHITUNGAN SUPER STRUKTUR RENCANA GEDUNG  
FAKULTAS KEDOKTERAN UNIVERSITAS BOSOWA  
DENGAN METODE BERBASIS KINERJA**



**DISUSUN OLEH :**

**ASRIADI A  
4515041023**

**JURUSAN TEKNIK SIPIL  
FAKULTAS TEKNIK  
UNIVERSITAS BOSOWA  
MAKASSAR  
2022**



**LEMBAR PENGAJUAN UJIAN TUTUP**  
**TUGAS AKHIR**

Judul : “Perhitungan Super Struktur Rencana Gedung Fakultas Kedokteran Universitas Bosowa Dengan Metode Berbasis Kinerja“

Disusun dan diajukan oleh :

N a m a : **ASRIADI A.**

No.Stambuk : **45 15 041 023**

Sebagai salah satu syarat untuk memperoleh gelar Sarjana pada Program Studi Teknik Sipil / Jurusan Sipil Fakultas Teknik Universitas Bosowa Makassar

Telah disetujui oleh Komisi Pembimbing :

Pembimbing I : **Ir. Arman Setiawan, S.T., M.T** (.....) 

Pembimbing II : **Ir. Eka Yuniarto, S.T., M.T.** (.....) 

Mengetahui :

Dekan Fakultas Teknik



**Dr. Ridwan, S.T., M.Si.** //  
NIDN.09-101271-01

Ketua Program Studi / Jurusan Sipil



**Dr. H. A. Rumpang Yusuf,.. MT.**  
NIDN.00-010565-02



### LEMBAR PENGESAHAN

Berdasarkan Surat Keputusan Dekan Fakultas Teknik Universitas Bosowa Nomor : A.110/FT/UNIBOS/I/2022 Tertanggal 21 Januari 2022, perihal Pengangkatan Panitia dan Tim Penguji Tugas Akhir, maka pada :

Hari / Tanggal : Rabu / 26 Januari 2022

Nama : **ASRIADI A.**

Nim : **4515041023**

Fakultas / Jurusan : Teknik / Teknik Sipil

Judul Tugas Akhir : **PERHITUNGAN SUPER STRUKTUR RENCANA  
GEDUNG FAKULTAS KEDOKTERAN  
UNIVERSITAS BOSOWA DENGAN METODE  
BERBASIS KINERJA**

Telah diterima dan disahkan oleh Panitia Tugas Akhir Fakultas Teknik Universitas Bosowa setelah dipertahankan di depan Tim Penguji Ujian Sarjana Strata Satu (S – 1) untuk memenuhi salah satu syarat guna memperoleh gelar Sarjana Teknik pada Jurusan Teknik Sipil Fakultas Teknik Universitas Bosowa.

#### **Tim Penguji Tugas Akhir**

Ketua / Ex. Officio : **Ir. Arman Setiawan, ST., MT.**

()

Sekretaris / Ex. Officio : **Ir. Eka Yuniarto, ST., MT.**

()

Anggota : **Prof. Dr. Ir. M. Natsir Abduh, M.Si.**

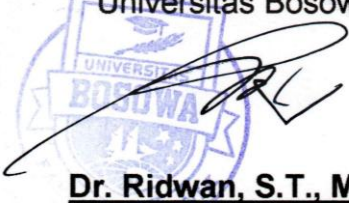
()

: **Dr. Ir. H. Syahrul Sariman, MT.**

()

Mengetahui,

Dekan Fakultas Teknik  
Universitas Bosowa



**Dr. Ridwan, S.T., M.Si.**  
NIDN.09-101271-01

Ketua Program Studi Teknik Sipil  
Fakultas Teknik Universitas Bosowa

  
**Dr. Ir. H. A. Rumpang Yusuf, MT.**  
NIDN.00-010565-02

**SURAT PERNYATAAN**  
**KEASLIAN DAN PUBLIKASI TUGAS AKHIR**

Yang bertanda tangan dibawah ini :

Nama : **ASRIADI A.**  
Nomor Stambuk : **4515041023**  
Program Studi : **Teknik Sipil**  
Judul Tugas Akhir : **PERHITUNGAN SUPER STRUKTUR RENCANA  
GEDUNG FAKULTAS KEDOKTERAN  
UNIVERSITAS BOSOWA DENGAN METODE  
BERBASIS KINERJA**

Menyatakan dengan sebenarnya bahwa :

1. Tugas Akhir yang saya tulis ini merupakan hasil karya saya sendiri dan sepanjang pengetahuan saya tidak terdapat karya atau pendapat yang pernah ditulis atau diterbitkan orang lain, kecuali secara tertulis diacu dalam naskah dan disebutkan dalam daftar pustaka.
2. Demi pengembangan ilmu pengetahuan, saya tidak keberatan apabila Jurusan Teknik Sipil Fakultas Teknik Universitas Bosowa menyimpan, megalith mediakan / mengalih formatkan, mengelola dalam bentuk data base, mendistribusikan dan menampilkannya untuk kepentingan akademik.
3. Bersedia atau menjamin untuk menanggung secara pribadi tanpa melibatkan pihak Jurusan Sipil Fakultas Teknik Universitas Bosowa dari semua bentuk tuntutan hukum yang timbul atas pelanggaran hak cipta dalam tugas akhir ini.

Demikian pernyataan ini saya buat dengan sesungguhnya untuk dapat digunakan sebagaimana mestinya.

Makassar, 23 Februari 2022 :



## **PERNYATAAN KEASLIAN TUGAS AKHIR**

Yang bertanda tangan dibawah ini :

Nama : **ASRIADI A.**  
Nomor Stambuk : **4515041023**  
Program Studi : **Teknik Sipil**  
Judul Tugas Akhir : **PERHITUNGAN SUPER STRUKTUR RENCANA  
GEDUNG FAKULTAS KEDOKTERAN  
UNIVERSITAS BOSOWA DENGAN METODE  
BERBASIS KINERJA**

Menyatakan dengan sebenarnya bahwa penulisan skripsi ini berdasarkan hasil penelitian, pemikiran dan pemaparan dari hasil karya saya sendiri, baik untuk naskah laporan maupun kegiatan programming yang tercantum sebagai bagian dari skripsi ini. Jika terdapat karya orang lain saya akan mencantungkan sumber yang jelas.

Peryataan ini saya buat dengan sesungguhnya dan apabila dikemudian hari terdapat penyimpangan dan ketidakbenaran dalam pernyataan ini, maka saya bersedia menerima sanksi akademik berupa pencabutan gelar yang telah diperoleh karena karya tulis ini dan sanksi lain sesuai dengan peraturan yang berlaku di Universitas Bosowa.

Demikian pernyataan ini saya buat dalam keadaan sadar dan tanpa paksaan dari pihak manapun.

Makassar, 23 Februari 2022:



## PRAKATA

Puji syukur kami panjatkan ke hadirat Allah Subhanahu Wa Taala, karena hanya atas berkat rahmat dan hidayah-Nya penulis dapat menyelesaikan Tugas Akhir ini. Shalawat serta salam kita haturkan kepada Rasulullah Sallallahu Alaihi Wasallam, keluarga dan sahabatnya. Setiap kemudahan dan kesabaran yang telah diberikan-Nya penulis dapat menyelesaikan tugas akhir ini dengan judul **“Perhitungan Super Struktur Rencana Gedung Fakultas Kedokteran Universitas Bosowa dengan Metode Berbasis Kinerja”** sebagai salah satu syarat kelulusan di Jurusan Teknik Sipil Fakultas Teknik Universitas Bosowa.

Selama proses penyusunan Tugas Akhir ini, penulis mendapatkan banyak bimbingan, dukungan dan arahan dari berbagai pihak. Oleh karena itu, dengan segala kerendahan hati dan rasa hormat yang besar penulis menyampaikan rasa terima kasih yang tulus dan sebesar-besarnya kepada:

1. Kedua orang tua dan keluarga yang telah memberikan dukungan moril dan materi serta selalu mendoakan penulis.
2. Bapak Dr. Ridwan, S.T. M.Si, selaku Dekan Fakultas Teknik Universitas Bosowa.
3. Dr. Ir. H. A. Rumpang Yusuf, M.T selaku Ketua Jurusan Sipil Fakultas Teknik Universitas Bosowa.
4. Bapak Ir. Arman Setiawan, S.T., M.T. selaku dosen pembimbing I dan Bapak Ir. Eka Yuniarto, S.T., M.T. selaku dosen pembimbing II

yang selalu sabar dan tulus meluangkan waktunya untuk membimbing penulis dalam menyelesaikan tugas akhir ini. Serta Bapak Dr. Ir. H. Syahrul Sariman, M.T. selaku Ketua Kelompok Dosen Bidang Kajian Struktur serta seluruh dosen dan karyawan Jurusan Sipil Fakultas Teknik Universitas Bosowa.

5. Saudara/Saudari seperjuangan Teknik Sipil 2015, terkhusus kepada saudara Atkal Gunawan, ST, Hardianto Putra Pratama, ST, Arif Hidayat, ST, Muh. Kinantang Putra dan teman-teman Keluarga Besar Jipang Raya terima kasih atas bantuan dan kerjasamanya.
6. Teman-teman di organisasi KBM FT UNIBOS, HMI Komisariat Teknik "45", HMS FT UNIBOS, terkhusus kepada adinda Laode Amal Saputra Tiasa Teknik Sipil 2020 yang telah membantu dan mendukung dalam penggerjaan Tugas Akhir ini.
7. Adek tersayang Adinda Andi Marwah yang telah senantiasa memberikan semangat kepada saya selama penggerjaan tugas akhir ini.

Penulis menyadari bahwa penulisan Tugas Akhir ini tentunya masih jauh dari kesempurnaan. Oleh karena itu, kritik dan saran yang membangun dari pembaca akan sangat bermanfaat bagi penulis. Akhir kata, semoga Tugas Akhir ini dapat bermanfaat bagi semua pihak yang membacanya.

Makassar, 23 Februari 2022

Penulis

---

**PERHITUNGAN SUPER STRUKTUR RENCANA GEDUNG FAKULTAS  
KEDOKTERAN UNIVERSITAS BOSOWA DENGAN METODE  
BERBASIS KINERJA**

---

**Asriadi A<sup>1)</sup> Arman Setiawan<sup>2)</sup> Eka Yuniaro<sup>3)</sup>**

<sup>1</sup> Mahasiswa <sup>2,3</sup> Dosen Pembimbing

<sup>1</sup>asriadi.aa33@gmail.com

**ABSTRAK**

*Indonesia merupakan Negara yang termasuk daerah rawan gempa, tercatat gempa terdahsyat yang terjadi dalam kurun waktu 50 tahun terjadi di Aceh yang mengakibatkan tsunami dengan besaran gempa skala 9,1 magnitude. Di Indonesia sendiri dilewati oleh lempeng Eurasia dan lempeng Indo-Australia sehingga bencana gempa dapat terjadi kapan saja, maka dari itu bangunan gedung dan non-gedung di Indonesia harus didesain mampu menahan gaya gempa yang besar.*

*Perencanaan berbasis kinerja merupakan salah satu konsep mendesain dimana target kinerja bangunan ditentukan terlebih dahulu. Dan pada akhir proses desain, target tersebut dijadikan parameter minimum yang harus dipenuhi.*

*Dalam penelitian ini terdapat dua metode yang dipakai dalam analisis yaitu metode Direct Displacement Based Desain dan metode Analisis statik non-linier (Pushover).*

*Tujuan dari penelitian ini untuk mengidentifikasi hasil output dari kurva kapasitas dan kinerja struktur dengan metode ATC-40, FEMA 356, dan FEMA 440. Tipe bangunan yang dimodelkan berupa bangunan sistem rangka baja pemikul momen khusus yang menghasilkan level kinerja menurut ATC-40, FEMA 356, dan FEMA 440 yaitu Immediate Occupancy. Kata kunci : Gempa, Berbasis Kinerja, Direct Displacement Based Design, Pushover, Level Kinerja.*

## DAFTAR ISI

<b>JUDUL .....</b>	<b>i</b>
<b>LEMBAR PENGAJUAN .....</b>	<b>ii</b>
<b>LEMBAR PENGESAHAN .....</b>	<b>iii</b>
<b>PERNYATAAN KEASLIAN DAN PUBLIKASI TUGAS AKHIR.....</b>	<b>iv</b>
<b>PERNYATAAN KEASLIAN SKRIPSI.....</b>	<b>v</b>
<b>PRAKATA.....</b>	<b>vi</b>
<b>ABSTRAK.....</b>	<b>viii</b>
<b>DAFTAR ISI .....</b>	<b>ix</b>
<b>DAFTAR NOTASI .....</b>	<b>xiv</b>
<b>DAFTAR TABEL .....</b>	<b>xxiv</b>
<b>DAFTAR GAMBAR.....</b>	<b>xxvi</b>
<b>BAB I PENDAHULUAN</b>	
1.1.    Latar Belakang.....	I - 1
1.2.    Rumusan Masalah .....	I - 3
1.3.    Tujuan dan Manfaat Penelitian.....	I - 3
1.3.1.    Tujuan.....	I - 3
1.3.2.    Manfaat.....	I - 3
1.4.    Pokok Bahasan dan Batasan Masalah.....	I - 4
1.4.1.    Pokok Bahasan.....	I - 4
1.4.2.    Batasan Masalah .....	I - 5
1.5.    Sistematika Penulisan.....	I - 5

## **BAB II TINJAUAN PUSTAKA**

2.1.	Tinjauan Umum.....	II - 1
2.2.	Perkembangan Teknologi Desain Tahan Gempa.....	II - 2
2.3.	Konsep Dasar Perencanaan .....	II - 3
2.3.1.	<i>LRFD</i> .....	II - 3
2.3.2.	Perencanaan Gempa Berbasis Kinerja .....	II - 4
2.3.3.	Metode Berbasis Kinerja untuk Sistem Rangka .....	II - 6
2.3.4.	Analisis Beban Dorong Statik Non Linier .....	II - 7
2.3.5.	Kinerja Struktur .....	II - 9
2.3.5.1.	Kinerja Struktur Metode ATC-40 .....	II - 9
2.3.5.2.	Kinerja Struktur Metode <i>FEMA</i> 356 .....	II - 13
2.3.5.3.	Kinerja Struktur Metode <i>FEMA</i> 440 .....	II - 15
2.3.5.4.	Kinerja Batas Ultimit .....	II - 15
2.4.	Konsep Pembebanan .....	II - 17
2.4.1.	Beban Mati .....	II - 17
2.4.2.	Beban Hidup .....	II - 18
2.4.3.	Beban Gempa .....	II - 19
2.4.4.	Kombinasi Pembebanan .....	II - 26
2.5.	Desain Kapasitas .....	II - 27
2.6.	Kekuatan Desain .....	II - 28
2.7.	Studi Literatur .....	II - 28

## **BAB III KONSEP PERENCANAAN/PERHITUNGAN**

3.1.	Model Struktur Bangunan .....	III - 1
------	-------------------------------	---------

3.2.	Pendekatan Penelitian .....	III - 2
3.3.	Data Dasar Perencanaan.....	III - 2
3.4.	Bagan Alir .....	III - 4
3.5.	Prosedur Percobaan .....	III - 5
3.6.	<i>Preliminary Design</i> .....	III - 6
3.7.	Pemodelan Struktur .....	III - 6
3.8.	Sistem Rangka Pemikul Momen .....	III - 6
3.9.	Desain <i>DDBD</i> Sistem Rangka.....	III - 7
3.9.1.	Desain Perpindahan Tingkat.....	III - 7
3.9.2.	Desain Perpindahan <i>SDOF</i> .....	III - 7
3.9.3.	Massa Efektif .....	III - 8
3.9.4.	Tinggi Efektif .....	III - 8
3.9.5.	Desain Daktilitas Perpindahan .....	III - 9
3.9.6.	Redaman <i>Viscous</i> Ekivalen .....	III - 10
3.9.7.	Periode Efektif .....	III - 10
3.9.8.	Kekakuan Efektif.....	III - 11
3.9.9.	Gaya Geser Dasar .....	III - 12
3.10.	Kontrol Perencanaan Struktur .....	III - 12
3.10.1.	Kontrol Elemen Struktur .....	III - 12
3.10.2.	Perencanaan Sambungan .....	III - 18
3.11.	Evaluasi Kinerja Struktur .....	III - 20
3.11.1.	Titik Kinerja Struktur Metode ATC-40 .....	III - 20
3.11.2.	Batasan Deformasi .....	III - 25

3.11.3. Titik Kinerja Struktur Metode <i>FEMA</i> 356 .....	III - 26
3.11.4. Titik Kinerja Struktur Metode <i>FEMA</i> 440 .....	III - 28

## **BAB IV TINJAUAN PERENCANAAN/PERHITUNGAN**

4.1. Penentuan Target Kinerja Struktur.....	IV - 1
4.2. Pembebanan .....	IV - 1
4.2.1. Beban Mati.....	IV - 2
4.2.2. Beban Hidup .....	IV - 2
4.2.3. Beban Gempa.....	IV - 2
4.3. Perencanaan Struktur Sekunder .....	IV - 16
4.3.1. Perencanaan Pelat .....	IV - 16
4.3.1.1. Perencanaan Pelat Atap .....	IV - 17
4.3.1.2. Perencanaan Pelat Lantai.....	IV - 27
4.3.2. Perencanaan Balok Anak.....	IV - 38
4.3.2.1. Dimensi Balok Anak Atap.....	IV - 38
4.3.2.2. Dimensi Balok Anak Lantai .....	IV - 45
4.3.3. Perencanaan Tangga .....	IV - 51
4.3.3.1. Perencanaan Jumlah Injakan Tangga.....	IV - 51
4.3.3.2. Perencanaan Tebal Pelat Anak Tangga.....	IV - 53
4.3.3.3. Perencanaan Pengaku Pelat Anak Tangga.....	IV - 54
4.3.3.4. Perencanaan Pelat Bordes .....	IV - 57
4.3.3.5. Perencanaan Balok Bordes .....	IV - 59
4.3.3.6. Perhitungan Balok Utama Tangga .....	IV - 64
4.3.3.7. Perencanaan Balok Penumpu Tangga.....	IV - 71

4.3.4. Perencanaan Balok Lift .....	IV - 77
4.3.4.1. Perencanaan Balok Penggantung Lift .....	IV - 78
4.3.4.2. Perencanaan Balok Penumpu Lift.....	IV - 84
4.4. Perencanaan Struktur Primer.....	IV - 90
4.4.1. Perhitungan Balok Induk .....	IV - 90
4.4.1.1. Balok Induk Arah X .....	IV - 90
4.4.1.2. Balok Induk Arah Y .....	IV - 94
4.4.2. Perhitungan Kolom .....	IV - 98
4.4.3. Perhitungan Sambungan .....	IV - 104
4.4.3.1. Sambungan Balok Anak Lantai dengan Balok Induk....	IV - 104
4.4.3.2. Sambungan Balok Anak Atap dengan Balok Induk .....	IV - 111
4.4.3.3. Sambungan Tangga .....	IV - 119
4.4.3.4. Sambungan Balok Induk dengan Kolom .....	IV - 132
4.4.3.5. Sambungan Antar Kolom .....	IV - 137
4.4.3.6. Sambungan Kolom dengan <i>Base Plate</i> .....	IV - 143
4.5. Evaluasi Kinerja .....	IV - 151
4.5.1. Kapasitas Struktur.....	IV - 151
4.5.2. Evaluasi Kinerja Struktur.....	IV - 158
4.5.2.1. Menentukan Spektrum Kapasitas ATC 40.....	IV - 159
4.5.2.2. Metode <i>FEMA 356</i> .....	IV - 162
4.5.2.3. Metode <i>FEMA 440</i> .....	IV - 164
4.5.2.4. <i>Resume</i> .....	IV - 165
4.5.2.5. Perbandungan <i>Drift</i> dan <i>Displacement</i> .....	IV - 166

## **BAB V PENUTUP**

5.1.	Kesimpulan .....	V - 1
5.2.	Saran .....	V - 3

<b>DAFTAR PUSTAKA.....</b>	<b>xxxiii</b>
----------------------------	---------------

## **LAMPIRAN**



## DAFTAR NOTASI

$\Delta$	: Simpangan
$\Delta_{DI}$	: Profil perpindahan recana
$\Delta_a$	: Simpangan izin
$\Delta_i$	: Perpindahan yang terjadi pada lantai i
$\Delta_{roof}$	: Perpindahan Atap
$\Delta_{yi}$	: Profil perpindahan leleh
A	: Luas profil
a	: Tinggi profil
a	: Kemiringan tangga
a	: Ukuran las sudut
a	: Panjang rencana haunch
$A_b$	: Luas bruto penampang baut
$A_{BM}$	: Luas penampang logam dasar
$A_e$	: Luas neto efektif
$A_g$	: Luas penampang bruto
$A_n$	: Luas elemen-elemen yang tersambung langsung
$A_{nt}$	: Luas neto penahan tarik
$A_{nv}$	: Luas neto yang menahan geser
$A_{nv}$	: Luas neto penahan geser
$A_w$	: Luas badan, tinggi keseluruhan dikali tebal badan ( $d \cdot t_w$ )
$A_{we}$	: Luas efektif las
b	: Tinggi rencana haunch
B	: Lebar base plate
$b_f$	: Lebar profil
$b_s$	: Lebar pelat pengaku minimum
$C_0$	: Faktor modifikasi untuk perpindahan spectral menjadi perpindahan atap, ditentukan berdasarkan table 3-2 FEMA

- $C_1$  : Faktor modifikasi untuk menghubungkan perpindahan inelastic maksimum dengan perpindahan yang dihitung dari respon elastic linier
- $C_2$  : Faktor modifikasi yang mewakili efek dari bentuk histeristik pada perpindahan maksimum, ditentukan berdasarkan *table 3-3 FEMA 356*
- $C_3$  : Koefisien untuk memperhitungkan pembesaran lateral akibat efek  $P \delta$
- $C_b$  : Faktor modifikasi tekuk torsional untuk diagram momen nonmerata
- $C_d$  : Faktor pembesaran defleksi
- $C_m$  : Faktor massa efektif ditentukan berdasarkan *table 3-10 FEMA 356*
- $C_{m_n}$  : Koefisien yang diperhitungkan untuk momen nonmerata
- $C_m$  : Koefisien dengan asumsi tanpa translasi lateral dari portal
- $C_p, C_N$  : Koefisien tekanan eksternal
- $C_s$  : Koefisien respons seismik
- $C_t, x$  : Parameter periode pendekatan untuk T
- $C_v$  : Koefisien geser badan
- D : Beban mati
- D : Gaya geser
- d : Diameter
- d : Tinggi profil balok
- $d_b$  : Diameter baut
- E : Beban gempa
- E : Modulus elastis baja (200 000 Mpa)
- e : Eksentrisitas pada sambungan
- f : Lendutan
- f : Gaya (kg)

$F_a$	: Koefisien situs untuk periode pendek yaitu pada periode 0,2 detik
$f'_c$	: Kuat tekan beton atau mutu beton
$F_{cr}$	: Tegangan kritis
$F_{cr}$	: Tegangan kritis
$F_e$	: Tegangan tekuk elastis
$F_E$	: Mutu las
$F_i$	: Bagian dari geser dasar seismik (V) yang timbul di tingkat i
$F_{nBM}$	: Tegangan nominal dari logam dasar
$F_{nw}$	: Tegangan nominal dari logam las
$f_u$	: Tegangan putus baja
$F_v$	: Koefisien situs untuk periode panjang (pada periode 1 detik)
$F_x$	: Gaya lateral
$f_y$	: Tegangan leleh baja
$g$	: Faktor percepatan gravitasi $9,81 \text{ m/det}^2$
$G$	: Modulus elastis geser dari baja ( $77200 \text{ MPa}$ )
$G$	: Faktor kekangan akibat adanya batang lentur yang merangka ke batang tekan yang sedang ditinjau
$GC_{pi}$	: Koefisien tekanan internal
$h$	: Tinggi atap rata-rata
$h$	: Tinggi penampang
$h$	: Tinggi bersih badan profil
$h$	: Tinggi efektif
$H$	: Geser tingkat
$h_b$	: Tinggi efektif blok pada rangka
$H_e$	: Tinggi efektif struktur
$H_i$	: Tinggi struktur pada lantai ke i
$h_i, h_x$	: Tinggi dari dasar sampai tingkat I atau x

$h_n$	: Batasan tinggi struktur
$H_n$	: Total tinggi struktur pada lantai
$I_e$	: Faktor keutamaan gempa
$I_x$	: Inersia sumbu x profil ( $\text{mm}^4$ )
$i_x$	: Jari-jari girasi sumbu x profil (mm)
$I_y$	: Inersia sumbu y profil ( $\text{mm}^4$ )
$i_y$	: Jari-jari girasi sumbu y profil (mm)
$J$	: Konstanta torsi ( $\text{mm}^4$ )
$J_1$	: Sambungan titik 1 (portal 1)
$J_{2A}$	: Sambungan titik 2 (portal 1-2)
$J_{2B}$	: Sambungan titik 2 (portal 2-3)
$J_3$	: Sambungan titik 3 (portal 3)
$k$	: Eksponen yang terkait dengan perioda struktur
$k$	: Faktor panjang efektif kolom
$K$	: Kontrol beban
$K_{DS}$	: Kategori desain seismik
$K_e$	: Faktor elevasi permukaan tanah
$L$	: Panjang penampang
$l$	: Lebar injakan
$L$	: Dimensi bangunan paralel arah angin
$L$	: Panjang bentang
$L$	: Dimensi horizontal bangunan gedung, diukur paralel terhadap arah angin
$L$	: Beban hidup
$L_b$	: Jarak penahan lateral
$L_b$	: Panjang bentang bersih balok pada rangka
$L_p$	: Panjang sendi plastis
$L_r$	: Panjang bentang minimum balok yang tahanannya

ditetentukan oleh momen kritis tekuk torsi lateal

- $K_e$  : Kekakuan efektif  
 $K_e$  : Kekakuan lateral efektif  
 $K_i$  : Kekakuan lateral elastik  
 $M$  : Gaya momen  
 $m$  : Jumlah bidang geser  
 $M_1$  : Momen terkecil ujung bawah  
 $M_2$  : Momen terbesar ujung atas  
 $M_A$  : Nilai mutlak momen pada titik seperempat dari segmen  
 $M_B$  : Nilai mutlak momen pada titik seperdua dari segmen  
 $M_C$  : Nilai mutlak momen pada titik tiga-perempat dari segmen  
 $M_c$  : Kekuatan lentur tersedia  
 $M_e$  : Massa efektif  
 $M_i$  : Massa pada lantai ke  $i$   
 $M_{lt}$  : Momen orde pertama menggunakan kombinasi beban lateral  
 $M_{maks}$  : Nilai mutlak momen maksimum dalam segmen  
 $M_n$  : Kuat lentur nominal  
 $M_{nt}$  : Momen orde pertama menggunakan kombinasi beban no lateral  
 $M_p$  : Momen lentur plastis  
 $M_r$  : Kekuatan lentur perlu menggunakan kombinasi beban  
 $M_r$  : Momen lentur orde kedua yang diperlukan menggunakan kombinasi beban  
 $M_u$  : Kuat lentur ultimate  
 $N$  : Nilai hasil test penetrasi standar rata-rata  
 $n$  : Jumlah tulangan/baut  
 $N$  : Gaya normal

- N : Panjang base plate
- $\emptyset$  : Diameter tulangan/baut
- P : Beban titik
- $P_c$  : Kekuatan aksial tersedia
- $P_{e\text{ story}}$  : Kekuatan tekuk kritis elastis untuk tingkat pada arah translasi yang diperhitungkan
- $P_{e1}$  : Kekuatan tekuk kritis elastis komponen struktur pada bidang lentur
- $P_{lt}$  : Gaya aksial orde pertama menggunakan kombinasi beban lateral
- $P_{lt}$  : Gaya aksial orde-pertama yang menggunakan kombinasi beban DFBK atau DKI, akibat translasi lateral hanya dari struktur
- $P_{mf}$  : Beban vertikal total pada kolom dalam tingkat yang merupakan bagian dari rangka momen
- $P_n$  : Kuat tekan nominal
- $P_{nt}$  : Gaya aksial orde pertama menggunakan kombinasi beban no lateral
- $P_r$  : Kekuatan aksial perlu menggunakan kombinasi beban
- $P_r$  : Kekuatan aksial orde kedua yang diperlukan menggunakan kombinasi beban DFBK
- $P_{\text{story}}$  : Beban vertikal total didukung oleh tingkat menggunakan kombinasi beban DFBK atau DKI, yang sesuai, termasuk beban-beban dalam kolom-kolom yang bukan merupakan bagian dari sistem penahan gaya lateral
- $P_u$  : Kekuatan aksial nominal
- $P_u$  : Kuat tekan *ultimate*
- q : Beban merata
- $q_z, q_h$  : Tekanan velositas di tingkat z atau h

$R$	: Faktor modifikasi respons
$r$	: Radius joint permukaan
$R$	: Rasio perbandingan kapasitas
$R$	: Koefisien modifikasi respon
$r_1$	: 0.5 untuk baut tanpa ulir pada bidang geser 0.4 untuk baut ada ulir pada bidang geser
$R_d$	: Kuat tumpu desain
$R_M$	: Koefisien untuk menghitung pengaruh $P-\delta$ pada $P-\Delta$
$R_n$	: Kekuatan nominal
$R_n$	: Kuat nominal baut
$R_{pg}$	: Faktor reduksi kekuatan lentur
$R_u$	: Kekuatan perlu menggunakan kombinasi beban DFBK
$R_u$	: Kuat ultimate baut
$RV$	: Reaksi vertikal
$s$	: Jarak antar tulangan
$S$	: Jarak antar baut
$S$	: Jarak baut ketepi tidak terbebani
$S_1$	: Parameter respons spektral percepatan gempa MCER terpetakan untuk periode 1,0 detik
$S_1$	: Jarak baut ketepi terbebani
$SA$	: Batuan keras
$S_a$	: Spektrum respon percepatan desain
$SB$	: Batuan
$SC$	: Tanah keras
$SD$	: Tanah sedang
$S_d$	: Spectra prepindahan
$S_{D1}$	: Parameter percepatan spektral desain untuk periode 1 detik
$S_{Ds}$	: Parameter percepatan spektral desain untuk periode

	pendek
SE	: Tanah lunak
SF	: Tanah khusus
$S_{M1}$	: Parameter percepatan spektral pada periode 1 detik yang sudah disesuaikan terhadap pengaruh kelas situs
$S_{MS}$	: Parameter percepatan spektral pada periode pendek yang sudah disesuaikan terhadap pengaruh kelas situs
$S_s$	: Parameter respons spektral percepatan gempa MCER terpetakan untuk periode pendek
$S_x$	: Modulus elastisitas sumbu x profil ( $\text{cm}^3$ )
$S_{xc}$	: Modulus penampang elastis
$S_y$	: Modulus elastisitas sumbu y profil ( $\text{cm}^3$ )
T	: Periode fundamental struktur
t	: Tebal tertipis pelat yang disambung
t	: Tinggi injakan
T	: Gaya kopel pada sayap
T	: Gaya tarik (kg)
$T_a$	: Periode fundamental pendekatan
$T_c$	: Periode fundamental analisis software
$T_e$	: Tebal efektif las
$T_e$	: Waktu getar efektif
$t_f$	: Tebal sayap profil
$t_p$	: Tebal tertipis pelat
$t_s$	: Tebal pelat pengaku minimum
$T_s$	: Waktu getar karakteristik yang diperoleh dari kurva respon spectrum pada titik dimana terdapat transisi bagian akselerasi konstan kebagian kecepatan konstan
$t_w$	: Tebal badan profil
$T_1$	: Waktu getar elastik

$U$	: Mutu baja tulangan
$U$	: Faktor geser yang tidak diperhitungkan
$V$	: Gaya geser dasar seismik
$V_{base}$	: Gaya geser dasar total
$V_d$	: Kuat geser desain
$V_f$	: Gaya geser dasar pada rangka
$V_i$	: Gaya geser dasar lantai ke i
$V_n$	: Kuat geser nominal
$V_s$	: Besaran percepatan rambat gelombang geser rata-rata
$V_u$	: Kuat geser ultimate
$W$	: Berat profil
$W$	: Modulus Tekuk
$W_e$	: Jarak baut ke tepi
$w_i$	: Bagian berat seismik efektif total struktur tingkat i
$W_t$	: Berat seismik efektif
$w_x$	: Bagian berat seismik efektif total struktur tingkat x
$x$	: Indeks sehubungan dengan sumbu kuat lentur
$y$	: Indeks sehubungan dengan sumbu lemah lentur
$z$	: Tinggi di atas tanah
$z$	: Tinggi dinding
$Z_x$	: Modulus plastisitas sumbu x profil ( $\text{cm}^3$ )
$Z_y$	: Modulus plastisitas sumbu y profil ( $\text{cm}^3$ )
$\alpha$	: Faktor lokasi penulangan
$\beta$	: Faktor pelapis
$\delta$	: Faktor amplifikasi momen
$\delta_x$	: Defleksi pada lantai ke-x
$\theta$	: Sudut rencana
$\rho$	: Faktor redundansi

$\sigma_u$	: Tegangan ultimate
$\sigma_y$	: Tegangan leleh
$\gamma$	: Faktor ukuran batang tulangan
$\phi$	: Faktor reduksi kekuatan
$\Omega_0$	: Faktor kuat lebih sistem
$\alpha$	: Faktor penyesuaian level gaya <i>DFBK/DKI</i>
$\lambda$	: Parameter kelangsingan
$\lambda_p$	: Parameter batas kelangsingan untuk elemen kompak
$\lambda_r$	: Parameter batas kelangsingan untuk elemen nonkompak

## DAFTAR TABEL

Tabel 2. 1: Kategori Bangunan Pada Tingkat Kinerja Struktur .....	12
Tabel 2. 2: Kondisi Bangunan Pasca Gempa Dan Kategori Bangunan....	14
Tabel 2. 3: Simpangan Antar Izin $\Delta_{Aa}, B$ .....	16
Tabel 2. 4: Berat Sendiri Bangunan Dan Komponen Gedung .....	18
Tabel 2. 5: Beban Hidup Terdistribusi Merata Untuk Bangunan.....	18
Tabel 2. 6: Koefisien Situs Fa .....	23
Tabel 2. 7: Koefisien Situs Fv .....	23
Tabel 2. 8: Klasifikasi Situs .....	25
Tabel 2. 9: Kategori Resiko Bangunan Untuk Beban Gempa.....	25
Tabel 2. 10: Faktor Keutamaan Gempa .....	25
Tabel 2. 11: Kategori Desain Seismic Periode Pendek. ....	26
Tabel 2. 12: Kategori Desain Seismic Periode 1 Detik. ....	26
Tabel 2. 13: Faktor Reduksi Kekuatan Baja .....	28
Tabel 3. 1: Lendutan Izin Penampang .....	17
Tabel 3. 2: Lendutan Maksimum Penampang.....	17
Tabel 3. 3: Ukuran Minimum Las Sudut .....	20
Tabel 4 1: Batasan Simpangan Pada Tingkat Kinerja Struktur .....	1
Tabel 4 2: Desain Respon Spketrum .....	4
Tabel 4 3: Perhitungan Berat Struktur Lantai 7 (Atap).....	5
Tabel 4 4: Perhitungan Berat Struktur Lantai 6 .....	5
Tabel 4 5: Perhitungan Berat Struktur Lantai 5 .....	6
Tabel 4 6: Perhitungan Berat Struktur Lantai 4 .....	7

Tabel 4 7: Perhitungan Berat Struktur Lantai 3 .....	7
Tabel 4 8: Perhitungan Berat Struktur Lantai 2 .....	8
Tabel 4 9: Berat Seimik Efektif.....	9
Tabel 4 10: Perhitungan Profil Perpindahan Rencana .....	10
Tabel 4 11: Perhitungan Drift Leleh Pada Rangka, Arah X-X.....	11
Tabel 4 12: Perhitungan Drift Leleh Pada Rangka, Arah Y-Y.....	11
Tabel 4 13: Perhitungan Spektra Displacement .....	12
Tabel 4 14: Distribusi Gaya Geser Tiap Lantai.....	15
Tabel 4 15: Rekapitulasi Analisis Struktur Sekunder.....	152
Tabel 4 16: Rekapitulasi Analisis Struktur Primer .....	153
Tabel 4 17: Output Beban Dorong Arah X-X.....	154
Tabel 4 18: Output Beban Dorong Arah Y-Y .....	162
Tabel 4 19: Structural Behavior Type.....	168
Tabel 4 20: Output Spektrum Kapasitas Arah X-X: .....	170
Tabel 4 21: Output Spektrum Kapasitas Arah Y-Y .....	171
Tabel 4 22: Output Data Perhitungan Target Perpindahan .....	172
Tabel 4 23: Resume Target Perpindahan .....	174
Tabel 4 24: Perbandingan Nilai Drift Dan Displacement Arah X-X .....	175
Tabel 4 25: Perbandingan Nilai Drift Dan Displacement Arah Y-Y .....	176

## DAFTAR GAMBAR

Gambar 2. 1: Tipikal Kurva Kapasitas Pada Tingkat Kinerja Struktur .....	10
Gambar 2. 2: Mekanisme Plastifikasi Struktur Selama Respon Lateral....	11
Gambar 2. 4: Peta Parameter Gerak Tanah $S_s$ , 0,2 Detik .....	21
Gambar 2. 5: Peta Parameter Gerak Tanah $S_1$ , 1 Detik .....	22
Gambar 3. 1: Denah Struktur.....	1
Gambar 3. 2: Tampak Depan Struktur .....	1
Gambar 3. 3: Tampak Samping Struktur.....	2
Gambar 3. 4: Respon Spektrum Desain Dan Spectra Displacement .....	11
Gambar 3. 5: Penampang Steel Floor Deck .....	18
Gambar 3. 6: Contoh Faktor Partisipasi Dan Modal Koefisien Massa.....	22
Gambar 3. 7: Kurva Kapasitas Dan Spektrum Kapasitas.....	22
Gambar 3. 8: Respon Spektrum Standar Dan Respon Spektrum ADRS..	23
Gambar 3. 9: Titik Kinerja Struktur Sesuai ATC-40 .....	24
Gambar 3. 10: Titik Kinerja Struktur Pada Redaman Struktur .....	25
Gambar 3. 11: Perilaku Pasca Leleh Struktur (Fema 356) .....	27
Gambar 4. 1: Desain Respon Spektrum .....	4
Gambar 4. 2: Respon Spektrum Desain & Spektra Displacement.....	14
Gambar 4. 3: Denah Pelat .....	17
Gambar 4. 4: Detail Pelat Atap .....	17
Gambar 4. 5: Penulangan Pelat Atap .....	27
Gambar 4. 6: Detai Pelat Lantai.....	27
Gambar 4. 7: Penulangan Pelat Lantai .....	38

Gambar 4. 8: Konfigurasi Balok Anak Gedung.....	38
Gambar 4. 9: Denah Tangga .....	52
Gambar 4. 10: Potongan A-A Tangga.....	52
Gambar 4. 11: Tinggi Dan Lebar Injakan Tangga .....	52
Gambar 4. 12: Pelat Anak Tangga.....	53
Gambar 4. 13: Pembebanan Pengaku Anak Tangga .....	55
Gambar 4. 14: Pembebanan Balok Utama Tangga .....	66
Gambar 4. 15: Pembebanan Balok Utama Tangga (SAP2000) .....	66
Gambar 4. 16: Reaksi Perletakan .....	67
Gambar 4. 17: Bidang Momen (M3).....	67
Gambar 4. 18: Bidang Lintang (V2) .....	68
Gambar 4. 19: Bidang Normal (Axial P) .....	68
Gambar 4. 20: Lendutan Balok Utama Tangga .....	70
Gambar 4. 21: Pembebanan Balok Penumpu Tangga.....	71
Gambar 4. 22: Pembebanan Balok Penumpu Tangga (SAP2000).....	72
Gambar 4. 23: Bidang Momen (M3).....	73
Gambar 4. 24: Gaya Geser (V2) .....	73
Gambar 4. 25: Bidang Normal (Axial P) .....	74
Gambar 4. 26: Posisi MA, MB, MC Balok Penumpu Tangga .....	75
Gambar 4. 27: Lendutan Balok Penumpu Tangga .....	77
Gambar 4. 28: Denah Lift.....	78
Gambar 4. 29: Denah Balok Lift.....	78
Gambar 4. 30: Pembebanan Balok Penggantung Lift .....	80

Gambar 4. 31: Reaksi Perletakan .....	80
Gambar 4. 32: Momen (M3).....	80
Gambar 4. 33: Gaya Geser (V2) .....	81
Gambar 4. 34: Bidang Normal (Axial P) .....	81
Gambar 4. 35: Posisi Ma,Mb,Mc Balok Penggantung Tangga .....	83
Gambar 4. 36: Lendutan Balok Penggantung Lift .....	84
Gambar 4. 37: Pembebanan Balok Penumpu Lift .....	85
Gambar 4. 38: Reaksi Perletakan .....	86
Gambar 4. 39: Momen Maksimun (M3).....	87
Gambar 4. 40: Gaya Geser (V2) .....	87
Gambar 4. 41: Bidang Normal (Axial P) .....	87
Gambar 4. 42: Posisi Ma,Mb,Mc Pada Balok Penumpu Lift .....	89
Gambar 4. 43: Lendutan Penumpu Lift .....	90
Gambar 4. 44: Denah Dan Gaya Dalam Elemen 50 Balok Induk Arah X .	91
Gambar 4. 45: Posisi MA, MB, MC Balok Induk Arah X .....	93
Gambar 4. 46: Lendutan Balok Induk Arah X .....	94
Gambar 4. 47:Denah Dan Diagram Gaya Dalam Balok Induk Arah Y.....	95
Gambar 4. 48: Posisi MA, MB, MC Balok Induk Arah Y .....	97
Gambar 4. 49: Lendutan Balok Induk Arah Y .....	98
Gambar 4. 50: Faktor Panjang Efektif (K) .....	102
Gambar 4. 51: Sambungan Balok Anak Dan Induk Yang Ditinjau .....	105
Gambar 4. 52: Bidang Geser Pada Bidang Profil L60x60x6.....	108
Gambar 4. 53: Sambungan J1 Dan J2a.....	108

Gambar 4. 54: Bidang Geser Pada Bidang Profil L60x60x6.....	111
Gambar 4. 55: Sambungan J2b Dan J3.....	112
Gambar 4. 56: Sambungan Balok Anak Atap Yang Ditinjau.....	112
Gambar 4. 57: Bidang Geser Pada Profil L60x60x6 .....	115
Gambar 4. 58: Sambungan J1 Dan J2a.....	116
Gambar 4. 59: Bidang Geser Pada Profil L60x60x6 .....	119
Gambar 4. 60: Sambungan J2b Dan J3.....	119
Gambar 4. 61: Sambungan Tangga Yang Ditinjau.....	120
Gambar 4. 62: Bidang Geser Pada Profil L60x60x6 .....	123
Gambar 4. 63: Sambungan J1a .....	123
Gambar 4. 64: Bidang Geser Pada Profil L60x60x6 .....	126
Gambar 4. 65: Sambungan J1b Dan J1c .....	127
Gambar 4. 66: Sambungan J2 Dan J3.....	129
Gambar 4. 67: Bidang Geser Pada Profil L60x60x6 .....	131
Gambar 4. 68: Sambungan J4 .....	133
Gambar 4. 69: Desain Geometris Haunch .....	133
Gambar 4. 70: Bidang Geser Pada Profil End Plate .....	137
Gambar 4. 71: Sambungan Balok Induk Dengan Kolom.....	138
Gambar 4. 72: Titik Berat Sambungan Antar Kolom .....	143
Gambar 4. 73: Sambungan Antar Kolom .....	144
Gambar 4. 74: Rencana Las Pada Base Plate.....	145
Gambar 4. 75: Arah Sumbu X Pada Base Plate .....	147
Gambar 4. 76: Arah Beban Sumbu Y Pada Base Plate .....	148

Gambar 4. 77: Tingkatan Plastifikasi Sendi Pastis Elemen .....	155
Gambar 4. 78: Pushover Arah X Step 4.....	157
Gambar 4. 79: Pushover Arah X Step 5.....	157
Gambar 4. 80: Pushover Arah X Step 6.....	158
Gambar 4. 81: Pushover Arah X Step 7.....	158
Gambar 4. 82: Pushover Arah X Step 8.....	159
Gambar 4. 83: Pushover Arah X Step 9.....	159
Gambar 4. 84: Pushover Arah X Step 10.....	160
Gambar 4. 85: Pushover Arah X Step 11.....	160
Gambar 4. 86: Pushover Arah X Step 12.....	161
Gambar 4. 87: Kurva Kapasitas Arah X-X.....	162
Gambar 4. 88: Pushover Arah Y Step 4.....	163
Gambar 4. 89: Pushover Arah Y Step 5.....	163
Gambar 4. 90: Pushover Arah Y Step 6.....	164
Gambar 4. 91: Pushover Arah Y Step 7.....	164
Gambar 4. 92: Pushover Arah Y Step 8.....	165
Gambar 4. 93: Pushover Arah Y Step 9.....	165
Gambar 4. 94: Pushover Arah Y Step 10.....	166
Gambar 4. 95: Kurva Kapasitas Arah Y-Y.....	167
Gambar 4. 96: Spektrum Kapasitas Arah X-X.....	169
Gambar 4. 97: Spektrum Kapasitas Arah Y-Y.....	170
Gambar 4. 98: Kurva Biner Pushover Arah X Dan Arah Y .....	172
Gambar 4. 99: Faktor Modifikasi C1 Dan C2.....	173

Gambar 4. 100: Perbandingan Drift Dan Perbandingan Displacement ..176

Gambar 4. 101: Perbandingan Drift Dan Perbandingan Displacement ..177



## **BAB I**

### **PENDAHULUAN**

#### **1.1. Latar Belakang**

Seiring berjalananya waktu dan kemajuan zaman pembangunan gedung sarana dan prasarana Universitas Bosowa terus ditingkatkan. Minimnya lahan yang tersedia menjadi sebuah permasalahan dalam pembangunan yang diperlukan, sehingga dibutuhkan sebuah *alternative* dalam pembangunan yakni pembangunan gedung bertingkat sehingga dapat meminimalisir penggunaan lahan.

Indonesia merupakan Negara yang termasuk daerah rawan gempa, tercatat gempa terdahsyat yang terjadi dalam kurun waktu 50 tahun terjadi di Aceh yang mengakibatkan tsunami dengan besaran gempa skala 9,1 *magnitude*. Di Indonesia sendiri dilewati oleh lempeng *Eurasia* dan lempeng *Indo-Australia* sehingga bencana gempa dapat terjadi kapan saja, maka dari itu bangunan gedung dan non-gedung di Indonesia harus didesain mampu menahan gaya gempa yang besar. (*Tavio, dkk. 2018*)

Perencanaan gedung Fakultas Kedokteran Universitas Bosowa merupakan gedung 7 lantai yang terletak di Jalan Urip Sumahrjo KM 4 Makassar. Gedung berada di Kota Makassar dengan wilayah gempa D dalam sistem kategori desain seismik sesuai dengan SNI 1726:2019, Bangunan pada daerah rawan gempa harus direncanakan mampu bertahan terhadap gempa.

Oleh karena itu perencana dituntut agar dapat membuat perencanaan struktur yang matang dan aman, sehingga bila terjadi gempa struktur bangunan dapat menahan gaya gempa sehingga bangunan tidak rusak dan runtuh. Selain dari beban gempa bangunan juga harus aman terhadap beban lainnya selama penggunaan gedung tersebut. Trend perencanaan yang terkini yaitu *performance based seismic design* atau perencanaan berbasis kinerja yang memanfaatkan teknik analisis non-linier berbasis komputer untuk menganalisa perilaku inelastis struktur dari berbagai macam intensitas gerakan tanah (gempa). (*Wiryanto Dewobroto, 2006*)

Perencanaan berbasis kinerja merupakan salah satu konsep mendesain dimana target kinerja bangunan ditentukan terlebih dahulu. Dan pada akhir proses desain, target tersebut dijadikan parameter minimum yang harus dipenuhi. Kinerja struktur di rencanakan sesuai dengan tujuan dan kegunaan suatu bangunan, dengan pertimbangan faktor ekonomis terhadap perbaikan bangunan saat terjadi gempa tanpa mengesampingkan keselamatan terhadap pengguna bangunan. (*Tavio, dkk. 2018*)

Dalam perencanaan pemilihan material juga menjadi sangat penting untuk bangunan struktur. Material baja sebagai bahan konstruksi memiliki beberapa keunggulan dibanding dengan menggunakan material konstruksi lainnya. Baja mempunyai kekuatan yang tinggi sehingga dapat mengurangi ukuran struktur dan berat sendiri dari struktur itu sendiri,

keawetan yang tinggi, juga dalam penyambungan antar elemen yang dapat menggunakan alat sambung las maupun baut. (Agus Setiawan, 2008).

## **1.2. Rumusan Masalah**

Berdasarkan uraian latar belakang diatas maka diperoleh rumusan masalah sebagai berikut :

1. Bagaimana menentukan target kinerja struktur ?
2. Bagaimana menghitung beban dan menentukan dimensi struktur atas bangunan ?
3. Bagaimana menghitung *drift* aktual dan menentukan level kinerja struktur ?

## **1.3. Tujuan dan Manfaat Penelitian**

Berdasarkan latar belakang dan perumusan masalah diatas, maka penelitian ini memiliki tujuan dan manfaat sebagai berikut :

### **1.3.1. Tujuan**

1. Menentukan target kinerja struktur.
2. Menghitung beban dan menentukan dimensi struktur atas bangunan.
3. Menghitung *drift* aktual dan menentukan level kinerja struktur pada saat titik kinerja struktur tercapai.

### **1.3.2. Manfaat**

1. Pengembangan ilmu pengetahuan dalam bidang ketekniksipilan yaitu perencanaan struktur berbasis kinerja.
2. Mengetahui kriteria kinerja struktur berdasarkan *performance level*.
3. Sebagai acuan bahan bacaan atau referensi pustaka untuk melakukan penelitian selanjutnya.

### **1.4. Pokok Bahasan dan Batasan Masalah**

Agar penelitian ini lebih mengarah pada latar belakang dan permasalahan yang telah dirumuskan maka diperlukan batasan-batasan masalah guna membahas ruang lingkup penulisan sebagai berikut :

#### **1.4.1. Pokok Bahasan**

1. Bangunan yang ditinjau yaitu struktur atas rencana gedung Fakultas Kedokteran Universitas Bosowa dengan Metode Berbasis Kinerja
2. Perhitungan analisa struktur, pembebanan, dan *Pushover Analysis* menggunakan aplikasi SAP2000 V22.
3. Analisis perhitungan mengacu pada :
  - Spesifikasi untuk Bangunan Gedung Baja Struktural (SK SNI 1729:2015)
  - Beban Desain Minimum dan Kriteria Terkait Untuk Bangunan Gedung dan Struktur Lain (SNI2 1727:2020),

- Persyaratan Beton Struktural Untuk Bangunan Gedung dan Penjelasan (SNI 2847:2019)
- Tata Cara Perencanaan Ketahanan Gempa untuk Bangunan Gedung (SNI 1726:2019)

#### **1.4.2. Batasan Masalah**

Ruang lingkup pembahasan dibatasi pada :

1. Struktur atas yang didesain adalah pelat, tangga, balok, kolom dan sambungan.
2. Mutu Material yang digunakan adalah baja BJ41, Beton  $f'_c$  20 Mpa, Baut A325, dan las  $F_{E70xx}$ .
3. Jenis beban yang bekerja pada struktur adalah beban gravitasi, dan beban gempa.
4. Dinding dianggap sebagai beban
5. Tidak melakukan peninjauan terhadap struktur bawah, rencana anggaran biaya, dan waktu pelaksanaan
6. Perilaku struktur dievaluasi secara tiga dimensi (3D) berdasarkan analisis beban dorong statik berbasis kinerja dengan menggunakan software aplikasi SAP2000 V22.

#### **1.5. Sistematika Penulisan**

Untuk memberikan gamaran umum mengenai keseluruhan penyusunan Tugas Akhir ini, maka berikut ini penulis uraikan secara singkat sistematika penulisan yang dibagi dalam 5 (lima) bab, yaitu :

**BAB I : PENDAHULUAN**

Bab ini merupakan garis besar sekaligus pengantar dalam penyusunan yang menguraikan secara umum tentang latar belakang, rumusan masalah, tujuan dan manfaat penelitian, pokok bahasan dan batasan masalah, dan sistematika penulisan.

**BAB II : TINJAUAN PUSTAKA**

Bab ini menguraikan dasar dasar teori mengenai struktur bangunan dan metode perhitungan.

**BAB III : KONSEP PERENCANAAN/PERHITUNGAN**

Bab ini menguraikan tentang data-data perencanaan dan metode perhitungan struktur dengan berbasis kinerja.

**BAB IV : TINJAUAN PERENCANAAN/PERHITUNGAN**

Bab menyajikan hasil analisi perhitungan data-data yang diperoleh serta pembahasan dari hasil analisis.

**BAB V : PENUTUP**

Bab ini berisi kesimpulan dan saran yang penulis kemukakan sesuai dengan pembahasan dalam tulisan ini.

## **BAB II**

### **TINJAUAN PUSTAKA**

#### **2.1. Tinjauan Umum**

Perencanaan merupakan suatu kegiatan yang sangat penting sebelum dilaksanakannya suatu proyek. Kesalahan pemasangan ataupun urutan proses yang tidak benar dapat menyebabkan terjadinya kerugian. Perencanaan yang matang sebelum dimulainya suatu pekerjaan tidak hanya menghemat biaya tetapi juga dapat menghemat waktu dan tenaga. Terdapat tiga hal penting yang harus diperhatikan dalam perencanaan struktur antara lain beban, kekuatan bahan dan keamanan.(*Hendra Laksono, dkk. 2010*)

Struktur baja adalah struktur logam yang terbuat dari komponen baja struktural yang saling terhubung untuk mengangkut beban dan memberikan kekakuan penuh. Karena tingkat kekuatan baja yang tinggi, struktur ini dapat diandalkan dan membutuhkan lebih sedikit bahan baku dibandingkan jenis struktur lain seperti struktur beton dan struktur kayu.(*Atad Steel Structure Corporation, 2004*)

Lingkup perencanaan pada bangunan struktur baja meliputi pemilihan dimensi elemen dan perhitungan sambungan yang diperlukan agar penampang elemen mempunyai kekuatan yang cukup untuk memikul beban-beban pada kondisi kerja (*service load*) dan kondisi batas (*ultimate load*). Pemilihan jenis struktur atas mempunyai hubungan yang erat dengan sistem fungsional gedung. Dalam proses desain struktur perlu

dicari kedekatan antara jenis struktur dengan masalah seperti *arsitektural*, efisiensi, *serviceability*, kemudahan pelaksanaan dan juga biaya yang diperlukan. (*Hendra Laksono, dkk. 2010*)

## **2.2. Perkembangan Teknologi Desain Tahan Gempa**

Menurut Tavio (2018), Dalam desain struktur bangunan tahan gempa, ada tiga konsep desain yaitu, Metode Desain Layan, Metode Desain Ultimit, dan Metode Desain Berbasis Kinerja.

Perkembangan konsep desain layan yang menggunakan konsep material izin, kontrol pada batas deformasi pada beban rencana saat ini sudah ditinggalkan dan beralih pada konsep desain ultimit yang berbasis kriteria keruntuhan material, kapasitas penampang untuk beban terfaktor dan yang terbaru saat ini adalah konsep desain berbasis kinerja dimana daktilitas, kapasitas deformasi dan kapasitas beban pada deformasi yang besar menjadi parameternya.

Pada konsep tegangan izin dan desain ultimit hanya memuaskan satu tingkat desain tidak memastikan bahwa tingkat desain lainnya akan terpenuhi sedangkan pada konsep desain berbasis kinerja memastikan desain terpenuhi tingkat kinerja yang ditentukan, dimana pada konsep desain berbasis kinerja ini mampu memenuhi kapasitas layan dan kuat rencana.

Dalam desain struktur berbasis kinerja tingkatan performa dapat diketahui dengan melihat tingkat kerusakan struktur pada saat terkena gempa rencana dengan periode ulang tertentu, oleh karenanya tingkat

kinerja struktur akan selalu berhubungan dengan biaya perbaikan terhadap bangunan tersebut. Adapun perbedaan dari ketiga konsep desain sebagai berikut :

1. Desain layan hanya memastikan kapasitas material, defleksi dan vibrasi, untuk beban layan didalam batas izin tetapi tidak untuk kekuatan dankekakuan.
2. Desain ultimit hanya memastikan faktor keamanan tertentu terhadap kelebihan beban didalam struktur atau penampang.
3. Desain berbasis kinerja memastikan struktur mampu memenuhi kapasitas layan dan kapasitas ultimit serta memenuhi tingkat kinerja yang ditentukan.

### **2.3. Konsep Dasar Perencanaan**

Metode yang digunakan dalam mengerjakan tugas akhir ini adalah analisis yang menggunakan metode yang umumnya disebut perencanaan Kekuatan Batas atau *Load and Resistance Factor Design* (LRFD) serta menggunakan analisis beban dorong statik yang berdasar pada konsep perencanaan tahan gempa berbasis kinerja yang dikenal dengan *Performance Based Design* dengan bantuan aplikasi SAP2000 V22.

#### **2.3.1. LRFD**

*Load and Resistance Factor Design (LRFD)* / Desain Faktor Beban dan Keamanan (DBFK) adalah spesifikasi yang dikeluarkan oleh *American Institute of Steel Construction (AISC)* untuk mendesain konstruksi baja berdasarkan ketahanan metode kekuatan ultimit (Metode

Plastis). Metode *LRFD* memproporsikan komponen struktur sedemikian sehingga kekuatan desain sama atau melebihi kekuatan perlu komponen akibat aksi kombinasi beban *LRFD*. (SNI 1729 2015)

Secara umum, desain *LRFD* untuk struktur baja dikatakan aman apabila memenuhi persyaratan sebagai berikut :

$$\phi R_n \geq \sum \gamma_i Q_i \quad (2.1)$$

Bagian kiri dari persamaan 2.1 mempresentasikan tahanan atau kekuatan dari sebuah komponen atau sistem struktur. Dan bagian kanan persamaan menyatakan beban yang harus dipikul oleh bagian struktur tersebut. Jika tahanan nominal  $R_n$  dikalikan suatu faktor keamanan  $\phi$  maka akan diperoleh tahanan rencana. Namun demikian, berbagai macam beban pada bagian kanan persamaan dikalikan suatu faktor beban  $\gamma_i$  untuk mendapatkan jumlah beban terfaktor  $\sum \gamma_i Q_i$ . (*Agus Setiawan, 2008*)

### 2.3.2. Perencanaan Gempa Berbasis Kinerja

Umumnya bangunan tahan gempa direncanakan dengan prosedur yang ditulis dalam peraturan perencanaan bangunan (*building codes*). Peraturan dibuat untuk menjamin keselamatan penghuni terhadap gempa besar yang mungkin terjadi, dan untuk menghindari atau mengurangi kerusakan atau kerugian harta benda terhadap gempa sedang yang sering terjadi. Meskipun demikian prosedur yang digunakan dalam peraturan tersebut tidak dapat secara langsung menunjukkan kinerja

bangunan terhadap gempa yang sebenarnya, kinerja tadi tentunya terkait dengan resiko yang diambil.(*Wiryanto Dewobroto,2006*)

Perencanaan tahan gempa berbasis kinerja (*performance based seismic design*) merupakan proses yang dapat digunakan untuk perencanaan bangunan baru maupun perkuatan bangunan yang sudah ada dengan pemahaman yang realistik terhadap resiko keselamatan (*life*), kesiapan pakai (*occupancy*) dan kerugian harta benda (*economic loss*) yang mungkin akan terjadi akibat gempa yang akan datang. (*Wiryanto Dewobroto,2006*)

Menurut Wiryanto Dewobroto (2006), Proses perencanaan tahan gempa berbasis kinerja dimulai dengan membuat model rencana bangunan kemudian melakukan simulasi kinerjanya terhadap berbagai macam kejadian gempa. Setiap simulasi memberikan informasi tingkat kerusakan (*level of damage*), ketahanan struktur, sehingga dapat memperkirakan berapa besar keselamatan (*life*), kesiapan pakai (*occupancy*) dan kerugian harta benda (*economic loss*) yang akan terjadi. Perencana selanjutnya dapat mengatur ulang resiko kerusakan yang dapat diterima sesuai dengan resiko biaya yang dikeluarkan.

Hal penting dari perencanaan berbasis kinerja adalah sasaran kinerja bangunan terhadap gempa dinyatakan secara jelas, sehingga pemilik, penyewa, asuransi, pemerintahan atau penyandang dana mempunyai kesempatan untuk menetapkan kondisi apa yang dipilih,

selanjutnya ketetapan tersebut digunakan insinyur perencana sebagai pedomannya.

Sasaran kinerja terdiri dari kejadian gempa rencana yang ditentukan (*earthquake hazard*), dan taraf kerusakan yang diijinkan atau level kinerja (*performance level*) dari bangunan terhadap kejadian gempa terjamin. Mengacu pada *FEMA 273/356 (1997)* yang menjadi acuan klasik bagi perencanaan berbasis kinerja maka kategori level kinerja struktur, adalah :

- Segera dapat dipakai (IO = *Immediate Occupancy*),
- Keselamatan penghuni terjamin (LS = *Life-safety*),
- Terhindar dari keruntuhan total (CP = *Collapse Prevention*).

### **2.3.3. Metode Berbasis Kinerja Untuk Sistem Rangka**

Metode *Direct Displacement Based Design* adalah metode Berbasis Kinerja yang digunakan saat ini untuk perencanaan gempa. Metode *DDBD* muncul untuk mengatasi kelemahan-kelemahan dalam desain metode berbasis gaya atau *Force Based Design (FBD)*. Metode *DDBD* menekankan pada nilai *displacement* sebagai acuan untuk menentukan kekuatan yang diperlukan bangunan terhadap gempa desain.

Perbedaan mendasar dari metode *Force Based Design* adalah *DDBD* ditandai dengan struktur akan didesain oleh satu derajat kebebasan (*Single Degree of Freedom/SDOF*) dengan representasi dari kinerja pada respon perpindahan puncak, bukan oleh karakteristik elastic awal.

Dasar dari prosedur *DDBD* adalah struktur tidak didesain lagi dengan karakteristik elastic awal, akan tetapi struktur akan didesain dengan karakteristik inelastik struktur pada tingkat kinerja desain. (*Tavio, dkk. 2018*)

#### **2.3.4. Analisis Beban Dorong Statik Non Linier**

Analisis beban dorong statik non linier merupakan prosedur analisa untuk mengetahui perilaku keruntuhan suatu bangunan terhadap gempa, dikenal pula sebagai analisa *pushover*. Kecuali untuk suatu struktur yang sederhana maka analisa ini memerlukan program komputer untuk dapat merealisasikannya pada bangunan nyata. Analisa dilakukan dengan memberikan suatu pola beban lateral statik pada struktur, yang kemudian secara bertahap ditingkatkan dengan faktor pengali sampai satu target perpindahan lateral dari suatu titik pada atap, atau lebih tepat lagi adalah pusat massa atap.

Analisis *pushover* menghasilkan kurva *pushover*, kurva yang menggambarkan hubungan antara gaya geser dasar (V) versus perpindahan titik acuan pada atap (D). Pada proses *pushover*, struktur didorong sampai mengalami leleh disatu atau lebih lokasi di struktur tersebut. Kurva kapasitas akan memperlihatkan suatu kondisi linier sebelum mencapai kondisi leleh dan selanjutnya berperilaku non linier. Kurva *pushover* dipengaruhi oleh pola distribusi gaya lateral yang digunakan sebagai beban dorong. (*Wiryanto Dewobroto,2006*)

Analisis *Pushover* merupakan salah satu komponen *Performance Based Seismic Design* yang menjadi sarana dalam mencari kapasitas dari suatu struktur. Prosedur analisisnya akan menjelaskan bagaimana mengidentifikasi bagian-bagian dari bangunan yang akan mengalami kegagalan terlebih dahulu. Seiring dengan penambahan beban akan ada elemen-elemen yang lain mengalami leleh dan mengalami deformasi inelastic. Hasil akhir dari analisis ini berupa nilai-nilai gaya-gaya geser dasar (*base shear*) untuk menghasilkan perpindahan dari struktur tersebut. Nilai-nilai tersebut akan digambarkan dalam bentuk kurva kapasitas yang merupakan gambaran perilaku struktur dalam bentuk perpindahan lateral terhadap beban (*demand*) yang diberikan. Selain itu, analisis *pushover* dapat menampilkan secara visual elemen-elemen struktur yang mengalami kegagalan, sehingga dapat dilakukan pencegahan dengan melakukan pendekatan khusus pada elemen struktur tersebut. (ATC 40, 1996)

Menurut Wiryanto Dewobroto (2006), Analisa *pushover* dapat digunakan sebagai alat bantu untuk perencanaan tahan gempa, asalkan menyesuaikan dengan keterbatasan yang ada , yaitu :

- Hasil analisa *pushover* masih berupa suatu pendekatan, karena bagaimanapun perilaku gempa yang sebenarnya adalah bersifat bolak-balik melalui suatu siklus tertentu, sedangkan sifat pembebanan pada analisa *pushover* adalah statik monotonik.

- Pemilihan pola beban lateral yang digunakan dalam analisa adalah sangat penting.
- Untuk membuat model analisa nonlinier akan lebih rumit dibanding model analisa linier. Model tersebut harus memperhitungkan karakteristik inelastic beban-deformasi dari elemen-elemen yang penting dan efek P-Δ

### **2.3.5. Kinerja Struktur**

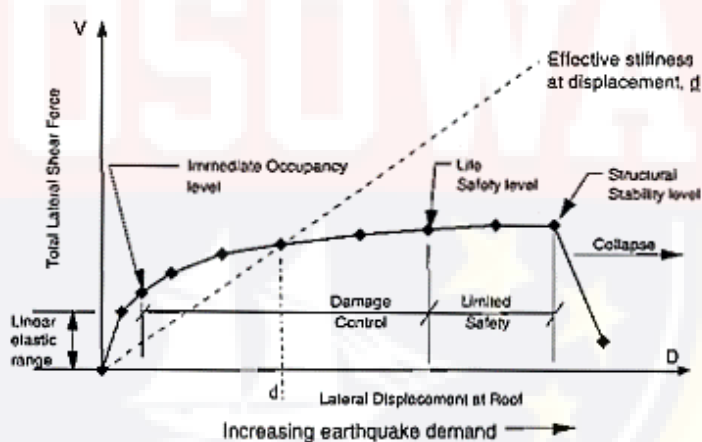
Kinerja struktur adalah tingkatan performa suatu struktur terhadap gempa rencana. Tingkatan performa struktur dapat diketahui dengan melihat kerusakan pada struktur saat terkena gempa rencana dengan periode ulang tertentu, oleh karenanya tingkat kinerja struktur akan selalu berhubungan dengan biaya perbaikan terhadap bangunan tersebut. (*Tavio, dkk. 2018*)

#### **2.3.5.1. Kinerja Struktur Metode ATC-40**

Respon bangunan terhadap gerakan tanah akibat gempa menyebabkan perpindahan lateral dan deformasi pada setiap elemen struktur. Pada level respon rendah, deformasi elemen akan dalam rentang elastis (*linier*) dan tidak ada kerusakan yang timbul. Pada level respon tinggi, deformasi elemen akan melebihi kapasitas linier elastis dan bangunan akan mengalami kerusakan. Untuk memberikan kinerja seismic yang andal, bangunan harus memiliki sistem penahan gaya lateral yang lengkap, mampu membatasi perpindahan lateral akibat gempa pada level kerusakan yang berkelanjutan dan untuk tujuan kinerja yang diinginkan.

Faktor-faktor dasar yang mempengaruhi kemampuan sistem penahan gaya lateral untuk melakukan hal tersebut meliputi massa bangunan, kekakuan, redaman, dan konfigurasi : kapasitas deformasi pada elemen, kekuatan dan karakter gerakan tanah. (ATC-40, 1996)

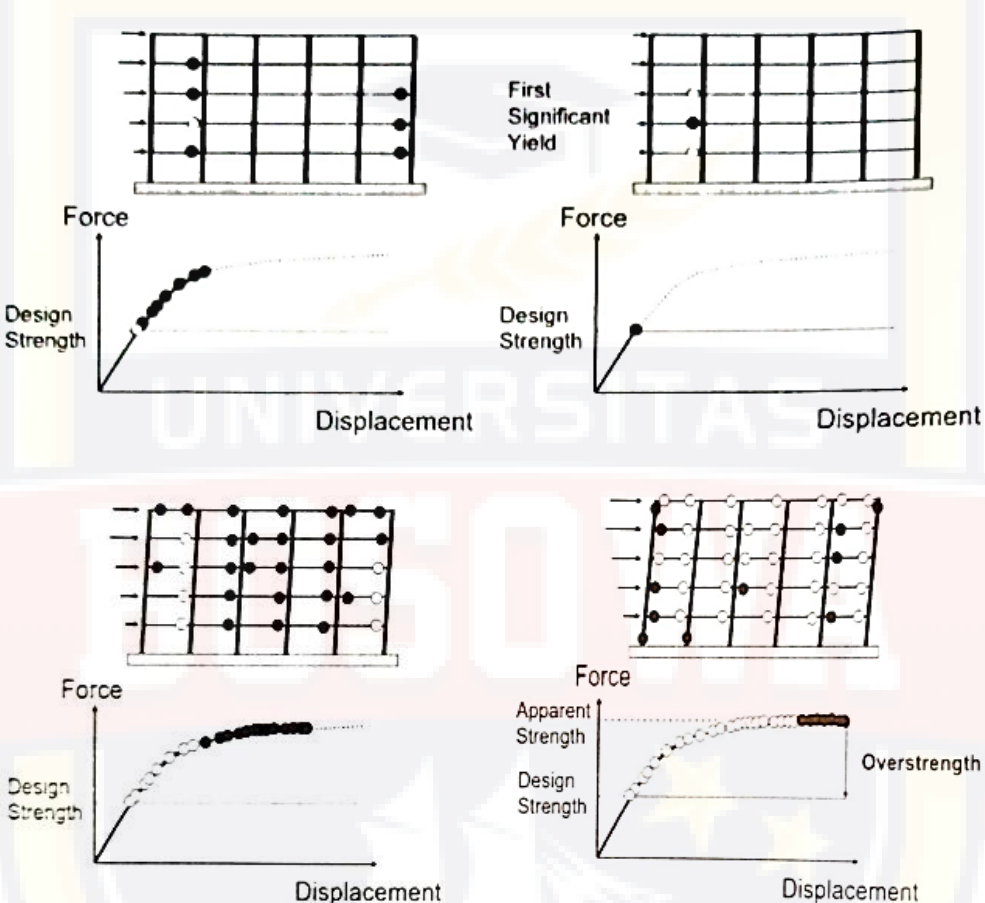
Menurut Tavio (2018), ada beberapa tingkatan kinerja sesuai ATC-40, dimana tingkatan kinerja digambarkan kurva hubungan antara perpindahan lateral dan besar gaya yang bekerja atau kurva kapasitas. Kurva kapasitas menggabarkan plot dari total gaya geser akibat gempa pada struktur, untuk berbagai kenaikan pembebahan dan perpindahan lateral gedung pada atap pada tingkat gaya lateral tertentu.



Gambar 2. 1: Tipikal Kurva Kapasitas pada Berbagai Tingkat Kinerja Struktur (ATC-40, 1996)

Pada Gambar 2.1, simbol “♦” pada kurva kapasitas mewakili kejadian-kejadian penting tersebut selama respon lateral terhadap struktur. Kejadian-kejadian penting tersebut seperti peleahan pertama pada salah satu elemen struktur atau kerusakan tertentu misalnya pecahnya atau terkelupasnya selimut beton atau kegagalan geser pada

spandel hingga keruntuhan total pada sistem. Untuk lebih jelasnya kejadian-kejadian penting selama respon lateral terhadap struktur dapat dilihat pada gambar berikut :



Gambar 2. 2: Mekanisme Plastifikasi Struktur Selama Respon Lateral dengan *Pushover Analysis* (*FEMA 451, 2006*)

Tujuan utama dari desain berbasis kinerja yaitu untuk menentukan tingkat kinerja yang diinginkan dari bangunan. Kinerja seismik digambarkan dengan menetapkan tingkat kerusakan maksimum yang diizinkan (*performance point*) untuk mengidentifikasi bahaya gempa. Pada Gambar 2.1, telah diketahui kurva kapasitas suatu struktur terhadap

beban lateral, dimana terdapat level-level kinerja tertentu. Level kinerja tersebut di deskripsikan lagi atas bagaimana kondisi bangunan pasca gempa dan kategori bangunan yang di izinkan terhadap level kinerja tertentu berdasarkan pada tabel berikut :

Tabel 2. 1: Kategori Bangunan Pada Tingkat Kinerja Struktur.(ATC-40, 1996: Chap 3.2)

Tingkat Kinerja	Kondisi Bangunan Pasca Gempa	Kategori Bangunan
SP-1 <i>Immediate Occupancy (IO)</i>	Bangunan aman saat terjadi gempa, resiko korban jiwa dan kegagalan struktur tidak terlalu berarti, gedung tidak mengalami kerusakan berarti dan dapat segera difungsikan kembali.	Struktur bangunan yang mutlak difungsikan sebagai sarana penyelamatan, penyimpanan barang berbahaya, atau struktur bangunan dapat mempengaruhi ekonomi nasional. Contohnya Rumah sakit, gudang bahan bakar/ bahan berbahaya lainnya dll.
SP-2 <i>Damage Control (DO)</i>	Merupakan transisi antara <i>Immediate Occupancy (IO)</i> SP-1 dan <i>Life Safety (LS)</i> SP-3 .Bangunan masih mampu menahan gempa yang terjadi, resiko korban jiwa manusia sangat kecil.	Struktur untuk bangunan bersejarah, bangunan yang menjadi tempat penyimpanan bahan bahan yang berharga.
SP-3 <i>Life Safety (LS)</i>	Bangunan mengalami kerusakan tetapi tidak diperkenangkan mengalami keruntuhan yang menyebabkan korban jiwa manusia. Setelah terjadi gempa bangunan dapat berfungsi kembali.	Fasilitas umum , gedung perkantoran/pendidikan, perumahan, gudang dan lain-lain

Tingkat Kinerja	Kondisi Bangunan Pasca Gempa	Kategori Bangunan
SP-4 <i>Limited Safety</i>	Merupakan transisi antara SP-3 dan SP-4 dan bukan merupakan tingkatan serta tidak memperhitungkan aspek ekonomis dalam melakukan perbaikan pasca gempa.	
SP-5 <i>Structural Stability (SS)</i>	Struktur pasca gempa mengalami kerusakan hingga diambah keruntuhan total maupun parsial. Komponen struktur penahan beban gravitasi masih bekerja meskipun keseluruhan kestabilan sudah diambah keruntuhan	
SP-6 <i>Not Considered</i>	Bukan merupakan tingkatan kinerja struktur, tetapi hanya untuk melakukan evaluasi seismik non-struktural atau retrofit.	

### 2.3.5.2. Kinerja Struktur Metode *FEMA 356*

Berdasarkan *FEMA 356* (2000), maka kinerja struktur bangunan saat terjadi gempa dibagi menjadi beberapa kategori. Tingkat kinerja pada *FEMA 356* ini secara garis besar sama dengan tingkat kinerja dalam *ATC-40*. Sedangkan kondisi bangunan pasca gempa dan kategori bangunan pada tingkat kinerja struktur sesuai *FEMA 356* dapat dilihat pada tabel berikut :

Tabel 2. 2: Kondisi Bangunan Pasca Gempa dan Kategori Bangunan pada Tingkat Kinerja Struktur (FEMA 356, 2000)

Tingkat Kinerja	Kondisi Bangunan Pasca Gempa	Kategori Bangunan
<i>Operational</i>	Bangunan tidak ada kerusakan yang berarti pada komponen struktural maupun non struktural. Secara spesifik hal ini ditandai dengan tidak ada pergeseran permanen pada bangunan, sebagian besar struktur dapat mempertahankan kekuatan dan kekakuananya, sedikit retak serta semua sistem penting pada gedung dapat beroperasi dengan normal.	-
<i>Immediate Occupancy</i>	Bangunan tidak ada kerusakan yang berarti pada komponen struktural. Kekuatan dan kekakuan gedung masih hampir sama dengan kondisi sebelum struktur dilanda gempa. Pada komponen non struktural, peralatan, dan nisই gedung umumnya masih aman, tetapi secara operasional tidak dapat bekerja karena kegagalan mekanik atau kurangnya utilitas.	Rumah sakit, gudang bahan bakar/bahan berbahaya dll.
<i>Life Safety</i>	Dalam kategori ini berarti bangunan pasca gempa terjadi beberapa kerusakan komponen struktur dan kekuatan serta kekakuanya berkurang. Struktur masih mempunyai kekuatan cukup untuk memikul beban-beban yang terjadi pada ambang keruntuhan. Komponen non struktural masih ada tetapi tidak dapat berfungsi dan dapat digunakan kembali apabila telah dilakukan perbaikan.	Fasilitas-fasilitas umum, gedung perkantoran, perumahan, gudang dll.

Program SAP2000 sudah bisa mengadopsi tingkat kinerja dari *FEMA* tersebut, seperti pada mekanisme plastifikasi pada sendi plastis elemen struktur. Properti sendi plastis atau *plastic hinge properties* yang didasarkan pada standar *FEMA* 356 yaitu untuk balok pada Tabel 6-7,

untuk kolom 6-8, dan untuk dinding geser Tabel 6-18 dan Tabel 6-19 masing-masing tertera pada *FEMA* 356. Secara umum kurva hubungan gaya dan perpindahan serta karakteristik sendi plastis sudah di *build in* pada program SAP2000. (*Tavio, dkk.* 2018)

#### **2.3.5.3. Kinerja Struktur Metode *FEMA* 440**

Metode *FEMA* 440 merupakan metode pengembangan dari metode koefisien perpindahan *FEMA* 356 atau juga bisa disebut metode koefisien perpindahan yang diperbaiki. Secara garis besar dalam perhitungan metode *FEMA* 440 ini sama dengan *FEMA* 356, yaitu dengan hasil akhir menentukan nilai target perpindahan ( $\delta_T$ ).

#### **2.3.6. Kinerja Batas Ultimit Menurut SNI-1726:2019**

Kinerja batas ultimit struktur gedung ditentukan oleh simpangan. Simpangan antar tingkat maksimum struktur gedung akibat pengaruh gempa rencana dalam kondisi struktur gedung diambil keruntuhan yaitu dengan membatasi kemungkinan terjadinya keruntuhan struktur gedung yang dapat menimbulkan korban jiwa manusia untuk mencegah benturan berbahaya antar-gedung atau antar bagian struktur gedung yang dipisah dengan sela pemisah (sela delatas). Sesuai pasal 7.12 SNI-1726:2019 simpangan antar tingkat dan deformasi. Batasan simpangan antar tingkat sebagai berikut :

Tabel 2. 3: Simpangan antar izin  $\Delta_{a,b}$

Struktur	Kategori Resiko		
	I atau II	III	IV
Struktur selain dari struktur dinding geser batu bata 4 tingkat atau kurang dengan dinding interior, partisi, langit-langit, dan system dinding eksterior yang telah didesain untuk mengakomodasikan simpangan antar tingkat.	0,025h <sub>xx</sub>	0,020h <sub>xx</sub>	0,015h <sub>xx</sub>
Struktur dinding geser kantilever batu bata <sup>d</sup>	0,010h <sub>sx</sub>	0,010h <sub>sx</sub>	0,010h <sub>sx</sub>
Struktur dinding geser batu bata lainnya	0,007h <sub>sx</sub>	0,007h <sub>sx</sub>	0,007h <sub>sx</sub>
Semua struktur lainnya	0,020h <sub>sx</sub>	0,015h <sub>sx</sub>	0,010h <sub>sx</sub>

CATATAN :

- $h_{sx}$  adalah tinggi tingkat dibawah tingkat x.
- Untuk system pemikul gaya seismic yang terdiri dari hanya rangka momen dalam kategori desain seismic D, E, dan F, simpangan antar tingkat izin harus dengan persyaratan 0.
- Tidak boleh ada batasan simpangan antar tingkat untuk struktur satu tingkat dengan dinding interior, partisi, langit-langit, dan system dinding eksterior yang telah didesain untuk mengakomodasikan simpangan antar tingkat. Persyaratan pemisahan struktur dalam 0 tidak terabaikan.
- Struktur dimana system struktur dasar terdiri dari dinding geser batu bata yang didesain sebagai elemen vertical kantilever dari dasar atau pendukung fondasinya yang dikonstruksikan sedemikian agar penyaluran momen diantara dinding geser (kopel) dapat diabaikan.

Kriteria simpangan ultimit tersebut selanjutnya digunakan sebagai target perpindahan versi SNI 1726-2019.

## **2.4. Konsep Pembebanan**

Beban adalah gaya luar yang bekerja pada suatu struktur. Penentuan pembebanan merupakan faktor penting dalam perancangan struktur bangunan. Oleh karena itu dalam merancang struktur perlu mengidentifikasi beban-beban yang bekerja. Menurut Schueller beban-beban yang bekerja pada struktur ditimbulkan secara langsung oleh gaya-gaya alamiah dan buatan manusia. Secara umum struktur dikatakan aman dan stabil apabila mampu menahan beban gravitasi (beban mati dan hidup) dan beban gempa yang bekerja pada bangunan tersebut. Proses Pembebanan pada struktur dilakukan dengan menggunakan bantuan Sofware SAP2000 V22 dengan asumsi pembebanan disesuaikan dengan SNI2-1727:2020 sebagai berikut :

### **2.4.1. Beban Mati**

Sesuai dengan pasal 3.1 SNI2 1727:2020 tentang Beban Desain Minimum dan Kriteria Terkait Untuk Bangunan Gedung dan Struktur Lain, beban mati adalah berat seluruh bahan konstruksi bangunan gedung yang terpasang, termasuk dinding, lantai, atap, plafon, tangga, dinding partisi tetap, *finishing*, *kladding* gedung dan komponen arsitektural dan struktural lainnya serta peralatan layan terpasang lain termasuk berat derek dan sistem pengangkut material.

Tabel 2. 4: Berat sendiri bangunan dan komponen gedung

Bahan bangunan dan komponen gedung	Berat sendiri
<b>Bahan bangunan</b>	
Baja	7850 kg/m <sup>3</sup>
Beton	2200 kg/m <sup>3</sup>
Beton bertulang	2400 kg/m <sup>3</sup>
Kaca	2579 kg/m <sup>3</sup>
<b>Komponen gedung</b>	
Dinding setengah batu	250 kg/m <sup>2</sup>
Adukan per cm tebal dari semen	21 kg/m <sup>2</sup>
Aspal, per cm tebal	14 kg/m <sup>2</sup>
Plafond	11 kg/m <sup>2</sup>
Penutup lantai tanpa adukan per cm tebal	24 kg/m <sup>2</sup>
Penggantung langit-langit (kayu)	7 kg/m <sup>2</sup>

#### 2.4.2. Beban Hidup

Sesuai dengan pasal 4.1 SNI2 1727:2020, beban hidup merupakan beban yang diakibatkan oleh pengguna dan penghuni bangunan gedung atau struktur lain yang tidak termasuk beban konstruksi dan beban lingkungan, seperti beban angin, beban hujan, beban gempa, beban banjir, atau beban mati. Beban hidup selalu berubah-ubah dan sulit diperkirakan. Perubahan tersebut terjadi sepanjang waktu, baik untuk jangka pendek maupun jangka panjang (Schueller, 2010).

Tabel 2. 5: Beban hidup terdistribusi merata untuk bangunan

Penggunaan	Beban (kN/m <sup>2</sup> )	Beban (kg/m <sup>2</sup> )
Kursi tetap (terikat di lantai)	2.87	292.65
Ruang komputer	4.79	488.44
Ruang baca	2.87	292.65
Atap datar	0.96	97.89

Penggunaan	Beban (kN/m <sup>2</sup> )	Beban (kg/m <sup>2</sup> )
Ruang kelas	1.92	195.78
Koridor diatas lantai 1	3.83	390.55
Koridor lantai 1	4.79	488.44
Ruang rapat	4.79	488.44

#### 2.4.3. Beban Gempa

Beban gempa adalah besarnya getaran yang terjadi di dalam struktur

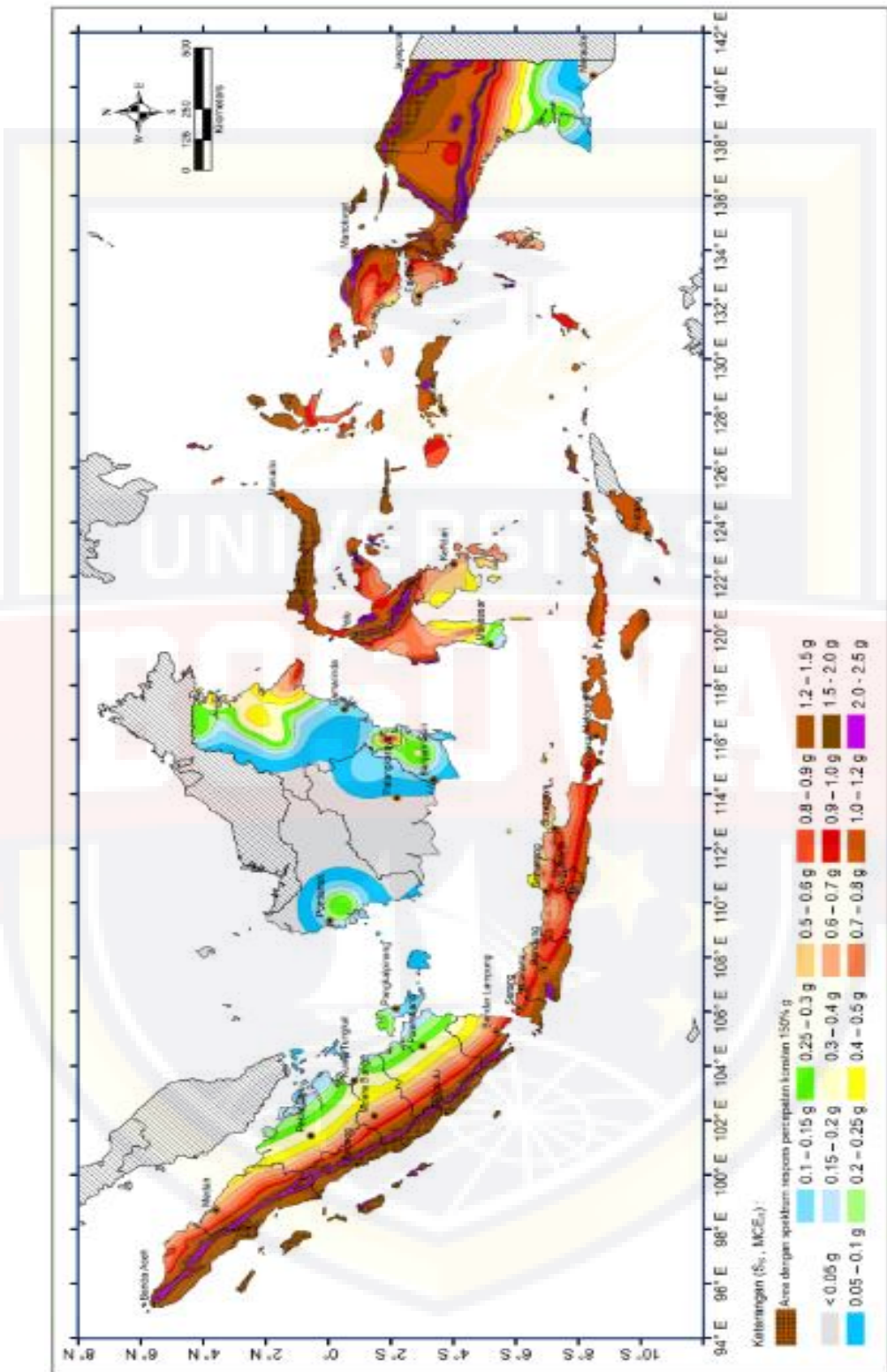
Pada dasarnya ada dua metode Analisa Perencanaan Gempa, yaitu :

1. Analisis Beban Statik Ekuivalen (*Equivalent Static Load Analysis*) adalah suatu cara analisa struktur, dimana pengaruh gempa pada struktur dianggap sebagai beban statik horizontal untuk menirukan pengaruh gempa yang sesungguhnya akibat gerakan tanah. Metode ini digunakan untuk bangunan struktur yang beraturan dengan ketinggian tidak lebih dari 40 m.
2. Analisis Dinamik (*Dynamic Analysis*), Metode ini digunakan untuk bangunan dengan struktur yang tidak beraturan. Perhitungan gempa dengan analisis dinamik ini terdiri dari :
  - Analisa Ragam Spektrum Respons adalah suatu cara analisa dinamik struktur, dimana suatu model dari matematik struktur diberlakukan suatu spektrum respons gempa rencana, dan ditentukan respons struktur terhadap gempa rencana tersebut.
  - Analisa Respons Riwayat Waktu adalah suatu cara analisa dinamik struktur, dimana suatu model matematik dari struktur dikenakan

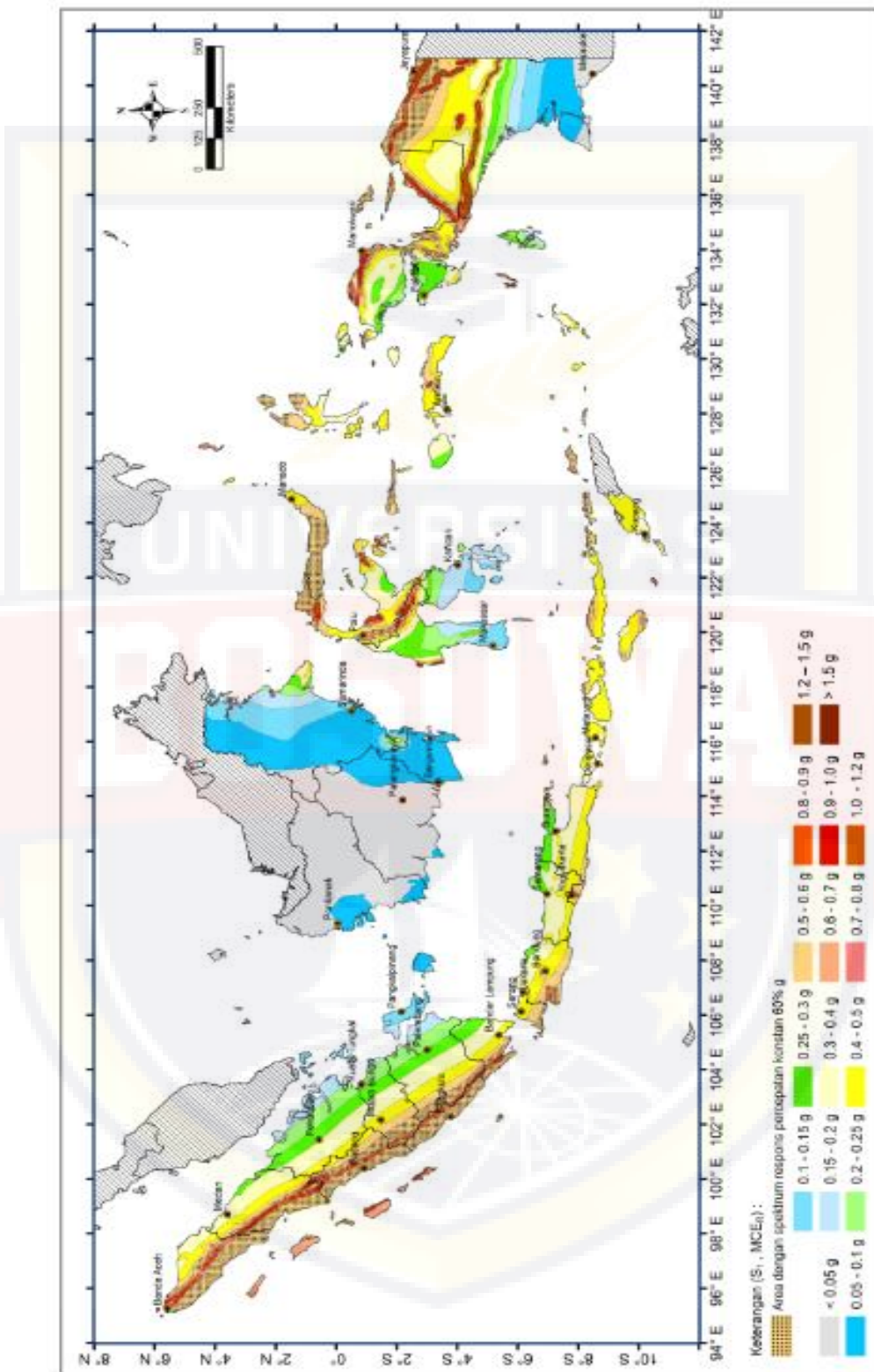
riwayat waktu dari gempa-gempa hasil pencatatan atau gempa-gempa tiruan terhadap riwayat waktu dari respons struktur ditentukan.

Menurut *Tata Cara Perencanaan Ketahanan Gempa Untuk Struktur Bangunan Gedung dan Non Gedung* (SNI 1726:2019), pengaruh gempa rencana yang harus ditinjau dalam perencanaan dan evaluasi struktur bangunan gedung dan nongedung serta berbagai bagian dan peralatannya secara umum. Gempa rencana ditetapkan sebagai gempa dengan kemungkinan terlampaui besarnya selama umur struktur bangunan 50 tahun adalah sebesar 2%. Terdapat 2 buah peta wilayah gempa, yaitu untuk gempa dengan periode  $T = 0,2$  detik dan gempa dengan periode  $T = 1$  detik. Grafik respons spektrum tidak disediakan, melainkan harus direncanakan sendiri menggunakan parameter-parameter percepatan yang dapat dihitung berdasarkan wilayah gempa dan struktur gedung yang dibangun. Langkah-langkah membuat respons spektrum desain adalah sebagai berikut:

- a. Menentukan  $S_s$  (diperoleh dari peta gempa SNI 1726:2019 dengan periode ulang 2500 tahun dan  $T = 0,2$  detik) dan  $S_1$  (diperoleh dari peta gempa dengan periode ulang 2500 tahun dan  $T = 1$  detik)



Gambar 2. 3: Peta parameter gerak tanah  $S_s$ , Gempa maksimum yang dipertimbangkan risiko-tertarget (MCE<sub>R</sub>) untuk spektrum respon 0,2 detik



Gambar 2. 4: Peta parameter gerak tanah S<sub>1</sub>, Gempa maksimum yang dipertimbangkan risiko-tertarget (MCE<sub>R</sub>) untuk spektrum respon 1 detik

b. Menentukan jenis tanah dan koefisien situs, setelah jenis tanah ditentukan, dengan nilai  $S_s$  dan  $S_1$  yang diperoleh dilangkah awal maka  $f_s$  dan  $f_v$  akan diperoleh melalui tabel berikut :

Tabel 2. 6: Koefisien situs Fa

Kelas situs	Parameter Respon Spektral Percepatan Gempa (MCE <sub>R</sub> ) Terpetakan Pada Periodik Pendek, T = 0.2 detik, $S_s$				
	$S_s \leq 0.25$	$S_s = 0.5$	$S_s = 0.75$	$S_s = 1$	$S_s \geq 1.25$
SA	0.8	0.8	0.8	0.8	0.8
SB	0.9	0.9	0.9	0.9	0.9
SC	1.3	1.3	1.2	1.2	1.2
SD	1.6	1.4	1.2	1.1	1.0
SE	2.4	1.7	1.3	1.1	0.8
SF	SS <sup>b</sup>				

Tabel 2. 7: Koefisien situs Fv

Kelas situs	Parameter Respon Spektral Percepatan Gempa (MCE <sub>R</sub> ) Terpetakan Pada Periodik Pendek, T = 1 detik, $S_1$				
	$S_1 \leq 0.1$	$S_1 = 0.2$	$S_1 = 0.3$	$S_1 = 0.4$	$S_1 \geq 0.5$
SA	0.8	0.8	0.8	0.8	0.8
SB	0.8	0.8	0.8	0.8	0.8
SC	1.5	1.5	1.5	1.5	1.5
SD	2.4	2.2	2.0	1.9	1.8
SE	4.2	3.3	2.8	2.4	2.2
SF	SS <sup>b</sup>				

c. Menghitung  $S_{MS}$  dan  $S_{M1}$  (parameter spektrum respon percepatan pada periode pendek dan periode 1 detik) yang disesuaikan dengan pengaruh klasifikasi situs, harus ditentukan dengan perumusan berikut ini:

$$S_{MS} = F_a \cdot S_s \quad (2.2)$$

$$S_{M1} = F_v \cdot S_1 \quad (2.3)$$

- d. Menghitung parameter percepatan spektral desain untuk periode pendek,  $S_{DS}$  dan periode 1 detik  $S_{D1}$  harus ditentukan melalui persamaan berikut:

$$S_{DS} = 2/3 S_{MS} \quad (2.3)$$

$$S_{D1} = 2/3 S_{M1} \quad (2.4)$$

- e. Spektrum respons desain,

- Untuk perioda yang lebih kecil dari  $T_0$ , spektrum respons percepatan desain  $S_a$  harus diambil dari persamaan:

$$S_a = S_{DS} \left\{ 0,4 + 0,6 \frac{T}{T_0} \right\} \quad (2.5)$$

- Untuk perioda lebih besar dari atau sama dengan  $T_0$  dan lebih kecil atau sama dengan  $T_s$ , spektrum respons percepatan desain,  $S_a$  sama dengan  $S_{DS}$

- Untuk perioda lebih besar dari  $T_s$ , spektrum respons percepatan desain  $S_a$ , diambil berdasarkan persamaan:

$$T_0 = 0,2 \frac{S_{D1}}{S_{DS}} \quad (2.6)$$

$$T_s = \frac{S_{D1}}{S_{DS}} \quad (2.7)$$

$$S_a = \frac{S_{D1}}{T} \quad (2.8)$$

- Sesuai pasal 5.3 SNI 1726-2019, jenis tanah dikelompokan menjadi 6 bagian, dengan pembagiannya berdasarkan besaran

percepatan rambat gelombang geser rata-rata ( $V_s$ ), nilai hasil test penetrasi standar rata-rata (N), dan kuat geser nilai rata-rata.

Tabel 2. 8: Klasifikasi Situs

Kelas situs	$\bar{V}_s$ (m/detik)	N atau $\bar{N}_{ch}$	$\bar{s}_u$ (kPa)
SA (batuan keras)	>1500	N/A	N/A
SB (batuan)	750 sampai 1500	N/A	N/A
SC (tanah keras, sangat padat dan batuan lunak)	350 sampai 750	>50	$\geq 100$
SD (tanah sedang)	175 sampai 350	15 sampai 50	50 sampai 100
SE (tanah lunak)	< 175	<15	< 50
	Atau setiap profil tanah yang mengandung lebih dari 3 m tanah dengan karakteristik sebagai berikut : 1. Indeks plastisitas, $PI > 20$ , 2. Kadar air, $w \geq 40\%$ , 3. Kuat geser niralir $s_u < 25$ kPa		

- Sesuai pasal 4.1.2 SNI 1726-2019, menentukan kategori resiko struktur bangunan gedung atau non gedung. Pengaruh gempa rencana harus dikalikan dengan faktor keutamaan.

Tabel 2. 9: Kategori resiko bangunan untuk beban gempa

Jenis Pemanfaatan	Kategori Resiko
Gedung dengan resiko redah terhadap jiwa manusia	I
Semua gedung lain	II
Gedung dengan resiko tinggi terhadap jiwa manusia	III
Gedung yang ditunjukan untuk fasilitas penting	IV

Tabel 2. 10: Faktor Keutamaan Gempa

Kategori Resiko	Faktor Keutamaan Gempa, $I_e$
I atau II	1,00
III	1,25
IV	1,50

- f. Kategori Desain Seismik (KDS), dihitung berdasarkan pasal 6.5 SNI 1726-2019

Tabel 2. 11: Kategori desain seismic berdasarkan parameter respon percepatan pada periode pendek.

Nilai $S_{DS}$	Kategori Resiko	
	I, II, dan III	IV
$S_{DS} < 0,167$	A	A
$0,167 < S_{DS} < 0,33$	B	C
$0,33 < S_{DS} < 0,50$	C	D
$0,50 < S_{DS}$	D	D

Tabel 2. 12: Kategori desain seismic berdasarkan parameter respon percepatan pada periode 1 detik.

Nilai $S_{D1}$	Kategori Resiko	
	I, II, dan III	IV
$S_{D1} < 0,067$	A	A
$0,067 < S_{D1} < 0,133$	B	C
$0,133 < S_{D1} < 0,20$	C	D
$0,20 < S_{D1}$	D	D

Berdasarkan hasil perhitungan Kategori Desain Seismik (KDS) maka didapatkan nilai  $S_{DS} = 0,400$  dengan kategori resiko IV adalah D, dan nilai  $S_{D1} = 0,315$  dengan kategori resiko IV adalah C.

#### 2.4.4. Kombinasi Pembebaan

Beban-beban yang bekerja pada struktur akan berdampak pada kekuatan rencana elemen struktur. Maka dari itu, beban-beban yang bekerja dijumlahkan dengan faktor beban *LRFD* (*Load Resistance Factor Design*) yang menurut SNI disebut Desain Faktor Beban dan Ketahanan (DFBK). Kombinasi beban menurut pasal 4.2.2 SNI 1726-2019, yaitu sebagai berikut:

$$1,4D \quad (2.9)$$

$$1,2D + 1,6L + 0,5 \text{ (L}_r \text{ atau R)} \quad (2.10)$$

$$1,2D + 1,6 \text{ (L}_r \text{ atau R)} + \text{(L atau } 0,5W) \quad (2.11)$$

$$1,2D + 1,0W + L + 0,5 (L_r \text{ atau } R) \quad (2.12)$$

$$0,9D + 1,0W \quad (2.13)$$

$$1,2D + E_v + E_h + L \quad (2.14)$$

$$0,9D - E_v + E_h \quad (2.15)$$

Keterangan :

D = Beban mati

L = Beban hidup

E = Beban gempa

W = Beban angina

$L_r$  = Pengaruh beban hidup diatap

R = Beban air hujan

$E_h$  = Pengaruh gaya seismik horizontal

$E_v$  = Pengaruh gaya seismik vertikal

Berdasarkan pasal 13.4.3 SNI 1726:2019 tentang kombinasi efek beban dalam peninjauan pembebanan gempa, massa total diperkenankan untuk menggunakan faktor beban 25% pada beban hidup. Besaran massa elemen struktur ini digunakan untuk analisa modal pembebanan gempa pada aplikasi SAP2000 V22.

## 2.5. Desain Kapasitas

Struktur gedung harus memenuhi persyaratan “kolom kuat balok lemah”, artinya ketika struktur gedung memiliki pengaruh Gempa rencana, sendi-sendi plastis di dalam struktur gedung tersebut hanya boleh terjadi pada ujung-ujung balok dan pada kaki-kaki kolom saja. Implementasi persyaratan ini didalam perencanaan struktur baja ditetapkan dalam standar baja yang berlaku.

## **2.6. Kekuatan Desain**

Menurut SNI2 1727:2020 Kekuatan desain adalah hasil kali antara kekuatan nominal dengan faktor ketahanan. Kekuatan nominal adalah kemampuan suatu struktur atau komponen struktur untuk menahan efek beban, yang dihitung dengan menggunakan kekuatan bahan yang disyaratkan serta dimensi dan rumus yang diturunkan dari prinsip mekanika rekayasa yang diakui atau melalui hasil uji lapangan ataupun hasil uji laboratorium dari model yang diskalakan, yang memperhitungkan perbedaan antara kondisi laboratorium dan lapangan Sedangkan Faktor ketahanan adalah Faktor yang memperhitungkan penyimpangan kekuatan sebenarnya dari kekuatan nominal (disebut juga faktor reduksi kekuatan).

Tabel 2. 13: Faktor Reduksi Kekuatan Baja

Gaya atau Elemen Struktur	$\phi$
Faktor Ketahanan untuk tekan	0,90
Faktor Ketahanan untuk lentur	0,90
Faktor Ketahanan untuk keruntuhan tarik	0,75
Faktor Ketahanan untuk tegangan	0,75
Faktor Ketahanan untuk geser	0,75

## **2.7. Studi Literatur**

Pada sub bab ini membahas mengenai literatur yang digunakan dalam tugas akhir ini adalah penelitian terdahulu. Literature ini sangat bermanfaat guna menambah informasi dan sebagai rujukan ilmiah dalam penyelesaian tugas akhir ini. Adapun penelitian terdahulu sebagai berikut :

1. Penelitian 1 - Ulfa Nurdianti (2013)

Penelitian berjudul “*Studi Keandalan Struktur Gedung Tinggi Tidak Beraturan Menggunakan Pushover Analysis Pada Tanah Medium*”.

Permasalahan yang dibahas dalam penelitian ini adalah bagaimana perilaku/kinerja struktur gedung tinggi tidak beraturan berdasarkan titik evaluasi kinerjanya pada kondisi inelastis. Dan berdasarkan hasil penelitian maka didapatkan titik kinerja gedung berdasarkan rasio simpangan yaitu pada pembebanan arah-x dan arah-y adalah 0,198 dan 0,199. Berdasarkan simpangan yang disyaratkan *FEMA 356* dan *ATC-40* untuk level *Immediate Occupancy* adalah 0,01. Oleh karena itu level kinerja struktur adalah *Immediate Occupancy*.

2. Penelitian 2 - Panji Wibowo (2016)

Judul penellitian adalah “*Perencanaan Ulang Gedung I.T.S Tower Jakarta Menggunakan Metode Performance Based Design*”.

Tugas akhir ini membahas mengenai perencanaan berbasis kinerja, perencanaan yang dilakukan meliputi struktur primer dan struktur sekunder.

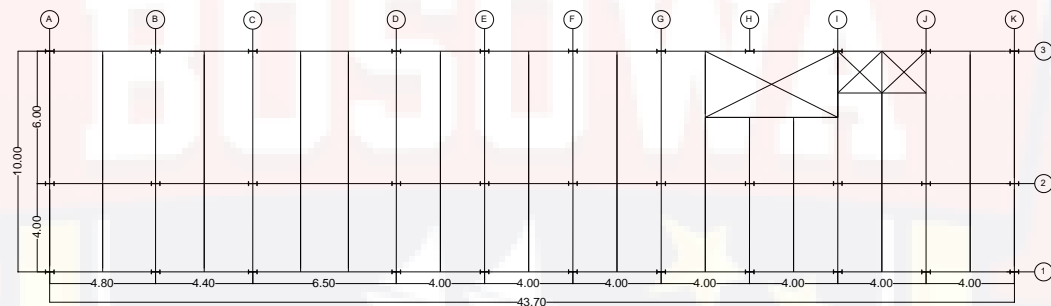
Dari hasil analisa nonlinier *time history*, didapatkan defleksi maksimum yang terjadi yaitu gempa arah x = 0,3316 m dan gempa arah y = 0,293 m sehingga gedung I.T.S tower Jakarta memenuhi persyaratan target displacemen yaitu = 0,6235 m.

## BAB III

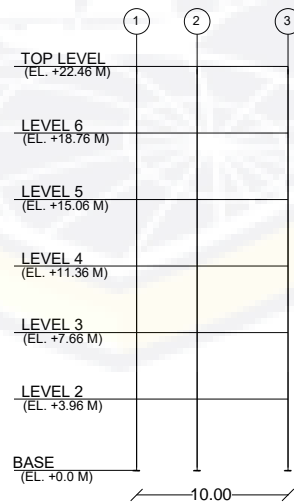
### KONSEP PERENCANAAN/PERHITUNGAN

#### 3.1. Model Struktur Bangunan

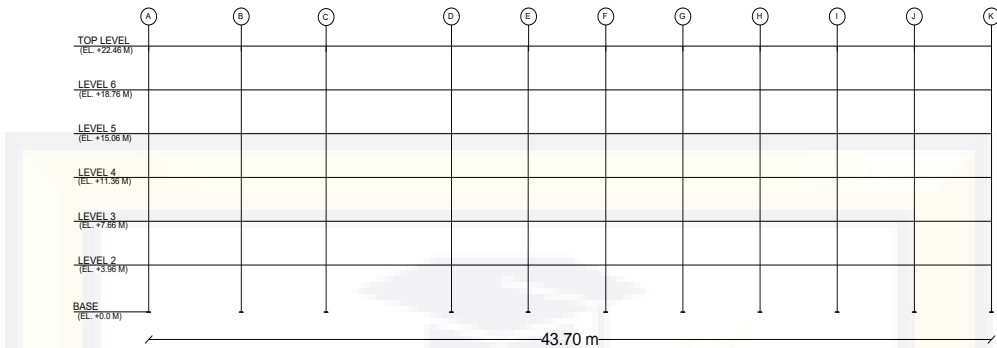
Pemodelan struktrur atas pada tugas akhir ini dilakukan dengan bantuan software SAP2000 V22 dan menggunakan Sistem Rangka Pemikul Momen (SRPM) yang kemudian akan di evaluasi menggunakan Metode Rekasaya Gempa Berbasis Kinerja untuk mengetahui Level kinerja struktur gedung. Strukur yang akan direncanakan merupakan bangunan perkuliahan 7 lantai, dengan denah rencana struktur sebagai berikut :



Gambar 3. 1: Denah Struktur



Gambar 3. 2: Tampak depan struktur



Gambar 3. 3: Tampak samping struktur

### 3.2. Pendekatan Penelitian

Pendekatan penelitian yang digunakan adalah pendekatan kuantitatif karena hasil penelitian berupa angka atau bilangan hasil dari perhitungan pembebanan, analisa struktur, dan evaluasi kinerja struktur berdasarkan metode perencanaan berbasis kinerja yang diolah pada aplikasi SAP2000 dan *Microsoft Excel*.

### 3.3. Data Dasar Perencanaan

Data bangunan Fakultas Kedokteran Universitas Bosowa sebagai berikut :

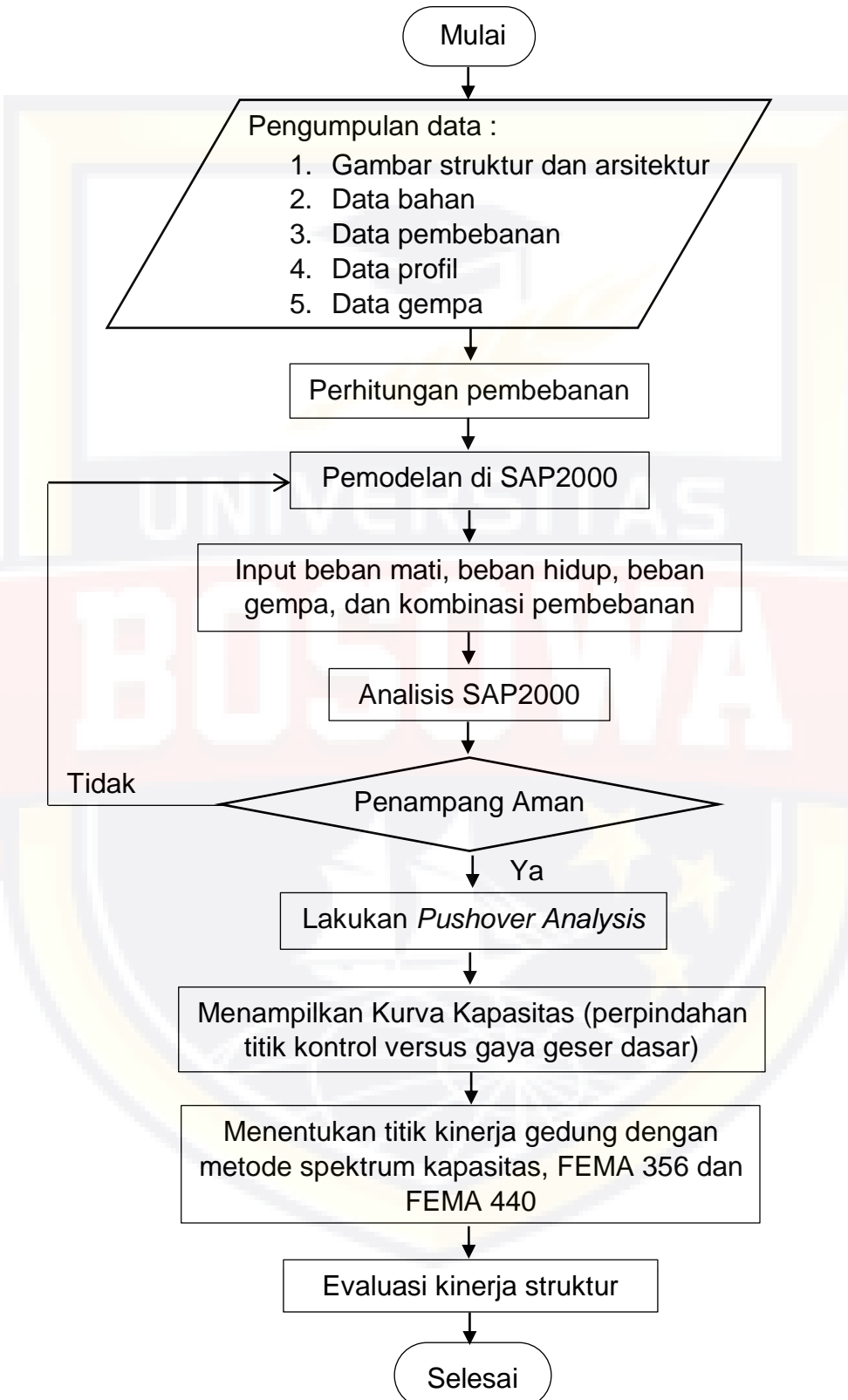
#### a. Data Primer

- Tipe bangunan : Gedung Fasilitas Pendidikan
- Lokasi : Jalan Urip Sumoharjo KM. 4 Makassar
- Tinggi gedung : 22.46 m
- Tinggi lantai dasar : 3.96 m
- Tinggi lantai 2-7 : 3.70 m
- Panjang gedung : 43.70 m
- Lebar gedung : 10.00 m

- Material struktur : Baja
  - Sistem struktur : Sistem Rangka Pemikul Momen
  - Baja : BJ 41
  - Beton :  $f'_c$  20 MPa
  - Sambungan Baut : A325
  - Sambungan Las :  $F_{E70xx}$
- b. Data Sekunder

Data sekunder merupakan data penunjang yang mendukung proses penelitian didapatkan dari buku referensi dan literatur skripsi Teknik Sipil.

### 3.4. Bagan Alir



### **3.5. Prosedur Perencanaan**

Berikut merupakan prosedur dalam pengolahan data perencanaan/perhitungan sebagai berikut :

- a. Pengumpulan data-data seperti gambar struktur dan arsitektur bangunan, data bahan, data pembebanan, data profil, dan data gempa
- b. Melakukan perhitungan pembebanan
- c. Pemodelan struktur seperti pendefinisian dimensi kolom, balok induk, balok anak serta memasukkan material yang digunakan
- d. Menginput hasil perhitungan pembebanan yakni beban mati, beban hidup, beban gempa serta kombinasi pembebanan di SAP2000 V22
- e. Kemudian menganalisis penampang di SAP2000 V22
- f. Setelah menganalisis penampang maka keluarlah hasil analisis jika penampang sudah dalam keadaan aman terhadap beban gravitasi dan beban lateral
- g. Selanjutnya hasil perencanaan kita uji dengan melakukan *Pushover Analysis* di SAP2000 V22
- h. Menampilkan kurva kapasitas hasil analisis *Pushover*, kemudian menentukan titik kinerja gedung dengan metode spectrum kapasitas
- i. Kemudian menetapkan level kinerja gedung berdasarkan hasil perencanaan
- j. Kemudian membuat sebuah kesimpulan berdasarkan hasil analisis sesuai dengan tujuan penelitian.

### **3.6. *Preliminary Design***

*Preliminary desain atau Perencanaan awal merupakan perencanaan yang dilakukan untuk memperkirakan dimensi awal elemen struktur untuk menentukan mutu bahan material struktur dan dimensi profil yang akan digunakan.* Dalam perencanaan awal meliputi perencanaan struktur sekunder dan perencanaan struktur primer. Dalam perencanaan struktur sekunder yang akan diperkirakan adalah pelat lantai, pelat atap, balok anak, tangga, dan balok penggantung lift. Sedangkan pada perencanaan struktur primer yang akan diperkirakan adalah balok induk, kolom serta sambungan.

### **3.7. Pemodelan Struktur**

Dalam Pemodelan struktur ini perencana/penulis akan menggunakan program SAP2000 V22. Struktur akan ditinjau dalam model 3 dimensi, analisa pembebatan gempa yang digunakan adalah analisa respon spectrum pada program SAP2000 V22, dan analisa system strukturnya menggunakan Sistem Rangka Pemikul Momen dan kemudian akan di tinjau dengan menggunakan analisa pushover dengan bantuan program SAP2000 V22.

### **3.8. Sistem Rangka Pemikul Momen**

Sistem rangka pemikul momen adalah sistem rangka ruang dimana komponen-komponen struktur balok, kolom, dan joint-jointnya menahan gaya-gaya yang bekerja melalui aksi lentur, geser, dan aksial.

### **3.9. Desain *Direct Displacement Based Design* Sistem Rangka**

Secara berurutan *step-by-step* perhitungan gaya geser desain dengan metode *DDBD* untuk system rangka sebagai berikut :

#### **3.9.1. Desain Perpindahan Tingkat**

Desain perpindahan untuk sistem rangka ditentukan berdasarkan inelastic *mode shape* dan tinggi masing-masing lantai. Perhitungan nilai inelastik *mode shape* berdasarkan jumlah lantai rencana.

$$\text{Untuk } n \leq 4, \delta_i = \frac{H_i}{H_n} \quad (3.1)$$

$$\text{Untuk } n > 4, \delta_i = \frac{4}{3} \left( \frac{H_i}{H_n} \right) \left( 1 - \frac{H_i}{4H_n} \right) \quad (3.2)$$

Desain perpindahan atau profil perpindahan rencana untuk system rangka dapat dihitung dengan persamaan 3.3 dan 3.4, dimana profil perpindahan rencana dipengaruhi oleh nilai simpangan desain struktur yang di desain.

$$\text{Untuk lantai pertama : } \Delta_1 = \theta \times H_1 \quad (3.3)$$

$$\text{Untuk lantai berikutnya : } \Delta_i = \delta_i \frac{\Delta_1}{\delta_1} \quad (3.4)$$

Dimana :

$\theta$  : Simpangan desain (*drift design*) pada tingkat kinerja desain

#### **3.9.2. Desain Perpindahan *SDOF* yang setara (Ekuivalen)**

Desain perpindahan tingkat *Multy Degree of Freedom (MDOF)* harus dikonversi kedalam system *Single Degree of Freedom (SDOF)*, dimana perpindahan maksimum merupakan ekuivalen dari desain

perpindahan tingkat *MDOF*, sehingga dapat dihitung dengan persamaan 3.5.

$$\Delta_d = \frac{\sum_{i=1}^n (m_i \Delta_i^2)}{\sum_{i=1}^n (m_i \Delta_i)} \quad (3.5)$$

Dimana :

- $\Delta_d$  : Perpindahan maksimum desain *SDOF*, m  
 $m_i$  : Massa pada tingkat ke-i, ton  
 $\Delta_i$  : Perpindahan pada lantai ke-i, m

### 3.9.3. Massa Efektif

Massa efektif untuk sistem *SDOF* pada sistem rangka dihitung dengan persamaan 3.6.

$$m_e = \frac{\sum_{i=1}^n (m_i \Delta_i)}{\Delta_d} \quad (3.6)$$

Dimana :

- $m_e$  : Massa efektif, ton/g

### 3.9.4. Tinggi Efektif

Tinggi efektif struktur yang setara dengan sistem *SDOF* dapat dihitung dengan persamaan 3.7.

$$H_E = \frac{\sum_{i=1}^n (m_i \Delta_i h_i)}{\sum_{i=1}^n (m_i \Delta_i)} \quad (3.7)$$

Dimana :

- $H_E$  : Tinggi efektif struktur, m

### 3.9.5. Desain Daktilitas Perpindahan

Daktibilitas perpindahan untuk sistem *Single Degree of Freedom* (*SDOF*) ekuivalen ditentukan dengan karakteristik perpindahan leleh sistem dapat dihitung dengan persamaan 3.8.

$$\mu = \frac{\Delta_d}{\Delta_y} \quad (3.8)$$

Dimana :

$\mu$  : Daktibilitas perpindahan system

$\Delta_d$  : Perpindahan rencana *SDOF* ekuivalen sistem

$\Delta_y$  : Perpindahan leleh *SDOF* ekuivalen sistem

Perpindahan leleh untuk sistem rangka ditentukan dengan karakteristik simpangan leleh pada rangka dan dapat dihitung dengan persamaan 3.9.

$$\Delta_y = \theta_y \cdot H_e \quad (3.9)$$

Dimana :

$\theta_y$  : Simpangan leleh pada frame

Simpangan leleh pada tingkat ke-i dipengaruhi dengan karakteristik dengan geometri bangunan dan kekuatan elemen itu sendiri. Kekuatan elemen dipengaruhi oleh nilai regangan material, panjang balok juga tinggi efektif balok.

$$\text{Rangka baja : } \theta_y = 0,65 \varepsilon_y \frac{L_b}{h_b} \quad (3.10)$$

Dimana :

$L_b$  : Panjang bentang bersih balok pada rangka

$h_b$  : Tinggi efektif balok pada rangka

$\varepsilon_y$  : Regangan material tulangan pada balok ( $f_{ye}/E$ )

$f_{ye}$  : Yield strength tulangan (1,1  $f_{ye}$ ), MPa

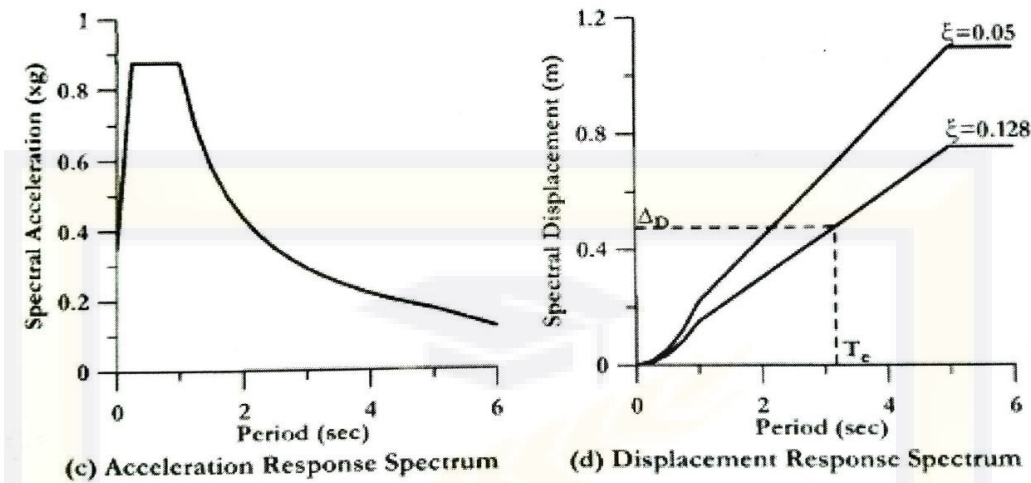
### 3.9.6. Redaman *Viscous* Ekuivalen

Nilai redama *viscous* ekuivalen untuk sistem *Single Degree of Freedom (SDOF)* dihitung dengan persamaan 3.11.

$$\text{Rangka baja : } \xi_F = 0,05 + 0,577 \left( \frac{\mu_F - 1}{\mu_F \pi} \right) \quad (3.11)$$

### 3.9.7. Periode Efektif

Nilai periode efektif sistem *Single Degree of Freedom (SDOF)* pada saat respon perpindahan puncak dengan redaman inelastis dari sistem dihitung dengan mengkonversi respon spectrum desain ke grafik spektra perpindahan ( $S_d$ ) dengan mengkonversi ketingkat redaman *viscous* ekuivalen ( $\xi_{eq}$ ). Lalu pada grafik spektra perpindahan ditarik nilai perpindahan rencana ( $\Delta_d$ ) sehingga nilai periode efektif sistem dapat diketahui. Untuk lebih jelasnya konversi kurva respon spectrum desain ke spektra perpindahan dapat dilihat pada gambar 3.4.



Gambar 3. 4: Respon Spektrum Desain dan *Spectra Displacement*  
(Priestley et al. 2007)

Nilai *Spectra Displacement* ( $S_d$ ) dihitung dengan persamaan 3.12 dan nilai *Spectra Displacement* ( $S_d$ ) pada tingkat redaman *viscous* ekuivalen ( $\xi_{eq}$ ) harus dikalikan faktor koreksi untuk tingkat redaman yang dihitung dengan persamaan 3.13.

$$S_d = \frac{T^2}{4\pi^2} S_a \cdot (g) \quad (3.12)$$

$$R_\xi = \left[ \frac{0,02 + \xi}{0,07} \right]^{1/2} \quad (3.13)$$

Dimana :

- $S_d$  : *Spectra displacement*, m
- $S_a$  : *Spectra acceleration*, g
- $G$  : Percepatan gravitasi ( $9,81 \text{ m/s}^2$ )
- $R_\xi$  : Faktor koreksi *Spectra displacement* pada tingkat redaman
- $T$  : Periode getar fundamental, detik

### 3.9.8. Kekakuan Efektif

Nilai kekakuan efektif bergantung pada nilai massa efektif dan

dihitung dengan persamaan 3.14.

$$K_e = \frac{4\pi^2 m_e}{T_e^2} \quad (3.14)$$

Dimana :

$K_e$  : Kekakuan efektif sistem, KN/m

### 3.9.9. Gaya Geser Dasar

Setelah nilai kekakuan efektif sistem dihitung maka nilai gaya geser dasar desain dapat dihitung dengan persamaan 3.15.

$$V_{base} = K_e \times \Delta_d \quad (3.15)$$

## 3.10. Kontrol Perencanaan Struktur

### 3.10.1. Kontrol Elemen Struktur

Desain elemen struktur dikontrol berdasarkan SNI 1729-2015 agar dapat memikul gaya-gaya yang terjadi. Perencanaan elemen struktur meliputi:

#### 1. Kolom (SNI 1729:2015 pasal E3)

Kolom merupakan elemen struktur yang menerima gaya tekan. Kolom menahan beban aksial melalui titik centroid. Komponen struktur yang mengalami gaya tekan konsentris akibat beban terfaktor, Nu harus memenuhi syarat:

$$P_u \leq \emptyset P_n \rightarrow \emptyset = 0,9 \quad (3.16)$$

#### a. Kontrol tekuk lentur

$$P_n = F_{cr} \cdot A_g \quad (3.17)$$

keterangan =

$P_n$  = Kuat tekan nominal

$F_{cr}$  = Tegangan kritis

$A_g$  = Luas penampang bruto

b. Kontrol tekuk punter

$$F_e = \left[ \frac{\pi^2 E C_w}{(K_z L)^2} + G \right] \frac{1}{I_x + I_y} \quad (3.18)$$

$C_w$  = Konstanta pilin, ( $\text{mm}^6$ )

$G$  = Modulus elastis geser dari baja (77200 MPa)

$K_z$  = Faktor panjang efektif untuk tekuk torsion

$J$  = Konstanta torsion ( $\text{mm}^4$ )

$I_x, I_y$  = Momen inersia disumbu utama ( $\text{mm}^4$ )

c. Persamaan interaksi antara gaya normal tekan dan lentur

- Momen lentur dominan

$$\frac{P_r}{P_c} \geq 0,20 \text{ maka } \frac{P_r}{P_c} + \frac{8}{9} \times \frac{(M_{rx})}{(M_{cx})} + \frac{(M_{ry})}{(M_{cy})} \leq 1,00 \quad (3.19)$$

- Momen aksial dominan

$$\frac{P_r}{P_c} < 0,20 \text{ maka } \frac{P_r}{2P_c} + \frac{(M_{rx})}{(M_{cx})} + \frac{(M_{ry})}{(M_{cy})} \leq 1,00 \quad (3.20)$$

Keterangan :

$P_r$  = Kekuatan aksial perlu menggunakan kombinasi beban

$P_c$  = Kekuatan aksial yang tersedia

$M_r$  = Kekuatan lentur perlu menggunakan kombinasi beban

$M_c$  = Kekuatan lentur yang tersedia

$x$  = Indeks sehubungan dengan sumbu kuat lentur

$y$  = Indeks sehubungan dengan sumbu lemah lentur

d. Amplifikasi momen

Kekuatan lentur yang diperlukan ( $M_r$ ) dan kekuatan aksial ( $P_r$ ) dari semua komponen struktur harus ditentukan sebagai berikut:

$$M_r = B_1 M_{nt} + B_2 M_{lt} \quad (3.21)$$

$$P_r = P_{nt} + B_2 P_{lt} \quad (3.22)$$

Keterangan :

$B_1$  = Pengali untuk menghitung efek  $P-\delta$ , ditentukan untuk setiap struktur yang menahan tekan dan lentur

$B_2$  = Pengali untuk menghitung efek  $P-\delta$ , ditentukan untuk setiap tingkat dari struktur

$M_{lt}$  = Momen orde pertama menggunakan kombinasi beban lateral

$M_{nt}$  = Momen orde pertama menggunakan kombinasi beban no lateral

$M_r$  = Momen lentur orde kedua yang diperlukan menggunakan kombinasi beban

$P_{lt}$  = Gaya aksial orde pertama menggunakan kombinasi beban lateral

$P_{nt}$  = Gaya aksial orde pertama menggunakan kombinasi beban no lateral

$P_r$  = Kekuatan aksial orde kedua yang diperlukan menggunakan kombinasi beban DFBK

2. Balok (SNI 1729:2015 Pasal F1)

Pada elemen balok bekerja gaya lentur dan gaya geser. Kapasitas lentur dan gaya geser harus memenuhi persyaratan sebagai berikut:

$$\phi_b M_n > M_u \quad (3.23)$$

$$\emptyset_v V_n > V_u \quad (3.24)$$

Dengan  $\emptyset_b$  adalah faktor reduksi lentur dan  $\emptyset_v$  adalah faktor reduksi geser yang nilainya sebesar 0,9. Pada perencanaan elemen balok harus dilakukan pengecekan terhadap hal-hal sebagai berikut:

a. Cek kelangsungan penampang

- Sayap (Flange)

$$\text{Penampang kompak, } \lambda \leq \lambda_p \quad (3.25)$$

$$\text{Penampang tidak kompak, } \lambda_p \leq \lambda \leq \lambda_r \quad (3.26)$$

- Badan (web)

$$\text{Penampang kompak, } \lambda \leq \lambda_p \quad (3.27)$$

$$- \text{ Penampang tidak kompak, } \lambda_p \leq \lambda \leq \lambda_r \quad (3.28)$$

b. Cek terhadap kapasitas lentur penampang

- Penampang kompak

$$M_n = R_{pg} \cdot F_{cr} \cdot S_{xc} \quad (3.29)$$

- Panampang tidak kompak

$$F_{cr} = \left[ F_y - (0,3F_y) \left( \frac{\lambda - \lambda_{pf}}{\lambda_{rf} - \lambda_{pf}} \right) \right] \quad (3.30)$$

- Penampang langsing

$$F_{cr} = \frac{0,9Ek_c}{\left( \frac{b_f}{2t_f} \right)^2} \quad (3.31)$$

Keterangan :

$R_{pg}$  = Factor reduksi kekuatan lentur

$F_{cr}$  = Tegangan kritis

$S_{cx}$  = Modulus penampang elastis

Secara umum harus dipenuhi persamaan :

$$\emptyset_b M_n > M_u \quad (3.32)$$

Keterangan :

$M_n$  = Momen nominal

$M_u$  = Momen ultimate

c. Cek terhadap tekuk torsi lateral

- Bentang pendek

$$L_p < L_b \quad (3.33)$$

- Bentang menengah

$$L_p \leq L_b \leq L_r \quad (3.34)$$

- Bentang panjang

$$L_b > L_r \quad (3.35)$$

d. Cek nominal geser

Kuat geser balok tergantung perbandingan antara tinggi bersih pelat badan ( $h$ ) dengan tebal pelat badan ( $t_w$ )

- Pelat badan leleh (plastis)

$$V_n = 0,6 \cdot F_y \cdot A_w \cdot C_v \quad (3.36)$$

$$V_n \leq \emptyset F_n \rightarrow \emptyset = 0,9 \quad (3.37)$$

Keterangan :

$F_y$  = Momen nominal

$A_w$  = Luas badan, tinggi keseluruhan dikali tebal badan ( $d \cdot t_w$ )

$C_v$  = Koefisien geser badan

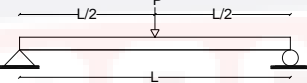
$V_n$  = Kuat geser nominal

### e. Kontrol lendutan

Tabel 3. 1: Lendutan izin penampang

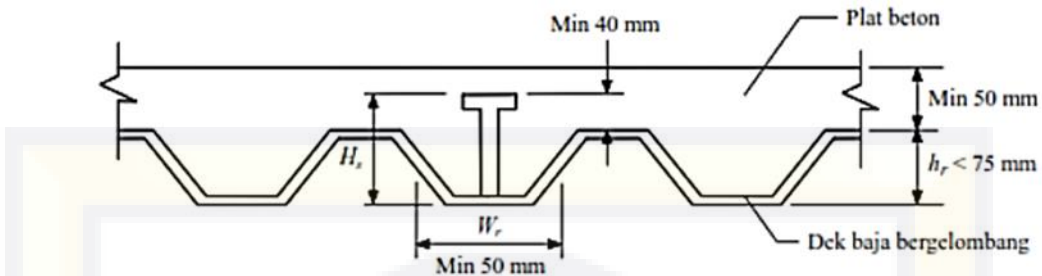
Komponen struktur dengan beban tidak terfaktor	Beban tetap	Beban sementara
Balok pemikul dinding atau finishing yang getas	L/360	-
Balok biasa	L/240	-
Kolom dengan analisis orde pertama saja	h/500	h/200
Kolom dengan analisis orde kedua	h/300	h/200

Tabel 3. 2: Lendutan maksimum penampang

Struktur & Pembebanan	Momen Maksimum	Defleksi Maksimum
	$\frac{1}{4} PL$	$\frac{PL^3}{48EI}$
	$\frac{1}{8} qL^2$	$\frac{5qL^4}{384EI}$

### 3. Steel Floor Deck

*Steel Floor Deck* yaitu suatu material yang bisa difungsikan sebagai media pengganti konvensional berbentuk papan lembar yang terbuat dari bahan baja galvanis berkuatan tinggi. Biasanya steel floor deck dipakai sebagai pengganti bekisting dalam proses pembuatan lantai atau atap dari beton dan juga berfungsi sebagai penulangan positif satu arah. Penggunaan dek baja juga dapat dipertimbangkan sebagai dukungan dalam arah lateral dari balok sebelum beton mulai mengeras. Arah dari gelombang dek baja biasanya diletakkan tegak lurus balok penompangnya.



Gambar 3. 5: Penampang Steel floor deck

### 3.10.2. Perencanaan Sambungan

1. Sambungan baut (SNI 1729:2015 Pasal J3.6)

- Kuat geser

$$V_d = \emptyset_f \cdot V_n = \emptyset_f \cdot r_1 \cdot f_u^b \cdot A_b \quad (3.38)$$

- Kuat tumpu

$$R_d = \emptyset_f \cdot V_n = 2.4 \emptyset_f \cdot d_b \cdot t_p \cdot f_u \quad (3.39)$$

“dari nilai  $V_d$  dan  $R_d$  dipilih nilai terkecil”

- Jumlah baut (n)

$$n = \frac{V_u}{\emptyset R_n} \quad (3.40)$$

Keterangan :

- $\emptyset_f$  = Faktor reduksi kekuatan fraktur (0,85)
- $r_1$  = 0,5 untuk baut tanpa ulir pada bidang geser,  
0,4 untuk baut ada ulir pada bidang geser
- $f_u^b$  = Tegangan tarik putus baut
- $A_b$  = Luas bruto penampang abut
- $f_u$  = Tegangan tarik putus yang terendah dari baut dan pelat
- $t_p$  = Tebal tertipis pelat

- Kontrol jarak baut

- |                           |   |                            |
|---------------------------|---|----------------------------|
| Jarak tepi minimum        | = | 1,5 db                     |
| Jarak tepi maksimum       | = | (4tp + 100 mm) atau 200 mm |
| Jarak minimum antar baut  | = | 3 db                       |
| Jarak maksimum antar baut | = | 5 tp atau 200 mm           |

- Kontrol kekuatan pelat

$$\emptyset R_n = \emptyset 0,60 F_u \cdot A_{nv} \quad (3.41)$$

$$\emptyset R_n > V_u \quad (3.42)$$

Keterangan :

$\emptyset$  = Faktor reduksi keruntuhan geser (0,75)

$f_u$  = Tegangan tarik putus pelat

$A_{nv}$  = Luas neto yang menahan geser

$V_u$  = Kuat geser ultimate

## 2. Sambungan Las (SNI 1729:2015 Pasal J2.3.4)

$$R_u \leq \emptyset R_n \quad (3.43)$$

- Tahanan terhadap bahan dasar las

$$R_u = F_{nw} \cdot A_{we} \quad (3.44)$$

- Tahanan terhadap bahan dasar baja

$$R_u = F_{nBM} \cdot A_{BM} \quad (3.45)$$

Keterangan :

$F_{nBM}$  = Tegangan nominal dari logam dasar

$F_{nw}$  = Tegangan nominal dari logam las

$A_{BM}$  = Luas penampang logam dasar

$A_{we}$  = Luas efektif las

Tabel 3. 3: Ukuran minimum las sudut

Ketebalan material dari bagian paling tipis yang tersambung (mm)	Ukuran minimum las sudut (mm)
$t \leq 6$	3
$6 < t \leq 13$	5
$13 < t \leq 19$	6
$t > 19$	8

### 3.11. Evaluasi Kinerja Struktur

#### 3.11.1. Titik Kinerja Struktur Metode ATC-40

Dalam metode ATC-40 (1996), metode yang digunakan untuk menentukan tingkat kinerja dari struktur adalah dengan metode spektrum kapasitas. Metode spektrum kapasitas adalah dengan memplotkan *demand* respon spektrum dan kurva kapasitas dalam satu format antara spektral percepatan vs spektral perpindahan atau disebut sebagai format *Acceleration-Displacement Response Spectra (ADRS)*.

Kurva kapasitas diperoleh dari analisis *pushover*, yaitu dengan memberikan beban lateral static tertentu pada struktur, yang kemudian ditingkatkan secara bertahap sehingga struktur mencapai suatu batas tertentu atau mengalami kegagalan struktur. Respon struktur terhadap pemberian beban lateral yang diberikan secara bertahap tadi dicatat dan dibuat kurva hubungan gaya geser dasar (V) dan perpindahan atap ( $\Delta_{\text{atap}}$ ), kurva tersebutlah yang disebut kurva kapasitas. (Tavio, dkk. 2018)

Kurva kapasitas menggambarkan kekuatan struktur yang besarnya sangat tergantung dari kemampuan deformasi dari masing-masing

komponen struktur. Untuk merubah kurva kapasitas kedalam format ADRS atau menjadi spektrum kapasitas maka terlebih dahulu kita harus memahami tentang hubungan faktor partisipasi modal, modal koefisien massa, dan perpindahan bangunan. Hubungan tersebut akan digambarkan pada Gambar 3.6, dan untuk merubah kurva kapasitas kedalam format ADRS maka digunakan persamaan-persamaan berikut :

$$PF_1 = \frac{\left( \sum_{i=1}^n (w_i \phi_i) / g \right)}{\left( \sum_{i=1}^n (w_i \phi_{i1}^2) / g \right)} \quad (3.46)$$

$$\alpha_1 = \frac{\left[ \sum_{i=1}^n (w_i \phi_i) / g \right]^2}{\left[ \sum_{i=1}^n (w_i \phi_i) \right] \left[ \sum_{i=1}^n (w_i \phi_{i1}^2) / g \right]} \quad (3.47)$$

$$S_a = \frac{V/W}{\alpha_1} \quad (3.48)$$

$$S_d = \frac{\Delta_{roof}}{PF_1 \phi_{roof,1}} \quad (3.49)$$

dimana :

$PF_1$  : faktor partisipasi modal pada mode pertama.

$\alpha_1$  : modal koefisien massa pada mode pertama.

$w_i/g$  : massa pada tingkat ke- $i$ .

$\phi_{i1}$  : amplitudo mode- 1 pada tingkat ke- $i$ .

$N$  : tingkat  $N$ , tingkat tertinggi pada proporsi utama struktur.

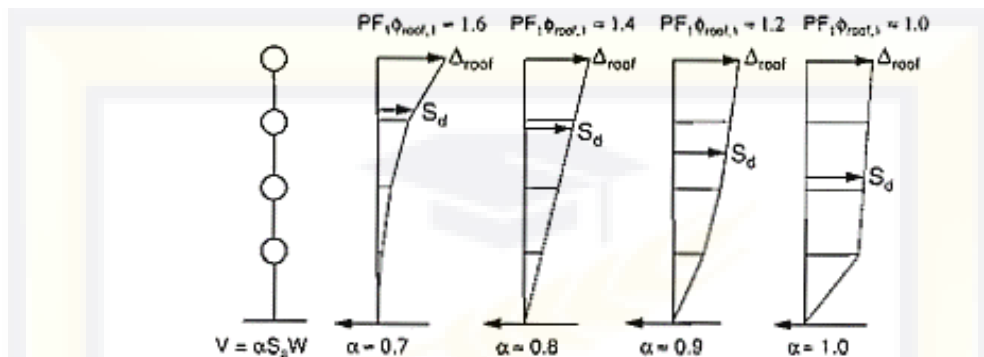
$V$  : gaya geser dasar.

$W$  : berat bangunan.

$\Delta_{roof}$  : perpindahan atap.

$S_a$  : spektra percepatan.

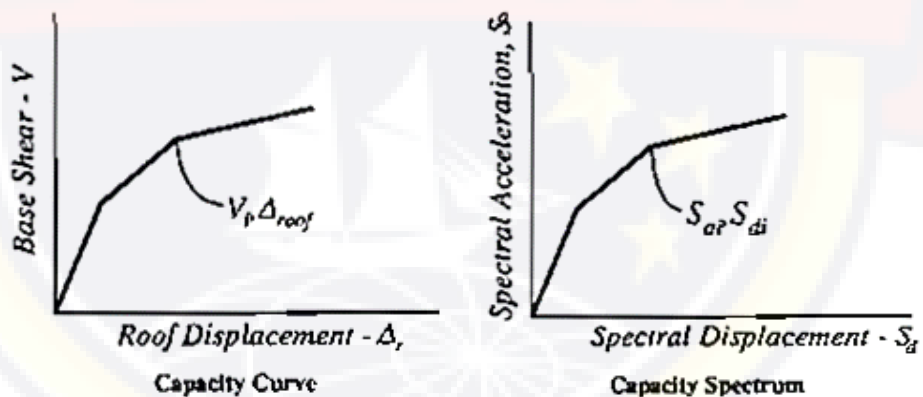
$S_d$  : spektra perpindahan.



Gambar 3. 6: Contoh Faktor Partisipasi dan Modal Koefisien Massa.

(ATC-40, 1996 : 8-5)

Pada gambar diatas terlihat hubungan antara faktor partisipasi modal dan modal koefisien massa untuk nilai simpangan antar lantai yang berbeda disetiap ketinggian bangunan.

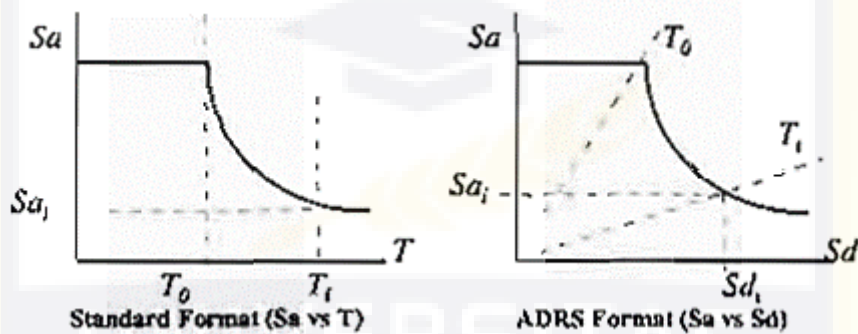


Gambar 3. 7: Kurva Kapasitas dan Spektrum Kapasitas. (ATC-40,1996: 8)

*Demand* spektrum didapatkan dengan merubah respon spektrum yang biasanya dinyatakan dalam spektra percepatan ( $S_a$ ) dan periode ( $T$ ) menjadi format ADRS ( $S_a$ ,  $S_d$ ). untuk mengubah spektra percepatan ke

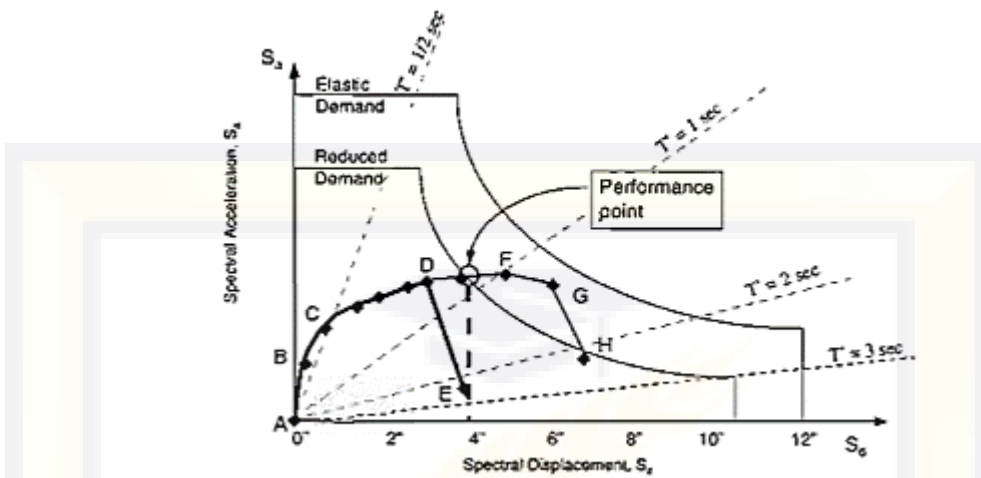
spektra perpindahan digunakan persamaan berikut sehingga hasil kurva *demand* spektrum dapat dilihat pada gambar berikut :

$$S_d = \frac{T^2}{4\pi^2} S_a(g) \quad (3.50)$$



Gambar 3. 8: Respon Spektrum Standar dan Respon Spektrum Format ADRS. (ATC-40,1996:6-9)

Selanjutnya grafik spektrum kapasitas dan spektrum *demand* disajikan dalam satu grafik ADRS. Dalam grafik dengan format ADRS tersebut akan ada titik perpotongan antara spektrum kapasitas dengan spektrum *demand* yang disebut dengan titik kinerja atau *performance point*.



Gambar 3. 9: Titik Kinerja Struktur Sesuai ATC-40

Redaman yang terjadi saat struktur terkena gerakan gempa pada keadaan inelastik dapat dilihat pada redaman *viscous* yang melekat pada redaman struktur dan redaman histeristik. Redaman histeristik berhubungan dengan area didalam *loop* kurva gaya dan perpindahan akibat gaya gempa. Redaman histeristik ini dapat mewakili redaman *viscous* ekivalen. Dalam ATC-40 redaman *viscous* ekuivalen dirumuskan dengan persamaan berikut :

$$\beta_{eq} = \beta_o + 0,05 \quad (3.51)$$

Dimana :

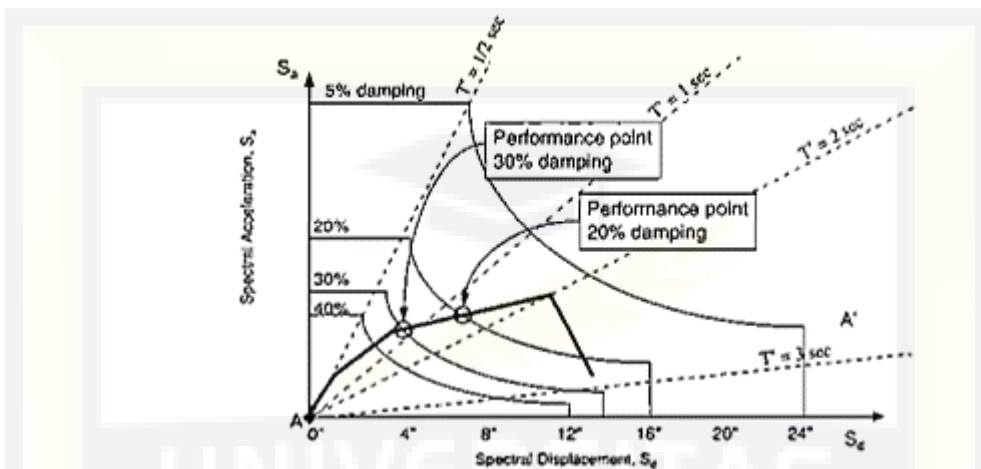
$\beta_{eq}$  : redaman *viscous* ekuivalen struktur.

$\beta_o$  : redaman histeristik yang mewakili redaman *viscous* ekuivalen.

0,05 : redaman yang melekat pada struktur (redaman awal)

Jika menggunakan program SAP2000 untuk mengetahui titik kinerja struktur, maka untuk menghitung redaman *viscous* ekuivalen ini akan dihitung secara otomatis pada program, sehingga akan tersaji beberapa

*demand* spektra pada berbagai tingkat redaman dan di ilustrasikan pada gambar berikut :



Gambar 3. 10: Titik Kinerja Struktur pada Redaman Struktur. (ATC-40, 1996:6-13)

Selain itu, jika akan menghitung respon spektrum gempa desain menggunakan parameter-parameter dalam SNI 1726 2019, maka perencana perlu mengkonversi parameter respon percepatan periode 0,2 detik ( $S_{MS}$ ) kedalam  $C_A$ , dan parameter respon percepatan periode 1 detik ( $S_{M1}$ ) kedalam  $C_V$  dengan persamaan berikut sesuai dengan ATC-40 Pasal 4.4.3.1 sebagai berikut :

$$C_A = 0,4S_{MS} \quad (3.52)$$

$$C_V = S_{M1} \quad (3.53)$$

Selain parameter  $C_A$  dan  $C_V$  ada satu lagi parameter lagi yaitu “*Structural Behavior Type*” dipilih sesuai peruntukan bangunan itu apakah termasuk bangunan baru atau tidak. Penetapan parameter tersebut dilihat pada ATC-40 Pasal 8.2.2.1.

### **3.11.2. Batasan Deformasi**

Deformasi lateral pada saat *performance point* harus dicek terhadap deformasi limit ditetapkan dalam ATC-40, 1996 Bab 11.3.3 deformasi limit pada berbagai tingkat kinerja.

Simpangan total maksimum adalah simpangan antar tingkat pada titik kinerja atau nilai simpangan maksimum pada atap pada saat *performance point* dibagi dengan total tinggi bangunan hingga atap. Simpangan inelastis maksimum adalah proporsi simpangan total maksimum diluar titik leleh efektif. Untuk *structural stability level*, simpangan total maksimum pada lantai ke-*i* saat titik kinerja harus tidak melebihi  $0,33 V_i / P_i$ , dimana  $V_i$  adalah total gaya geser pada lantai ke-*i* dan  $P_i$  adalah total gaya gravitasi lantai ke-*i*.

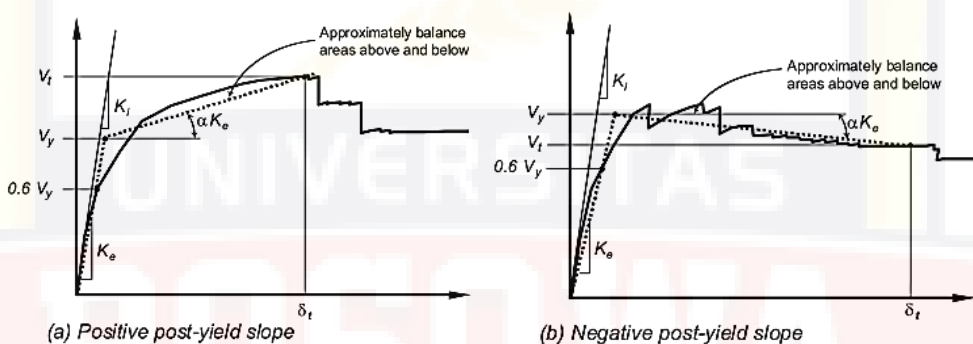
Pada desain bangunan baru, level kinerja yang direkomendasikan adalah *Life Safety Level*, saat simpangan total maksimum 0,02, hal ini dikarenakan pada berbagai eksperimen yang dilakukan menghasilkan respon dengan deformasi yang besar sehingga proporsional untuk *detailing* pada bangunan baru. (ATC-40, 1997:11-5).

### **3.11.3. Titik Kinerja Struktur Metode FEMA 356**

Metode koefisien perpindahan *FEMA 356* adalah suatu metode pendekatan yang menyediakan perhitungan numeric langsung dari perpindahan global maksimum pada struktur. Penyelesaian dilakukan dengan memodifikasi respon elastis dari sistem *SDOF* ekuivalen dengan faktor koefisien  $C_0$ ,  $C_1$ ,  $C_2$  dan  $C_3$  sehingga diperoleh perpindahan global

maksimum (elastis dan inelastis) yang disebut dengan target perpindahan ( $\delta_T$ ).

Parameter-parameter tersebut diambil dari idealisasi kurva kapasitas struktur atau kurva bilinier struktur. Kurva kapasitas tersebut biasanya memiliki kemungkinan perilaku, yaitu berkemiringan positif dan negatif. (Tavio, dkk. 2018)



Gambar 3. 11: Perilaku Pasca Leleh Struktur (FEMA 356)

Prosedur dimulai dengan menetapkan waktu getar efektif ( $T_e$ ) yang memperhitungkan kondisi elastic bangunan. Waktu getar efektif didapat dengan persamaan berikut :

$$T_e = T_1 \sqrt{\frac{K_1}{K_e}} \quad (3.54)$$

Kekakuan lateral efektif ditentukan tergantung dari perilaku struktur.

Kekakuan lateral efektif ini sangat tergantung dari penggambaran kurva bilinier dari kurva kapasitasnya. Kekakuan lateral efektif dihitung dengan persamaan berikut :

$$k_e = \frac{0,6 \times V_y}{0,6 \times \Delta_y} \quad (3.55)$$

Selanjutnya target perpindahan ( $\delta_T$ ) didapat dari modifikasi respon elastic linier dari sistem SDOF ekivalen dengan beberapa faktor koefisien dan dihitung dengan persamaan berikut :

$$\delta_T = C_0 C_1 C_2 C_3 S_a \frac{T_e^2}{4\pi^2} g \quad (3.56)$$

$$C_1 = 1,0 \text{ untuk } T_e \geq T_e \quad (3.57)$$

$$C_1 = [1,0 + (R - 1) T_s / T_e] / R \text{ untuk } T_e \leq T_e \quad (3.58)$$

$$R = \frac{S_a}{V_y/W} \times C_m \quad (3.59)$$

#### 3.11.4. Titik Kinerja Struktur Metode FEMA 440

Secara garis besar metode FEMA 440 ini sama dengan FEMA 356, yaitu dengan hasil akhir menentukan nilai target perpindahan ( $\delta_T$ ). Perbaikan atau modifikasinya diberikan untuk menentukan parameter  $C_1$  dan  $C_2$  ditentukan dengan persamaan berikut :

$$C_1 = 1 + \frac{R - 1}{\alpha T_e^2} \quad (3.60)$$

$$C_2 = 1 + \frac{1}{800} \left( \frac{R - 1}{T_e} \right) \quad (3.61)$$

dimana :

$\alpha$  : konstansa (nilainya = 130, 90 dan 60 untuk site kategori B, C dan D.

## BAB IV

### TINJAUAN PERENCANAAN/PERHITUNGAN

#### **4.1. Penentuan Target Kinerja Struktur**

Dengan berbagai macam tingkat kinerja seperti yang telah dijelaskan pada bab 2 , maka pendesain memilih untuk menggunakan tingkat kinerja struktur *life safety* karena sesuai kegunaan bangunan yaitu fasilitas pendidikan sesuai yang tertera pada Tabel 2.1. Kategori bangunan pada tingkat kinerja struktur (ATC 40,1996 Chap.32). tabel 4.1 akan menunjukkan tingkat kinerja *life safety*.

Tabel 4 1: Batasan Simpangan pada tingkat Kinerja Struktur ( ATC-40, 1996:11-4)

Batasan simpangan antar tingkat	Tingkat kinerja Struktur			
	<i>Immediate Occupancy</i>	<i>Damage Control</i>	<i>Life Safety</i>	<i>Structural Stability</i>
Simpangan total maksimum	0,01	0,01 - 0,02	0,02	$0,33 V_i/P_i$
Simpangan inelastic maksimum	0,005	0,005 - 0,015	Tidak ada batasan	Tidak ada batasan

#### **4.2. Pembebanan**

Pembebanan pada struktur dilakukan dengan menggunakan alat bantu (software) program aplikasi SAP 2000 v22 dengan asumsi pembebanan yang diambil dari SNI 1729-2015 sebagai berikut :

#### **4.2.1. Beban Mati**

Beban mati adalah bagian bangunan yang bersifat tetap dan tidak terpisah dari bangunan.

- Beton bertulang	= 2400 kg/m <sup>3</sup>
- Baja	= 7800 kg/m <sup>3</sup>
- Kaca	= 2579 kg/m <sup>3</sup>
- Dinding setengah bata	= 250 kg/m <sup>3</sup>
- Pelat bondek	= 10,10 kg/m <sup>2</sup>
- Aspal per cm	= 14 kg/m <sup>2</sup>
- Spesi per cm	= 22 kg/m <sup>2</sup>
- Keramik per cm	= 24 kg/m <sup>2</sup>
- Ducting & Plumbing	= 25 kg/m <sup>2</sup>
- Plafond & Penggantung	= 18 kg/m <sup>2</sup>

#### **4.2.2. Beban Hidup**

Beban hidup adalah beban yang bertumpu pada bangunan yang kemungkinan lepas dari bangunan tersebut. Beban hidup ditentukan berdasarkan fungsi ruangan dengan rincian sebagai berikut :

- Pelat atap	= 97,89 kg/m <sup>2</sup>
- Pelat lantai	= 488,44 kg/m <sup>2</sup>

#### **4.2.3. Beban Gempa**

Perhitungan beban gempa pada bangunan ini dilakukan dengan menggunakan Metode Berbasis Kinerja atau *Performance Based Design*. Untuk parameter beban mengacu pada SNI 1726:2019.

Lokasi	= Kota Makassar
Tanah dasar	= Tanah Lunak
Kategori resiko	= IV (Tabel 2.8)
Faktor keutamaan gempa ( $I_e$ )	= 1,50 (Tabel 2.9)
Percepatan batuan dasar periode 0,2 dt ( $S_s$ )	= 0,25 (Gambar 2.9)
Percepatan batuan dasar periode 1 dt ( $S_1$ )	= 0,14 (Gambar 2.10)
Klasifikasi situs	= SE (Tabel 2.7)
Koefisien situs periode 0,2 dt ( $F_a$ )	= 2,40 (Tabel 2.5)
Koefisien situs periode 1 dt ( $F_v$ )	= 3,37 (Tabel 2.6)

1. Menghitung parameter respon percepatan periode 0,2 detik ( $S_{MS}$ )

dan 1 detik ( $S_{M1}$ ) :

$$S_{MS} = F_a \cdot S_s = 0,60 \text{ g}$$

$$S_{M1} = F_v \cdot S_1 = 0,47 \text{ g}$$

2. Menghitung parameter percepatan spektral desain periode 0,2 detik ( $S_{DS}$ ) dan 1 detik ( $S_{D1}$ ) :

$$S_{DS} = 2/3 S_{MS} = 0,40 \text{ g}$$

$$S_{D1} = 2/3 S_{M1} = 0,315 \text{ g}$$

3. Menghitung periode getar fundamental struktur

$$T_0 = 0,2 \frac{S_{D1}}{S_{DS}} = 0,157 \text{ sec}$$

$$T_s = \frac{S_{D1}}{S_{DS}} = 0,786 \text{ sec}$$

#### 4. Perhitungan Spektrum Percepatan

$$\text{Untuk } T < T_0 \text{ maka, } S_a = S_{DS} \left\{ 0,4 + 0,6 \frac{T}{T_0} \right\}$$

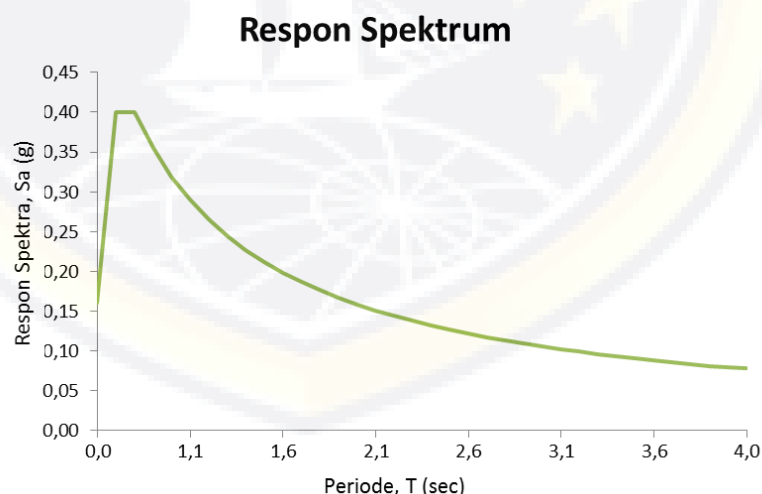
$$\text{Untuk } T_0 \leq T \leq T_s \text{ maka, } S_a = S_{DS}$$

$$\text{Untuk } T \geq T_s \text{ maka, } S_a = \frac{S_{D1}}{T}$$

Maka dapat ditentukan hubungan Percepatan Spektra ( $S_a$ ) dan Periode ( $T$ ) sebagai berikut :

Tabel 4.2: Desain Respon Spektrum

T (sec)	$S_a$ (g)	T (sec)	$S_a$ (g)	T (sec)	$S_a$ (g)	T (sec)	$S_a$ (g)
0	0,160	1,486	0,212	2,386	0,132	3,286	0,096
0,157	0,400	1,586	0,198	2,486	0,127	3,386	0,093
0,786	0,400	1,686	0,187	2,586	0,122	3,486	0,090
0,886	0,355	1,786	0,176	2,686	0,117	3,586	0,088
0,986	0,319	1,886	0,167	2,786	0,113	3,686	0,085
1,086	0,290	1,986	0,158	2,886	0,109	3,786	0,083
1,186	0,265	2,086	0,151	2,986	0,105	3,886	0,081
1,286	0,245	2,186	0,144	3,086	0,102	3,986	0,079
1,386	0,227	2,286	0,138	3,186	0,099	4	0,079



Gambar 4.1: Desain Respon Spektrum

## 5. Perhitungan Berat Bangunan

Perhitungan berat bangunan perlantai digunakan untuk menentukan berat seismik efektif dari gedung.

Tabel 4 3: Perhitungan Berat Struktur Lantai 7 (Atap)

Elemen	Keterangan	Beban (kg)
<b>Beban Mati</b>		
Pelat	<i>Output SAP2000</i>	98640
Balok Anak	<i>Output SAP2000</i>	3515,98
Balok Induk	<i>Output SAP2000</i>	8290,86
Kolom	<i>Output SAP2000</i>	16363,66
Spesi	$43,7 \times 10 \times (2 \times 21)$	18354
Aspal	$43,7 \times 10 \times (2 \times 14)$	12236
Dinding Kaca	$3,7/2 \times (2 \times 43,7 + 2 \times 10) \times 0,005 \times 25$	2562
Plafond	$43,7 \times 10 \times 17$	7429
MEP	$43,7 \times 10 \times 25$	10925
<b>Total Beban</b>		178316,60
Beban Hidup	$43,7 \times 10 \times 97,89 \times 25\%$	42667,59
<b>Total Beban</b>		42667,59

Tabel 4 4: Perhitungan Berat Struktur Lantai 6

Elemen	Keterangan	Beban (kg)
<b>Beban Mati</b>		
Pelat	<i>Output SAP2000</i>	123300
Balok Anak	<i>Output SAP2000</i>	4647,92
Balok Induk	<i>Output SAP2000</i>	12599,6
Kolom	<i>Output SAP2000</i>	16363,66
Spesi	$43,7 \times 10 \times (2 \times 21)$	18354
Keramik	$43,7 \times 10 \times (2 \times 14)$	20976
Dinding Kaca	$3,7 \times (2 \times 43,7 + 2 \times 10) \times 0,005 \times 25$	5124

Elemen	Keterangan	Beban (kg)
Plafond	$43,7 \times 10 \times 17$	7429
MEP	$43,7 \times 10 \times 25$	10925
Total Beban		219719,40
<b>Beban Hidup</b>		
Teatrer	$251,67 \times 292,65 \times 25\%$	18412,81
Koridor	$78,1 \times 390,55 \times 25\%$	7625,49
Ruang Kelas	$337,18 \times 195,78 \times 25\%$	16504,12
Total Beban		42542,41

Tabel 4 5: Perhitungan Berat Struktur Lantai 5

Elemen	Keterangan	Beban (kg)
<b>Beban Mati</b>		
Pelat	<i>Output SAP2000</i>	123300
Balok Anak	<i>Output SAP2000</i>	4647,92
Balok Induk	<i>Output SAP2000</i>	12599,6
Kolom	<i>Output SAP2000</i>	16363,66
Spesi	$43,7 \times 10 \times (2*21)$	18354
Keramik	$43,7 \times 10 \times (2*14)$	20976
Dinding Kaca	$3,7 \times (2*43,7 + 2*10) \times 0,005 \times 25$	5124
Plafond	$43,7 \times 10 \times 17$	7429
MEP	$43,7 \times 10 \times 25$	10925
Total Beban		219719,40
<b>Beban Hidup</b>		
Lab.Komputer	$144,05 \times 488,44 \times 25\%$	17589,95
Koridor	$136,31 \times 390,55 \times 25\%$	13308,97
Ruang Kelas	$278,97 \times 195,78 \times 25\%$	13654,88
Total Beban		44553,80

Tabel 4 6: Perhitungan Berat Struktur Lantai 4

Elemen	Keterangan	Beban (kg)
<b>Beban Mati</b>		
Pelat	<i>Output SAP2000</i>	123300
Balok Anak	<i>Output SAP2000</i>	4647,92
Balok Induk	<i>Output SAP2000</i>	12599,6
Kolom	<i>Output SAP2000</i>	20600,81
Spesi	$43,7 \times 10 \times (2^*21)$	18354
Keramik	$43,7 \times 10 \times (2^*14)$	20976
Dinding Kaca	$3,7 \times (2^*43,7 + 2^*10) \times 0,005 \times 25$	5124
Plafond	$43,7 \times 10 \times 17$	7429
MEP	$43,7 \times 10 \times 25$	10925
<b>Total Beban</b>		223956,545
<b>Beban Hidup</b>		
Ruang Rapat	$38,07 \times 488,44 \times 25\%$	4648,73
Koridor	$144,3 \times 390,55 \times 25\%$	14089,09
Ruang Kelas	$270,98 \times 195,78 \times 25\%$	13263,79
<b>Total Beban</b>		32001,61

Tabel 4 7: Perhitungan Berat Struktur Lantai 3

Elemen	Keterangan	Beban (kg)
<b>Beban Mati</b>		
Pelat	<i>Output SAP2000</i>	123300
Balok Anak	<i>Output SAP2000</i>	4647,92
Balok Induk	<i>Output SAP2000</i>	12599,6
Kolom	<i>Output SAP2000</i>	20600,81
Spesi	$43,7 \times 10 \times (2^*21)$	18354
Keramik	$43,7 \times 10 \times (2^*14)$	20976
Dinding Kaca	$3,7 \times (2^*43,7 + 2^*10) \times 0,005 \times 25$	5124
Plafond	$43,7 \times 10 \times 17$	7429

Elemen	Keterangan	Beban (kg)
MEP	$43,7 \times 10 \times 25$	10925
	Total Beban	223956,55
<b>Beban Hidup</b>		
Koridor	$126,53 \times 390,55 \times 25\%$	12354,07
Ruang Kelas	$288,75 \times 195,78 \times 25\%$	14133,59
	Total Beban	26487,66

Tabel 4 8: Perhitungan Berat Struktur Lantai 2

Elemen	Keterangan	Beban (kg)
<b>Beban Mati</b>		
Pelat	<i>Output SAP2000</i>	123300
Balok Anak	<i>Output SAP2000</i>	4689,89
Balok Induk	<i>Output SAP2000</i>	4689,89
Kolom	<i>Output SAP2000</i>	22048,43
Spesi	$43,7 \times 10 \times (2*21)$	18354
Keramik	$43,7 \times 10 \times (2*14)$	20976
Dinding Kaca	$3,7 \times (2*43,7 + 2*10) \times 0,005 \times 25$	5124
Plafond	$43,7 \times 10 \times 17$	7429
MEP	$43,7 \times 10 \times 25$	10925
	Total Beban	217536,43
<b>Beban Hidup</b>		
Koridor	$126,53 \times 390,55 \times 25\%$	12354,07
Beban Hidup	$288,75 \times 195,78 \times 25\%$	14133,59
	Total Beban	26487,66

Sehingga berat seismic efektif diambil dari 1,0 Beban Mati + 0,5

Beban Hidup dihitung di Tabel berikut:

Tabel 4.9: Berat Seimik Efektif

Level	DL	LL	1D+0,5L	1D+0,5L
	kg	kg	kg	ton
7	178316,61	42667,59	199650,40	199,65
6	219719,40	42542,41	240990,60	240,99
5	219719,40	44553,80	241996,29	242,00
4	223956,55	44553,80	246233,44	246,23
3	223956,55	26487,66	237200,38	237,20
2	217536,43	26487,66	230780,26	230,78
1	0,00	0,00	0,00	0,00

6. Desain Gaya Geser Dasar dengan Metode *Direct Discplacement Based Design (DDBD)*.

#### a. Profil Perpindahan Rencana

Menentukan inelastik mode *shape* digunakan rumus berikut :

$$\text{Untuk } n > 4, \delta_i = \frac{4}{3} \left( \frac{H_i}{H_n} \right) \left( 1 - \frac{H_i}{4H_n} \right)$$

Menentukan profil perpindahan :

$$\Delta_1 = \theta \times H_1, \text{ untuk lantai pertama}$$

$$\Delta_i = \delta_i \frac{\Delta_1}{\delta_1}, \text{ untuk lantai berikutnya}$$

Nilai  $\Delta_i$  harus dikalikan faktor koreksi yang dihitung dengan rumus sebagai berikut :

$$\omega_\theta = 1,15 - 0,0034 H_n \leq 1,0$$

Perhitungan profil perpindahan rencana ditabelkan pada Tabel 4.10, dimana nilai  $\theta = 0,02$  (*Life Safety*)

Tabel 4 10: Perhitungan Profil Perpindahan Rencana

Level	Tinggi H <sub>i</sub> (m)	Mass m <sub>i</sub> (Ton)	δ <sub>i</sub>	ω <sub>θ</sub>	Δ <sub>i</sub> (m)	m <sub>i</sub> .Δ <sub>i</sub>	m <sub>i</sub> .Δ <sub>i</sub> <sup>2</sup>	m <sub>i</sub> .Δ <sub>i</sub> .H <sub>i</sub>
7	22,46	199,65	1,000	1,0	0,35	70,36	24,80	1580,37
6	18,76	240,99	0,881	1,0	0,31	74,84	23,24	1403,95
5	15,06	242,00	0,744	1,0	0,26	63,47	16,65	955,83
4	11,36	246,23	0,589	1,0	0,21	51,12	10,61	580,77
3	7,66	237,20	0,416	1,0	0,15	34,77	5,10	266,36
2	3,96	230,78	0,225	1,0	0,08	18,28	1,45	72,38
1	0,00	0,00	0,000	0,0	0,000	0,00	0,00	0,00
Jumlah	79,26	1396,85				312,84	81,84	4859,66

b. Desain Perpindahan *Single Degree of Freedom (SDOF)*

$$\Delta_d = \frac{\sum_{i=1}^n (m_i \Delta_i^2)}{\sum_{i=1}^n (m_i \Delta_i)} = \frac{81,84}{312,84} = 0,262 \text{ m}$$

c. Tinggi Efektif

$$H_E = \frac{\sum_{i=1}^n (m_i \Delta_i h_i)}{\sum_{i=1}^n (m_i \Delta_i)} = \frac{4859,66}{312,84} = 15,53 \text{ m}$$

d. Massa Efektif

$$m_e = \frac{\sum_{i=1}^n (m_i \Delta_i)}{\Delta_d} = \frac{312,84}{0,262} = 1195,83 \text{ ton}$$

e. Redaman Efektif Ekuivalen

Daktilitas pada frame arah x-x dan y-y dihitung berdasarkan bentang (L<sub>b</sub>) dan tinggi balok (H<sub>b</sub>), dan nilai M<sub>1</sub> = M<sub>i</sub> (asumsi semua balok akan didesain tipikal, sehingga, nilai momennya sama). Nilai drift

leleh frame,  $\theta_{y_f}$  dihitung dengan rumus dibawah ini dan ditabelkan pada tabel berikut:

$$\theta_y = 0,65 \varepsilon_y \frac{L_b}{h_b}$$

Tabel 4 11: Perhitungan *drift* leleh pada rangka, arah x-x

$L_b$	$H_b$	$M$	(n)	$\theta_y$	$\Sigma M^* \theta_y$	$\Sigma M$
3,40	0,4	1	7	0,0076	0,0532	7
3,80	0,4	1	1	0,0085	0,0085	1
4,20	0,4	1	1	0,0094	0,0094	1
5,90	0,4	1	1	0,0132	0,0132	1
Jumlah					0,0842	10

Tabel 4 12: Perhitungan *drift* leleh pada rangka, arah y-y

$L_b$	$H_b$	$M$	(n)	$\theta_y$	$\Sigma M^* \theta_y$	$\Sigma M$
3,40	0,4	1	1	0,0076	0,0076	1
5,40	0,25	1	1	0,0193	0,0193	1
Jumlah					0,0269	2

Nilai *yield displacement* pada frame arah x-x, :

$$\Delta_y = \frac{\sum_{i=1}^n (M_i \theta_i)}{\sum_{i=1}^n (M_i)} H_e = \frac{0,0842}{10} \times 15,53 = 0,131$$

Nilai *yield displacement* pada frame arah y-y, :

$$\Delta_y = \frac{\sum_{i=1}^n (M_i \theta_i)}{\sum_{i=1}^n (M_i)} H_e = \frac{0,0269}{2} \times 15,53 = 0,209$$

Sehingga daktilitas strukturnya dapat dihitung sebagai berikut :

arah x-x

$$\mu_F = \frac{\Delta_d}{\Delta_y} = \frac{0,262}{0,131} = 1,999$$

arah y-y

$$\mu_F = \frac{\Delta_d}{\Delta_y} = \frac{0,262}{0,209} = 1,252$$

Nilai redaman frame :

arah x-x

$$\xi_F = 0,05 + 0,577 \left( \frac{\mu_F - 1}{\mu_F \pi} \right)$$

$$\xi_F = 0,05 + 0,577 \left( \frac{1,999 - 1}{1,999 \times 3,14} \right)$$

$$= 0,142 = 14,18 \%$$

arah y-y

$$\xi_F = 0,05 + 0,577 \left( \frac{\mu_F - 1}{\mu_F \pi} \right)$$

$$\xi_F = 0,05 + 0,577 \left( \frac{1,252 - 1}{1,252 \times 3,14} \right)$$

$$= 0,087 = 8,70 \%$$

#### f. Periode Efektif

Periode efektif dihitung berdasarkan grafik *Spectra Displacement* (SD)

dari tabel berikut :

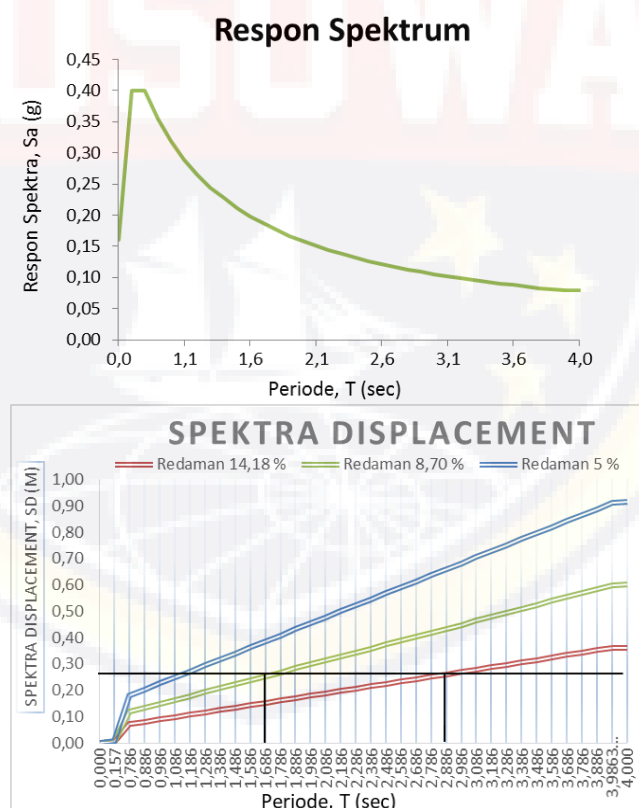
Tabel 4 13: Perhitungan Spektra Displacement

T (sec)	S <sub>a</sub> (g)	Redaman 5% SD (m)	Redaman 14,18 %		Redaman 8,70 %		$\Delta_d$ (m)
			R $\xi$	SD (m)	R $\xi$	SD (m)	
0,000	0,160	0,000	1,156	0,000	0,764	0,000	0,262
0,157	0,400	0,002	1,156	0,003	0,764	0,002	0,262
0,786	0,400	0,062	1,156	0,071	0,764	0,047	0,262

T (sec)	S <sub>a</sub> (g)	Redaman 5% SD (m)	Redaman 14,18 %		Redaman 8,70 %		$\Delta_d$ (m)
			R $\xi$	SD (m)	R $\xi$	SD (m)	
0,886	0,355	0,069	1,156	0,080	0,764	0,053	0,262
0,986	0,319	0,077	1,156	0,089	0,764	0,059	0,262
1,086	0,290	0,085	1,156	0,098	0,764	0,065	0,262
1,186	0,265	0,093	1,156	0,107	0,764	0,071	0,262
1,286	0,245	0,101	1,156	0,116	0,764	0,077	0,262
1,386	0,227	0,108	1,156	0,125	0,764	0,083	0,262
1,486	0,212	0,116	1,156	0,134	0,764	0,089	0,262
1,586	0,198	0,124	1,156	0,143	0,764	0,095	0,262
1,686	0,187	0,132	1,156	0,153	0,764	0,101	0,262
1,786	0,176	0,140	1,156	0,162	0,764	0,107	0,262
1,886	0,167	0,148	1,156	0,171	0,764	0,113	0,262
1,986	0,158	0,155	1,156	0,180	0,764	0,119	0,262
2,086	0,151	0,163	1,156	0,189	0,764	0,125	0,262
2,186	0,144	0,171	1,156	0,198	0,764	0,131	0,262
2,286	0,138	0,179	1,156	0,207	0,764	0,137	0,262
2,386	0,132	0,187	1,156	0,216	0,764	0,143	0,262
2,486	0,127	0,195	1,156	0,225	0,764	0,149	0,262
2,586	0,122	0,202	1,156	0,234	0,764	0,155	0,262
2,686	0,117	0,210	1,156	0,243	0,764	0,161	0,262
2,786	0,113	0,218	1,156	0,252	0,764	0,167	0,262
2,886	0,109	0,226	1,156	0,261	0,764	0,173	0,262
2,986	0,105	0,234	1,156	0,270	0,764	0,179	0,262
3,086	0,102	0,241	1,156	0,279	0,764	0,185	0,262
3,186	0,099	0,249	1,156	0,288	0,764	0,191	0,262
3,286	0,096	0,257	1,156	0,297	0,764	0,197	0,262
3,386	0,093	0,265	1,156	0,306	0,764	0,202	0,262
3,486	0,090	0,273	1,156	0,315	0,764	0,208	0,262
3,586	0,088	0,281	1,156	0,324	0,764	0,214	0,262

T (sec)	$S_a$ (g)	Redaman 5% SD (m)	Redaman 14,18 %		Redaman 8,70 %		$\Delta_d$ (m)
			$R_\xi$	SD (m)	$R_\xi$	SD (m)	
3,686	0,085	0,288	1,156	0,333	0,764	0,220	0,262
3,786	0,083	0,296	1,156	0,342	0,764	0,226	0,262
3,886	0,081	0,304	1,156	0,352	0,764	0,232	0,262
3,986	0,079	0,312	1,156	0,361	0,764	0,238	0,262
4,000	0,079	0,313	1,156	0,362	0,764	0,239	0,262

Selanjutnya nilai  $T_e$  pada redaman efektif 8 14,18 % adalah 2,886 detik dan redaman efektif 8,70 % adalah 1,686 detik. Nilai  $T_e$  ini dihitung berdasarkan grafik *spectra displacement* (SD) pada gambar berikut :



Gambar 4. 2: Respon Spektrum Desain & Spektra Displacement Redaman 14,18 % dan 8,70 %

### g.Kekakuan Efektif

arah x-x

$$K_e = \frac{4\pi^2 \cdot m_e}{T_e^2} = \frac{4 \times 3,14^2 \times 1195,83}{2,886^2} = 5662,33 \text{ KN/m}$$

arah y-y

$$K_e = \frac{4\pi^2 \cdot m_e}{T_e^2} = \frac{4 \times 3,14^2 \times 1195,83}{1,686^2} = 16590,99 \text{ KN/m}$$

### h.Gaya Geser Dasar

Gaya geser dasar hasil perhitungan *Direct Displacement Based Design (DDBD)* pada saat peleahan pertama adalah sebagai berikut:

Arah x-x

$$V_{Base} = K_e \times \Delta_d = 5662,33 \times 0,262 = 1481,34 \text{ KN}$$

Arah y-y

$$V_{Base} = K_e \times \Delta_d = 16590,99 \times 0,262 = 4340,43 \text{ KN}$$

Distribusi gaya geser tiap lantai dapat dihitung dengan rumus dan perhitungan ditabelkan pada tabel berikut :

$$F_i = F_t + 0,9V_{Base}(m_i \Delta_i) / \sum_{i=1}^n m_i \Delta_i$$

Tabel 4 14: Distribusi Gaya Geser Tiap Lantai

Level	Tinggi H <sub>i</sub> (m)	Mass m <sub>i</sub> (Ton)	Δ <sub>Di</sub> (m)	m <sub>i</sub> .Δ <sub>i</sub>	arah x-x		arah y-y	
					V <sub>b</sub> (KN)	F <sub>i</sub> (KN)	V <sub>b</sub> (KN)	F <sub>i</sub> (KN)
7	22,46	199,65	0,352	70,36	1481,34	447,99	4340,43	1312,65
6	18,76	240,99	0,311	74,84	1481,34	318,92	4340,43	934,47
5	15,06	242,00	0,262	63,47	1481,34	270,47	4340,43	792,51

Level	Tinggi $H_i$ (m)	Mass $m_i$ (Ton)	$\Delta_{Di}$ (m)	$m_i \cdot \Delta_i$	arah x-x		arah y-y	
					$V_b$ (KN)	$F_i$ (KN)	$V_b$ (KN)	$F_i$ (KN)
4	11,36	246,23	0,208	51,12	1481,34	217,87	4340,43	638,36
3	7,66	237,20	0,147	34,77	1481,34	148,19	4340,43	434,21
2	3,96	230,78	0,079	18,28	1481,34	77,89	4340,43	228,23
1	0,00	0,00	0	0,00	0,00	0,00	0,00	0,00
Jumlah	79,26	1396,85		312,84		1481,34		4340,43

### 4.3. Perencanaan Struktur Sekunder

Perencanaan struktur sekunder meliputi perencanaan pelat lantai, balok anak, balok lift, dan tangga.

#### 4.3.1. Perencanaan Pelat

Perencanaan pelat pada gedung ini menggunakan Bondex dengan tabel perencanaan praktis yang ada dari *Super Floor Deck*. Struktur pelat direncanakan dengan tanpa penyangga (*no props*) selama proses pengerasan pelat beton. Bondek digunakan sebagai pengganti tulangan positif untuk analisa perhitungan pelat bondek menggunakan rumus dari *Steel Deck Institute*. Spesifikasi pelat yang akan digunakan sebagai berikut :

Super Floor Deck :

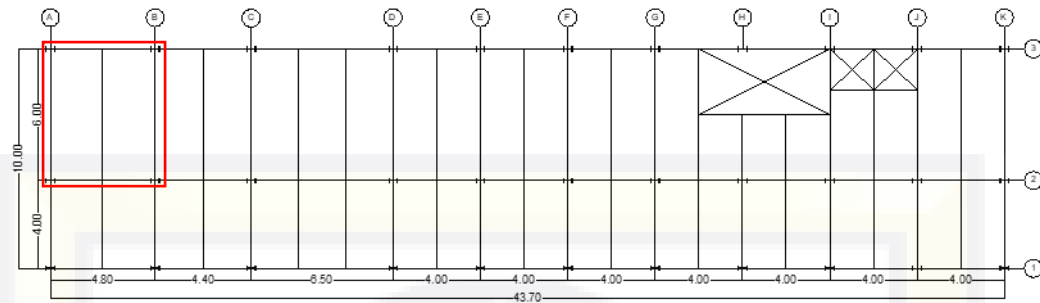
$$d_d = 53 \text{ mm} \quad F_y = 500 \text{ Mpa}$$

$$t = 0,75 \text{ mm} \quad F_u = 570 \text{ Mpa}$$

$$w_1 = 10,10 \text{ kg/m}^2 \quad w_2 = 6,06 \text{ kg/m}$$

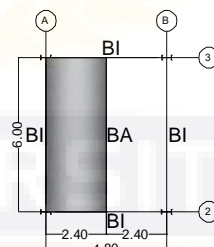
$$A_s = 1241 \text{ mm}^2 \quad b = 600 \text{ mm}$$

$$I_p = 511000 \text{ mm}^4$$



Gambar 4. 3: Denah Pelat

#### 4.3.1.1. Perencanaan Pelat Atap



Gambar 4. 4: Detail Pelat Atap

Digunakan tebal pelat = 10 cm

Beban Mati

$$\text{Berat pelat bondek} = 10,10 \text{ kg/m}^2$$

$$\text{Berat pelat beton} = 0,10 \times 2400 = 240 \text{ kg/m}^2$$

$$\text{Berat ducting & plumbing} = 25 \text{ kg/m}^2$$

$$\text{Berat plafon+penggantung} = 11 + 7 = 18 \text{ kg/m}^2$$

$$\text{Berat Aspal 1 cm} = 14 \times 1 = 14 \text{ kg/m}^2$$

$$\text{Berat Spesi 2 cm} = 21 \times 2 = 42 \text{ kg/m}^2$$

$$q_D = 349,10 \text{ kg/m}^2$$

Beban Hidup (Tabel 4.3-1 SNI 1727:2020)

$$\text{Atap gedung pendidikan} = 0,96 \text{ kN/m}^2, q_L = 97,89 \text{ kg/m}^2$$

Beban Air Hujan

Diasumsikan tinggi genangan air hujan maks di pelat atap 10 cm

$$q_R = 0,10 \times 1000 = 100 \text{ kg/m}^2$$

$$\text{Beban berguna yang dipakai}, 1.2q_D + 1.6q_L + 0.5q_R = Q$$

$$Q = 418,92 \times 156,63 \times 50 = 625,55 \text{ kg/m}^2$$

- Kontrol kekuatan bondek

$$h = 100 \text{ mm}$$

$$b = 600 \text{ mm}$$

$$L_y = 6000 \text{ mm} \quad \frac{L_y}{L_x} = 2,50 \quad \text{Pelat 1 Arah}$$

$$L_x = 2400 \text{ mm} \quad \frac{L_y}{L_x}$$

$$F_c = 20 \text{ Mpa}$$

$$d = h - \frac{1}{2} \times \text{tinggi gelombang}$$

$$= 100 - \frac{1}{2} \times 53$$

$$= 73,50 \text{ mm}$$

$$h_c = h - \text{tinggi gelombang}$$

$$= 100 - 53$$

$$= 47 \text{ mm}$$

$$n = \frac{E_s}{E_c} = \frac{203000}{0,043 \times (W_c)^{1,5} \times \sqrt{F_c}} = \frac{203000}{0,043 \times (2400)^{1,5} \times \sqrt{20}}$$

$$= 8,978$$

$$\rho = \frac{A_s}{b \times d} = \frac{1241}{600 \times 73,50} = 0,028$$

maka didapatkan,

$$Y_{cc} = d \{ \sqrt{2\rho n + (\rho n)^2} - \rho n \}$$

$$= 73,50 \{ \sqrt{2 \times 0,028 \times 8,978 + (0,028 \times 8,978)^2} - 0,028 \times 8,978 \}$$

$$= 41,35 \text{ mm}$$

$$Y_{cc} \leq h_c = 41,35 \text{ mm} \leq 47 \text{ mm} \quad \text{OK}$$

$$Y_{cs} = d - Y_{cc}$$

$$= 73,50 - 41,35$$

$$= 32,15 \text{ mm}$$

$$I_c = \frac{b}{3 \times h} \times Y_{cc}^3 + A_s \times Y_{cs}^2 + I_{sf}$$

$$= \frac{600}{3 \times 100} \times 41,35^3 + 1241 \times 32,15^2 + 511000$$

$$= 1935180,00 \text{ mm}^4$$

### Menghitung *Flexural Strength*

$$M_y = \frac{F_y \times I_c}{h - Y_{cc}} = \frac{500 \times 1935180}{100 - 41,35} = 16497487 \text{ Nmm}$$
$$= 16,50 \text{ KNm}$$
$$M_{ru} = \emptyset \times M_y$$
$$= 0,85 \times 16,50$$
$$= 14,02 \text{ KNm}$$

Hasil analisis SAP 2000 untuk pelat atap

Arah x-x (M11)

$$M_{u+} = 3,82 \text{ KNm}$$

$$M_{u-} = -0,06 \text{ KNm}$$

Arah y-y (M22)

$$M_{u+} = 1,26 \text{ KNm}$$

$$M_{u-} = -0,02 \text{ KNm}$$

Bondek dikatakan aman apabila *flexural strengthnya* memiliki nilai  $M_{ru} > M_{u+}$ . Dimana dari hasil perhitungan didapatkan  $M_{u+}$  terbesar adalah 3,82 KNm sedangkan nilai  $M_{ru}$  sebesar 14,02 KNm untuk pelat atap dengan tebal 100 mm. Maka bondek yang digunakan pada pelat atap aman dengan safety factor :

$$S_f = \frac{M_{ru}}{M_{u+}} = \frac{14,02}{3,82} = 3,67$$

- Tebal efektif pelat

$$\text{Tebal pelat} = 10 \text{ cm}$$

$$\text{Mutu beton } f_c = 20 \text{ Mpa}$$

$$\text{Mutu tulangan BjTP280, } f_y = 280 \text{ Mpa}$$

$$f_u = 350 \text{ Mpa}$$

$$\text{Tebal selimut beton } (p) = 2 \text{ cm SNI 2847:2019 Pas 20.6.1.3.2}$$

$$\varnothing \text{ tulangan pokok arah X} = 8 \text{ mm}$$

$$\varnothing \text{ tulangan susut arah Y} = 8 \text{ mm}$$

Tinggi efektif

$$D_x = d - p - (0,5 \times \varnothing \text{ tulangan pokok arah X})$$

$$= 49,50 \text{ mm}$$

$$D_y = d - p - (0,5 \times \varnothing \text{ tulangan susut arah y}) - (\varnothing \text{ tulangan pokok arah X})$$

$$= 41,50 \text{ mm}$$

- Penulangan pelat

Tulangan utama arah x-x

$$\text{Peninjauan plat lantai selebar } (b_w) = 1 \text{ m}$$

SNI 2847:2019 pasal 9.6.1.2

Luas tulangan yang digunakan ( $A_s$ )

$$A_s = \frac{0,25 \sqrt{f_c}}{f_y} b_w d_x$$

$$= 197,65 \text{ mm}^2$$

dan  $A_s$  tidak lebih kecil dari

$$A_s = \frac{1,4}{f_y} b_w dx$$

$$= 247,50 \text{ mm}^2$$

$$A_s \text{ yang dipakai} = 247,5 \text{ mm}^2$$

Dipakai tulangan  $\varnothing 8 \text{ mm}$

Luas tulangan ( $A_v$ )

$$A_v = \frac{1}{4} \times \pi \times d^2$$

$$= 50,24 \text{ mm}^2$$

### Kontrol Rasio Tulangan

$$\rho = \frac{A_s \text{ pakai}}{b_w \cdot d_x}$$

$$= 0,005$$

$$\rho_{\min} = \frac{1.4}{f_y}$$

$$= 0,005$$

*SNI 2847:2019 pasal 22.2.2.4.3*

$$17 < f'_c < 28, \beta_1 = 0,85$$

$$28 < f'_c, \beta_1 = 0,85 - \left( 0,05 \times \frac{(f'_c - 28)}{7} \right)$$

$$= 0,91$$

$$m = \frac{f_y}{(\beta_1 \times f'_c)}$$

$$= 16,47$$

$$\rho_{\max} = 0,75 \times \frac{\beta_1}{m} \times \frac{600}{(600 + f_y)}$$

$$= 0,028$$

$$\rho_{\min} < \rho < \rho_{\max}$$

$$0,005 < 0,005 < 0,028 \quad \text{OK}$$

Jumlah tulangan dalam 1 m

$$n = \frac{A_s}{A_v}$$

$$= 4,93, \text{ digunakan } 5 \text{ buah}$$

Jarak tulangan dalam 1 m

$$s = \frac{b}{n}$$

$$= 200 \text{ mm}$$

$$A_s \text{ pakai} = n \times A_v$$

$$= 251,20 \text{ mm}^2$$

$$A_s \text{ pakai} > A_s$$

$$251,20 > 247,50 \quad \text{OK}$$

### Kontrol Kekuatan

$$a = \frac{(Aspakai \times f_y)}{(0,85 \times f'_c \times b_w)}$$
$$= 4,137 \text{ mm}$$

### Menghitung momen nominal

$$M_n = A_{spakai} \times f_y \times \left( d_x - \frac{a}{2} \right)$$
$$= 3336128 \text{ Nmm}$$
$$= 3,34 \text{ kNm}$$

### Menghitung momen yang timbul

$$\phi M_n = 0.80 \times M_n$$
$$= 2,67 \text{ kNm}$$

$$\phi M_n > M_{ux^-}$$

$$2,67 > 0,06 \text{ OK}$$

Tulangan susut arah y-y

Peninjauan plat lantai selebar ( $b_w$ ) = 1 m

SNI 2847:2019 pasal 9.6.1.2

Luas tulangan yang digunakan ( $A_s$ )

$$A_s = \frac{0.25 \sqrt{f'_c}}{f_y} b_w d_y$$
$$= 165,71 \text{ mm}^2$$

dan  $A_s$  tidak lebih kecil dari

$$A_s = \frac{1.4}{f_y} b_w dy$$
$$= 207,50 \text{ mm}^2$$

$A_s$  yang dipakai 207,50 mm<sup>2</sup>

Dipakai tulangan ø8 mm

Luas tulangan ( $A_v$ )

$$A_v = \frac{1}{4} \times \pi \times d^2$$
$$= 50,24 \text{ mm}^2$$

Jumlah tulangan dalam 1 m

$$n = \frac{A_s}{A_v}$$

$$= 4,13, \text{ digunakan } 5 \text{ buah}$$

Jarak tulangan dalam 1 m

$$s = \frac{b}{n}$$

$$= 200 \text{ mm}$$

$$A_{s \text{ pakai}} = n \times A_v$$
$$= 251,20 \text{ mm}^2$$

$$A_{s \text{ pakai}} > A_s$$

$$251,20 > 207,50 \text{ OK}$$

Kontrol Rasio Tulangan

$$\rho = \frac{A_{s \text{ pakai}}}{b_w \cdot d_y}$$
$$= 0,006$$

$$\rho_{\min} = \frac{1.4}{f_y}$$
$$= 0,005$$

SNI 2847:2019 pasal 22.2.2.4.3

$$17 < f'_c < 28, \beta_1 = 0,85$$

$$28 < f'_c, \beta_1 = 0.85 - \left( 0.05 \times \frac{(f'_c - 28)}{7} \right)$$
$$= 0,91$$

$$m = \frac{f_y}{(\beta_1 \times f'_c)}$$

$$= 16,47$$

$$\rho_{\max} = 0.75 \times \frac{\beta_1}{m} \times \frac{600}{(600 + f_y)}$$

$$= 0,028$$

$$\rho_{\min} < \rho < \rho_{\max}$$

$$0,005 < 0,006 < 0,028 \quad \text{OK}$$

Kontrol Kekuatan

$$a = \frac{(A_{spakai} \times f_y)}{(0,85 \times f'_c \times b_w)}$$

$$= 4,14 \text{ mm}$$

Menghitung momen nominal

$$M_n = A_{spakai} \times f_y \times \left( d_y - \frac{a}{2} \right)$$

$$= 2773440 \text{ Nmm}$$

$$= 2,77 \text{ kNm}$$

Menghitung momen yang timbul

$$\phi M_n = 0,80 \times M_n$$

$$= 2,22 \text{ kNm}$$

$$\phi M_n > M_{uy}$$

$$2,22 > 0,02 \quad \text{OK}$$

- Kontrol lendutan pelat atap

$$f'_c = 20 \text{ MPa}$$

$$f'_{ybondek} = 500 \text{ MPa}$$

Modulus Elastisitas Beton

$$E_c = 4700 \sqrt{f'_c} \quad (\text{SNI 2847:2019 pasal 19.2.2})$$

$$= 21019,04 \text{ MPa}$$

Modulus Elastisitas Baja Tulangan

$$E_s = 200000 \text{ MPa}$$

Beban Merata Pada Pelat Atap

$$Q = 625,55 \text{ kg/m}$$

$$= 6,26 \text{ N/mm}$$

$$L_x = 2400 \text{ mm}$$

$$h = 100 \text{ mm}$$

$$d = 73,50 \text{ mm}$$

$$D_x = 49,50 \text{ mm}$$

$$A_e = 251,20 \text{ mm}^2$$

Lendutan Maksimum (*SNI 2847:2019 pasal 24.2.2 tabel 24.2.2*)

$$\Delta_{ijin} = \frac{L_x}{360} = \frac{2400}{360} = 6,67 \text{ mm}$$

$$I_g = \frac{1}{12} Lx d^3 = 79413075 \text{ mm}^4$$

Modulus Keruntuhan Lentur (*SNI 2847:2019 Pasal 19.2.3*)

$\lambda$  untuk beton normal = 1 (*SNI 2847:2019 Pasal 19.2.4.2*)

$$f_r = 0,62 \times \lambda \sqrt{f'_c}$$
$$= 2,77 \text{ MPa}$$

Nilai Pebandingan Modulus Elastisitas

$$n = \frac{E_s}{E_c} = \frac{200000}{21019,04} = 9,52 \text{ } n \text{ dapat digunakan } (n > 6)$$

Jarak garis netral terhadap sisi atas beton

$$c = \frac{a}{\beta_1} = \frac{4,14}{0,85} = 4,87 \text{ mm}$$

$$I_{cr} = \frac{E_s}{E_c} \left( A_s + \frac{Q}{f_y} \frac{d}{2Dx} \right) (D_y - c)^2 + \frac{L_x c^3}{3} \quad (\text{SNI 2847:2019 Pasal 11.8.3})$$
$$= 4853877,8 \text{ mm}^4$$

$$y_t = \frac{h}{2} = \frac{100}{2} = 50 \text{ mm}$$

Momen retak (*SNI 2847:2019 Pasal 24.2.3.5 persamaan 24.2.3.5b*)

$$M_{cr} = \frac{f_r \times I_g}{y_t} = \frac{2,77 \times 79413075}{50}$$
$$= 4403811 \text{ Nmm}$$

Momen Maksimum

$$M_a = 1/8 \times Q \times L_x^2$$
$$= 187,66 \text{ kgm}$$
$$= 1876638 \text{ Nmm}$$

Inersia Efektif (SNI 2847:2019 Pasal 24.2.3.5 persamaan 24.2.3.5a)

$$I_e = \left(\frac{M_{cr}}{M_a}\right)^3 I_g + \left[1 - \left(\frac{M_{cr}}{M_a}\right)^3\right] I_{cr}$$
$$= 968341099,44 \text{ mm}^4$$

Berdasarkan pasal 24.2.3.5,  $I_e$  tidak boleh melebihi  $I_g$

$I_e > I_g$  maka digunakan nilai  $I_g$  sebagai inersia efektif

Lendutan elastis seketika akibat beban mati dan beban hidup

$$\Delta_e = \frac{5 \times Q \times L_x^4}{384 \times E_c \times I_e}$$
$$= 1,62 \text{ mm}$$

Rasio Tulangan ( $\rho$ ) arah lendutan  $x = 0,005$

Berdasarkan SNI 2847:2019 pasal 24.2.4 faktor tergantung waktu ( $\xi$ )

untuk beban tetap dengan waktu 60 bulan atau lebih,  $\xi = 2$

$$\lambda_\Delta = \frac{\xi}{1 + 50 \rho}$$
$$= 1,60$$

Lendutan jangka panjang akibat rangkak dan susut,

$$\Delta_g = \frac{\lambda_\Delta 5 \times Q \times l^4}{384 \times E_c \times I_e}$$
$$= 2,58 \text{ mm}$$

Lendutan total,

$$\Delta_{total} = \Delta_e + \Delta_g$$
$$= 4,20 \text{ mm}$$

Kontrol Lendutan

$\Delta_{total} < \Delta_{ijin}$

$4,20 < 6,67 \text{ OK}$

Lendutan yang terjadi saat pengecoran

Beban merata pada pelat bondek

Berat pelat bondek = 6,06 kg/m

Berat pelat beton =  $2400 \times \text{Luas Area}$

$$= 2400 \times 0,10 \times 0,60 = 144 \text{ kg/m}$$

$$Q = 150 \text{ kg/m}$$

$$= 1,50 \text{ N/mm}$$

$$\Delta_b = \frac{5 \times Q \times l^4}{384 \times E_s \times I_e}$$

$$= 6,34 \text{ mm}$$

Lendutan ijin,

$$\Delta_{ijin} = \frac{L_x}{240} = \frac{2400}{240} = 10 \text{ mm}$$

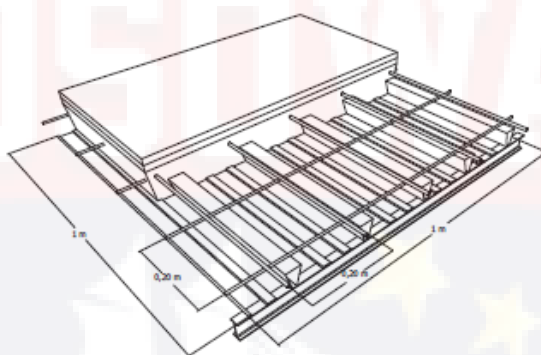
Kontrol Lendutan

$$\Delta_b < \Delta_{ijin}$$

6,34 < 10 OK

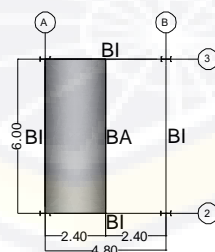
Berikut adalah gambar dari desain pelat atap berdasarkan hasil

perhitungan penulangan.



Gambar 4. 5: Penulangan Pelat Atap

#### 4.3.1.2. Perencanaan Pelat Lantai



Gambar 4. 6: Detai Pelat Lantai

Digunakan tebal pelat = 12,5 cm

Beban Mati

$$\text{Berat pelat bondek} = 10,10 \text{ kg/m}^2$$

$$\text{Berat pelat beton} = 0,125 \times 2400 = 300 \text{ kg/m}^2$$

$$\text{Berat ducting & plumbing} = 25 \text{ kg/m}^2$$

$$\text{Berat plafon+penggantung} = 11 + 7 = 18 \text{ kg/m}^2$$

$$\text{Berat spesi 2 cm} = 21 \times 2 = 42 \text{ kg/m}^2$$

$$\text{Berat tegel 2 cm} = 24 \times 2 = 48 \text{ kg/m}^2$$

$$q_D = 443,10 \text{ kg/m}^2$$

Beban Hidup (Tabel 4.3-1 SNI 1727:2020)

$$\text{Lantai gedung pendidikan} = 4,79 \text{ kN/m}^2 \quad q_L = 488,44 \text{ kg/m}^2$$

Beban berguna yang dipakai,  $1.2q_D + 1.6q_L = Q$

$$Q = 531,72 + 781,50 = 1313,22 \text{ kg/m}^2$$

- Kontrol kekuatan bondek

$$h = 125 \text{ mm}$$

$$b = 600 \text{ mm}$$

$$L_y = 6000 \text{ mm} \quad \frac{L_y}{L_x} = 2,50 \text{ Pelat 1 Arah}$$

$$L_x = 2400 \text{ mm} \quad \frac{L_y}{L_x}$$

$$F_c = 20 \text{ Mpa}$$

$$d = h - \frac{1}{2} \times \text{tinggi gelombang}$$

$$= 125 - \frac{1}{2} \times 53$$

$$= 98,50 \text{ mm}$$

$$h_c = h - \text{tinggi gelombang}$$

$$= 125 - 53$$

$$= 72 \text{ mm}$$

$$n = \frac{E_s}{E_c} = \frac{203000}{0,043 \times (W_c)^{1,5} \times \sqrt{F_c}} = \frac{203000}{0,043 \times (2400)^{1,5} \times \sqrt{20}}$$
$$= 8,978$$

$$\rho = \frac{A_s}{b \times d} = \frac{1241}{600 \times 98,50} = 0,021$$

maka didapatkan,

$$Y_{cc} = d \{ \sqrt{2\rho n + (\rho n)^2 - \rho n} \}$$

$$= 98,50 \{ \sqrt{2 \times 0,021 \times 8,978 + (0,021 \times 8,978)^2 - 0,021 \times 8,978} \}$$

$$= 46,63 \text{ mm}$$

$$Y_{cc} \leq h_c = 46,63 \text{ mm} \leq 72 \text{ mm} \quad \text{OK}$$

$$Y_{cs} = d - Y_{cc}$$

$$= 98,50 - 46,63$$

$$= 51,87 \text{ mm}$$

$$I_c = \frac{b}{3 \times h} \times Y_{cc}^3 + A_s \times Y_{cs}^2 + I_{sf}$$

$$= \frac{600}{3 \times 125} \times 46,63^3 + 1241 \times 51,87^2 + 511000$$

$$= 4012564,67 \text{ mm}^4$$

Menghitung *Flexural Strength*

$$M_y = \frac{F_y \times I_c}{h - Y_{cc}} = \frac{500 \times 4012564,67}{125 - 46,63} = 25598935 \text{ Nmm}$$

$$= 25,60 \text{ KNm}$$

$$M_{ru} = \emptyset \times M_y$$

$$= 0,85 \times 25,60$$

$$= 21,76 \text{ KNm}$$

Hasil analisis SAP2000 untuk pelat lantai

Arah x-x (M11)

$$M_{u+} = 8,02 \text{ KNm}$$

$$M_{u-} = -0,12 \text{ KNm}$$

Arah y-y (M22)

$$M_{u+} = 2,64 \text{ KNm}$$

$$M_{u-} = -0,04 \text{ KNm}$$

Bondek dikatakan aman apabila *flexural strengthnya* memiliki nilai  $M_{ru} > M_{u+}$ . Dimana dari hasil perhitungan didapatkan  $M_{u+}$  terbesar adalah 8,02 KNm sedangkan nilai  $M_{ru}$  sebesar 21,76 KNm untuk pelat atap dengan tebal 100 mm. Maka bondek yang digunakan pada pelat atap aman dengan safety factor :

$$S_f = \frac{M_{ru}}{M_{u+}} = \frac{21,76}{8,02} = 2,71$$

- Tebal efektif pelat

$$\text{Tebal pelat} = 12,50 \text{ cm}$$

$$\text{Mutu beton } f_c = 20 \text{ Mpa}$$

$$\text{Mutu tulangan BjTP280, } f_y = 280 \text{ Mpa}$$

$$f_u = 350 \text{ Mpa}$$

$$\text{Tebal selimut beton } (p) = 2 \text{ cm SNI 2847:2019 Pas 20.6.1.3.2}$$

$$\varnothing \text{ tulangan pokok arah X} = 8 \text{ mm}$$

$$\varnothing \text{ tulangan susut arah Y} = 8 \text{ mm}$$

#### Tinggi efektif

$$D_x = d - p - (0,5 \times \varnothing \text{ tulangan pokok arah X})$$

$$= 74,50 \text{ mm}$$

$$D_y = d - p - (0,5 \times \varnothing \text{ tulangan susut arah y}) - (\varnothing \text{ tulangan pokok arah X})$$

$$= 66,50 \text{ mm}$$

- Penulangan pelat lantai

Tulangan utama arah x-x

$$\text{Peninjauan plat lantai selebar } (b_w) = 1 \text{ m}$$

SNI 2847:2019 pasal 9.6.1.2

Luas tulangan yang digunakan ( $A_s$ )

$$A_s = \frac{0.25 \sqrt{f_c}}{f_y} b_w d_x$$

$$= 297,48 \text{ mm}^2$$

dan  $A_s$  tidak lebih kecil dari

$$A_s = \frac{1.4}{f_y} b_w dx$$

$$= 372,50 \text{ mm}^2$$

$A_s$  yang dipakai 372,5  $\text{mm}^2$

Dipakai tulangan  $\varnothing 8$  mm

Luas tulangan ( $A_v$ )

$$A_v = \frac{1}{4} \times \pi \times d^2$$

$$= 50,24 \text{ mm}^2$$

Jumlah tulangan dalam 1 m

$$n = \frac{A_s}{A_v}$$

$$= 7,41, \text{ digunakan } 8 \text{ buah}$$

Jarak tulangan dalam 1 m

$$s = \frac{b}{n}$$

$$= 125 \text{ mm}$$

$$A_{s \text{ pakai}} = n \times A_v$$

$$= 401,92 \text{ mm}^2$$

$$A_{s \text{ pakai}} > A_s$$

401,92 > 372,50 **OK**

Kontrol Rasio Tulangan

$$\rho = \frac{A_{s \text{ pakai}}}{b_w \cdot dx}$$

$$= 0,005$$

$$\rho_{\min} = \frac{1.4}{f_y}$$

$$= 0,005$$

SNI 2847:2019 pasal 22.2.2.4.3

$$17 < f'_c < 28, \beta_1 = 0,85$$

$$28 < f'_c, \beta_1 = 0,85 - \left( 0,05 \times \frac{(f'_c - 28)}{7} \right)$$
$$= 0,91$$

$$m = \frac{f_y}{(\beta_1 \times f'_c)}$$
$$= 16,47$$

$$\rho_{\max} = 0,75 \times \frac{\beta_1}{m} \times \frac{600}{(600 + f_y)}$$
$$= 0,028$$

$$\rho_{\min} < \rho < \rho_{\max}$$
$$0,005 < 0,005 < 0,028 \quad \text{OK}$$

Kontrol Kekuatan

$$a = \frac{(A_{spakai} \times f_y)}{(0,85 \times f'_c \times b_w)}$$
$$= 6,62 \quad \text{mm}$$

Menghitung momen nominal

$$M_n = A_{spakai} \times f_y \times \left( d_x - \frac{a}{2} \right)$$
$$= 8011560 \quad \text{Nmm}$$
$$= 8,01 \quad \text{kNm}$$

Menghitung momen yang timbul

$$\phi M_n = 0,80 \times M_n$$
$$= 6,41 \quad \text{kNm}$$
$$\phi M_n > M_{ux-}$$
$$6,41 > 0,12 \quad \text{OK}$$

Tulangan susut arah y-y

Peninjauan plat lantai selebar ( $b_w$ ) = 1 m

SNI 2847:2019 pasal 9.6.1.2

Luas tulangan yang digunakan ( $A_s$ )

$$A_s = \frac{0.25 \sqrt{f_c}}{f_y} b_w d_y$$

$$= 265,53 \text{ mm}^2$$

dan  $A_s$  tidak lebih kecil dari

$$A_s = \frac{1.4}{f_y} b_w d_y$$

$$= 332,50 \text{ mm}^2$$

$A_s$  yang dipakai 332,50 mm<sup>2</sup>

Dipakai tulangan ø8 mm

Luas tulangan ( $A_v$ )

$$A_v = \frac{1}{4} \times \pi \times d^2$$

$$= 50,24 \text{ mm}^2$$

Jumlah tulangan dalam 1 m

$$n = \frac{A_s}{A_v}$$

$$= 6,62, \text{ digunakan } 7 \text{ buah}$$

Jarak tulangan dalam 1 m

$$s = \frac{b}{n}$$

$$= 143 \text{ mm} = 140 \text{ mm}$$

Digunakan 140 mm agar mempermudah pekerja

$$A_{s \text{ pakai}} = n \times A_v$$
$$= 351,68 \text{ mm}^2$$

$$A_{s \text{ pakai}} > A_s$$

$$351,68 > 332,50 \text{ OK}$$

## Kontrol Rasio Tulangan

$$\rho = \frac{A_{spakai}}{b_w \cdot d_y}$$

$$= 0,005$$

$$\rho_{min} = \frac{1.4}{f_y}$$

$$= 0,005$$

SNI 2847:2019 pasal 22.2.2.4.3

$$17 < f'_c < 28, \beta_1 = 0,85$$

$$28 < f'_c, \beta_1 = 0,85 - \left( 0,05 \times \frac{(f'_c - 28)}{7} \right)$$
$$= 0,91$$

$$m = \frac{f_y}{(\beta_1 \times f'_c)}$$

$$= 16,47$$

$$\rho_{max} = 0,75 \times \frac{\beta_1}{m} \times \frac{600}{(600 + f_y)}$$

$$= 0,028$$

$$\rho_{min} < \rho < \rho_{max}$$

$$0,005 < 0,005 < 0,028 \quad OK$$

## Kontrol Kekuatan

$$a = \frac{(A_{spakai} \times f_y)}{(0,85 \times f'_c \times b_w)}$$

$$= 5,792 \text{ mm}$$

## Menghitung momen nominal

$$M_n = A_{spakai} \times f_y \times \left( d_y - \frac{a}{2} \right)$$

$$= 6263093 \text{ Nmm}$$

$$= 6,26 \text{ kNm}$$

Menghitung momen yang timbul

$$\begin{aligned}\phi M_n &= 0.80 \times M_n \\ &= 5,01 \text{ kNm}\end{aligned}$$

$$\begin{aligned}\phi M_n &> M_{uy} \\ 5,01 &> 0,04 \quad \text{OK}\end{aligned}$$

- Kontrol lendutan pelat lantai

$$\begin{aligned}f'_c &= 20 \text{ MPa} \\ f'_{ybонdeк} &= 500 \text{ MPa}\end{aligned}$$

Modulus Elastisitas Beton

$$\begin{aligned}E_c &= 4700 \sqrt{f'_c} \quad (\text{SNI 2847:2019 pasal 19.2.2}) \\ &= 21019,04 \text{ MPa}\end{aligned}$$

Modulus Elastisitas Baja Tulangan

$$E_s = 200000 \text{ MPa}$$

Beban Merata Pada Pelat Lantai

$$\begin{aligned}Q &= 1313,22 \text{ kg/m} \\ &= 13,13 \text{ N/mm}\end{aligned}$$

$$L_x = 2400 \text{ mm}$$

$$h = 125 \text{ mm}$$

$$d = 98,50 \text{ mm}$$

$$D_x = 74,50 \text{ mm}$$

$$A_s = 351,68 \text{ mm}^2$$

Lendutan Maksimum (SNI 2847:2019 pasal 24.2.2)

$$\Delta_{ijin} = \frac{L_x}{360} = \frac{2400}{360} = 6,67 \text{ mm}$$

$$I_g = \frac{1}{12} Lx d^3 = 191134325 \text{ mm}^4$$

Modulus Keruntuhan Lentur (SNI 2847:2019 Pasal 19.2.3)

$\lambda$  untuk beton normal 1 (SNI 2847:2019 Pasal 19.2.4.2)

$$\begin{aligned}f_r &= 0.62 \times \lambda \sqrt{f'_c} \\ &= 2,77 \text{ MPa}\end{aligned}$$

### Nilai Pebandingan Modulus Elastisitas

$$n = \frac{E_s}{E_c} = \frac{200000}{21019,04} = 9,52 \quad n \text{ dapat digunakan } (n > 6)$$

Jarak garis netral terhadap sisi atas beton

$$c = \frac{a}{\beta_1} = \frac{5,79}{0,85} = 6,81 \text{ mm}$$

$$I_{cr} = \frac{E_s}{E_c} \left( A_s + \frac{Q}{f_y 2D_x} d \right) (D_y - c)^2 + \frac{L_x c^3}{3} \quad (\text{SNI 2847:2019 Pasal 11.8.3})$$

$$= 15584386 \text{ mm}^4$$

$$y_t = \frac{h}{2} = \frac{125}{2} = 63 \text{ mm}$$

Momen retak (*SNI 2847:2019 Pasal 24.2.3.5 persamaan 24.2.3.5b*)

$$M_{cr} = \frac{f_r \times I_g}{y_t} = \frac{2,77 \times 191134325}{62,5}$$

$$= 8479405 \text{ Nmm}$$

Momen Maksimum

$$M_a = 1/8 \times Q \times L_x^2$$

$$= 393,97 \text{ kgm}$$

$$= 3939654 \text{ Nmm}$$

Inersia Efektif (*SNI 2847:2019 Pasal 24.2.3.5 persamaan 24.2.3.5a*)

$$I_e = \left( \frac{M_{cr}}{M_a} \right)^3 I_g + \left[ 1 - \left( \frac{M_{cr}}{M_a} \right)^3 \right] I_{cr}$$

$$= 1765924432,55 \text{ mm}^4$$

Berdasarkan pasal 24.2.3.5,  $I_e$  tidak boleh melebihi  $I_g$

$I_e > I_g$  maka digunakan nilai  $I_g$  sebagai inersia efektif

Lendutan elastis seketika akibat beban mati dan beban hidup

$$\Delta_e = \frac{5 \times Q \times L_x^4}{384 \times E_c \times I_e}$$

$$= 1,41 \text{ mm}$$

Rasio Tulangan ( $\rho$ ) arah lendutan  $x = 0,005$

SNI 2847:2019 pasal 24.2.4 faktor pengaruh waktu ( $\xi$ ) untuk beban tetap dengan waktu 60 bulan atau lebih,  $\xi = 2$

$$\lambda_{\Delta} = \frac{\xi}{1 + 50 \rho}$$

$$= 1,58$$

Lendutan jangka panjang akibat rangkak dan susut,

$$\Delta_g = \frac{\lambda_{\Delta} 5 \times Q \times l^4}{384 \times E_c \times I_e}$$

$$= 2,22 \text{ mm}$$

Lendutan total,

$$\Delta_{\text{total}} = \Delta_e + \Delta_g$$

$$= 3,64 \text{ mm}$$

Kontrol Lendutan

$$\Delta_{\text{total}} < \Delta_{ijin}$$

$$3,64 < 6,67 \text{ OK}$$

Lendutan yang terjadi saat pengecoran

Beban merata pada pelat bondek

$$\text{Berat pelat bondek} = 6,06 \text{ kg/m}$$

$$\text{Berat pelat beton} = 2400 \times \text{Luas Area}$$

$$= 2400 \times 0,125 \times 0,60 = 180 \text{ kg/m}$$

$$Q = 186 \text{ kg/m}$$

$$= 1,86 \text{ N/mm}$$

$$\Delta_b = \frac{5 \times Q \times l^4}{384 \times E_s \times I_e}$$

$$= 7,86 \text{ mm}$$

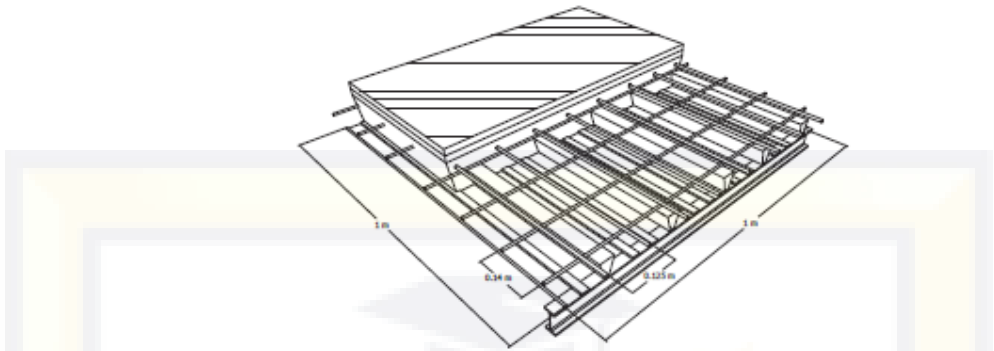
Lendutan ijin,

$$\Delta_{ijin} = \frac{L_x}{240} = \frac{2400}{240} = 10 \text{ mm}$$

Kontrol Lendutan

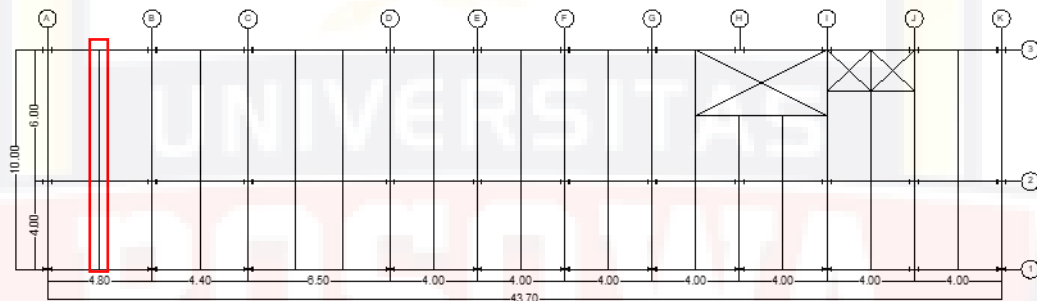
$$\Delta_b < \Delta_{ijin}$$

$$7,86 < 10 \text{ OK}$$



Gambar 4. 7: Penulangan Pelat Lantai

#### 4.3.2. Perencanaan Balok Anak



Gambar 4. 8: Konfigurasi Balok Anak Gedung

##### 4.3.2.1. Dimensi Balok Anak Atap

###### a. Portal 1 – 2

Direncanakan menggunakan IWF 150x100x6x9, dengan data sebagai berikut :

$A = 26,84 \text{ cm}^2$	$Z_x = 153 \text{ cm}^3$
$W = 21,10 \text{ kg/m}$	$Z_y = 46,19 \text{ cm}^3$
$a = 150 \text{ mm}$	$h = 110 \text{ mm}$
$b_f = 100 \text{ mm}$	$r = 11 \text{ mm}$
$t_f = 9 \text{ mm}$	$f_u = 4100 \text{ kg/cm}^2$
$I_x = 1020 \text{ cm}^4$	$f_y = 2500 \text{ kg/cm}^2$
$I_y = 151 \text{ cm}^4$	$S_x = 138 \text{ cm}^3$
$t_w = 6 \text{ mm}$	$S_y = 30,10 \text{ cm}^3$
$i_x = 6,17 \text{ cm}$	$i_y = 2,37 \text{ cm}$

## 1. Perencanaan Pembebanan

Beban Mati ( D )

$$\text{Berat pelat bondek} = 10,10 \text{ kg/m}^2$$

$$\text{Berat pelat beton} = 0,10 \times 2400 = 240 \text{ kg/m}^2$$

$$\text{Berat ducting & plumbing} = 25 \text{ kg/m}^2$$

$$\text{Berat plafon + penggantung} = 11 + 7 = 18 \text{ kg/m}^2$$

$$\text{Aspal 1 cm + Spesi 2 cm} = (1 \times 14) + (2 \times 21) = 56 \text{ kg/m}^2$$

$$q_D = 349,10 \text{ kg/m}^2$$

$$q_{trap} = q_D \times 2,40 = 837,84 \text{ kg/m}$$

$$q_{ekv} = \frac{1}{3} q_{trap} \times \left\{ 3 - \left( \frac{I_x}{I_y} \right)^2 \right\} = 737,30 \text{ kg/m}$$

$$\text{Berat Profil} = 21,10 \text{ kg/m}$$

$$q_{Dtot} = 758,40 \text{ kg/m}$$

Beban Hidup (Tabel 4.3-1 SNI 1727:2020)

$$q_{Ltrap} = 2,40 \times 97,89 = 234,94 \text{ kg/m}$$

$$q_{Lekv} = \frac{1}{3} q_{trap} \times \left\{ 3 - \left( \frac{I_x}{I_y} \right)^2 \right\} = 206,75 \text{ kg/m}$$

Beban terfaktor

$$q_U = 1.20 q_D + 1.60 q_L \quad (\text{menentukan})$$

$$= 1,20 \times 758,40 + 1,60 \times 206,75 = 1240,88 \text{ kg/m}$$

## 2. Gaya Dalam Yang Bekerja Pada Balok

- Momen

$$M_U = \frac{1}{8} q_U L^2 = 0,13 \times 1240,88 \times 16 = 2481,76 \text{ Kgm}$$

- Gaya geser

$$V_U = \frac{1}{2} q_U L = 0,50 \times 1240,88 \times 4 = 2481,76 \text{ Kg}$$

### 3. Kontrol Kuat Rencana Momen Lentur

Kontrol Penampang (SNI 1729:2015 tabel B4.1) :

- Untuk Sayap

$$\frac{b}{2tf} \leq 0,38 \sqrt{E/f_y}$$

$$\frac{100}{18} \leq 0,38 \sqrt{200000/250}$$

$$5,56 \leq 10,75$$

**OK**

- Untuk Badan

$$\frac{h}{t_w} \leq 3,76 \sqrt{E/f_y}$$

$$\frac{110}{6} \leq 3,76 \sqrt{200000/250}$$

$$18,33 \leq 106,35$$

**OK**

penampang Profil Kompak, maka  $M_n = M_p$

### 4. Kontrol Kuat Lentur Akibat Tekuk Lokal SNI 1729:2015 Pasal 8.2 :

Penampang Kompak :

$$M_p = Z_x \cdot f_y$$

$$= 153,04 \times 2500$$

$$= 382590 \text{ kgcm}$$

$$= 3825,90 \text{ kgm}$$

### 5. Kontrol Kuat Lentur Akibat Tekuk Lateral :

Panjang tak terkekang adalah jarak antar shear conector sesuai tabel perencanaan bondex sehingga  $L_b = 20 \text{ cm}$ .

Jarak penahan lateral ( $L_b$ ) = 20 cm

$$L_p = 1,76 \cdot i_y \sqrt{\frac{E}{f_y}} = 1,76 \times 2,37 \sqrt{800}$$

$$L_p = 117,98 \text{ cm}$$

Kondisi Balok plastis termasuk dalam bentang pendek  $L_b < L_p$  dengan  $M_n$  :

$$M_n = M_p$$

$$M_n = 3825,90 \text{ kgm}$$

Kuat lentur balok ditentukan oleh kondisi leleh. Maka demand capacity ratio balok adalah :

$$R = \frac{M_u}{\phi M_n} \leq 1 = \frac{2481,76}{3443,31} \leq 1 = 0,72 \quad \text{OK}$$

6. Kontrol Kuat Geser (SNI 1729:2015 pasal G2):

$$V_n = 0,60f_y \cdot A_w \cdot C_v$$

$$\frac{h}{t_w} \leq 1,10 \sqrt{\frac{K_v E}{f_y}} \quad C_v = 1 ; K_v = 5$$

$$\frac{110}{6} \leq 1,10 \sqrt{4000}$$

$18,33 \leq 69,57$       Kondisi geser plastis

Maka :

$$V_u \leq \phi V_n$$

$$\begin{aligned} \phi V_n &= \phi 0,60f_y \cdot A_w \cdot C_v \\ &= 0,90 \times 0,60 \times 2500 \times 6,60 \times 1 \\ &= 8910 \text{ kg} \end{aligned}$$

$$V_u = 2481,76 \leq 8910 \quad \text{OK}$$

7. Kontrol Lendutan

$$f_{maks} = \frac{5 \cdot (qD + qL) \cdot L^4}{384 \cdot EI_x}$$

$$\begin{aligned} &= \frac{5 \times (758,40 + 234,94 \times 10^{-2}) \times 400^4}{384 \times (2000000) \times 1020} \\ &= 1,62 \text{ cm} \end{aligned}$$

$$f = \frac{L}{240} = \frac{400}{240} = 1,67 \text{ cm}$$

$$f_{maks} < f \quad \text{OK}$$

Maka profil IWF 150x100x6x9, dapat digunakan sebagai balok anak

portal 1 – 2 pada pelat atap gedung.

### b. Portal 2 – 3

Direncanakan Menggunakan IWF 300x150x6,5x9, dengan data sebagai berikut :

$A = 46,78 \text{ cm}^2$	$Z_x = 522 \text{ cm}^3$
$W = 36,70 \text{ kg/m}$	$Z_y = 104 \text{ cm}^3$
$a = 300 \text{ mm}$	$h = 256 \text{ mm}$
$b_f = 150 \text{ mm}$	$r = 13 \text{ mm}$
$t_f = 9 \text{ mm}$	$f_u = 4100 \text{ kg/cm}^2$
$I_x = 7210 \text{ cm}^4$	$f_y = 2500 \text{ kg/cm}^2$
$I_y = 508 \text{ cm}^4$	$S_x = 462 \text{ cm}^3$
$t_w = 6,50 \text{ mm}$	$S_y = 68 \text{ cm}^3$
$i_x = 12,40 \text{ cm}$	$i_y = 3,29 \text{ cm}$

#### 1. Perencanaan Pembebanan

##### Beban Mati ( D )

$$\text{Berat pelat bondek} = 10,10 \text{ kg/m}^2$$

$$\text{Berat pelat beton} = 0,10 \times 2400 = 240 \text{ kg/m}^2$$

$$\text{Berat ducting & plumbing} = 25 \text{ kg/m}^2$$

$$\text{Berat plafon + pengganting} = 11 + 7 = 18 \text{ kg/m}^2$$

$$\text{Aspal 1 cm + Spesi 2 cm} = (1 \times 14) + (2 \times 21) = 56 \text{ kg/m}^2$$

$$q_D = 349,10 \text{ kg/m}^2$$

$$q_D \times 2,40 = 837,84 \text{ kg/m}$$

$$\text{Berat Profil} = 36,70 \text{ kg/m}$$

$$q_{D\text{tot}} = 874,54 \text{ kg/m}$$

##### Beban Hidup (Tabel 4.3-1 SNI 1727:2020)

$$q_L = 2,40 \times 97,89 = 234,94 \text{ kg/m}$$

##### Beban terfaktor

$$q_U = 1.20 q_D + 1.60 q_L \text{ (menentukan)}$$

$$= 1,20 \times 874,54 + 1,60 \times 234,94 = 1425,36 \text{ kg/m}$$

## 2. Gaya Dalam Yang Bekerja Pada Balok

- Momen

$$M_U = \frac{1}{8} q_U L^2 = 0,125 \times 1425,36 \times 36 = 6414,10 \text{ kgm}$$

- Gaya geser

$$V_U = \frac{1}{2} q_U L = 0,50 \times 1425,36 \times 6 = 4276,07 \text{ Kg}$$

## 3. Kontrol Kuat Rencana Momen Lentur

Kontrol Penampang (SNI 1729:2015 tabel B4.1) :

- Untuk Sayap

$$\frac{b}{2tf} \leq 0,38 \sqrt{E/f_y}$$

$$\frac{150}{18} \leq 0,38 \sqrt{200000/250}$$

$$8,33 \leq 10,75$$

**OK**

- Untuk Badan

$$\frac{h}{t_w} \leq 3,76 \sqrt{E/f_y}$$

$$\frac{256}{6,5} \leq 3,76 \sqrt{200000/250}$$

$$39,38 \leq 106,35$$

**OK**

penampang Profil Kompak, maka  $M_n = M_p$

## 4. Kontrol Kuat Lentur Akibat Tekuk Lokal SNI 1729:2015 Pasal 8.2 :

Penampang Kompak :

$$M_p = Z_x \cdot f_y$$

$$= 522 \times 2500$$

$$= 1305000 \text{ kgcm}$$

$$= 13050 \text{ kgm}$$

## 5. Kontrol Kuat Lentur Akibat Tekuk Lateral :

Panjang tak terkekang adalah jarak antar shear conector sesuai tabel perencanaan bondex sehingga  $L_b = 20 \text{ cm}$ .

Jarak penahan lateral ( $L_b$ ) = 20 cm

$$L_p = 1,76 \cdot i_y \sqrt{\frac{E}{f_y}} = 1,76 \times 3,29 \sqrt{800}$$

$$L_p = 163,78 \text{ cm}$$

Kondisi Balok plastis termasuk dalam bentang pendek  $L_b < L_p$  dengan  $M_n$

$$M_n = M_p$$

$$M_n = 13050 \text{ kgm}$$

Kuat lentur balok ditentukan oleh kondisi leleh. Maka demand capacity ratio balok adalah :

$$R = \frac{M_u}{\phi M_n} \leq 1 = \frac{6414,10}{11745} \leq 1 = 0,55 \quad \text{OK}$$

#### 6. Kontrol Kuat Geser (SNI 1729:2015 pasal G2):

$$V_n = 0,60f_y \cdot A_w \cdot C_v$$

$$\frac{h}{t_w} \leq 1,10 \sqrt{\frac{K_v E}{f_y}} \quad C_v = 1 ; K_v = 5$$

$$\frac{256}{6,50} \leq 1,10 \sqrt{4000}$$

$39,38 \leq 69,57$  Kondisi geser plastis

Maka :

$$V_u \leq \phi V_n$$

$$\begin{aligned} \phi V_n &= \phi 0,60f_y \cdot A_w \cdot C_v \\ &= 0,90 \times 0,60 \times 2500 \times 17 \times 1 \\ &= 22464 \text{ kg} \end{aligned}$$

$$V_u = 4276,07 \leq 22464 \quad \text{OK}$$

#### 7. Kontrol Lendutan

$$\begin{aligned} f_{\max} &= \frac{5 \cdot (qD + qL) \cdot L^4}{384 \cdot EI_x} \\ &= \frac{5 \times (874,54 + 234,94 \times 10^{-2}) \times 600^4}{384 \times (2000000 \times 7210)} \\ &= 1,30 \text{ cm} \end{aligned}$$

$$f = \frac{L}{240} = \frac{600}{240} = 2,50 \text{ cm}$$

$$f_{\max} < f \quad \text{OK}$$

Maka profil IWF 300x150x6,5x9 dapat digunakan sebagai balok anak portal 2 – 3 pada pelat atap gedung.

#### 4.3.2.2. Dimensi Balok Anak Lantai 2 - 6

##### a. Portal 1 – 2

Direncanakan menggunakan IWF 250x125x6x9, dengan data sebagai berikut :

$A = 37,66 \text{ cm}^2$	$Z_x = 352 \text{ cm}^3$
$W = 29,60 \text{ kg/m}$	$Z_y = 72 \text{ cm}^3$
$a = 250 \text{ mm}$	$h = 208 \text{ mm}$
$b_f = 125 \text{ mm}$	$r = 12 \text{ mm}$
$t_f = 9 \text{ mm}$	$f_u = 4100 \text{ kg/cm}^2$
$I_x = 4050 \text{ cm}^4$	$f_y = 2500 \text{ kg/cm}^2$
$I_y = 294 \text{ cm}^4$	$S_x = 311 \text{ cm}^3$
$t_w = 6 \text{ mm}$	$S_y = 47 \text{ cm}^3$
$i_x = 10,40 \text{ cm}$	$i_y = 2,79 \text{ cm}$

##### 1. Perencanaan Pembebanan

###### Beban Mati ( D )

Berat pelat bondek	=	10,10 $\text{kg/m}^2$
Berat pelat beton	=	0,125 $\times$ 2400 = 300 $\text{kg/m}^2$
Berat ducting & plumbing	=	25 $\text{kg/m}^2$
Berat plafon + penggantung	=	11 + 7 = 18 $\text{kg/m}^2$
Tegel 2 cm + Spesi 2 cm	=	(2x24) + (2x21) = 90 $\text{kg/m}^2$
	=	$q_D = 443,10 \text{ kg/m}^2$

$$q_{trap} = q_D \times 2,40 = 1063,44 \text{ kg/m}$$

$$q_{ekv} = \frac{1}{3} q_{trap} \times \left\{ 3 - \left( \frac{I_x}{I_y} \right)^2 \right\} = 935,83 \text{ kg/m}$$

$$\text{Berat Profil} = 29,60 \text{ kg/m}$$

$$q_{Dtot} = 965,43 \text{ kg/m}$$

###### Beban Hidup (Tabel 4.3-1 SNI 1727:2020)

$$q_{Ltrap} = 2,40 \times 488,44 = 1172,26 \text{ kg/m}$$

$$q_{Lekv} = \frac{1}{3} q_{trap} \times \left\{ 3 - \left( \frac{I_x}{I_y} \right)^2 \right\} = 1031,59 \text{ kg/m}$$

### Beban terfaktor

$$q_U = 1.20 q_D + 1.60 q_L \quad (\text{menentukan})$$
$$= 1,20 \times 965,43 + 1,60 \times 1031,59 = 2809,06 \text{ kg/m}$$

### 2. Gaya dalam yang bekerja pada balok

- Momen

$$M_U = \frac{1}{8} q_U L^2 = 0,13 \times 2809,06 \times 16 = 5618,12 \text{ Kgm}$$

- Gaya geser

$$V_U = \frac{1}{2} q_U L = 0,50 \times 2809,06 \times 4 = 5618,12 \text{ Kg}$$

### 3. Kontrol Kuat Rencana Momen Lentur

Kontrol Penampang (SNI 1729:2015 tabel B4.1) :

- Untuk Sayap

$$\frac{b}{2tf} \leq 0,38 \sqrt{E/f_y}$$

$$\frac{125}{18} \leq 0,38 \sqrt{200000/250}$$

$$6,94 \leq 10,75$$

**OK**

- Untuk Badan

$$\frac{h}{t_w} \leq 3,76 \sqrt{E/f_y}$$

$$\frac{208}{6} \leq 3,76 \sqrt{200000/250}$$

$$34,67 \leq 106,35$$

**OK**

penampang Profil Kompak, maka  $M_n = M_p$

### 4. Kontrol Kuat Lentur Akibat Tekuk Lokal SNI 1729:2015 Pasal 8.2 :

Penampang Kompak :

$$M_p = Z_x \cdot f_y$$
$$= 352,00 \times 2500$$
$$= 880000 \text{ kgcm}$$
$$= 8800 \text{ kgm}$$

### 5. Kontrol Kuat Lentur Akibat Tekuk Lateral :

Panjang tak terkekang adalah jarak antar shear conector sesuai tabel perencanaan bondex sehingga  $L_b = 20 \text{ cm}$ .

Jarak penahan lateral ( $L_b$ ) = 20 cm

$$L_p = 1.76 \cdot i_y \sqrt{\frac{E}{f_y}} = 1,76 \times 2,79 \sqrt{800}$$

$$L_p = 138,89 \text{ cm}$$

Kondisi Balok plastis termasuk dalam bentang pendek  $L_b < L_p$  dengan  $M_n$  :

$$M_n = M_p$$

$$M_n = 8800 \text{ kgm}$$

Kuat lentur balok ditentukan oleh kondisi leleh. Maka demand capacity ratio balok adalah :

$$R = \frac{M_u}{\phi M_n} \leq 1 = \frac{5618,12}{7920} \leq 1 = 0,71 \text{ OK}$$

#### 6. Kontrol Kuat Geser (SNI 1729:2015 pasal G2) :

$$V_n = 0,60f_y \cdot A_w \cdot C_v$$

$$\frac{h}{t_w} \leq 1,10 \sqrt{\frac{K_v E}{f_y}} \quad C_v = 1 ; K_v = 5$$

$$\frac{208}{6} \leq 1,10 \sqrt{4000}$$

$$34,67 \leq 69,57 \quad \text{Kondisi geser plastis}$$

Maka :

$$V_u \leq \phi V_n$$

$$\phi V_n = \phi 0,60f_y \cdot A_w \cdot C_v$$

$$= 0,90 \times 0,60 \times 2500 \times 12,48 \times 1$$

$$= 16848 \text{ kg}$$

$$V_u = 5618,12 \leq 16848 \quad \text{OK}$$

#### 7. Kontrol Lentutan

$$f_{maks} = \frac{5 \cdot (qD + qL) \cdot L^4}{384 \cdot EI_x}$$

$$= \frac{5 \times (965,43 + 1172,26 \times 10^{-2}) \times 400^4}{384 \times (2000000) \times 4050}$$

$$= 0,88 \text{ cm}$$

$$f = \frac{L}{240} = \frac{400}{240} = 1,67 \text{ cm}$$

$$f_{maks} < f \quad \text{OK}$$

Maka profil IWF 250x175x6x9 dapat digunakan sebagai balok anak portal 1 – 2 pada pelat lantai 2 - 6 gedung.

### b. Portal 2 – 3

Direncanakan menggunakan IWF 350x175x7x11, dengan data sebagai berikut :

$A = 63,14 \text{ cm}^2$	$Z_x = 841 \text{ cm}^3$
$W = 49,60 \text{ kg/m}$	$Z_y = 172 \text{ cm}^3$
$a = 350 \text{ mm}$	$h = 302 \text{ mm}$
$b_f = 175 \text{ mm}$	$r = 13 \text{ mm}$
$t_f = 11 \text{ mm}$	$f_u = 4100 \text{ kg/cm}^2$
$I_x = 13600 \text{ cm}^4$	$f_y = 2500 \text{ kg/cm}^2$
$I_y = 984 \text{ cm}^4$	$S_x = 777 \text{ cm}^3$
$t_w = 7 \text{ mm}$	$S_y = 112 \text{ cm}^3$
$i_x = 14,70 \text{ cm}$	$i_y = 3,95 \text{ cm}$

#### 1. Perencanaan Pembebatan

##### Beban Mati ( D )

Berat pelat bondek	=	10,10 $\text{kg/m}^2$
Berat pelat beton	=	0,125 $\times$ 2400 = 300 $\text{kg/m}^2$
Berat ducting & plumbing	=	25 $\text{kg/m}^2$
Berat plafon + pengganting	=	11 + 7 = 18 $\text{kg/m}^2$
Tegel 2 cm + Spesi 2 cm	=	(2x24) + (2x21) = 90 $\text{kg/m}^2$
		$q_D = 443,10 \text{ kg/m}^2$
		$q_D \times 2,40 = 1063,44 \text{ kg/m}$
Berat Profil	=	49,60 $\text{kg/m}$
		$q_{D\text{tot}} = 1113,04 \text{ kg/m}$

##### Beban Hidup (Tabel 4.3-1 SNI 1727:2020)

$$q_L = 2,40 \times 488,44 = 1172,26 \text{ kg/m}$$

##### Beban terfaktor

$$q_U = 1,20 q_D + 1,60 q_L \quad (\text{menentukan})$$

$$= 1,20 \times 1113,04 + 1,60 \times 1172,26 = 3211,27 \text{ kg/m}$$

2. Gaya dalam yang bekerja pada balok

- Momen

$$M_U = \frac{1}{8} q_U L^2 = 0,125 \times 3211,27 \times 36 = 14450,72 \text{ kgm}$$

- Gaya geser

$$V_U = \frac{1}{2} q_U L = 0,50 \times 3211,27 \times 6 = 9633,81 \text{ Kg}$$

3. Kontrol Kuat Rencana Momen Lentur

Kontrol Penampang (SNI 1729:2015 tabel B4.1) :

- Untuk Sayap

$$\frac{b}{2tf} \leq 0,38 \sqrt{E/f_y}$$

$$\frac{175}{22} \leq 0,38 \sqrt{200000/250}$$

$$7,95 \leq 10,75$$

**OK**

- Untuk Badan

$$\frac{h}{t_w} \leq 3,76 \sqrt{E/f_y}$$

$$\frac{302}{7} \leq 3,76 \sqrt{200000/250}$$

$$43,14 \leq 106,35$$

**OK**

penampang Profil Kompak, maka  $M_n = M_p$

4. Kontrol Kuat Lentur Akibat Tekuk Lokal SNI 1729:2015 Pasal 8.2 :

Penampang Kompak :

$$M_p = Z_x \cdot f_y$$

$$= 841 \times 2500$$

$$= 2102500 \text{ kgcm}$$

$$= 21025 \text{ kgm}$$

5. Kontrol Kuat Lentur Akibat Tekuk Lateral :

Panjang tak terkekang adalah jarak antar shear connector sesuai tabel perencanaan bondex sehingga  $L_b = 20 \text{ cm}$ .

Jarak penahan lateral ( $L_b$ ) = 20 cm

$$L_p = 1,76 \cdot i_y \sqrt{\frac{E}{f_y}} = 1,76 \times 3,95 \sqrt{800}$$

$$L_p = 196,63 \text{ cm}$$

Kondisi Balok plastis termasuk dalam bentang pendek  $L_b < L_p$  dengan  $M_n$  :

$$M_n = M_p$$

$$M_n = 21025 \text{ kgm}$$

Kuat lentur balok ditentukan oleh kondisi leleh. Maka demand capacity ratio balok adalah :

$$R = \frac{M_u}{\phi M_n} \leq 1 = \frac{14450,72}{18923} \leq 1 = 0,76 \quad \text{OK}$$

#### 6. Kontrol Kuat Geser (SNI 1729:2015 pasal G2):

$$V_n = 0,60f_y \cdot A_w \cdot \overline{C_v}$$

$$\frac{h}{t_w} \leq 1,10 \sqrt{\frac{K_v E}{f_y}} \quad C_v = 1 ; K_v = 5$$

$$\frac{302}{7} \leq 1,10 \sqrt{4000}$$

$$43,14 \leq 69,57 \quad \text{Kondisi geser plastis}$$

Maka :

$$V_u \leq \phi V_n$$

$$\begin{aligned} \phi V_n &= \phi 0,60f_y \cdot A_w \cdot C_v \\ &= 0,90 \times 0,60 \times 2500 \times 21 \times 1 \\ &= 28539 \text{ kg} \end{aligned}$$

$$V_u = 9633,81 \leq 28539 \quad \text{OK}$$

#### 7. Kontrol Lendutan

$$\begin{aligned} f_{\max} &= \frac{5 \cdot (qD + qL) \cdot L^4}{384 \cdot EI_x} \\ &= \frac{5 \times (1113,04 + 1172,26 \times 10^{-2}) \times 600^4}{384 \times (2000000) \times 13600} \\ &= 1,42 \text{ cm} \end{aligned}$$

$$f = \frac{L}{240} = \frac{600}{240} = 2,50 \text{ cm}$$

$$f_{\max} < f \quad \text{OK}$$

Maka profil IWF 350x175x7x11 dapat digunakan sebagai balok

anak portal 2 – 3 pada pelat lantai 2 - 6 gedung.

### 4.3.3. Perencanaan Tangga

Gedung Fakultas Kedokteran Universitas Bosowa direncanakan menggunakan tangga baja dengan data sebagai berikut:

Tinggi antar lantai	= 370 cm
Panjang bordes	= 300 cm
Lebar tangga	= 140 cm
Tinggi bordes	= 185 cm
Lebar injakan (i)	= 30 cm
Tinggi tanjakan (t)	= 16 cm
Panjang tangga	= 600 cm
Lebar pegangan tangga	= 20 cm

#### 4.3.3.1. Perencanaan Jumlah Injakan Tangga

Persyaratan-persyaratan jumlah injakan tang

$$60 \text{ cm} < (2t + l) < 65 \text{ cm}$$

$$25^\circ < a < 40^\circ$$

Dimana : t = Tinggi injakan (cm)

l = Lebar injakan (cm)

a = Kemiringan tangga

Perhitungan jumlah injakan tangga

$$n = \frac{185}{16} = 11,56 \text{ buah}$$

Jumlah injakan = 12 buah

$$60 \text{ cm} < (2t + l) < 65 \text{ cm}$$

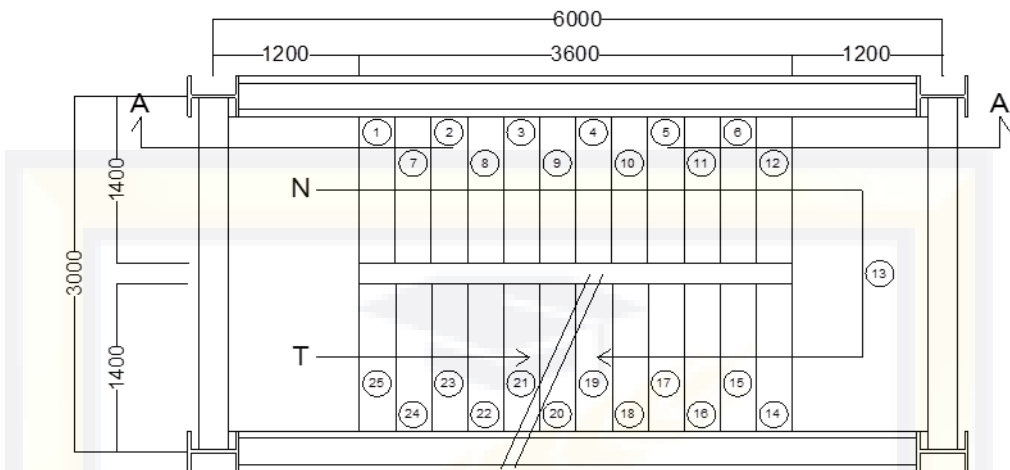
$$60 \text{ cm} < 62 < 65 \text{ cm} \quad \text{OK}$$

$$\text{Lebar bordes} = \frac{600 - 360}{2} = 120 \text{ cm}$$

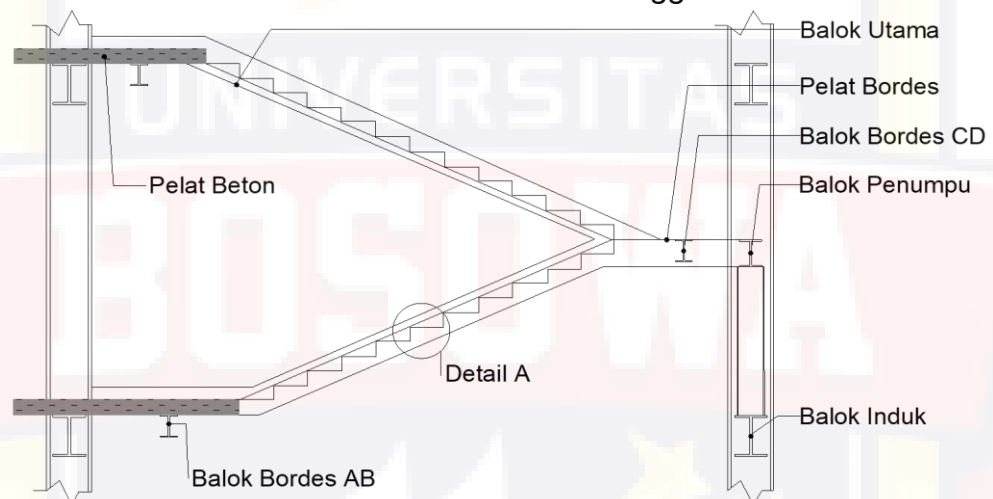
$$\text{Lebar tangga} = \frac{300 - 20}{2} = 140 \text{ cm}$$

$$a = 27^\circ = 0,47 \text{ rad}$$

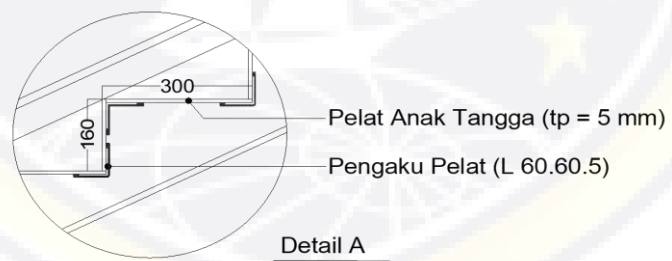
$$25^\circ < 27 < 40^\circ \quad \text{OK}$$



Gambar 4. 9: Denah Tangga

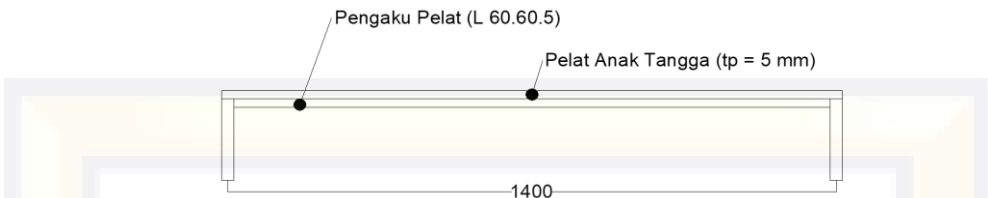


Gambar 4. 10: Potongan A-A Tangga



Gambar 4. 11: Tinggi dan Lebar Injakan Tangg

### 4.3.3.2. Perencanaan Tebal Pelat Anak Tangga



Gambar 4. 12: Pelat Anak Tangga

$$\text{Tebal pelat tangga} = 5 \text{ mm}$$

$$\text{Berat jenis baja} = 7850 \text{ kg/m}^3$$

$$\text{Mutu baja BJ 41, } f_y = 2500 \text{ kg/m}^2$$

#### 1. Perencanaan Pembebanan

##### Beban Mati

$$\text{Berat pelat} 0,005 \times 1,40 \times 7850 = 54,95 \text{ kg/m}$$

$$\text{Alat penyambung (10 %)} = 5,50 \text{ kg/m}$$

$$q_D = 60,45 \text{ kg/m}$$

##### Beban Hidup

$$q_L = 488,44 \times 1,40 = 683,82 \text{ kg/m}$$

#### 2. Perhitungan $M_D$ dan $M_L$

$$\begin{aligned} M_D &= \frac{1}{8} q_D L^2 \\ &= 0,13 \times 60,45 \times 0,09 = 0,68 \text{ kgm} \end{aligned}$$

$$\begin{aligned} M_L &= \frac{1}{8} q_L L^2 \\ &= 0,13 \times 683,82 \times 0,09 = 7,69 \text{ kgm} \quad \text{Tidak Menentukan} \end{aligned}$$

$$\begin{aligned} M_L &= \frac{1}{4} P_L \\ &= 0,25 \times 135,62 \times 0,30 = 10,17 \text{ kgm} \quad \text{Menentukan} \end{aligned}$$

#### 3. Perhitungan Kombinasi Pembebanan $M_u$

$$\begin{aligned} M_u &= 1,40 M_D \\ &= 1,40 \times 0,68 = 0,95 \text{ kgm} \quad \text{Tidak Menentukan} \end{aligned}$$

$$M_u = 1,20 M_D + 1,60 M_L$$

$$= 1,20 \times 0,68 + 1,60 \times 10,17 = 17,09 \text{ kgm} \quad \text{Menentukan}$$

#### 4. Kontrol Momen Lentur

$$Z_x = \frac{1}{4}bh^2 = 0,25 \times 140 \times 0,25 = 8,75 \text{ cm}^3$$

$$\phi M_n = \phi Z_x \cdot f_y = 0,90 \times 8,75 \times 2500 = 19687,50 \text{ kg.cm}$$

$$\phi M_n = 196,88 \text{ kg.m}$$

$$\text{Syarat: } \phi M_n > M_u$$

$$196,88 \text{ kgm} > 17,09 \text{ kgm} \quad \text{OK}$$

#### 5. Kontrol Lendutan

$$f = \frac{L}{360} = \frac{30}{360} = 0,08 \text{ cm}$$

$$I_x = \frac{1}{12}bh^3$$

$$= 0,08 \times 140 \times 0,13 = 1,46 \text{ cm}^4$$

$$I_x = 1,46 \text{ cm}^4$$

$$f_{\max} = \frac{5 \cdot (qD + qL) \cdot L^4}{384 \cdot EI_x}$$

$$= \frac{5 \times (0,60 + 6,84) \times 810000}{384 \times 2000000 \times 1,46}$$

$$= 0,03 < 0,08 \quad \text{OK}$$

Digunakan Pelat Tangga dengan Tebal = 5 mm

#### 4.3.3.3. Perencanaan Pengaku Pelat Anak Tangga

Direncakan menggunakan profil siku 60x60x5, dengan data sebagai

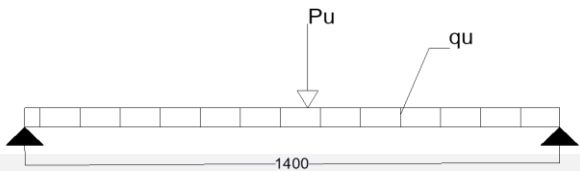
berikut :

$$b = d = 60 \text{ mm} \quad I_y = 31,20 \text{ cm}^4$$

$$t_w = t_f = 5 \text{ mm} \quad A = 5,80 \text{ cm}^2$$

$$W = 4,55 \text{ kg/m} \quad i_y = 2,32 \text{ cm}$$

$$I_x = 31,20 \text{ cm}^4 \quad i_x = 2,32 \text{ cm}$$



Gambar 4. 13: Pembebanan Pengaku Anak Tangga

### 1. Perencanaan Pembebanan

#### Beban Mati (1/2 lebar injakan)

$$\text{Berat pelat} = 0,15 \times 0,005 \times 7850 = 5,89 \text{ kg/m}$$

$$\begin{aligned} \text{Berat baja siku} &= 60 \times 60 \times 5 = 1800 \text{ kg/m} \\ &\quad 10,44 \text{ kg/m} \end{aligned}$$

$$\begin{aligned} \text{Alat penyambung (10\%)} &= 1,04 \text{ kg/m} \\ q_D &= 11,48 \text{ kg/m} \end{aligned}$$

#### Beban Hidup (1/2 lebar injakan)

Berdasarkan pasal 4.5.4 SNI2 1727-2020, Tangga tetap dengan anak tangga harus dirancang untuk menahan beban terpusat tunggal sebesar 300 lb (1,33 kN) yang diterapkan pada suatu titik untuk menghasilkan efek beban maksimum pada elemen yang sedang diperhitungkan. (4.5.4 SNI2 1727-2020) :

$$q_L = 488,44 \times 0,15 = 73,27 \text{ kg/m}$$

$$P_L = 135,62 \text{ kg} .$$

### 2. Perhitungan $M_D$ dan $M_L$

$$\begin{aligned} M_D &= \frac{1}{8} q_D l^2 \\ &= 0,13 \times 11,48 \times 1,40 = 2,81 \text{ kgm} \end{aligned}$$

$$M_L = \frac{1}{8} q_L l^2 \quad \text{akibat beban merata}$$

$$= 0,13 \times 73,27 \times 1,40 = 17,95 \text{ kgm}$$

$$M_L = \frac{1}{8} q_L l^2 \quad \text{akibat beban merata}$$

$$= 0,13 \times 73,27 \times 1,40 = 17,95 \text{ kgm}$$

$$M_L = \frac{1}{4} P_L \quad \text{akibat beban terpusat}$$

$$= 0,25 \times 135,62 \times 1,40 = 47,47 \text{ kgm} \quad \text{Menentukan}$$

$$V_u = 1.20 (1/2 \times q_D \times L) + 1.60 (1/2 \times P \times 2)$$

$$= 1,20 \times (0,50 \times 11,48 \times 1,20) + 1,60 \times (0,50 \times 135,62 \times 2)$$

$$= 8,27 + 217$$

$$= 225,26 \text{ kg}$$

### 3. Perhitungan Kombinasi Pembebatan $M_u$

$$M_u = 1,40 M_D$$

$$= 1,40 \times 2,81 = 3,94 \text{ kgm} \quad \text{Tidak menentukan}$$

$$M_u = 1.20 M_D + 1.60 M_L$$

$$= 1,20 \times 2,81 + 1,60 \times 47,47 = 79,32 \text{ kgm} \quad \text{Menentukan}$$

### 4. Kontrol Kuat Rencana Momen Lentur

Kontrol Penampang (SNI 1729:2015 tabel B4.1) :

- Untuk Sayap

$$\frac{b}{2tf} \leq 0,54 \sqrt{E/f_y}$$

$$\frac{60}{10} \leq 0,54 \times \sqrt{200000/250}$$

$$6 \leq 15,27 \quad \text{OK}$$

penampang Profil Kompak, maka  $M_n = M_p$

### 5. Kontrol Kuat Lentur Akibat Tekuk Lokal SNI 1729:2015 Pasal 8.2 :

Penampang Kompak :

$$M_p = Z_x \cdot f_y$$

$$\emptyset M_n = \emptyset Z_x \cdot f_y$$

$$= 0,90 \times 4,52 \times 2500$$

$$= 10170 \text{ kg.cm}$$

$$= 101,70 \text{ kgm}$$

Syarat :  $\emptyset M_n > M_u$

$$\emptyset M_n = 101,70 > M_u = 79,32 \quad \text{OK}$$

## 6. Kontrol Kuat Geser (SNI 1729:2015 pasal G2):

$$V_n = 0,60f_y \cdot A_w \cdot C_v$$

$$\frac{h}{t_w} \leq 1,10 \sqrt{\frac{K_v E}{f_y}} \quad C_v=1; K_v=5$$

$$\frac{55}{5} \leq 1,10 \sqrt{4000}$$

11 ≤ 69,57 Kondisi geser plastis

Maka  $C_v = 1$ , Sehingga :

$$V_u \leq \phi V_n$$

$$\begin{aligned}\phi V_n &= \phi 0,60f_y \cdot A_w \cdot C_v \\ &= 0,90 \times 0,60 \times 2500 \times 6 \times 0,50 \times 1 \\ &= 4050 \text{ kg}\end{aligned}$$

$$V_u = 225,26 \leq 4050 \quad \text{OK}$$

## 7. Kontrol Lendutan

$$\begin{aligned}f_{maks} &= \frac{5 \cdot (qD) \cdot L^4}{384 \cdot EI_x} + \frac{PL^3}{24 \cdot EI_x} \\ &= \frac{5 \times (11,48 \times 10^{-2}) \times 140^4}{384 \times (2000000) \times 31,20} + \frac{135,62 \times 140^3}{24 \times (2000000) \times 31,20} \\ &= 0,01 + 0,25 \\ &= 0,26 \text{ cm} \\ f &= \frac{L}{240} = \frac{140}{240} = 0,58 \text{ cm} \\ f_{maks} &< f \quad \text{OK}\end{aligned}$$

Profil siku 60x60x5 dapat digunakan sebagai pengaku pelat anak

tangga

### 4.3.3.4. Perencanaan Pelat Bordes

Tebal Pelat Bordes = 10 mm

Berat Jenis Baja = 7850 kg/m<sup>3</sup>

Mutu baja BJ 41,  $f_y = 2500 \text{ kg/m}^2$

## 1. Perencanaan Pembebatan Pelat Bordes

### Beban Mati

$$\text{Berat pelat} = 0,01 \times 1,40 \times 7850 = 109,90 \text{ kg/m}$$

$$\text{Alat penyambung (10 \%)} = \underline{10,99} \text{ kg/m}$$
$$q_D = 120,89 \text{ kg/m}$$

### Beban Hidup

$$q_L = 488,44 \times 1,40 = 683,82 \text{ kg/m}$$

## 2. Perhitungan $M_D$ dan $M_L$

$$M_D = \frac{1}{8} q_D L^2$$
$$= 0,13 \times 120,89 \times 1,40 = 29,62 \text{ kgm}$$

$$M_L = \frac{1}{8} q_L L^2$$
$$= 0,13 \times 683,82 \times 1,40 = 167,54 \text{ kgm}$$

## 3. Perhitungan Kombinasi Pembebatan $M_u$

$$M_u = 1,40 M_D$$
$$= 1,40 \times 29,62 = 41,47 \text{ kgm} \quad \text{Tidak Menentukan}$$
$$M_u = 1,20 M_D + 1,60 M_L$$
$$= 1,20 \times 29,62 + 1,60 \times 167,54$$
$$= 303,60 \text{ kgm} \quad \text{Menentukan}$$

## 4. Kontrol Momen Lentur

$$Z_x = \frac{1}{4} b h^2 = 0,25 \times 140 \times 1 = 35 \text{ cm}^3$$

$$\varnothing M_n = \varnothing Z_x \cdot f_y$$
$$= 0,90 \times 35 \times 2500 = 78750 \text{ kg.cm}$$
$$= 787,50 \text{ kg.m}$$

Syarat :  $\varnothing M_n > M_u$

787,50 kgm > 303,60 kgm **OK**

## 5. Kontrol Lendutan

$$f = \frac{L}{240} = \frac{70}{240} = 0,29$$

$$I_x = \frac{1}{12} b h^3 = 0,08 \times 70 \times 1 = 5,83 \text{ cm}^4$$

$$f_{\max} = \frac{5 \cdot (qD + qL) \cdot L^4}{384 \cdot EI_x}$$

$$= \frac{5 \times (1,21 \times 6,84) \times 70^4}{384 \times 2000000 \times 5,83}$$

$$= 0,01 < 0,29 \quad \text{OK}$$

Digunakan Pelat Bordes dengan Tebal = 10 mm

#### 4.3.3.5. Perencanaan Balok Bordes

##### a. Balok Bordes AB

Direncanakan menggunakan profil IWF 100x50x4,5x6,8 dengan

data sebagai berikut :

$A = 10,60 \text{ cm}^2$	$Z_x = 40,10 \text{ cm}^3$
$W = 8,32 \text{ kg/m}$	$Z_y = 8,94 \text{ cm}^3$
$a = 100 \text{ mm}$	$h = 77,40 \text{ mm}$
$b_f = 50 \text{ mm}$	$r = 4,50 \text{ mm}$
$t_f = 6,80 \text{ mm}$	$f_u = 3700 \text{ kg/cm}^2$
$I_x = 171 \text{ cm}^4$	$f_y = 2500 \text{ kg/cm}^2$
$I_y = 12 \text{ cm}^4$	$S_x = 34 \text{ cm}^3$
$t_w = 4,50 \text{ mm}$	$S_y = 5 \text{ cm}^3$
$i_x = 4,02 \text{ cm}$	$i_y = 1,07 \text{ cm}$

##### 1. Perencanaan Pembebatan

###### Beban Mati ( D )

- Berat pelat bondek =  $10,10 \times 0,60 = 6,06 \text{ kg/m}$
  - Berat pelat beton =  $2400 \times 0,125 \times 0,60 = 180 \text{ kg/m}$
  - Berat profil = 8,32 kg/m  
= 194,38 kg/m
  - Berat sambungan dan lain-lain 10% = 19,44 kg/m
- $q_D = 213,82 \text{ kg/m}$

Beban Hidup (Tabel 4.3-1 SNI 1727-2020)

$$q_L = 0,60 \times 488,44 = 293,07 \text{ kg/m}$$

Beban terfaktor

$$q_u = 1.20 q_D + 1.60 q_L \quad (\text{menentukan})$$

$$= (1,20 \times 213,82) + (1,60 \times 293,07) = 725,49 \text{ kg/m}$$

## 2. Gaya Dalam Yang Bekerja Pada Balok

- Momen

$$M_u = \frac{1}{8} q_u L^2 = 0,13 \times 725,49 \times 1,96 = 177,74 \text{ kgm}$$

- Gaya geser

$$V_u = \frac{1}{2} qL = 0,50 \times 725,49 \times 1,40 = 507,84 \text{ kg}$$

## 3. Kontrol Kuat Rencana Momen Lentur

Kontrol Penampang (SNI 1729:2015 tabel B4.1) :

- Untuk Sayap

$$\frac{b}{2tf} \leq 0,38 \sqrt{E/f_y}$$

$$\frac{50}{13,60} \leq 0,38 \sqrt{200000/250}$$

$$3,68 \leq 10,75 \quad \text{OK}$$

penampang Profil Kompak, maka  $M_n = M_p$

- Untuk Badan

$$\frac{h}{t_w} \leq 3,76 \sqrt{E/f_y}$$

$$\frac{77,40}{4,50} \leq 3,76 \sqrt{200000/2}$$

$$17,20 \leq 106,35 \quad \text{OK}$$

## 4. Kontrol Kuat Lentur Akibat Tekuk Lokal SNI 1729:2015 Pasal 8

Penampang Kompak :

$$M_n = M_p$$

$$M_p = Z_x \cdot f_y$$

$$= 40,10 \times 2500$$

$$= 100250 \text{ kgcm}$$

$$= 1002,50 \text{ kgm}$$

Cek Kemampuan Penampang

Syarat :  $\emptyset M_n > M_u$

$$\emptyset M_n = 0,90 \times 1002,50$$

$$= 902,25 > 177,74 \quad \text{OK}$$

### 5. Kontrol Kuat Geser (SNI 1729:2015 pasal G2):

$$V_n = 0,60f_y \cdot A_w \cdot C_v$$

$$\frac{h}{t_w} \leq 1,10 \sqrt{\frac{K_v E}{f_y}} \quad C_v=1 ; K_v=5$$

$$\frac{77,40}{4,50} \leq 1,10 \sqrt{4000}$$

$$17,20 \leq 69,57 \quad \text{Kondisi geser plastis}$$

Maka :

$$V_u \leq \phi V_n$$

$$\begin{aligned} \phi V_n &= \phi 0,60f_y \cdot A_w \cdot C_v \\ &= 0,90 \times 0,60 \times 2500 \times 3,48 \times 1 \\ &= 4702,05 \text{ kg} \end{aligned}$$

$$V_u = 507,84 \leq 4702,05 \quad \text{OK}$$

### 6. Kontrol Lendutan

$$\begin{aligned} f_{\max} &= \frac{5 \cdot (qD + qL) \cdot L^4}{384 \cdot EI_x} \\ &= \frac{5 \times (213,82 \times 293,07 \times 10^3 \times 140^4)}{384 \times 2000000 \times 171} \\ &= 0,07 \text{ cm} \\ f &= \frac{L}{360} = \frac{140}{360} = 0,39 \text{ cm} \\ f_{\max} &< f \quad \text{OK} \end{aligned}$$

Profil IWF 100x50x4,5x6,8 dapat digunakan sebagai balok bordes AB pada tangga gedung

#### b. Balok Bordes CD

Direncanakan menggunakan profil IWF 100x50x4,5x6,8 dengan data sebagai berikut :

$A = 10,60 \text{ cm}^2$	$Z_x = 40,10 \text{ cm}^3$
$W = 8,32 \text{ kg/m}$	$Z_y = 8,94 \text{ cm}^3$
$a = 100 \text{ mm}$	$h = 77,40 \text{ mm}$
$b_f = 50 \text{ mm}$	$r = 4,50 \text{ mm}$
$t_f = 6,80 \text{ mm}$	$f_u = 3700 \text{ kg/cm}^2$
$I_x = 171 \text{ cm}^4$	$f_y = 2500 \text{ kg/cm}^2$
$I_y = 12 \text{ cm}^4$	$S_x = 34 \text{ cm}^3$
$t_w = 4,50 \text{ mm}$	$S_y = 5 \text{ cm}^3$
$i_x = 4 \text{ cm}$	$i_y = 1,07 \text{ cm}$

### 1. Perencanaan Pembebatan

Beban Mati (D)

$$\text{Berat pelat} = 0,01 \times 0,60 \times 7850 = 47,10 \text{ kg/m}$$

$$\text{Berat profil} = \underline{8,32} \text{ kg/m}$$

$$= 55,42 \text{ kg/m}$$

$$\text{Berat sambungan & lain-lain } 10\% = \underline{5,54} \text{ kg/m}$$

$$q_D = 60,96 \text{ kg/m}$$

Beban Hidup (Tabel 4.3-1 SNI 1727-2020)

$$q_L = 0,60 \times 488,44 = 293,07 \text{ kg/m}$$

Beban terfaktor

$$q_U = 1.20 q_D + 1.60 q_L$$

$$= (1,20 \times 60,96) + (1,60 \times 293,07) = 542,06 \text{ kg/m}$$

### 2. Gaya Dalam Yang Bekerja Pada Balok

- Momen

$$M_U = \frac{1}{8} q_U L^2 = 0,13 \times 542,06 \times 1,96 = 132,80 \text{ kgm}$$

- Gaya geser

$$V_U = \frac{1}{2} q_U L = 0,50 \times 542,06 \times 1,40 = 379,44 \text{ kg}$$

### 3. Kontrol Kuat Rencana Momen Lentur

Kontrol Penampang (SNI 1729:2015 tabel B4.1) :

- Untuk Sayap

$$\frac{b}{2tf} \leq 0,38 \sqrt{E/f_y}$$

$$\frac{50}{13,60} \leq 0,38 \sqrt{200000/250}$$

$$3,68 \leq 10,75 \quad \text{OK}$$

- Untuk Badan

$$\frac{h}{t_w} \leq 3,76 \sqrt{E/f_y}$$

$$\frac{77,40}{4,50} \leq 3,76 \sqrt{200000/250}$$

$$17,20 \leq 106,35 \quad \text{OK}$$

penampang Profil Kompak, maka  $M_n = M_p$

### 4. Kontrol Kuat Lentur Akibat Tekuk Lokal SNI 1729:2015 Pasal 8.2 :

Penampang Kompak :

$$M_n = M_p$$

$$M_p = Z_x \cdot f_y$$

$$= 40,10 \times 2500$$

$$= 100250 \quad \text{kgcm}$$

$$= 1002,50 \quad \text{kgm}$$

Cek Kemampuan Penampang

Syarat :  $\emptyset M_n > M_u$

$$\emptyset M_n = 0,90 \times 1002,50$$

$$= 902,25 > 132,80 \quad \text{OK}$$

### 5. Kontrol Kuat Geser (SNI 1729:2015 pasal G2):

$$V_n = 0,60f_y \cdot A_w \cdot C_v$$

$$\frac{h}{t_w} \leq 1,10 \sqrt{\frac{K_v E}{f_y}} \quad C_v = 1 ; K_v = 5$$

$$\frac{77,40}{4,50} \leq 1,10 \sqrt{4000}$$

$$17,20 \leq 69,57 \quad \text{Kondisi geser plastis}$$

Maka :

$$V_u \leq \emptyset V_n$$

$$\emptyset V_n = \emptyset 0,60f_y \cdot A_w \cdot C_v$$

$$= 0,90 \times 0,60 \times 2500 \times 3,48 \times 1$$

$$= 4702,05 \quad \text{kg}$$

$$V_u = 379,44 \leq 4702,05 \quad \text{OK}$$

## 6. Kontrol Lendutan

$$f_{\text{maks}} = \frac{5 \cdot (qD + qL) \cdot L^4}{384 \cdot EI_x}$$
$$= \frac{5 \times (60,962 + 293,07 \times 10^{-2}) \times 140^4}{384 \times (2000000 \times 171)}$$
$$= 0,05 \text{ cm}$$
$$f = \frac{L}{360} = \frac{140}{360} = 0,39 \text{ cm}$$
$$f_{\text{maks}} < f \text{ OK}$$

Profil IWF 100x50x4,5x6,8 dapat digunakan sebagai balok bordes CD pada tangga gedung

### 4.3.3.6. Perhitungan Balok Utama Tangga

Direncanakan Menggunakan profil IWF 250x125x6x9 dengan data sebagai berikut :

A = 37,66 cm <sup>2</sup>	Z <sub>x</sub> = 352 cm <sup>3</sup>
W = 29,56 kg/m	Z <sub>y</sub> = 72 cm <sup>3</sup>
a = 250 mm	h = 208 mm
b <sub>f</sub> = 125 mm	r = 12 mm
t <sub>f</sub> = 9 mm	f <sub>u</sub> = 4100 kg/cm <sup>2</sup>
I <sub>x</sub> = 4050 cm <sup>4</sup>	f <sub>y</sub> = 2500 kg/cm <sup>2</sup>
I <sub>y</sub> = 294 cm <sup>4</sup>	S <sub>x</sub> = 311 cm <sup>3</sup>
t <sub>w</sub> = 6 mm	S <sub>y</sub> = 47 cm <sup>3</sup>
i <sub>x</sub> = 10,40 cm	i <sub>y</sub> = 2,79 cm

#### 1. Perencanaan Pembebatan

##### - Pembebatan Balok AB

###### Beban Mati Anak Tangga (D)

$$\text{Berat pelat bondek} = 10,10 \times 1,40 = 14,14 \text{ kg/m}$$

$$\text{Berat pelat beton} = 2400 \times 1,40 \times 0,125 = 420 \text{ kg/m}$$

$$\begin{aligned}
 \text{Berat profil IWF } 250 \times 125 &= 29,56 \text{ kg/m} \\
 &= 463,70 \text{ kg/m} \\
 \text{Berat alat penyambung } 10\% &= 46,37 \text{ kg/m} \\
 q_D &= 510,07 \text{ kg/m}
 \end{aligned}$$

Beban Hidup (Tabel 4.3-1 SNI 1727-2020)

$$\begin{aligned}
 q_L &= 488,44 \times (1,40/2) = 341,91 \text{ kg/m} \\
 q_{1 \text{ tot}} &= 1.20 q_D + 1.60 q_L \\
 &= (1,20 \times 510,07) + (1,60 \times 341,91) = 1159,14 \text{ kg/m}
 \end{aligned}$$

Beban terpusat akibat balok bordes

$$\begin{aligned}
 P_1 &= \frac{1}{2} q_{\text{balAB}} \times L \\
 &= 0,50 \times 8,32 \times 3 \\
 &= 12,48 \text{ kg/m}
 \end{aligned}$$

#### b. Pembebaran Balok BC

Beban Mati Anak Tangga (D)

$$\begin{aligned}
 \text{Berat pelat} &= 0,005 \times (1,40/2) \times 7850 = 27,48 \text{ kg/m} \\
 \text{Berat profil siku } 60 \times 60 &= 4,55 \times (1,40/3,60) = 1,77 \text{ kg/m} \\
 \text{Berat profil WF } 250 \times 125 &= 29,56 \text{ kg/m} \\
 &= 58,80 \text{ kg/m} \\
 \text{Berat sambungan } 10\% &= 5,88 \text{ kg/m} \\
 q_D &= 64,68 \text{ kg/m}
 \end{aligned}$$

Beban Hidup (Tabel 4.3-1 SNI 1727-2020)

$$\begin{aligned}
 q_L &= 488,44 \times (1,40/2) = 341,91 \text{ kg/m} \\
 q_{2 \text{ tot}} &= 1.20 q_D + 1.60 q_L \\
 &= 1,20 \times 64,68 + 1,60 \times 341,91 = 624,68 \text{ kg/m}
 \end{aligned}$$

#### c. Pembebaran Balok CD

Beban Mati Anak Tangga (D)

$$\text{Berat pelat} = 0,01 \times (1,40/2) \times 7850 = 54,95 \text{ kg/m}$$

Berat profil IWF 250 x 125	= <u>29,56</u> kg/m
	= <u>84,51</u> kg/m
Berat sambungan 10%	= <u>8,45</u> kg/m
	$q_D = 92,96$ kg/m

Beban Hidup (Tabel 4.3-1 SNI 1727-2020)

$$q_L = 488,44 \times (1,40/2) = 341,91 \text{ kg/m}$$

$$q_{3\text{ tot}} = 1.20 q_D + 1.60 q_L$$

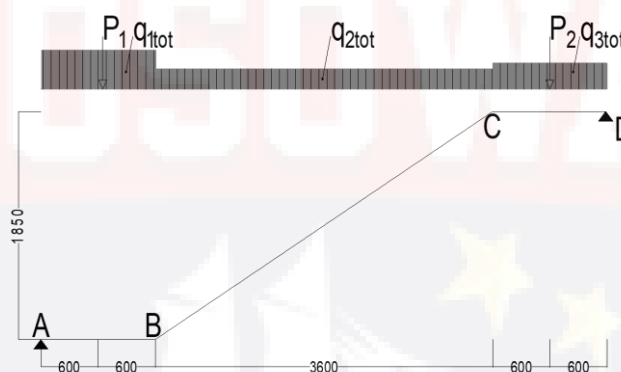
$$= (1,20 \times 92,96) + (1,60 \times 341,91) = 658,61 \text{ kg/m}$$

Beban terpusat akibat balok bordes

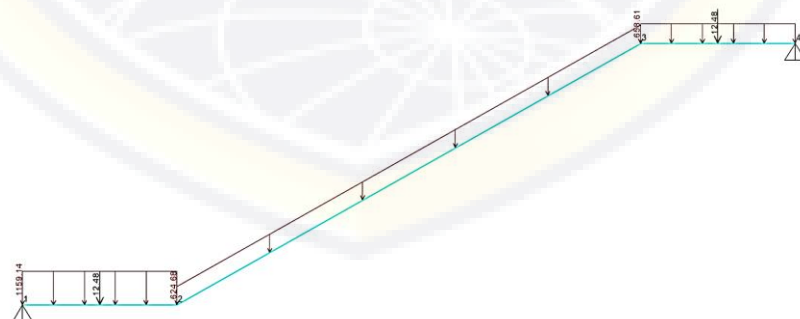
$$P_2 = \frac{1}{2} q_{balCD} \times L$$

$$= 0,50 \times 8,32 \times 3$$

$$= 12,48 \text{ kg/m}$$



Gambar 4. 14: Pembebatan Balok Utama Tangga



Gambar 4. 15: Pembebatan Balok Utama Tangga (SAP2000)

## 2. Gaya Dalam Yang Bekerja Pada Balok

Dari hasil analisis menggunakan bantuan program ETABS didapatkan data :

### Reaksi Perletakan



Gambar 4. 16: Reaksi Perletakan

$$\Sigma MA = 0$$

$$RDV = 2207,87 \text{ kg}$$

$$\Sigma H = 0$$

$$RAH = 247,05 \text{ kg}$$

$$\Sigma MD = 0$$

$$RDH = 247,05 \text{ kg}$$

$$RAV = 2533,97 \text{ kg}$$

Kontrol

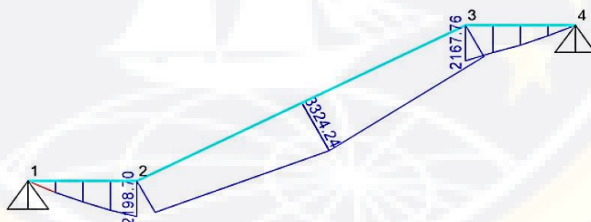
$$\Sigma V = 0$$

$$= RD + RA - (q_{1tot} \times 1,20) - P_1 - (q_{2tot} \times 4,06) - (q_{3tot} \times 1,20) - P_2$$

$$= 2207,87 + 2533,97 - (1390,97 - 12,48 - 2535,57 - 790,33 - 12,48)$$

$$= 0 \quad \text{OK}$$

### Bidang Momen (M)



Gambar 4. 17: Bidang Momen (M3)

$$MA = 0 \text{ kg.m}$$

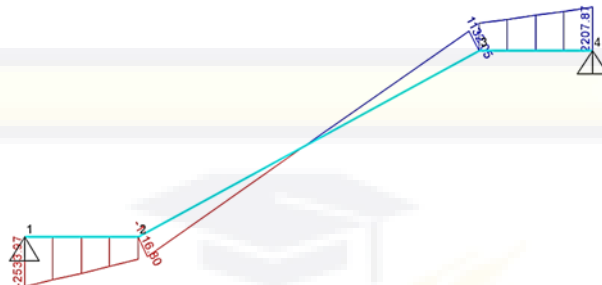
$$MB = 2198,70 \text{ kg.m}$$

$$MC = 2167,76 \text{ kg.m}$$

$$MD = 0 \text{ kg.m}$$

$$M_{max} = 3324,24 \text{ kg.m}$$

### Bidang Lintang (D)



Gambar 4. 18: Bidang Lintang (V2)

$$DA = -2533,97 \text{ kg}$$

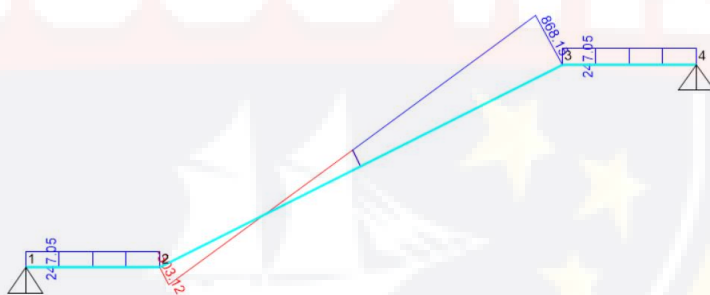
$$DB = -1130,53 \text{ kg}$$

$$DC = 1132,05 \text{ kg}$$

$$DD = 2207,87 \text{ kg}$$

$$D_{\max} = V_u = 2533,97 \text{ kg}$$

### Bidang Nomal (N)



Gambar 4. 19: Bidang Normal (Axial P)

$$NA = 247,05 \text{ kg}$$

$$NB_{\text{kiri}} = 247,05 \text{ kg}$$

$$NB_{\text{kanan}} = -303,12 \text{ kg}$$

$$NC_{\text{kiri}} = 868,15 \text{ kg}$$

$$NC_{\text{kanan}} = 247,05 \text{ kg}$$

$$ND = 247,05 \text{ kg}$$

### 3. Kontrol Kuat Rencana Momen Lentur

Kontrol Penampang (SNI 1729:2015 tabel B4.1) :

- Untuk Sayap

$$\frac{b}{2tf} \leq 0.38 \sqrt{E/f_y}$$

$$\frac{125}{18} \leq 0.38 \sqrt{200000/250}$$

$$6,94 \leq 10,75 \quad \text{OK}$$

penampang Profil Kompak, maka  $M_n = M_p$

- Untuk Badan

$$\frac{h}{t_w} \leq 3.76 \sqrt{E/f_y}$$

$$\frac{208}{6} \leq 3.76 \sqrt{200000/250}$$

$$34,67 \leq 106,35 \quad \text{OK}$$

### 4. Kontrol Kuat Lentur Akibat Tekuk Lokal SNI 1729:2015 Pasal 8.2 :

Penampang Kompak :

$$M_p = Z_x \cdot f_y$$

$$= 352 \times 2500$$

$$= 880000 \quad \text{kgcm}$$

$$= 8800 \quad \text{kgm}$$

Cek Kemampuan Penampang

$$\phi M_n > M_u = M_{max}$$

$$\phi M_n = 0,90 \times 8800$$

$$= 7920 > 3324,24 \quad \text{kgm} \quad \text{OK}$$

### 5. Kontrol Kuat Lentur Akibat Tekuk Lateral :

Panjang tak terkekang adalah jarak antar pengaku pelat anak tangga yang dianggap sebagai shear connector

Jarak penahan lateral ( $L_b$ ) = 34 cm

$$\begin{aligned} L_b &= \sqrt{x^2 + y^2} \\ &= \sqrt{30^2 + 16^2} \\ &= 34 \quad \text{cm} \quad (\text{Pengaku anak tangga}) \end{aligned}$$

$$L_p = 1.76 \cdot i_y \sqrt{\frac{E}{f_y}} = 1,76 \times 2,79 \sqrt{800}$$

$$L_p = 139 \quad \text{cm}$$

Kondisi balok plastis termasuk dalam bentang pendek  $L_b < L_p$  dengan  $M_n$

$$M_n = M_p$$

$$M_n = 8800 \text{ kgm}$$

Kuat lentur balok ditentukan oleh kondisi leleh. Maka demand capacity ratio balok adalah :

$$R = \frac{M_u}{\phi M_n} \leq 1 = \frac{3324,24}{7920} \leq 1 = 0,42 \text{ OK}$$

#### 6. Kontrol Kuat Geser (SNI 1729:2015 pasal G2):

$$V_n = 0,60f_y \cdot A_w \cdot C_v$$

$$\frac{h}{t_w} \leq 1,10 \sqrt{\frac{K_v E}{f_y}} \quad C_v = 1 ; K_v = 5$$

$$\frac{208}{6} \leq 1,10 \sqrt{4000}$$

$$34,67 \leq 69,57 \quad \text{Kondisi geser plastis}$$

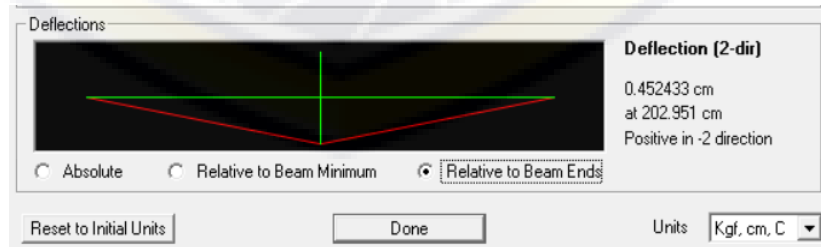
Maka :

$$V_u \leq \phi V_n$$

$$\begin{aligned} \phi V_n &= \phi 0,60 f_y \cdot A_w \cdot C_v \\ &= 0,90 \times 0,60 \times 2500 \times 12,48 \times 1 \\ &= 16848 \text{ kg} \end{aligned}$$

$$V_u = 2533,97 \leq 16848 \text{ OK}$$

#### 7. Kontrol Lendutan



Gambar 4. 20: Lendutan Balok Utama Tangga

$$f_{\max} = 0,45 \text{ cm}$$

$$f = \frac{L}{240} = \frac{405,90}{240} = 1,69 \text{ cm}$$

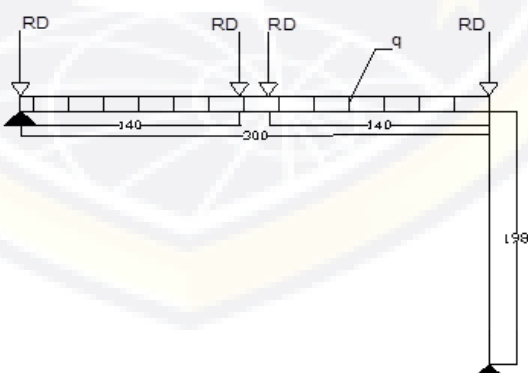
$$f_{\max} < f \quad \text{OK}$$

Profil IWF 250x125x6x9 dapat digunakan sebagai balok utama tangga pada gedung.

#### 4.3.3.7. Perencanaan Balok Penumpu Tangga

Direncanakan menggunakan memakai profil IWF 250x125x6x9 data sebagai berikut :

$A$	=	38	$\text{cm}^2$	$Z_x$	=	352	$\text{cm}^3$
$W$	=	29,60	$\text{kg/m}$	$Z_y$	=	72	$\text{cm}^3$
$a$	=	250	$\text{mm}$	$h$	=	208	$\text{mm}$
$b_f$	=	125	$\text{mm}$	$r$	=	12	$\text{mm}$
$t_f$	=	9	$\text{mm}$	$f_u$	=	4100	$\text{kg/cm}^2$
$I_x$	=	4050	$\text{cm}^4$	$f_y$	=	2500	$\text{kg/cm}^2$
$I_y$	=	294	$\text{cm}^4$	$S_x$	=	311	$\text{cm}^3$
$t_w$	=	6	$\text{mm}$	$S_y$	=	47	$\text{cm}^3$
$i_x$	=	10,40	$\text{cm}$	$i_y$	=	2,79	$\text{cm}$



Gambar 4. 21: Pembebatan Balok Penumpu Tangga

## 1. Perencanaan Pembebatan

Beban merata ( $q$ )

$$\text{Beban dinding} = (3,96/2) \times 250 = 495 \text{ kg/m}$$

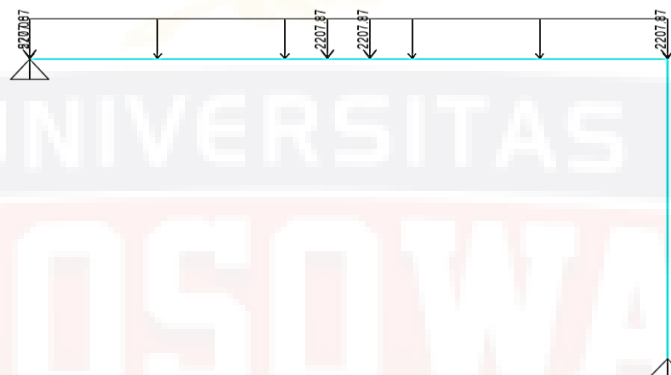
$$\text{Berat profil} = 29,60 \text{ kg/m}$$

$$= 524,60 \text{ kg/m}$$

$$\text{Berat sambungan 10\%} = 52,46 \text{ kg/m}$$

$$q_D = 577,06 \text{ kg/m}$$

$$RD = 2207,87 \text{ kg}$$



Gambar 4. 22: Pembebatan Balok Penumpu Tangga (SAP2000)

### Reaksi Perletakan

$$\Sigma MA = 0$$

$$RBV = 5281,33 \text{ kg}$$

$$\Sigma MB = 0$$

$$RAV = 5281,33 \text{ kg}$$

Kontrol

$$\Sigma V = 0$$

$$= RBV + RAV - (q_D \times 3) - P1 - P2 - P3 - P4$$

$$= 5281,33 + 5281,33 - 1731,18 - 2207,87 - 2207,87 - 2207,87$$

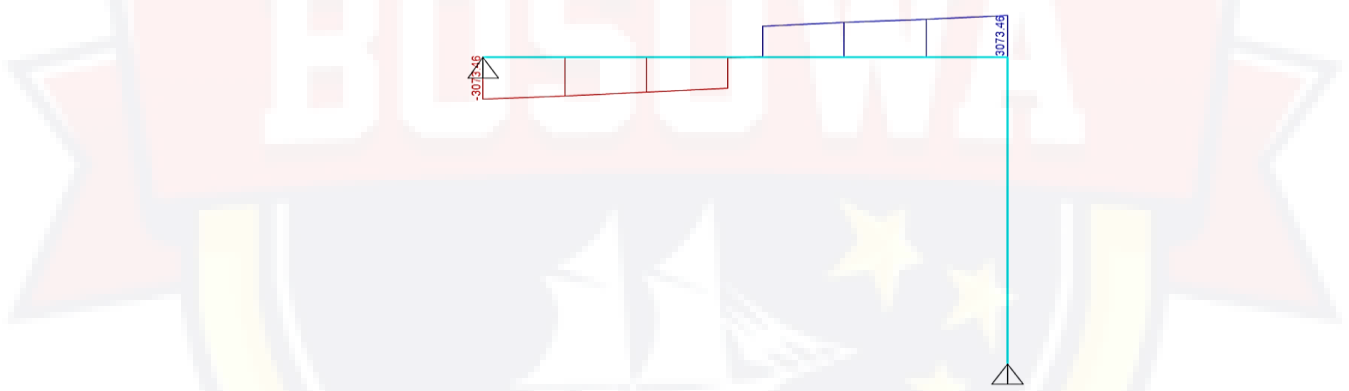
$$- 2207,87$$

$$= 0 \text{ OK}$$

### Bidang Momen



### Bidang Lintang



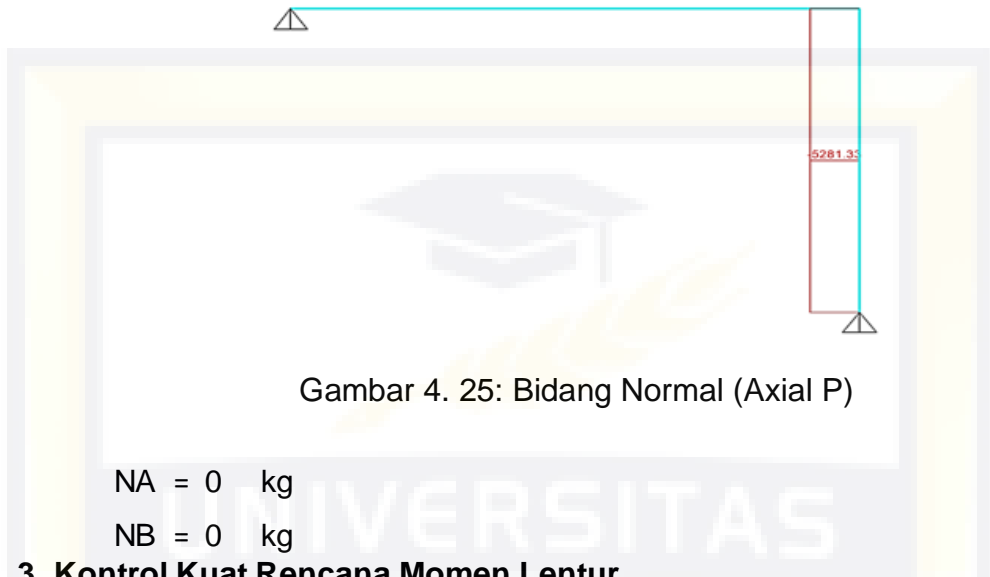
Gambar 4. 24: Gaya Geser (V2)

$$DA = -3073,46 \text{ kg}$$

$$DB = 5281,33 \text{ kg}$$

$$D_{\max} = V_u = 5281,33 \text{ kg}$$

### Bidang Nomal (N)



Gambar 4. 25: Bidang Normal (Axial P)

$$NA = 0 \text{ kg}$$

$$NB = 0 \text{ kg}$$

### 3. Kontrol Kuat Rencana Momen Lentur

Kontrol Penampang (SNI 1729:2015 tabel B4.1) :

- Untuk Sayap

$$\frac{b}{2tf} \leq 0.38 \sqrt{E/f_y}$$

$$\frac{125}{18} \leq 0.38 \sqrt{200000/250}$$

$$6,94 \leq 10,75 \text{ OK}$$

penampang Profil Kompak, maka  $M_n = M_p$

- Untuk Badan

$$\frac{h}{t_w} \leq 3.76 \sqrt{E/f_y}$$

$$\frac{208}{6} \leq 3.76 \sqrt{200000/250}$$

$$34,67 \leq 106,35 \text{ OK}$$

### 4. Kontrol Kuat Lentur Akibat Tekuk Lokal SNI 1729:2015 Pasal 8.2 :

Penampang Kompak :

$$M_p = Z_x \cdot f_y$$

$$= 352 \times 2500$$

$$= 880000 \text{ kgcm}$$

$$= 8800 \text{ kgm}$$

Cek Kemampuan Penampang

$$\bar{\Omega}M_n \geq M_u = M_{max}$$

$$\bar{\Omega}M_n = 0,90 \times 8800$$

$$= 7920 \geq 3733,33 \text{ kgm OK}$$

## 5. Kontrol Penampang Terhadap Tekuk Lateral :

Panjang tak terkekang adalah jarak antar Balok Utama tangga yang dianggap sebagai shear connector.

Jarak penahan lateral ( $L_b$ ) = 140 cm

Panjang bentang maksimum balok yang mampu menahan momen plastis,  $L_p$

$$L_p = 1.76 \cdot i_y \sqrt{\frac{E}{f_y}} = 1,76 \times 2,79 \sqrt{800}$$

$$L_p = 139 \text{ cm}$$

Panjang bentang minimum balok yang tahanannya ditentukan oleh momen kritis tekuk torsi lateral,  $L_r$

$L_r = 447 \text{ cm}$  (Steel Beam Design)

Kondisi balok inelastis termasuk dalam bentang menengah  $L_p < L_b < L_r$  dengan  $M_n$  :

$$M_n = C_b \{ M_p - (M_p - 0,75 S_x f_y) \frac{L_b - L_p}{L_r - L_p} \} \leq M_p$$

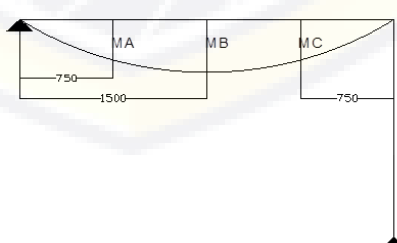
Data hasil analisis SAP2000 :

$$MA = 2127,81 \text{ kg.m}$$

$$MB = 3737,33 \text{ kg.m}$$

$$MC = 2127,81 \text{ kg.m}$$

$$M_{\max} = 3737,33 \text{ kg.m}$$



Gambar 4. 26: Posisi MA, MB, MC Balok Penumpu Tangga

$$C_b = \frac{12.50 M_{max}}{2.50 M_{max} + 3 MA + 4 MB + 3 MC} \leq 2.27$$

$$C_b = \frac{46716,63}{9343,33 + 6383,43 + 14949,32 + 6383,43} = 1,26 \leq 2,27 \text{ OK}$$

$$M_n = 1,26 \{ 880000 - ( 880000 - 0,75 \times 311 \times 2500 \times \frac{140}{447} - \frac{138,89}{138,89} ) \}$$

$$= 1,26 \{ 880000 - ( 880000 - 583125 \times 0,004 ) \}$$

$$= 1107962,31 \text{ kg.cm}$$

$$= 11079,62 \text{ kg.m}$$

$$M_n > M_p$$

Maka momen nominal yang digunakan adalah,  $M_n = 11079,62 \text{ kg.m}$

Cek Kemampuan Penampang

$$\emptyset M_n \geq M_u = M_{max}$$

$$\emptyset M_n = 0,90 \times 11079,62$$

$$= 9971,66 \geq 3733,33 \text{ kg.m} \text{ OK}$$

#### 6. Kontrol Kuat Geser (SNI 1729:2015 pasal G2):

$$V_n = 0,60f_y \cdot A_w \cdot C_v$$

$$\frac{h}{t_w} \leq 1,10 \sqrt{\frac{K_v E}{f_y}} \quad C_v = 1 ; K_v = 5$$

$$\frac{208}{6} \leq 1,10 \sqrt{4000}$$

$$34,67 \leq 69,57 \text{ Kondisi geser plastis}$$

Maka :

$$V_u \leq \emptyset V_n$$

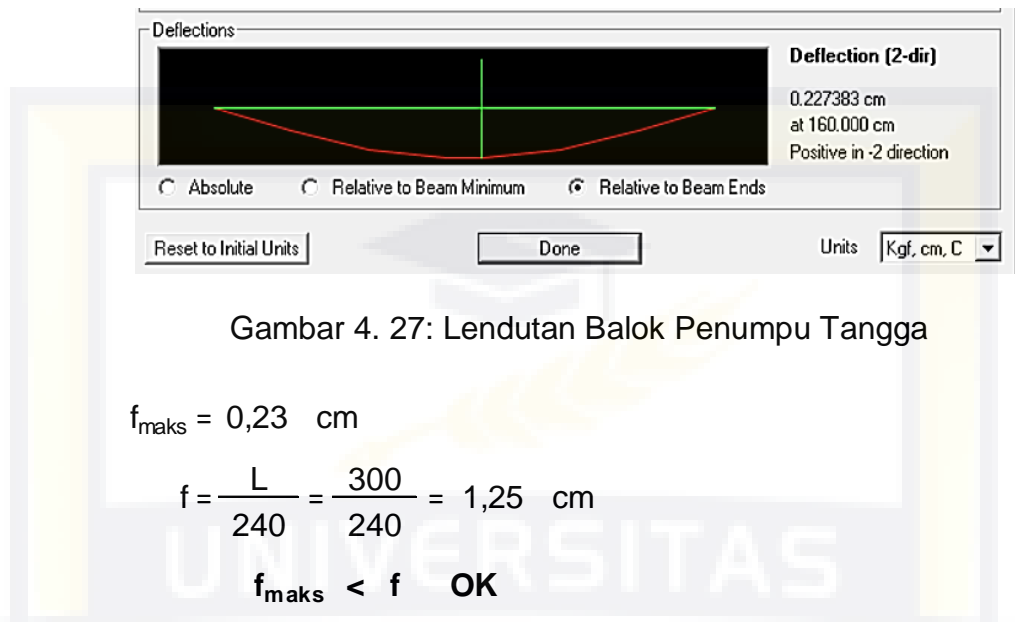
$$\emptyset V_n = \emptyset 0,60f_y \cdot A_w \cdot C_v$$

$$= 0,90 \times 0,60 \times 2500 \times 12,48 \times 1$$

$$= 16848 \text{ kg}$$

$$V_u = 5281,33 \leq 16848 \text{ OK}$$

## 7. Kontrol Lendutan



Gambar 4. 27: Lendutan Balok Penumpu Tangga

$$f_{\text{maks}} = 0,23 \text{ cm}$$

$$f = \frac{L}{240} = \frac{300}{240} = 1,25 \text{ cm}$$

$$f_{\text{maks}} < f \quad \text{OK}$$

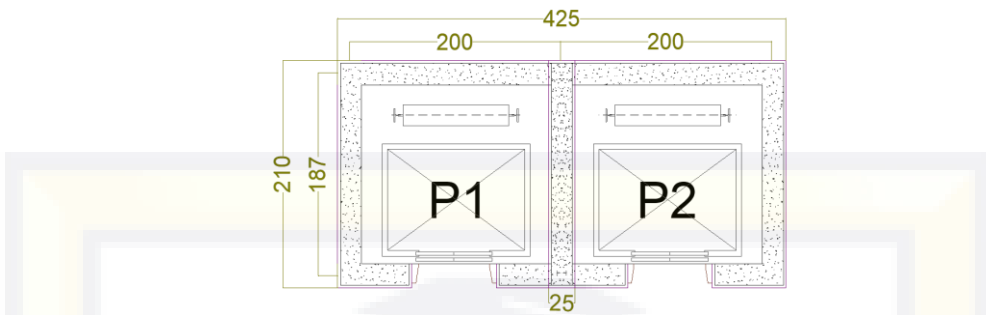
Profil IWF 250x125x6x9 dapat digunakan sebagai balok penumpu tangga.

### 4.3.4. Perencanaan Balok Lift

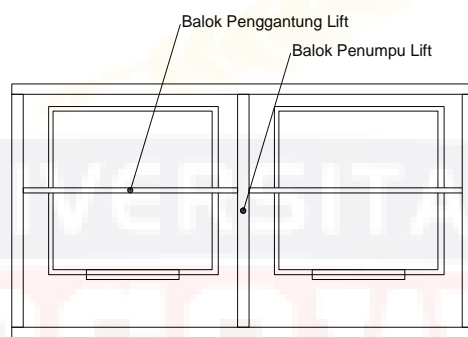
Perencanaan balok penggantung lift meliputi balok-balok yang berkaitan dengan ruang mesin lift yaitu terdiri dari balok penggantung dan balok penumpu. Pada bangunan ini direncanakan menggunakan lift dengan data sebagai berikut :

- |                               |           |                               |
|-------------------------------|-----------|-------------------------------|
| - Tipe lift                   | =         | Passenger Elevator            |
| - Merek                       | =         | Duplex                        |
| - Kapasitas                   | =         | 13 Orang / 900 kg             |
| - Lebar pintu                 | =         | 900 mm                        |
| - Dimensi sangkar             | - outside | = 1650 x 1665 mm <sup>2</sup> |
|                               | - inside  | = 1600 x 1500 mm <sup>2</sup> |
| - Dimensi ruang luncur 2 car  | =         | 4300 x 2150 mm <sup>2</sup>   |
| - Beban reaksi ruang mesin R1 | =         | 6150 kg                       |
|                               | R2        | = 4600 kg                     |

\*dimana R1 = Berat mesin penggerak + Beban kereta + Perlengkapan  
R2 = Berat mesin penggerak + Beban kereta



Gambar 4. 28: Denah Lift



Gambar 4. 29: Denah Balok Lift

#### 4.3.4.1. Perencanaan Balok Penggantung Lift

Direncanakan menggunakan profil IWF 300x150x6,5x9 dengan data sebagai berikut :

$A = 46,78 \text{ cm}^2$	$Z_x = 522 \text{ cm}^3$
$W = 36,70 \text{ kg/m}$	$Z_y = 104 \text{ cm}^3$
$a = 300 \text{ mm}$	$h = 256 \text{ mm}$
$b_f = 150 \text{ mm}$	$r = 13 \text{ mm}$
$t_f = 9 \text{ mm}$	$f_u = 4100 \text{ kg/cm}^2$
$I_x = 7210 \text{ cm}^4$	$f_y = 2500 \text{ kg/cm}^2$
$I_y = 508 \text{ cm}^4$	$S_x = 462 \text{ cm}^3$
$t_w = 6,50 \text{ mm}$	$S_y = 68 \text{ cm}^3$
$i_x = 12,40 \text{ cm}$	$i_y = 3,29 \text{ cm}$

## 1. Perencanaan Pembebanan

Beban Mati ( D )

$$\text{Berat pelat bondex} = 10,10 \text{ kg/m}^2$$

$$\text{Berat pelat beton} = 0,10 \times 2400 = 240 \text{ kg/m}^2$$

$$\text{Berat Aspal 1 cm} = 1 \times 14 = 14 \text{ kg/m}^2$$
$$q_D = 264,10 \text{ kg/m}^2$$

$$264,10 \times 2 = 528,20 \text{ kg/m}$$

$$\text{Berat Profil} = 36,70 \text{ kg/m}$$

$$q_{D\text{tot}} = 564,90 \text{ kg/m}$$

Beban Hidup (Tabel 4.3-1 SNI 1727-2020)

Digunakan beban hidup untuk maintenance

$$\text{Beban hidup terpusat (P)} = 100 \text{ kg}$$

Beban terfaktor

$$q_U = 1.20 q_D + 1.60 q_L$$
$$= 1,20 \times 564,90 + 1,60 \times 100 = 837,88 \text{ kg/m}$$

Pada pasal 4.6 Beban Impak SNI2 1727:2020 (Peraturan

Pembebanan Untuk Bangunan Gedung dan Struktur Lain)

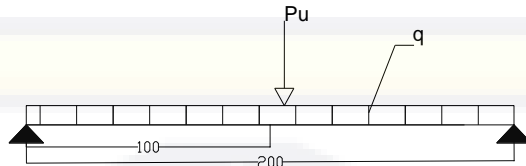
menyatakan bahwa semua beban elevator harus ditingkatkan 50% untuk mesin yang bergerak maju dan mundur atau unit tenaga driven, Semua persentase harus meningkat bila disyaratkan oleh produsen.

$$P_{u1} = R1 + (R1 \times 50\%) = 9225 \text{ kg}$$

$$P_{u2} = R2 + (R2 \times 50\%) = 6900 \text{ kg}$$

Digunakan beban  $P_u$  terbesar 9225 kg

## 2. Gaya dalam yang bekerja pada balok



Gambar 4. 30: Pembebanan Balok Penggantung Lift

### Reaksi Perletakan

ETABS

$$\Sigma MA = 0$$

$$RBV = 5450,38 \text{ kg}$$

$$\Sigma MB = 0$$

$$RAV = 5450,38 \text{ kg}$$

Manual

$$\Sigma MA = 0$$

$$RBV = RAV = \frac{1}{2} q U \cdot L + \frac{1}{2} P$$

$$= 5450,38 \text{ kg}$$



Gambar 4. 31: Reaksi Perletakan

### Kontrol

$$\Sigma V = 0$$

$$= RBV + RVA - (q_D \times 2) - P_u$$

$$= 5450,38 + 5450,38 - 1675,76 - 9225$$

$$= 0 \quad \text{OK}$$

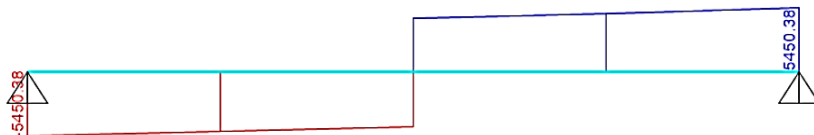
### Momen Maksimum



Gambar 4. 32: Momen (M3)

$$M_{\max} = 5031,44 \text{ kg.m}$$

### Gaya Geser



Gambar 4. 33: Gaya Geser (V2)

$$DA = -5450,4 \text{ kg}$$

$$DB = 5450,38 \text{ kg}$$

$$D_{\max} = V_u = 5450,38 \text{ kg}$$

### Bidang Nomal (N)



Gambar 4. 34: Bidang Normal (Axial P)

$$NA = 0 \text{ kg}$$

$$NB = 0 \text{ kg}$$

### 3. Kontrol Kuat Rencana Momen Lentur

Kontrol Penampang (SNI 1729:2015 tabel B4.1) :

- Untuk Sayap

$$\frac{b}{2tf} \leq 0,38 \times \sqrt{E/f_y}$$

$$\frac{150}{18} \leq 0,38 \times \sqrt{200000/250}$$

$$8,33 \leq 10,75$$

OK

- Untuk Badan

$$\frac{h}{t_w} \leq 3,76 \times \sqrt{E/f_y}$$

$$\frac{256}{6,50} \leq 3,76 \times \sqrt{200000/250}$$

$$39,38 \leq 106,35$$

OK

penampang Profil Kompak, maka  $M_n = M_p$

### 4. Kontrol Kuat Lentur Akibat Tekuk Lokal SNI 1729:2015 Pasal 8.2 :

Penampang Kompak :

$$M_p = Z_x \cdot f_y$$

$$= 522 \times 2500$$

$$= 1305000 \text{ kgcm}$$

$$= 13050 \text{ kgm}$$

Cek Kemampuan Penampang

$$\emptyset M_n > M_u = M_{max}$$

$$\emptyset M_n = 0,90 \times 13050$$

$$= 11745 > 5031,44 \text{ kgm} \quad \text{OK}$$

## 5. Kontrol Penampang Terhadap Tekuk Lateral :

Panjang tak terkekang adalah jarak ujung antar Balok Penggantung

Lift yang dianggap sebagai shear connector

Jarak penahan lateral ( $L_b$ ) = 200 cm

Panjang bentang maksimum balok yang mampu menahan momen plastis ( $L_p$ )

$$L_p = 1,76 \cdot i_y \sqrt{\frac{E}{f_y}} = 1,76 \times 3,29 \sqrt{800}$$

$$L_p = 163,78 \text{ cm}$$

Panjang bentang minimum balok yang tahanannya ditentukan oleh momen kritis tekuk torsional,  $L_r$

$L_r = 489 \text{ cm}$  (Steel Beam Design)

Kondisi Balok inelastis termasuk dalam bentang menengah  $L_p < L_b <$

$L_r$  dengan  $M_n$  :

$$M_n = C_b \{M_p - (M_p - 0,75S_x f_y) \frac{L_b - L_p}{L_r - L_p}\} \leq M_p$$

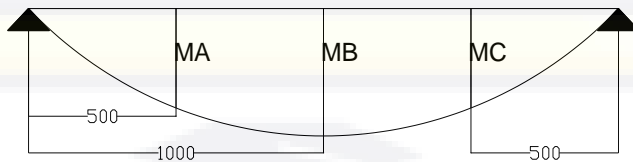
Data hasil analisis SAP2000 :

$$MA = 2620,46 \text{ kg.m}$$

$$MB = 5031,44 \text{ kg.m}$$

$$MC = 2620,46 \text{ kg.m}$$

$$M_{max} = 5031,44 \text{ kg.m}$$



Gambar 4. 35: Posisi MA,MB,MC Balok Penggantung Tangga

$$C_b = \frac{12.50 M_{max}}{2.50 M_{max} + 3 MA + 4 MB + 3 MC} \leq 2.27$$

$$C_b = \frac{62893}{12578,60 + 7861,38 + 20125,76 + 7861,38} = 1,30 \leq 2,27 \text{ OK}$$

$$M_n = 1,30 \{ 1305000 - (1305000 - 0,75 \times 462 \times 2500) \times \frac{200 - 163,78}{498 - 163,78} \}$$

$$= 1,30 \{ 1305000 - (1305000 - 866250) \times 0,11 \}$$

$$= 1633067 \text{ kg.cm}$$

$$= 16330,7 \text{ kg.m}$$

$$M_n > M_p$$

Maka momen nominal yang digunakan adalah,  $M_n = 16330,67 \text{ kg.m}$

Cek Kemampuan Penampang

$$\varnothing M_n \geq M_u = M_{max}$$

$$\varnothing M_n = 0,90 \times 16330,67$$

$$= 14697,60 \geq 5031,44 \text{ kg.m} \quad \text{OK}$$

## 6. Kontrol Kuat Geser (SNI 1729:2015 pasal G2):

$$V_n = 0,60f_y \cdot A_w \cdot C_v$$

$$\frac{h}{t_w} \leq 1,10 \sqrt{\frac{K_v E}{f_y}} \quad C_v = 1 ; K_v = 5$$

$$\frac{256}{6,50} \leq 1,10 \sqrt{4000}$$

39,38 ≤ 69,57      Kondisi geser plastis

Maka :

$$V_u \leq \phi V_n$$

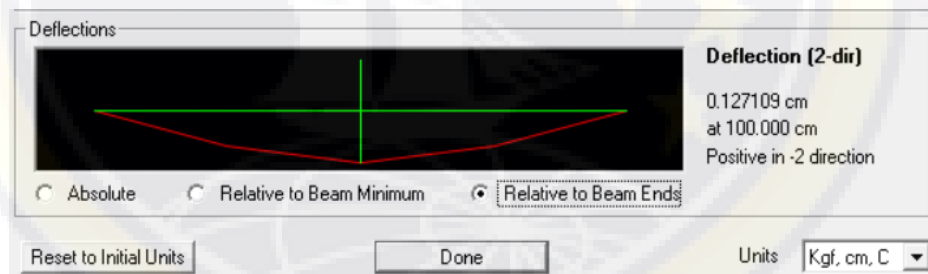
$$\phi V_n = \phi 0,60f_y \cdot A_w \cdot C_v$$

$$= 0,90 \times 0,60 \times 2500 \times 16,64 \times 1$$

$$= 22464 \text{ kg}$$

$$V_u = 5450,38 \leq 22464 \quad \text{OK}$$

## 7. Kontrol Lendutan



Gambar 4. 36: Lendutan Balok Pengantung Lift

$$f_{\max} = 0,13 \text{ cm}$$

$$f = \frac{L}{360} = \frac{200}{360} = 0,56 \text{ cm}$$

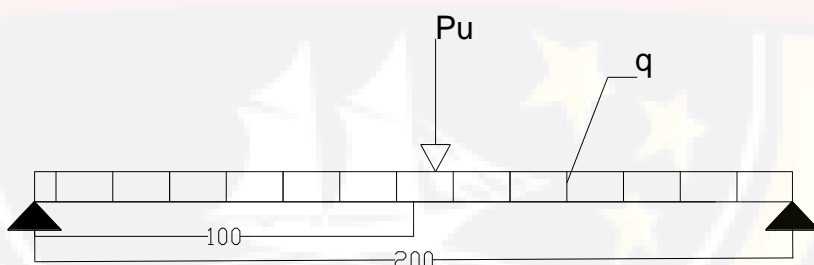
$$f_{\max} < f \quad \text{OK}$$

Profil IWF 300x150x6,5x9 dapat digunakan sebagai balok penggantung lift.

#### 4.3.4.2. Perencanaan Balok Penumpu Lift

Direncanakan menggunakan profil IWF 300x150x6,5x9 dengan data sebagai berikut :

$A = 46,78 \text{ cm}^2$	$Z_x = 522 \text{ cm}^3$
$W = 36,70 \text{ kg/m}$	$Z_y = 104 \text{ cm}^3$
$a = 300 \text{ mm}$	$h = 256 \text{ mm}$
$b_f = 150 \text{ mm}$	$r = 13 \text{ mm}$
$t_f = 9 \text{ mm}$	$f_u = 4100 \text{ kg/cm}^2$
$I_x = 7210 \text{ cm}^4$	$f_y = 2500 \text{ kg/cm}^2$
$I_y = 508 \text{ cm}^4$	$S_s = 462 \text{ cm}^3$
$t_w = 6,50 \text{ mm}$	$S_y = 68 \text{ cm}^3$
$i_x = 12,40 \text{ cm}$	$i_y = 3,29 \text{ cm}$



Gambar 4. 37: Pembebanan Balok Penumpu Lift

## 1. Perencanaan Pembebatan

Beban merata ( $q$ )

$$\text{Berat Profil} = 36,70 \text{ kg/m}$$

$$\text{Berat alat penyambung } 10\% = 3,67 \text{ kg/m}$$

$$q_D = 40,37 \text{ kg/m}$$

Beban Hidup (Tabel 4.3-1 SNI 1727-2020)

Digunakan beban hidup untuk maintenance

$$\text{Beban hidup terpusat (P)} = 100 \text{ kg}$$

Beban terfaktor

$$q_U = 1.20 q_D + 1.60 q_L$$

$$= (1,20 \times 40,37) + (1,60 \times 100) = 208,44 \text{ kg/m}$$

Beban terpusat akibat balok penggantung lift

$$P_u = 5450,38 \times 2 = 10900,76 \text{ kg}$$

## 2. Gaya dalam yang bekerja pada balok

Hasil analisis menggunakan bantuan program SAP2000 didapatkan data :

### Reaksi Perletakan

SAP2000

Manual

$$\Sigma MA = 0$$

$$\Sigma MA = 0$$

$$RBV = 5669,24 \text{ kg}$$

$$RBV = RAV = \frac{1}{2} qU \cdot L + \frac{1}{2} P$$

$$\Sigma MB = 0$$

$$RAV = 5669,24 \text{ kg}$$

$$= 5669,25 \text{ kg}$$



Gambar 4. 38: Reaksi Perletakan

### Kontrol

$$\begin{aligned}\Sigma V &= 0 \\ &= RBV + RVA - (q_D \times 2) - P_u \\ &= 5669,24 + 5669,24 - 437,73 - 10900,76 \\ &= 0 \quad \text{OK}\end{aligned}$$

### Momen Maksimum



Gambar 4. 39: Momen Maksimum (M3)

$$M_{\text{Maks}} = 5837,80 \text{ kg.m}$$

### Gaya Geser



Gambar 4. 40: Gaya Geser (V2)

$$DA = -5669,24 \text{ kg}$$

$$DB = 5669,24 \text{ kg}$$

$$D_{\max} = V_u = 5669,24 \text{ kg}$$

### Bidang Normal



Gambar 4. 41: Bidang Normal (Axial P)

$$NA = 0 \text{ kg}$$

$$NB = 0 \text{ kg}$$

### 3. Kontrol Kuat Rencana Momen Lentur

Kontrol Penampang (SNI 1729:2015 tabel B4.1) :

- Untuk Sayap

$$\frac{b}{2tf} \leq 0,38 \times \sqrt{E/f_y}$$

$$\frac{150}{18} \leq 0,38 \times \sqrt{200000/250}$$

$$8,33 \leq 10,75 \quad \text{OK}$$

- Untuk Badan

$$\frac{h}{t_w} \leq 3,76 \times \sqrt{E/f_y}$$

$$\frac{256}{6,50} \leq 3,76 \times \sqrt{200000/250}$$

$$39,38 \leq 106,35 \quad \text{OK}$$

penampang Profil Kompak, maka  $M_n = M_p$

### 4. Kontrol Kuat Lentur Akibat Tekuk Lokal SNI 1729:2015 Pasal 8.2 :

Penampang Kompak :

$$M_p = Z_x \cdot f_y$$

$$= 522 \times 2500$$

$$= 1305000 \text{ kgcm}$$

$$= 13050 \text{ kgm}$$

Cek Kemampuan Penampang

$$\emptyset M_n \geq M_u = M_{max}$$

$$\emptyset M_n = 0,90 \times 13050$$

$$= 11745 \geq 5837,80 \text{ kgm} \quad \text{OK}$$

### 5. Kontrol Penampang Terhadap Tekuk Lateral :

Panjang tak terkekang adalah jarak antar Balok Utama tangga yang dianggap sebagai shear connector

Jarak penahan lateral ( $L_b$ ) = 210 cm

Panjang bentang maksimum balok yang mampu menahan momen plastis ( $L_p$ )

$$L_p = 1,76 \cdot i_y \sqrt{\frac{E}{f_y}} = 1,76 \times 3,29 \sqrt{800}$$

$$L_p = 163,78 \text{ cm}$$

Panjang bentang minimum balok yang tahanannya ditentukan oleh momen kritis tekuk torsional,  $L_r$

$$L_r = 489 \text{ cm (Steel Beam Design)}$$

Kondisi Balok inelastis termasuk dalam bentang menengah  $L_p < L_b < L_r$  dengan  $M_n$  :

$$M_n = C_b \left\{ M_p - (M_p - 0,75 S_{xfy}) \frac{L_b - L_p}{L_r - L_p} \right\} \leq M_p$$

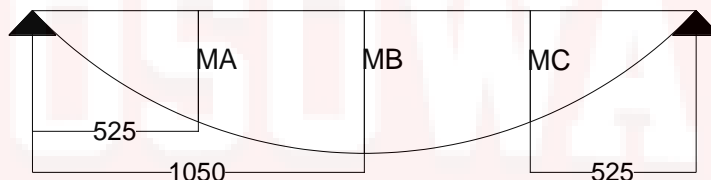
Data hasil analisis SAP 2000 :

$$MA = 2803,42 \text{ kg.m}$$

$$MB = 5554,72 \text{ kg.m}$$

$$MC = 2803,42 \text{ kg.m}$$

$$M_{max} = 5554,72 \text{ kg.m}$$



Gambar 4. 42: Posisi MA, MB, MC pada Balok Penumpu Lift

$$C_b = \frac{12,50 M_{max}}{2,50 M_{max} + 3 MA + 4 MB + 3 MC} \leq 2,27$$

$$C_b = \frac{69434,00}{13886,80 + 8410,26 + 22218,88 + 8410,26} = 1,31 \leq 2,27 \text{ OK}$$

$$M_n = 1,31 \{ 1305000 - (1305000 - 0,75 \times 462 \times 2500) \times \frac{210 - 163,78}{498 - 163,78} \}$$

$$= 1,31 \{ 1305000 - (1305000 - 866250) \times 0,14 \}$$

$$= 1632428 \text{ kg.cm}$$

$$= 16324,28 \text{ kg.m}$$

$$M_n > M_p$$

Maka momen nominal yang digunakan adalah,  $M_n = 16324,28 \text{ kg.m}$

Cek Kemampuan Penampang

$$\varnothing M_n \geq M_u = M_{max}$$

$$\varnothing M_n = 0,90 \times 16324,28$$

$$= 14691,85 \geq 5837,80 \text{ kg.m} \quad \text{OK}$$

#### 6. Kontrol Kuat Geser (SNI 1729:2015 pasal G2):

$$V_n = 0,60f_y \cdot A_w \cdot C_v$$

$$\frac{h}{t_w} \leq 1,10 \sqrt{\frac{K_v E}{f_y}} \quad C_v = 1 ; K_v = 5$$

$$\frac{256}{6,50} \leq 1,10 \sqrt{4000}$$

$$39,38 \leq 69,57 \quad \text{Kondisi geser plastis}$$

Maka :

$$V_u \leq \varnothing V_n$$

$$\varnothing V_n = \varnothing 0,60f_y \cdot A_w \cdot C_v$$

$$= 0,90 \times 0,60 \times 2500 \times 16,64 \times 1$$

$$= 22464 \text{ kg}$$

$$V_u = 5669,24 \leq 22464 \quad \text{OK}$$

#### 7. Kontrol Lendutan



Gambar 4. 43: Lendutan Penumpu Lift

$$f_{maks} = 0,16 \text{ cm}$$

$$f = \frac{L}{360} = \frac{210}{360} = 0,58 \text{ cm}$$

$$f_{maks} < f \quad \text{OK}$$

Profil IWF 300x150x6,5x9 dapat digunakan sebagai balok penumpu lift.

## 4.4. Perencanaan Stuktur Primer

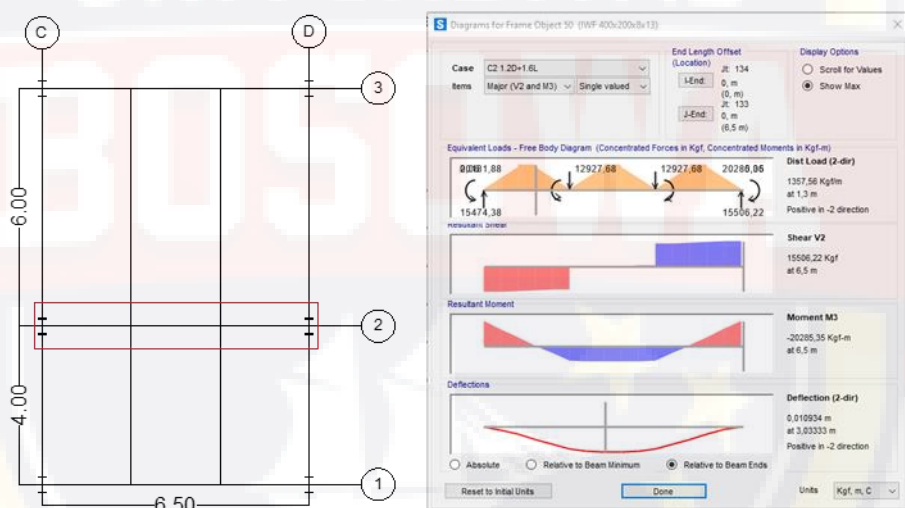
### 4.4.1. Perhitungan Balok Induk

#### 4.4.1.1. Balok Induk Arah X

Pada perencanaan balok induk arah sumbu X dipilih elemen balok induk yang menerima gaya paling maksimum yaitu pada elemen 50 dilantai 5. Hasil analisa program SAP2000 pada balok induk sumbu X dengan kombinasi 1,2D + 1,6L adalah sebagai berikut :

$$V_u = 15506,22 \text{ kg}$$

$$M_u = 20285,35 \text{ kg/m}$$



Gambar 4. 44: Denah dan Gaya dalam Elemen 50 Balok Induk Arah X

Pada balok induk arah sumbu X direncanakan menggunakan profil IWF 400x200x8x13 dengan data sebagai berikut :

A = 84,10	cm <sup>2</sup>	Z <sub>x</sub> = 1286	cm <sup>3</sup>
W = 66	kg/m	Z <sub>y</sub> = 266	cm <sup>3</sup>
a = 400	mm	h = 342	mm
b <sub>f</sub> = 200	mm	r = 16	mm
t <sub>f</sub> = 13	mm	f <sub>u</sub> = 4100	kg/cm <sup>2</sup>

$$\begin{array}{ll}
 l_x = 23700 \text{ cm}^4 & f_y = 2500 \text{ kg/cm}^2 \\
 l_y = 1740 \text{ cm}^4 & S_x = 1148 \text{ cm}^3 \\
 t_w = 8,00 \text{ mm} & S_y = 173,49 \text{ cm}^3 \\
 i_x = 16,80 \text{ cm} & i_y = 4,54 \text{ cm}
 \end{array}$$

- Kontrol Kuat Rencana Momen Lentur

Kontrol Penampang (SNI 1729:2015 tabel B4.1) :

- Untuk Sayap

$$\frac{b}{2tf} \leq 0,38 \times \sqrt{E/f_y}$$

$$\frac{200}{26} \leq 0,38 \times \sqrt{200000/250}$$

$$7,69 \leq 10,75$$

- Untuk Badan

$$\frac{h}{t_w} \leq 3,76 \times \sqrt{E/f_y}$$

$$\frac{342}{8} \leq 3,76 \times \sqrt{200000/250}$$

$$42,75 \leq 106,35$$

**OK**

**OK**

penampang Profil Kompak, maka  $M_n = M_p$

- Kontrol Kuat Lentur Akibat Tekuk Lokal SNI 1729:2015 Pasal 8.2 :

Penampang Kompak :

$$M_p = Z_x \cdot f_y$$

$$= 1286 \times 2500$$

$$= 3214875 \text{ kgcm}$$

$$= 32149 \text{ kgm}$$

Cek Kemampuan Penampang

$$\emptyset M_n > M_u = M_{max}$$

$$\emptyset M_n = 0,90 \times 32149$$

$$= 28934 > 20285,35 \text{ kgm} \quad \mathbf{OK}$$

- Kontrol Penampang Terhadap Tekuk Lateral

Panjang tak terkekang adalah jarak ujung antar balok induk yang dianggap sebagai shear connector

Jarak penahan lateral ( $L_b$ ) = 650 cm

Panjang bentang maksimum balok yang mampu menahan momen plastis ( $L_p$ )

$$L_p = 1.76 \cdot i_y \sqrt{\frac{E}{f_y}} = 1.76 \times 4.54 \sqrt{800}$$

$$L_p = 226 \text{ cm}$$

Panjang bentang minimum balok yang tahanannya ditentukan oleh momen kritis tekuk torsi lateal, Lr

Lr = 684 cm (Steel Beam Design)

Kondisi Balok inelastis termasuk dalam bentang menengah  $L_p < L_b < L_r$  dengan  $M_n$  :

$$M_n = C_b \{ M_p - (M_p - 0,75 S_x f_y) \frac{L_b - L_p}{L_r - L_p} \} < M_p$$

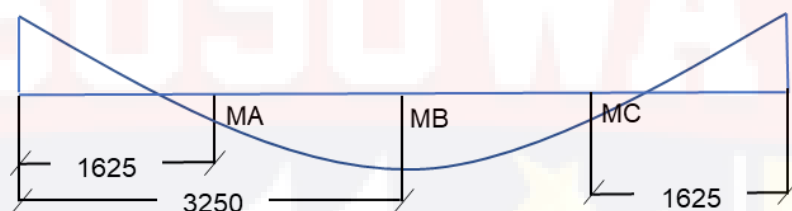
Data hasil analisis SAP2000 :

$$MA = 3976,95 \text{ kg.m}$$

$$MB = 12046,72 \text{ kg.m}$$

$$MC = 3925,21 \text{ kg.m}$$

$$M_{max} = 20285,35 \text{ kg.m}$$



Gambar 4. 45: Posisi MA, MB, MC Balok Induk Arah x

$$C_b = \frac{12.50 M_{max}}{2.50 M_{max} + 3 MA + 4 MB + 3 MC} \leq 2.27$$

$$C_b = \frac{253567}{50713,38 + 11930,85 + 48186,88 + 11775,63} = 2,07 \leq 2,27 \text{ OK}$$

$$M_n = 2,07 \{ 3214875 - (3214875 - 0,75 \times 1148 \times 2500) \times \frac{650 - 226}{684 - 226} \}$$

$$= 2,07 \{ 3214875 - (3214875 - 2152956) \times 0,93 \}$$

$$= 4615634 \text{ kg.cm}$$

$$= 46156,34 \text{ kg.m}$$

$$M_n > M_p$$

Maka momen nominal yang digunakan adalah,  $M_n = 46156,34 \text{ kg.m}$

### Cek Kemampuan Penampang

$$\varnothing M_n \geq M_u = M_{max}$$

$$\varnothing M_n = 0,90 \times 46156,34$$

$$= 41540,71 \geq 20285,35 \text{ kg.m} \quad \text{OK}$$

- Kontrol Kuat Geser (SNI 1729:2015 pasal G2):

$$V_n = 0,60f_y \cdot A_w \cdot C_v$$

$$\frac{h}{t_w} \leq 1,10 \sqrt{\frac{K_v E}{f_y}} \quad C_v = 1 ; K_v = 5$$

$$\frac{342}{8} \leq 1,10 \sqrt{4000}$$

$$42,75 \leq 69,57 \quad \text{Kondisi geser plastis}$$

Maka :

$$V_u \leq \varnothing V_n$$

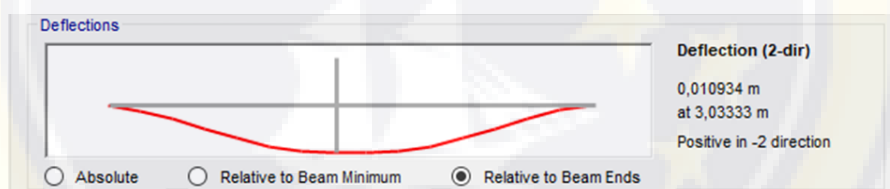
$$\varnothing V_n = \varnothing 0,60f_y \cdot A_w \cdot C_v$$

$$= 0,90 \times 0,60 \times 2500 \times 27,36 \times 1$$

$$= 36936 \text{ kg}$$

$$V_u = 15506,22 \leq 36936 \quad \text{OK}$$

- Kontrol Lendutan



Gambar 4. 46: Lendutan Balok Induk Arah x

$$f_{maks} = 1,09 \text{ cm}$$

$$f = \frac{L}{360} = \frac{650}{360} = 1,81 \text{ cm}$$

$$f_{maks} < f \quad \text{OK}$$

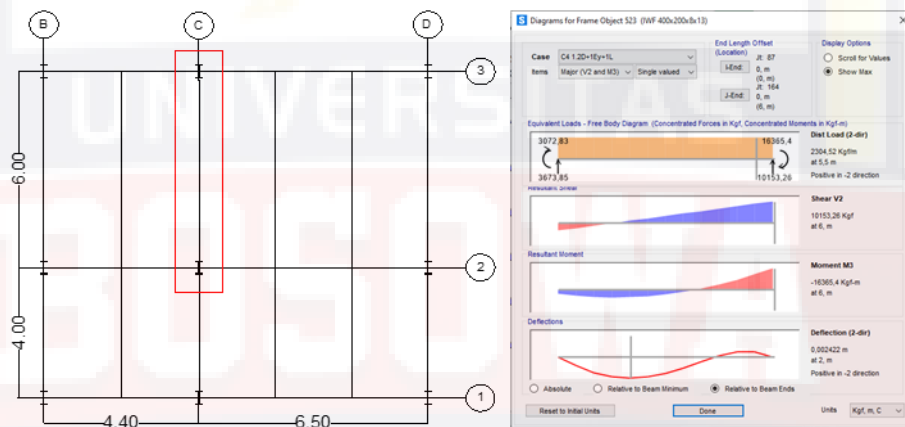
Profil IWF 400x200x8x13 dapat digunakan sebagai balok induk arah x

#### 4.4.1.2. Balok Induk Arah Y

Pada perencanaan balok induk arah sumbu Y dipilih elemen balok induk yang menerima gaya paling maksimum yaitu pada elemen 523 dilantai 2. Hasil analisa program SAP 2000 pada balok induk sumbu Y dengan kombinasi 1,2D + 1Ey + 1L adalah sebagai berikut :

$$V_u = 10153,26 \text{ kg}$$

$$M_u = 16365,40 \text{ kg/m}$$



Gambar 4. 47:Denah dan Diagram Gaya Dalam Balok Induk Arah Y

Pada balok induk arah sumbu Y direncanakan menggunakan profil IWF 400x200x8x13 dengan data profil sebagai berikut :

$A = 84,10 \text{ cm}^2$	$Z_x = 1286 \text{ cm}^3$
$W = 66 \text{ kg/m}$	$Z_y = 266 \text{ cm}^3$
$a = 400 \text{ mm}$	$h = 342 \text{ mm}$
$b_f = 200 \text{ mm}$	$r = 16 \text{ mm}$
$t_f = 13 \text{ mm}$	$f_u = 4100 \text{ kg/cm}^2$
$I_x = 23700 \text{ cm}^4$	$f_y = 2500 \text{ kg/cm}^2$
$I_y = 1740 \text{ cm}^4$	$S_x = 1148 \text{ cm}^3$
$t_w = 8,00 \text{ mm}$	$S_y = 173,49 \text{ cm}^3$
$i_x = 16,80 \text{ cm}$	$i_y = 4,54 \text{ cm}$

- Kontrol Kuat Rencana Momen Lentur

Kontrol Penampang (SNI 1729:2015 tabel B4.1) :

- Untuk Sayap

$$\frac{b}{2tf} \leq 0.38 \times \sqrt{E/f_y}$$

$$\frac{200}{26} \leq 0.38 \times \sqrt{200000/250}$$

$$7,69 \leq 10,75 \quad \text{OK}$$

**OK**

- Untuk Badan

$$\frac{h}{t_w} \leq 3.76 \times \sqrt{E/f_y}$$

$$\frac{342}{8} \leq 3.76 \times \sqrt{200000/250}$$

$$42,75 \leq 106,35 \quad \text{OK}$$

**OK**

penampang Profil Kompak, maka  $M_n = M_p$

- Kontrol Kuat Lentur Akibat Tekuk Lokal SNI 1729:2015 Pasal 8.2 :

Penampang Kompak :

$$M_p = Z_x \cdot f_y$$

$$= 1286 \times 2500$$

$$= 3214875 \text{ kgcm}$$

$$= 32149 \text{ kgm}$$

Cek Kemampuan Penampang

$$\phi M_n > M_u = M_{max}$$

$$\phi M_n = 0,90 \times 32149$$

$$= 28934 > 16365,40 \text{ kgm} \quad \text{OK}$$

- Kontrol Penampang Terhadap Tekuk Lateral

Panjang tak terkekang adalah jarak ujung antar balok induk yang dianggap sebagai shear connector

Jarak penahan lateral ( $L_b$ ) = 600 cm

Panjang bentang maksimum balok yang mampu menahan momen plastis ( $L_p$ )

$$L_p = 1.76 \cdot i_y \sqrt{\frac{E}{f_y}} = 1,76 \times 4,54 \sqrt{800}$$

$$L_p = 226 \text{ cm}$$

Panjang bentang minimum balok yang tahanannya ditentukan oleh momen kritis tekuk torsi lateal,  $L_r$

$$L_r = 684 \text{ cm} \text{ (Steel Beam Design)}$$

Kondisi Balok inelastis termasuk dalam bentang menengah  $L_p < L_b < L_r$  dengan  $M_n$  :

$$M_n = C_b \{ M_p - (M_p - 0,75 S_{xfy}) \frac{L_b - L_p}{L_r - L_p} \} \leq M_p$$

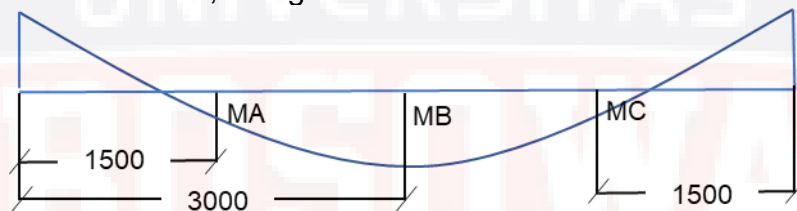
Data hasil analisis SAP2000 :

$$MA = 5991,02 \text{ kg.m}$$

$$MB = 3724,04 \text{ kg.m}$$

$$MC = 3728,10 \text{ kg.m}$$

$$M_{max} = 16365,40 \text{ kg.m}$$



Gambar 4. 48: Posisi MA, MB, MC Balok Induk Arah Y

$$C_b = \frac{12,50 M_{max}}{2,50 M_{max} + 3 MA + 4 MB + 3 MC} \leq 2,27$$

$$C_b = \frac{204568}{40913,50 + 17973,06 + 14896,16 + 11184,30} = 2,41 \leq 2,27 \text{, digunakan } 2,27$$

$$M_n = 2,27 \{ 3214875 - (3214875 - 0,75 \times 1148 \times 2500) \times \frac{600 - 226}{684 - 226} \}$$

$$= 2,27 \{ 3214875 - (3214875 - 2152956) \times 0,82 \}$$

$$= 5329324 \text{ kg.cm}$$

$$= 53293,24 \text{ kg.m}$$

$$M_n > M_p$$

Maka momen nominal yang digunakan adalah,  $M_n = 53293,24 \text{ kg.m}$

### Cek Kemampuan Penampang

$$\varnothing M_n \geq M_u = M_{max}$$

$$\varnothing M_n = 0,90 \times 53293,24$$

$$= 47963,92 \geq 16365,40 \text{ kg.m} \quad \text{OK}$$

- Kontrol Kuat Geser (SNI 1729:2015 pasal G2):

$$V_n = 0,60f_y \cdot A_w \cdot C_v$$

$$\frac{h}{t_w} \leq 1,10 \sqrt{\frac{K_v E}{f_y}} \quad C_v = 1 ; K_v = 5$$

$$\frac{342}{8} \leq 1,10 \sqrt{4000}$$

$$42,75 \leq 69,57 \quad \text{Kondisi geser plastis}$$

Maka :

$$V_u \leq \varnothing V_n$$

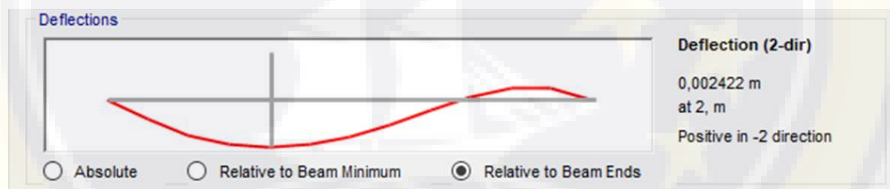
$$\varnothing V_n = \varnothing 0,60f_y \cdot A_w \cdot C_v$$

$$= 0,90 \times 0,60 \times 2500 \times 27,36 \times 1$$

$$= 36936 \text{ kg}$$

$$V_u = 10153,26 \leq 36936 \quad \text{OK}$$

- Kontrol Lendutan



Gambar 4. 49: Lendutan Balok Induk Arah Y

$$f_{maks} = 0,24 \text{ cm}$$

$$f = \frac{L}{360} = \frac{600}{360} = 1,67 \text{ cm}$$

$$f_{maks} < f \quad \text{OK}$$

$$0,24 < 1,67 \quad \text{OK}$$

Profil IWF 400x200x8x13 dapat digunakan sebagai balok induk arah y

#### 4.4.2. Perhitungan Kolom

Pada perencanaan kolom dipilih elemen yang menerima gaya paling maksimum yaitu elemen 131 dilantai dasar. Kolom direncanakan menggunakan profil H400x400x13x21 dengan data sebagai berikut :

$A = 218,70 \text{ cm}^2$	$Z_x = 3600 \text{ cm}^3$
$W = 172 \text{ kg/m}$	$Z_y = 1695 \text{ cm}^3$
$a = 400 \text{ mm}$	$h = 314 \text{ mm}$
$b_f = 400 \text{ mm}$	$r = 22 \text{ mm}$
$t_f = 21 \text{ mm}$	$f_u = 4100 \text{ kg/cm}^2$
$I_x = 66600 \text{ cm}^4$	$f_y = 2500 \text{ kg/cm}^2$
$I_y = 22400 \text{ cm}^4$	$S_x = 3268 \text{ cm}^3$
$t_w = 13 \text{ mm}$	$S_y = 1120 \text{ cm}^3$
$i_x = 17,50 \text{ cm}$	$i_y = 10,10 \text{ cm}$

- a. Dari hasil analisis SAP 2000, didapatkan gaya dalam yang terjadi pada kolom elemen 131 adalah :

1.2D+1.6L	1.2D+1Ex+1L
$P_u = P_{nt} = 172752,48 \text{ kg}$	$P_u = P_{nt} = 145870,26 \text{ kg}$
$M_{ux} = 3261,73 \text{ kgm}$	$M_{ux} = 1307,04 \text{ kgm}$
$M_{uy} = 2655,18 \text{ kgm}$	$M_{uy} = 1937,18 \text{ kgm}$
$V_{ux} = 1226,11 \text{ kg}$	$V_{ux} = 91,87 \text{ kg}$
$V_{uy} = 953,11 \text{ kg}$	$V_{uy} = 699,63 \text{ kg}$

1.2D+1Ey+1L
$P_u = P_{nt} = 136467,43 \text{ kg}$
$M_{ux} = 2603,71 \text{ kgm}$
$M_{uy} = 14875,97 \text{ kgm}$
$V_{ux} = 969,35 \text{ kg}$
$V_{uy} = 3568,84 \text{ kg}$

b. Kontrol penampang profil

- Kontrol penampang terhadap tekan

- Untuk Sayap

$$\frac{b}{2tf} \leq 0.56 \times \sqrt{E/f_y}$$

$$\frac{400}{42} \leq 0.56 \times \sqrt{200000/250}$$

$$9,52 \leq 15,84$$

**OK**

- Untuk Badan

$$\frac{h}{t_w} \leq 1.49 \times \sqrt{E/f_y}$$

$$\frac{314}{13} \leq 1.49 \times \sqrt{200000/250}$$

$$24,15 \leq 42,14$$

**OK**

- Kontrol penampang terhadap lentur

- Untuk Sayap

$$\frac{b}{2tf} \leq 0.38 \times \sqrt{E/f_y}$$

$$\frac{400}{42} \leq 0.38 \times \sqrt{200000/250}$$

$$9,52 \leq 10,75$$

**OK**

- Untuk Badan

$$\frac{h}{t_w} \leq 3.76 \times \sqrt{E/f_y}$$

$$\frac{314}{13} \leq 3.76 \times \sqrt{200000/250}$$

$$24,15 \leq 106,35$$

**OK**

$\lambda \leq \lambda_p$  penampang profil kompak

- Kontrol penampang terhadap tekuk lateral

Panjang elemen kolom ( $L_b$ ) = 396 cm

$$L_p = 1.76 \cdot i_y \sqrt{\frac{E}{f_y}} = 1,76 \times 10,10 \sqrt{800}$$

$$L_p = 502,78 \text{ cm}$$

Kondisi Balok plastis termasuk dalam bentang pendek  $L_b < L_p$ , maka :

Arah x

$$M_n = M_p = Z_x \cdot f_y$$

$$= 9000000 \text{ kgcm}$$

$$= 90000 \text{ kgm}$$

$$\phi M_n > M_u = M_{max}$$

$$\phi M_n = 0,90 \times 90000$$

$$= 81000 > 3261,73 \text{ kgm } \textbf{OK}$$

Arah y

$$M_n = M_p = Z_y \cdot f_y$$

$$= 4237500 \text{ kgcm}$$

$$= 42375 \text{ kgm}$$

$$\phi M_n > M_u = M_{max}$$

$$\phi M_n = 0,90 \times 42375$$

$$= 38138 > 14875,97 \text{ kgm } \textbf{OK}$$

- Tegangan kritis tekuk lentur

$$F_e = \frac{\pi^2 E}{(KL/i_x)^2} = 58695,52 \text{ kg.cm}^2$$

$$= 5869,552 \text{ mpa}$$

$$f_y/F_e = 0,04 \leq 2,25 \text{ maka } F_{cr} = (0,658^{f_y/f_e})f_y$$

$$F_{cr} = 245,58 \text{ mpa}$$

$$= 2455,83 \text{ kg.cm}^2$$

- Kuat tekan nominal

$$P_n = F_{cr} \cdot A$$

$$= 537089,35 \text{ kg}$$

$$P_c = \phi \times P_n$$

$$= 0,90 \times 537089,35$$

$$= 483380,42 \text{ kg}$$

- Kekuatan lentur dan aksial orde kedua

$$\alpha = 1 \text{ (DFBK)}$$

$$R_m = 1 - 0,15 \frac{P_{mf}}{P_{story}}$$

$$P_{mf} = 172752 \text{ kg}$$

$$P_{story} = 251626 \text{ kg}$$

$$R_m = 0,897$$

Panjang efektif, k:

Arah X

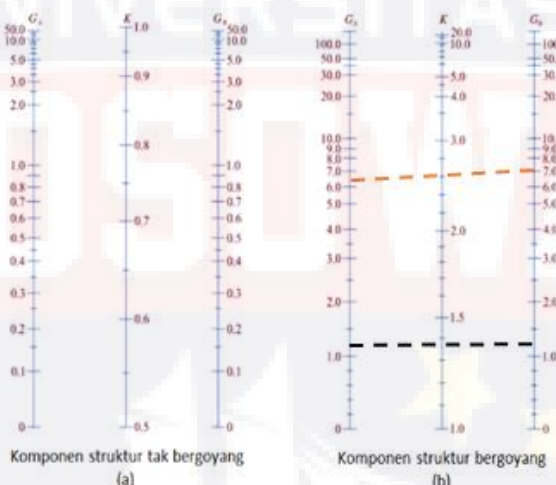
$$G_B = \frac{\sum(I_y k / L)}{\sum(I_x b / L)} = \frac{2 \times (22400 / 370)}{\left(\frac{23700}{440}\right) + \left(\frac{23700}{650}\right)} = 1,34$$

$$G_A = \frac{\sum(I_y k / L)}{\sum(I_x b / L)} = \frac{\left(\frac{22400}{396}\right) + \left(\frac{22400}{370}\right)}{\left(\frac{23700}{440}\right) + \left(\frac{23700}{650}\right)} = 1,30$$

Arah Y

$$G_B = \frac{\sum(I_x k / L)}{\sum(I_x b / L)} = \frac{2 \times (66600 / 370)}{\left(\frac{7210}{400}\right) + \left(\frac{23700}{600}\right)} = 6,26$$

$$G_A = \frac{\sum(I_x k / L)}{\sum(I_x b / L)} = \frac{\left(\frac{66600}{396}\right) + \left(\frac{66600}{370}\right)}{\left(\frac{4050}{400}\right) + \left(\frac{23700}{600}\right)} = 7,02$$



Gambar 4. 50: Faktor Panjang Efektif (k)

$$k_x = 0,81$$

$$k_y = 2,61$$

$$\Delta_{hx} = 0,57 \text{ cm} \quad \text{simpangan lantai arah x (output SAP)}$$

$$\Delta_{hy} = 0,43 \text{ cm} \quad \text{simpangan lantai arah y (output SAP)}$$

Kuat lentur arah sumbu x

Terhadap beban gravitasi

$$M_1 = 1593,66 \text{ kgm} \quad \text{Momen terkecil ujung bawah}$$

$$M_2 = 3261,73 \text{ kgm} \quad \text{Momen terbesar ujung atas}$$

$$C_m = 0.60 - 0.40 \frac{(M_1)}{(M_2)}$$

$$= 0,40$$

$$P_{e1} = \frac{\pi EI_y}{(K_x L)^2}$$

$$= 1367247,86 \text{ kg}$$

$$B_1 = \frac{(Cm)}{1 - aPr/Pe_1}$$

$$= 0,48 < 1$$

$B_1$  dipakai = 1

Terhadap beban lateral

$$M_{nt} = 3261,73 \text{ kgm} \quad M_{ux} \text{ grav}$$

$$M_{lt} = 1307,04 \text{ kgm} \quad M_{ux} \text{ gempa}$$

$$H_x = 1226,11 \text{ kg} \quad \text{Geser lateral output sap, V3}$$

$$P_{story} = 251626 \text{ kg}$$

$$P_{estory} = \frac{R_m \cdot H_x \cdot L}{\Delta_{hx}} = 764102 \text{ kg}$$

$$B_2 = \frac{1}{1 - (\frac{aP_{story}}{P_{estory}})} = 1,49$$

$$M_{rx} = B_1 \cdot M_{nt} + B_2 \cdot M_{lt}$$

$$= 5210,53 \text{ kgm}$$

- Kuat lentur arah sumbu y

Terhadap beban gravitasi

$$M_1 = 1120,7 \text{ kgm} \quad \text{Momen terkecil ujung bawah}$$

$$M_2 = 2655,18 \text{ kgm} \quad \text{Momen terbesar ujung atas}$$

$$C_m = 0.60 - 0.40 \frac{(M_1)}{(M_2)}$$

$$= 0,43$$

$$P_{e1} = \frac{\pi EI_x}{(K_y L)^2}$$

$$= 391528 \text{ kg}$$

$$B_1 = \frac{(C_m)}{1 - aP_r/P_{e_1}}$$

$$= 0,97 < 1$$

B2 dipakai = 1

Terhadap beban lateral

$$M_{nt} = 2655,18 \text{ kgm Muy grav}$$

$$M_{lt} = 14875,97 \text{ kgm Muy gempa}$$

$$H_y = 1792,90 \text{ kg geser lateral output sap, V2}$$

$$P_{story} = 251626 \text{ kg (aksial total tingkat, output SAP)}$$

$$P_{estory} = \frac{R_m \cdot H_y \cdot L}{\Delta_{hy}} = 1481099 \text{ kg}$$

$$B_2 = \frac{1}{1 - \left(\frac{aP_{story}}{P_{estory}}\right)} = 1,20$$

$$M_{ry} = B_1 \cdot M_{nt} + B_2 \cdot M_{lt}$$

$$= 20575,69 \text{ kgm}$$

- Kuat aksial

Arah x

$$P_r = P_u = P_{nt}$$

$$= 217492,72 \text{ kg}$$

$$P_{rmax} = 217492,72 \text{ kg}$$

Arah y

$$P_r = P_u = P_{nt}$$

$$= 164397,09 \text{ kg}$$

- Kontrol interaksi tekan lentur

$$\frac{P_r}{\phi P_n} = 0,45 > 0,20 \text{ gunakan interaksi 1}$$

$$\frac{P_r}{P_c} + \frac{8}{9} \times \frac{(M_{rx})}{(M_{cx})} + \frac{(M_{ry})}{(M_{cy})} \leq 1 \quad M_{cx} = M_{cy} = M_p$$

$$0,45 + 0,89 \times 0,06 + 0,54 \leq 1$$

$$0,99 \leq 1 \text{ OK}$$

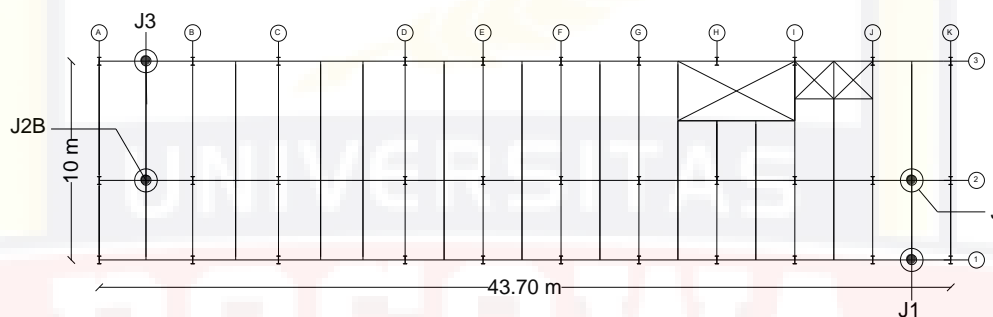
Profil H400x400x13x21 dapat digunakan sebagai kolom pada elemen

131 dilantai dasar.

#### 4.4.3. Perhitungan Sambungan

##### 4.4.3.1. Sambungan Balok Anak Lantai dengan Balok Induk

Sambungan antara balok anak dan balok induk lantai direncanakan dengan baut yang hanya memikul beban geser dari balok anak lantai, sehingga dalam analisa dianggap sebagai sendi.



Gambar 4. 51: Sambungan Balok Anak dan Induk yang ditinjau

- Joint J1 dan J2A.

Berikut adalah data profil yang dipakai dalam perencanaan sambungan balok anak dengan balok induk lantai.

##### Balok Anak Lantai

IWF 250 x 125 x 6 x 9

$$a = 250 \text{ mm} \quad t_w = 6 \text{ mm}$$

$$A = 37,66 \text{ cm}^2 \quad t_f = 9 \text{ mm}$$

$$V_t = 5321,51 \text{ kg}$$

##### Balok Induk Lantai

IWF 300 x 150 x 6,50 x 9

$$a = 300 \text{ mm} \quad t_w = 6,5 \text{ mm}$$

$$A = 46,78 \text{ cm}^2 \quad t_f = 9 \text{ mm}$$

##### Pelat Penyambung

L 60 x 60 x 6

$$t = 6 \text{ mm}$$

$$A = 6,91 \text{ cm}^2$$

Mutu baut = A325 -  $f_{nv} = 3720 \text{ kg/cm}^2$  Tabel J3.2 SNI 1729:2015

Mutu profil = BJ41 -  $f_u = 4100 \text{ kg/cm}^2$

-  $f_y = 2500 \text{ kg/cm}^3$

- Sambungan Pada Badan Balok Anak:

$\varnothing$ baut = 12 mm -  $A_b = 1,13 \text{ cm}^2$

m = 2 (jumlah bidang geser)

$F_{nv}$  = 3720 kg/cm<sup>2</sup> (ulir pada bidang geser)

Kuat geser baut:

$$\begin{aligned}\varnothing.R_n &= \varnothing \times F_{nv} \times A_b \times m \\ &= 0,75 \times 3720 \times 1,13 \times 2\end{aligned}$$

$$= 6307,63 \text{ kg} \quad \text{tidak menentukan}$$

Kuat tumpu baut

$$\begin{aligned}\varnothing.R_n &= \varnothing \times 2,40 \times d_b \times t_p \times f_{up} \times n \\ &= 0,75 \times 2,40 \times 1,20 \times 0,60 \times 4100 \times 1 \\ &= 5313,60 \text{ kg} \quad \text{menentukan}\end{aligned}$$

Jumlah baut

$$\frac{V_u}{\varnothing.R_n} = 1 = 2 \text{ buah}$$

- Sambungan Pada Badan Balok Induk:

$\varnothing$ baut = 12 mm -  $A_b = 1,13 \text{ cm}^2$

m = 1 (jumlah bidang geser)

$F_{nv}$  = 3720 kg/cm<sup>2</sup> (ulir pada bidang geser)

Kuat geser baut:

$$\begin{aligned}\varnothing.R_n &= \varnothing \times F_{nv} \times A_b \times m \\ &= 0,75 \times 3720 \times 1,13 \times 1\end{aligned}$$

$$= 3153,82 \text{ kg} \quad \text{menentukan}$$

Kuat tumpu baut

$$\begin{aligned}\varnothing.R_n &= \varnothing \times 2,40 \times d_b \times t_p \times f_{up} \times n \\ &= 0,75 \times 2,40 \times 1,20 \times 0,60 \times 4100 \times 1 \\ &= 5313,60 \text{ kg} \quad \text{tidak menentukan}\end{aligned}$$

Jumlah baut

$$\frac{V_u}{\emptyset \cdot R_n} = 1,69 = 2 \text{ buah}$$

- Kontrol Jarak Baut

Jarak antar baut = 40

$$3d_b \leq S \leq 15t_p = 36 \leq 40 \leq 90$$

Jarak baut ketepi terbebani = 30 mm

$$1.5d_b \leq S_1 \leq (4t_p + 100) = 18 \leq 30 \leq 124$$

Jarak baut ketepi tidak terbebani = 30 mm

$$1.5d_b \leq S \leq 12t_p = 18 \leq 30 \leq 72$$

Panjang pelat siku

$$(40 \times 1) + (30 \times 2) = 100 \text{ mm}$$

- Kontrol Kekuatan Pelat

Kuat leleh

$$\begin{aligned}\emptyset \cdot R_n &= \emptyset \times A_g \times f_y \\ &= 0,9 \times 6,91 \times 2500 \\ &= 15547,50 \text{ kg}\end{aligned}$$

Kuat putus

$$\emptyset_{\text{baut}} = 12 \text{ mm}$$

$$\emptyset_{\text{lubang}} = 12 + 1,5 = 13,50 \text{ mm}$$

$$\begin{aligned}A_n &= 6,91 - (0 \times 1,35 \times 0,6) \\ &= 6,91 \text{ cm}^2\end{aligned}$$

$$A_n \leq 0,85A_g = 6,91 > 5,87 \quad A_n = 0,85A_g$$

$$U = 1 \quad \text{faktor shear lag}$$

$$A_e = U \times A_n$$

$$= 1 \times 5,87$$

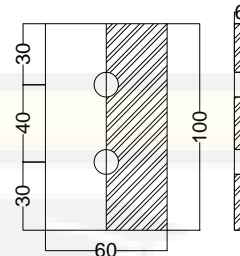
$$= 5,87 \text{ cm}^2$$

$$\emptyset \cdot R_n = \emptyset \times A_e \times f_u$$

$$= 0,75 \times 5,87 \times 4100$$

$$= 18061 \text{ kg}$$

### Kontrol geser



Gambar 4. 52: Bidang Geser pada Bidang Profil L60x60x6

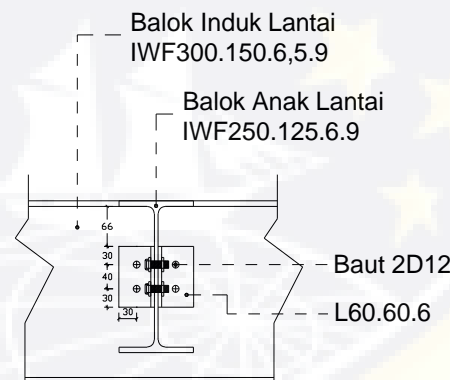
$$\begin{aligned}A_{gv} &= P_{pelat} \times t_{pelat} \\&= 100 \times 6 = 600 \text{ mm}^2\end{aligned}$$

$$\begin{aligned}A_{nv} &= A_{gv} - n_{baut} \times \varnothing_{lubang} \times t_{pelat} \\&= 600 - 2 \times 13,50 \times 6 = 438 \text{ mm}^2 = 4,38 \text{ cm}^2\end{aligned}$$

$$\begin{aligned}\varnothing.R_n &= \varnothing \times 0,60 \times f_u \times A_{nv} \\&= 0,75 \times 0,60 \times 4100 \times 4,38 \\&= 8081,10 \text{ kg}\end{aligned}$$

Digunakan 2 pelat siku

Maka,  $2\varnothing.R_n = 16162,20 \text{ kg} > V_t = 5321,51 \text{ kg}$  **OK**



Potongan B-B Joint 1  
Skala 1 : 10

Gambar 4. 53: Sambungan J1 dan J2A

### b. Joint J2B and J3

Berikut adalah data profil yang dipakai dalam perencanaan sambungan balok anak lantai dengan balok induk lantai

### Balok Anak Lantai

IWF 350 x 175 x 7 x 11

$$a = 350 \text{ mm} \quad t_w = 7 \text{ mm}$$

$$A = 63,14 \text{ cm}^2 \quad t_f = 11 \text{ mm}$$

$$V_u = 9628,9 \text{ kg}$$

### Balok Induk Lantai

IWF 400 x 200 x 8 x 13

$$a = 400 \text{ mm} \quad t_w = 8 \text{ mm}$$

$$A = 84,1 \text{ cm}^2 \quad t_f = 13 \text{ mm}$$

### Pelat Penyambung

$$L = 60 \times 60 \times 6$$

$$t = 6 \text{ mm}$$

$$A = 6,91 \text{ cm}^2$$

Mutu baut = A325 -  $f_{nv} = 3720 \text{ kg/cm}^2$  Tabel J3.2 SNI 1729:2015

Mutu profil = BJ41 -  $f_u = 4100 \text{ kg/cm}^2$

$$- f_y = 2500 \text{ kg/cm}^3$$

- Sambungan Pada Badan Balok Anak:

$$\emptyset \text{ baut} = 12 \text{ mm} \quad - A_b = 1,13 \text{ cm}^2$$

$$m = 2 \quad (\text{jumlah bidang geser})$$

$$F_{nv} = 3720 \text{ kg/cm}^2 \quad (\text{ulir pada bidang geser})$$

Kuat geser baut:

$$\begin{aligned} \emptyset \cdot R_n &= \emptyset \times F_{nv} \times A_b \times m \\ &= 0,75 \times 3720 \times 1,13 \times 2 \\ &= 6307,63 \text{ kg} \quad \text{tidak menentukan} \end{aligned}$$

Kuat tumpu baut

$$\begin{aligned} \emptyset \cdot R_n &= \emptyset \times 2,40 \times d_b \times t_p \times f_{up} \times n \\ &= 0,75 \times 2,40 \times 1,20 \times 0,70 \times 4100 \times 1 \\ &= 6199,20 \text{ kg} \quad \text{menentukan} \end{aligned}$$

Jumlah baut

$$\frac{V_u}{\emptyset \cdot R_n} = 1,55 = 2 \text{ buah}$$

- Sambungan Pada Badan Balok Induk:

$$\emptyset_{\text{baut}} = 12 \text{ mm} - A_b = 1,13 \text{ cm}^2$$

$$m = 1 \quad (\text{jumlah bidang geser})$$

$$F_{nv} = 3720 \text{ kg/cm}^2 \quad (\text{ulir pada bidang geser})$$

Kuat geser baut:

$$\begin{aligned} \emptyset \cdot R_n &= \emptyset \times F_{nv} \times A_b \times m \\ &= 0,75 \times 3720 \times 1,13 \times 1 \\ &= 3153,82 \text{ kg} \quad \text{menentukan} \end{aligned}$$

Kuat tumpu baut

$$\begin{aligned} \emptyset \cdot R_n &= \emptyset \times 2,40 \times d_b \times t_p \times f_{up} \times n \\ &= 0,75 \times 2,40 \times 1,20 \times 0,60 \times 4100 \times 1 \\ &= 5313,60 \text{ kg} \quad \text{tidak menentukan} \end{aligned}$$

Jumlah baut

$$\frac{V_u}{\emptyset \cdot R_n} = 3,05 = 4 \text{ buah}$$

- Kontrol Jarak Baut

$$\text{Jarak antar baut} = 40 \text{ mm}$$

$$3d_b \leq S \leq 15t_p = 36 \leq 40 \leq 90$$

$$\text{Jarak baut ketepi terbebani} = 30 \text{ mm}$$

$$1.5d_b \leq S_1 \leq (4t_p+100) = 18 \leq 30 \leq 124$$

$$\text{Jarak baut ketepi tidak terbebani} = 30 \text{ mm}$$

$$1.5d_b \leq S \leq 12t_p = 18 \leq 30 \leq 72$$

Panjang pelat siku

$$(40 \times 1) + (30 \times 2) = 100 \text{ mm}$$

- Kontrol Kekuatan Pelat

Kuat leleh

$$\begin{aligned}\emptyset R_n &= \emptyset \times A_g \times f_y \\ &= 0,9 \times 6,91 \times 2500 \\ &= 15547,50 \text{ kg}\end{aligned}$$

Kuat putus

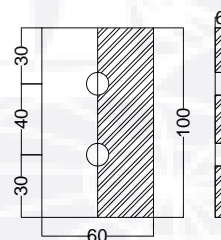
$$\begin{aligned}\emptyset_{\text{baut}} &= 12 \text{ mm} \\ \emptyset_{\text{lubang}} &= 12 + 1,5 = 13,50 \text{ mm} \\ A_n &= 6,91 - (2 \times 1,35 \times 0,60) \\ &= 5,65 \text{ cm}^2\end{aligned}$$

$$A_n \leq 0,85A_g = 5,65 < 5,87 \text{ OK}$$

$$U = 1 \quad \text{faktor shear lag}$$

$$\begin{aligned}A_e &= U \times A_n \\ &= 1 \times 5,65 \\ &= 5,65 \text{ cm}^2 \\ \emptyset R_n &= \emptyset \times A_e \times f_u \\ &= 0,75 \times 5,65 \times 4100 \\ &= 17379,50 \text{ kg}\end{aligned}$$

Kontrol Geser



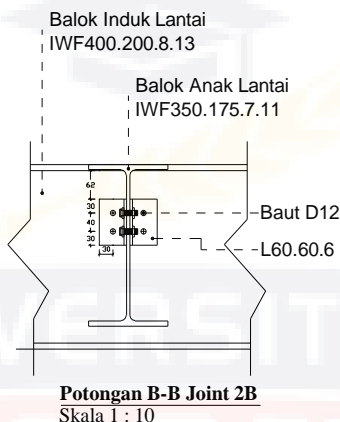
Gambar 4. 54: Bidang Geser pada Bidang Profil L60x60x6

$$\begin{aligned}A_{gv} &= P_{\text{pelat}} \times t_{\text{pelat}} \\ &= 100 \times 6 = 600 \text{ mm}^2 \\ A_{nv} &= A_{gv} - n_{\text{baut}} \times \emptyset_{\text{lubang}} \times t_{\text{pelat}} \\ &= 600 - 2 \times 13,50 \times 6 = 474,19 \text{ mm}^2 = 4,74 \text{ cm}^2\end{aligned}$$

$$\begin{aligned}
 \varnothing.R_n &= \varnothing \times 0.60 \times f_u \times A_{nv} \\
 &= 0,75 \times 0,60 \times 4100 \times 4,74 \\
 &= 8748,75 \quad \text{kg}
 \end{aligned}$$

Digunakan 2 pelat siku

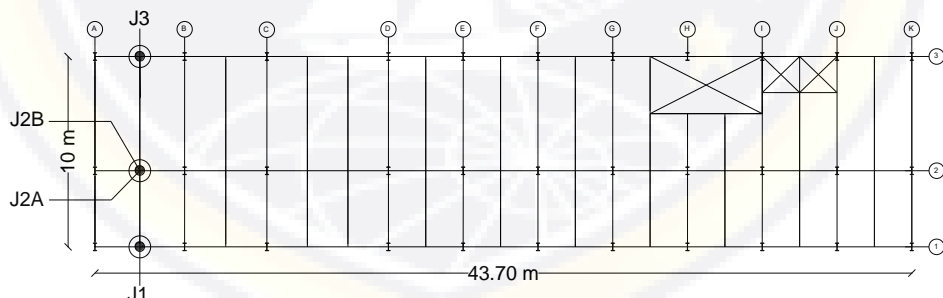
Maka,  $2\varnothing.R_n = 17497,49 \text{ kg} > V_u = 9628,90 \text{ kg}$  **OK**



Gambar 4. 55: Sambungan J2B dan J3

#### 4.4.3.2. Sambungan Balok Anak Atap dengan Balok Induk

Sambungan antara balok anak atap dan balok induk atap direncanakan dengan baut yang hanya memikul beban geser dari balok anak atap, sehingga dalam analisa dianggap sebagai sendi.



Gambar 4. 56: Sambungan Balok Anak Atap yang ditinjau

##### a. Joint J1 dan J2A

Berikut data profil yang dipakai dalam perencanaan sambungan balok anak lantai dengan balok induk atap

### Balok Anak Atap

IWF 150 x 100 x 6 x 9

$$a = 150 \text{ mm} \quad t_w = 6 \text{ mm}$$

$$A = 26,84 \text{ cm}^2 \quad t_f = 9 \text{ mm}$$

$$V_u = 1982,44 \text{ kg}$$

### Balok Induk Atap

IWF 200 x 100 x 5,50 x 8

$$a = 200 \text{ mm} \quad t_w = 5,5 \text{ mm}$$

$$A = 27,16 \text{ cm}^2 \quad t_f = 8 \text{ mm}$$

### Pelat Penyambung

L 60 x 60 x 6

$$t = 6 \text{ mm}$$

$$A = 6,91 \text{ cm}^2$$

Mutu baut = A325 -  $f_{nv} = 3720 \text{ kg/cm}^2$  Tabel J3.2 SNI 1729:2015

Mutu profil = BJ41 -  $f_u = 4100 \text{ kg/cm}^2$

-  $f_y = 2500 \text{ kg/cm}^3$

- Sambungan Pada Badan Balok Anak:

$$\emptyset \text{baut} = 12 \text{ mm} \quad - A_b = 1,13 \text{ cm}^2$$

m = 2 (jumlah bidang geser)

$F_{nv} = 3720 \text{ kg/cm}^2$  (ulir pada bidang geser)

Kuat geser baut:

$$\emptyset \cdot R_n = \emptyset \times F_{nv} \times A_b \times m$$

$$= 0,75 \times 3720 \times 1,13 \times 2$$

$$= 6307,63 \text{ kg} \quad \text{tidak menentukan}$$

Kuat tumpu baut

$$\emptyset \cdot R_n = \emptyset \times 2,40 \times d_b \times t_p \times f_{up} \times n$$

$$= 0,75 \times 2,40 \times 1,20 \times 0,60 \times 4100 \times 1$$

$$= 5313,60 \text{ kg} \quad \text{menentukan}$$

Jumlah baut

$$\frac{V_u}{\emptyset \cdot R_n} = 0,37 = 1 \text{ buah}$$

- Sambungan Pada Badan Balok Induk:

$$\emptyset_{\text{baut}} = 12 \text{ mm} \quad - A_b = 1,13 \text{ cm}^2$$

$$m = 1 \quad (\text{jumlah bidang geser})$$

$$F_{nv} = 3720 \text{ kg/cm}^2 \quad (\text{ulir pada bidang geser})$$

Kuat geser baut:

$$\begin{aligned} \emptyset \cdot R_n &= \emptyset \times F_{nv} \times A_b \times m \\ &= 0,75 \times 3720 \times 1,13 \times 1 \\ &= 3153,82 \text{ kg} \quad \text{menentukan} \end{aligned}$$

Kuat tumpu baut

$$\begin{aligned} \emptyset \cdot R_n &= \emptyset \times 2,40 \times d_b \times t_p \times f_{up} \times n \\ &= 0,75 \times 2,40 \times 1,20 \times 0,55 \times 4100 \times 1 \\ &= 4870,80 \text{ kg} \quad \text{tidak menentukan} \end{aligned}$$

Jumlah baut

$$\frac{V_u}{\emptyset \cdot R_n} = 0,63 = 2 \text{ buah}$$

- Kontrol Jarak Baut

$$\text{Jarak antar baut} = 0$$

$$3d_b \leq S \leq 15t_p = 36 \leq 0 \leq 90$$

$$\text{Jarak baut ketepi terbebani} = 30 \text{ mm}$$

$$1.5d_b \leq S_1 \leq (4t_p+100) = 18 \leq 30 \leq 124$$

$$\text{Jarak baut ketepi tidak terbebani} = 30 \text{ mm}$$

$$1.5d_b \leq S \leq 12t_p = 18 \leq 30 \leq 72$$

Panjang pelat siku

$$(0 \times 1) + (30 \times 2) = 60 \text{ mm}$$

- Kontrol Kekuatan Pelat

Kuat leleh

$$\emptyset \cdot R_n = \emptyset \times A_g \times f_y$$

$$= 0,9 \times 6,91 \times 2500$$

$$= 15547,5 \text{ kg}$$

Kuat putus

$$\varnothing_{\text{baut}} = 12 \text{ mm}$$

$$\varnothing_{\text{lubang}} = 12 + 1,5 = 13,50 \text{ mm}$$

$$A_n = 6,91 - (2 \times 1,35 \times 0,6) \\ = 5,29 \text{ cm}^2$$

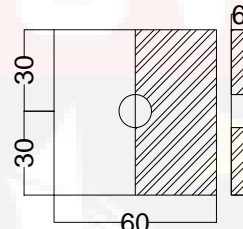
$$A_n \leq 0,85 A_g = 5,29 < 5,87 \text{ OK}$$

$$U = 1 \quad \text{faktor shear lag}$$

$$A_e = U \times A_n \\ = 1 \times 5,29 \\ = 5,29 \text{ cm}^2$$

$$\varnothing.R_n = \varnothing \times A_e \times f_u \\ = 0,75 \times 5,29 \times 4100 \\ = 16266,75 \text{ kg}$$

Kontrol Geser



Gambar 4. 57: Bidang Geser pada Profil L60x60x6

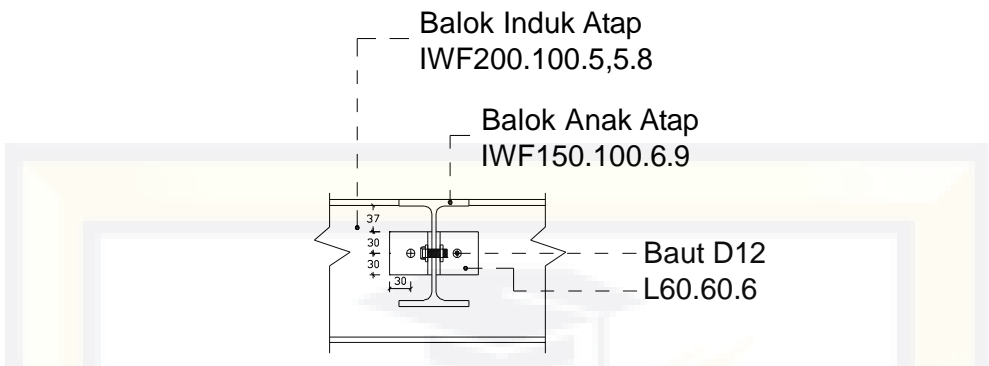
$$A_{gv} = P_{\text{pelat}} \times t_{\text{pelat}} \\ = 60 \times 6 = 360 \text{ mm}^2$$

$$A_{nv} = A_{gv} - n_{\text{baut}} \times \varnothing_{\text{lubang}} \times t_{\text{pelat}} \\ = 360 - 1 \times 13,50 \times 6 = 279,00 \text{ mm}^2 = 2,79 \text{ cm}^2$$

$$\varnothing.R_n = \varnothing \times 0,60 \times f_u \times A_{nv} \\ = 0,75 \times 0,60 \times 4100 \times 3 \\ = 5147,55 \text{ kg}$$

Digunakan 2 pelat siku

$$\text{Maka, } 2\varnothing.R_n = 10295,10 \text{ kg} > V_c = 1982,44 \text{ kg} \text{ OK}$$



Gambar 4. 58: Sambungan J1 dan J2A

b. Joint J2B dan J3

Berikut adalah data profil yang dipakai dalam perencanaan sambungan balok anak lantai dengan balok induk lantai

Balok Anak Atap

IWF 300 x 150 x 6,5 x 9

$$a = 300 \text{ mm} \quad t_w = 6,5 \text{ mm}$$

$$A = 63,14 \text{ cm}^2 \quad t_f = 9 \text{ mm}$$

$$V_t = 4272,02 \text{ kg}$$

Balok Induk Atap

IWF 350 x 175 x 7 x 11

$$a = 350 \text{ mm} \quad t_w = 7 \text{ mm}$$

$$A = 63,14 \text{ cm}^2 \quad t_f = 11 \text{ mm}$$

Pelat Penyambung

L 60 x 60 x 6

$$t = 6 \text{ mm}$$

$$A = 6,91 \text{ cm}^2$$

$$\text{Mutu baut} = A325 - f_{nv} = 3720 \text{ kg/cm}^2 \quad \text{Tabel J3.2 SNI 1729:2015}$$

$$\text{Mutu profil} = \text{BJ41} - f_u = 4100 \text{ kg/cm}^2$$

$$- f_y = 2500 \text{ kg/cm}^3$$

- Sambungan Pada Badan Balok Anak:

$$\text{Øbaut} = 12 \text{ mm} \quad - A_b = 1,13 \text{ cm}^2$$

$$m = 2 \quad (\text{jumlah bidang geser})$$

$$F_{nv} = 3720 \text{ kg/cm}^2 \quad (\text{ulir pada bidang geser})$$

Kuat geser baut:

$$\varnothing.R_n = \varnothing \times F_{nv} \times A_b \times m$$

$$= 0,75 \times 3720 \times 1,13 \times 2$$

$$= 6307,63 \text{ kg} \quad \text{tidak menentukan}$$

Kuat tumpu baut

$$\varnothing.R_n = \varnothing \times 2,40 \times d_b \times t_p \times f_{up}$$

$$= 0,75 \times 2,40 \times 1,20 \times 0,65 \times 4100 \times 1$$

$$= 5756,40 \text{ kg} \quad \text{menentukan}$$

Jumlah baut

$$\frac{V_u}{\varnothing.R_n} = 0,74 = 1 \text{ buah}$$

- Sambungan Pada Badan Balok Induk:

$$\text{Øbaut} = 12 \text{ mm} \quad - A_b = 1,13 \text{ cm}^2$$

$$m = 1 \quad (\text{jumlah bidang geser})$$

$$F_{nv} = 3720 \text{ kg/cm}^2 \quad (\text{ulir pada bidang geser})$$

Kuat geser baut:

$$\varnothing.R_n = \varnothing \times F_{nv} \times A_b \times m$$

$$= 0,75 \times 3720 \times 1,13 \times 1$$

$$= 3153,82 \text{ kg} \quad \text{menentukan}$$

Kuat tumpu baut

$$\varnothing.R_n = \varnothing \times 2,40 \times d_b \times t_p \times f_{up} \times n$$

$$= 0,75 \times 2,40 \times 1,20 \times 0,60 \times 4100 \times 1$$

$$= 5313,60 \text{ kg} \quad \text{tidak menentukan}$$

Jumlah baut

$$\frac{V_u}{\varnothing.R_n} = 1,35 = 2 \text{ buah}$$

- Kontrol Jarak Baut

Jarak antar baut = 0 mm

$$3d_b \leq S \leq 15t_p = 36 \leq 0 \leq 90$$

Jarak baut ketepi terbebani = 30 mm

$$1.5d_b \leq S_1 \leq (4t_p+100) = 18 \leq 30 \leq 124$$

Jarak baut ketepi tidak terbebani = 30 mm

$$1.5d_b \leq S \leq 12t_p = 18 \leq 30 \leq 72$$

Panjang pelat siku

$$(0 \times 1) + (30 \times 2) = 60 \text{ mm}$$

- Kontrol Kekuatan Pelat

Kuat leleh

$$\emptyset R_n = \emptyset \times A_g \times f_y$$

$$= 0,9 \times 6,91 \times 2500$$

$$= 15547,5 \text{ kg}$$

Kuat putus

$$\emptyset_{baut} = 12 \text{ mm}$$

$$\emptyset_{lubang} = 12 + 1,5 = 13,50 \text{ mm}$$

$$A_n = 6,91 - (2 \times 1,35 \times 0,6)$$

$$= 5,29 \text{ cm}^2$$

$$A_n \leq 0,85A_g = 5,29 < 5,87 \text{ OK}$$

$$U = 1 \text{ faktor shear lag}$$

$$A_e = U \times A_n$$

$$= 1 \times 5,29$$

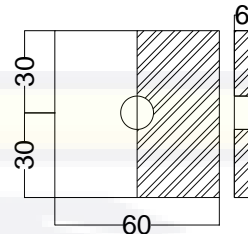
$$= 5,29 \text{ cm}^2$$

$$\emptyset R_n = \emptyset \times A_e \times f_u$$

$$= 0,75 \times 5,29 \times 4100$$

$$= 16266,75 \text{ kg}$$

### Kontrol geser

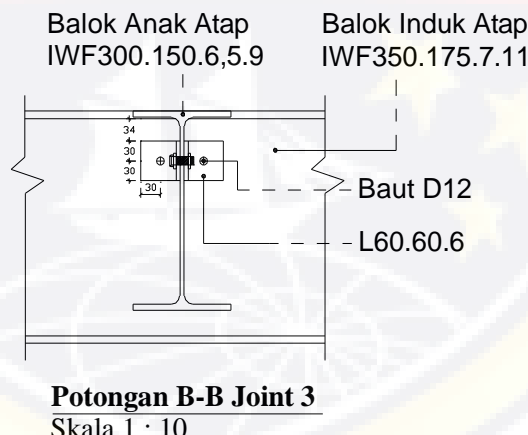


Gambar 4. 59: Bidang Geser pada Profil L60x60x6

$$\begin{aligned}
 A_{gv} &= P_{pelat} \times t_{pelat} \\
 &= 60 \times 6 = 360 \text{ mm}^2 \\
 A_{nv} &= A_{gv} - n_{baut} \times \varnothing_{lubang} \times t_{pelat} \\
 &= 360 - 1 \times 13,50 \times 6 = 299,89 \text{ mm}^2 = 3,00 \text{ cm}^2 \\
 \varnothing.R_n &= \varnothing \times 0,60 \times f_u \times A_{nv} \\
 &= 0,75 \times 0,60 \times 4100 \times 3,00 \\
 &= 5532,92 \text{ kg}
 \end{aligned}$$

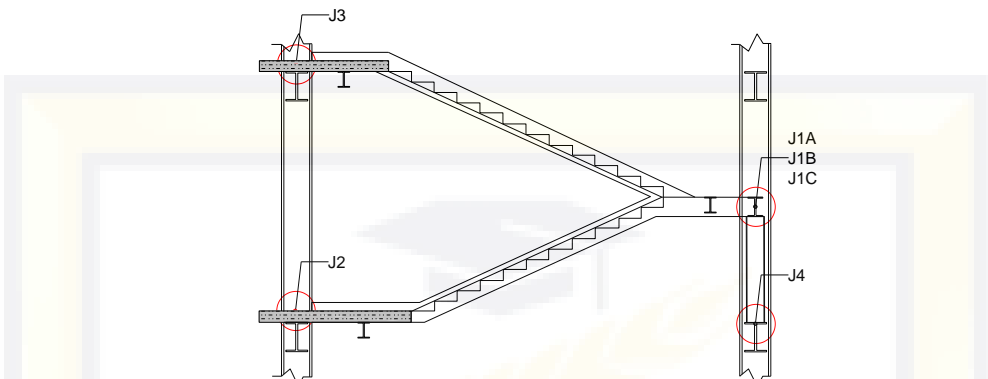
Digunakan 2 pelat siku

Maka,  $2\varnothing.R_n = 11065,84 \text{ kg} > V_t = 4272,02 \text{ kg}$  **OK**



Gambar 4. 60: Sambungan J2B dan J3

#### 4.4.3.3. Sambungan Tangga



Gambar 4. 61: Sambungan Tangga yang Ditinjau

- Joint J1A (Balok Utama Tangga dengan Balok Penumpu Tangga)

Sambungan antara balok utama tangga dan balok penumpu tangga direncanakan dengan baut yang hanya memikul beban geser dari balok utama tangga, sehingga dalam analisa dianggap sebagai sendi. Berikut adalah data profil yang dipakai dalam perencanaan sambungan balok utama tangga dengan balok penumpu tangga :

##### Balok Utama Tangga

IWF 250 x 125 x 6 x 9

$$a = 250 \text{ mm} \quad t_w = 6 \text{ mm}$$

$$A = 37.66 \text{ cm}^2 \quad t_f = 9 \text{ mm}$$

$$V_u = 2533.97 \text{ kg}$$

##### Balok Penumpu Tangga

IWF 250 x 125 x 6 x 9

$$a = 250 \text{ mm} \quad t_w = 6 \text{ mm}$$

$$A = 37.66 \text{ cm}^2 \quad t_f = 9 \text{ mm}$$

##### Pelat Penyambung

$$L = 60 \text{ x } 60 \text{ x } 6$$

$$t = 6 \text{ mm}$$

$$A = 6.91 \text{ cm}^2$$

Mutu baut	= A325	- $f_u$	= 8250	$\text{kg/cm}^2$
Mutu profil	= BJ41	- $f_u$	= 4100	$\text{kg/cm}^2$
		- $f_y$	= 2500	$\text{kg/cm}^3$

- Sambungan Pada Badan Balok Utama Tangga:

$$\emptyset_{\text{baut}} = 12 \text{ mm} \quad - A_b = 1.13 \text{ cm}^2$$

$$m = 2 \quad (\text{jumlah bidang geser})$$

$$r_1 = 0.50 \quad (\text{ulir tidak pada bidang geser})$$

Kuat geser baut:

$$\begin{aligned} \emptyset \cdot V_n &= \emptyset \times r_1 \times f_{ub} \times m \times A_b \\ &= 0.75 \times 0.50 \times 8250 \times 2 \times 1.13 \\ &= 6994.35 \text{ kg} \quad \text{tidak menentukan} \end{aligned}$$

Kuat tumpu baut

$$\begin{aligned} \emptyset \cdot R_n &= \emptyset \times 2.40 \times d_b \times t_p \times f_{up} \\ &= 0.75 \times 2.40 \times 1.20 \times 0.60 \times 4100 \\ &= 5313.60 \text{ kg} \quad \text{menentukan} \end{aligned}$$

Jumlah baut

$$\frac{V_u}{\emptyset \cdot R_n} = 0.48 = 1 \text{ buah}$$

- Sambungan Pada Badan Balok Penumpu Tangga:

$$\emptyset_{\text{baut}} = 12 \text{ mm} \quad - A_b = 1.13 \text{ cm}^2$$

$$m = 2 \quad (\text{jumlah bidang geser})$$

$$r_1 = 0.50 \quad (\text{ulir tidak pada bidang geser})$$

Kuat geser baut:

$$\begin{aligned} \emptyset \cdot V_n &= \emptyset \times r_1 \times f_{ub} \times m \times A_b \\ &= 0.75 \times 0.50 \times 8250 \times 2 \times 1.13 \\ &= 6994.35 \text{ kg} \quad \text{tidak menentukan} \end{aligned}$$

Kuat tumpu baut

$$\begin{aligned} \emptyset \cdot R_n &= \emptyset \times 2.40 \times d_b \times t_p \times f_{up} \\ &= 0.75 \times 2.40 \times 1.20 \times 0.60 \times 4100 \\ &= 5313.60 \text{ kg} \quad \text{menentukan} \end{aligned}$$

Jumlah baut

$$\frac{V_u}{\emptyset \cdot R_n} = 0.48 = 1 \text{ buah}$$

- Kontrol Jarak Baut

$$\text{Jarak antar baut} = 0$$

$$3d_b \leq S \leq 15t_p = 36 \leq 0 \leq 90$$

$$\text{Jarak baut ketepi terbebani} = 30 \text{ mm}$$

$$1.5d_b \leq S_1 \leq (4t_p + 100) = 18 \leq 30 \leq 124$$

$$\text{Jarak baut ketepi tidak terbebani} = 30 \text{ mm}$$

$$1.5d_b \leq S \leq 12t_p = 18 \leq 30 \leq 72$$

Panjang pelat siku

$$(0 \times 1) + (30 \times 2) = 60 \text{ mm}$$

- Kontrol Kekuatan Pelat

Kuat leleh

$$\begin{aligned}\emptyset \cdot R_n &= \emptyset \times A_g \times f_y \\ &= 0.9 \times 6.91 \times 2500 \\ &= 15547.5 \text{ kg}\end{aligned}$$

Kuat putus

$$\emptyset_{\text{baut}} = 12 \text{ mm}$$

$$\emptyset_{\text{lubang}} = 12 + 1.5 = 13.50 \text{ mm}$$

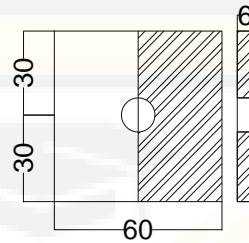
$$\begin{aligned}A_n &= 6.91 - (2 \times 1.35 \times 0.6) \\ &= 5.29 \text{ cm}^2\end{aligned}$$

$$U = 1 \quad \text{faktor shear lag}$$

$$\begin{aligned}A_e &= U \times A_n \\ &= 1 \times 5.29 \\ &= 5.29 \text{ cm}^2\end{aligned}$$

$$\begin{aligned}\emptyset \cdot R_n &= \emptyset \times A_e \times f_u \\ &= 0.9 \times 5.29 \times 4100 \\ &= 19520.1 \text{ kg}\end{aligned}$$

## Kontrol geser



Gambar 4. 62: Bidang Geser pada Profil L60x60x6

$$A_{gv} = P_{pelat} \times t_{pelat}$$

$$= 60 \times 6 = 360 \text{ mm}^2$$

$$A_{nv} = A_{gv} - n_{baut} \times \varnothing_{lubang} \times t_{pelat}$$

$$= 360 - 1 \times 13.50 \times 6 = 279.00 \text{ mm}^2$$

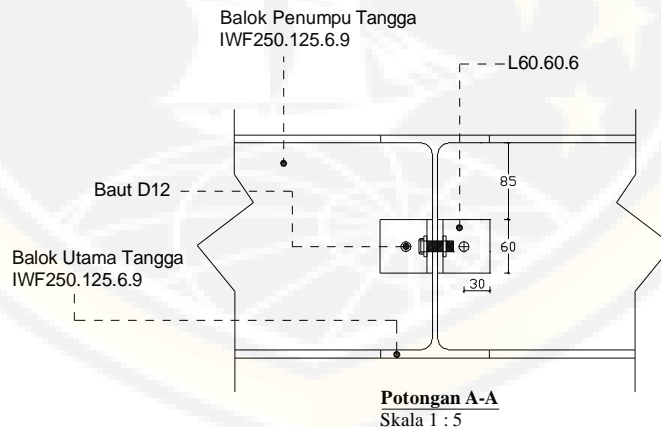
$$\varnothing.R_n = \varnothing \times 0.60 \times f_u \times A_{nv}$$

$$= 0.75 \times 0.60 \times 4100 \times 279.00$$

$$= 514755.00 \text{ kg}$$

Digunakan 2 pelat siku

Maka,  $2\varnothing.R_n = 31095.00 \text{ kg} > V_u = 2533.97 \text{ kg}$  OK



Gambar 4. 63: Sambungan J1A

b. Joint J1B dan J1C (Balok Penumpu Tangga dengan Kolom)

Sambungan antara balok penumpu tangga dan kolom direncanakan dengan baut dan las yang hanya memikul beban geser dari balok penumpu tangga, sehingga dalam analisa dianggap sebagai sendi.

Berikut adalah data profil yang dipakai dalam perencanaan sambungan balok utama tangga dengan balok penumpu tangga :

Balok Penumpu Tangga

IWF 250 x 125 x 6 x 9

$$a = 250 \text{ mm} \quad t_w = 6 \text{ mm}$$

$$A = 37,66 \text{ cm}^2 \quad t_f = 9 \text{ mm}$$

$$V_u = 5281,33 \text{ kg}$$

Kolom

IWF 400 x 400 x 13 x 21

$$a = 400 \text{ mm} \quad t_w = 13 \text{ mm}$$

$$A = 218,70 \text{ cm}^2 \quad t_f = 21 \text{ mm}$$

Pelat Penyambung

L 60 x 60 x 6

$$t = 6 \text{ mm}$$

$$A = 6,91 \text{ cm}^2$$

Mutu baut = A325 -  $f_{nv} = 3720 \text{ kg/cm}^2$  Tabel J3.2 SNI 1729:2015

Mutu profil = BJ41 -  $f_u = 4100 \text{ kg/cm}^2$

$$- f_y = 2500 \text{ kg/cm}^3$$

- Sambungan Pada Badan Balok Penumpu Tangga:

$$\varnothing \text{baut} = 12 \text{ mm} \quad - A_b = 1,13 \text{ cm}^2$$

$$m = 2 \quad (\text{jumlah bidang geser})$$

$$F_{nv} = 3720 \text{ kg/cm}^2 \quad (\text{ulir pada bidang geser})$$

Kuat geser baut:

$$\varnothing \cdot R_n = \varnothing \times F_{nv} \times A_b \times m$$

$$= 0,75 \times 3720 \times 1,13 \times 2$$

$$= 6307,63 \text{ kg} \quad \text{tidak menentukan}$$

Kuat tumpu baut

$$\begin{aligned}\emptyset \cdot R_n &= \emptyset \times 2,40 \times d_b \times t_p \times f_{up} \times n \\ &= 0,75 \times 2,40 \times 1,20 \times 0,60 \times 4100 \times 1 \\ &= 5313,60 \text{ kg} \quad \text{menentukan}\end{aligned}$$

Jumlah baut

$$\frac{V_u}{\emptyset \cdot R_n} = 0,99 = 1 \text{ buah}$$

- Kontrol Jarak Baut

$$\text{Jarak antar baut} = 0$$

$$3d_b \leq S \leq 15t_p = 36 \leq 0 \leq 90$$

$$\text{Jarak baut ketepi terbebani} = 30 \text{ mm}$$

$$1.5d_b \leq S_1 \leq (4t_p + 100) = 18 \leq 30 \leq 124$$

$$\text{Jarak baut ketepi tidak terbebani} = 30 \text{ mm}$$

$$1.5d_b \leq S \leq 12t_p = 18 \leq 30 \leq 72$$

Panjang pelat siku

$$(0 \times 0) + (30 \times 2) = 60 \text{ mm}$$

- Kontrol Kekuatan Pelat

Kuat leleh

$$\begin{aligned}\emptyset \cdot R_n &= \emptyset \times A_g \times f_y \\ &= 0,9 \times 6,91 \times 2500 \\ &= 15547,5 \text{ kg}\end{aligned}$$

Kuat putus

$$\emptyset_{\text{baut}} = 12 \text{ mm}$$

$$\emptyset_{\text{lubang}} = 12 + 1,5 = 13,50 \text{ mm}$$

$$\begin{aligned}A_n &= 6,91 - (1 \times 1,35 \times 0,6) \\ &= 6,10 \text{ cm}^2\end{aligned}$$

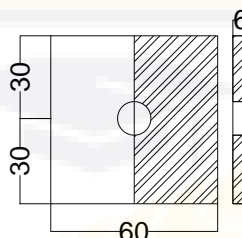
$$A_n \leq 0,85A_g = 6,10 > 5,87 \quad A_n = 0,85A_g$$

$$U = 1 \quad \text{faktor shear lag}$$

$$\begin{aligned}A_e &= U \times A_n \\ &= 1 \times 5,87 \\ &= 5,87 \text{ cm}^2\end{aligned}$$

$$\begin{aligned}
 \varnothing.R_n &= \varnothing \times A_e \times f_u \\
 &= 0,75 \times 5,87 \times 4100 \\
 &= 18061 \quad \text{kg}
 \end{aligned}$$

Kontrol Geser



Gambar 4. 64: Bidang Geser pada Profil L60x60x6

$$\begin{aligned}
 A_{gv} &= P_{pelat} \times t_{pelat} \\
 &= 60 \times 6 = 360 \text{ mm}^2 \\
 A_{nv} &= A_{gv} - n_{baut} \times \varnothing_{lubang} \times t_{pelat} \\
 &= 360 - 1 \times 13,50 \times 6 = 279,00 \text{ mm}^2 = 2,79 \text{ cm}^2 \\
 \varnothing.R_n &= \varnothing \times 0,60 \times f_u \times A_{nv} \\
 &= 0,75 \times 0,60 \times 4100 \times 2,79 \\
 &= 5147,55 \quad \text{kg}
 \end{aligned}$$

Digunakan 2 pelat siku

Maka,  $2\varnothing.R_n = 10295,10 \text{ kg} > V_u = 5281,33 \text{ kg}$  **OK**

- Sambungan Las Pada Kolom Dengan Pelat:

$$\begin{aligned}
 V_u &= 5281,33 \text{ kg} \\
 d_{plat} &= 60 \text{ mm} \\
 \text{Mutu las} &= F_{E70XX} = 70 \times 70,30 = 4921 \text{ kg/cm}^2
 \end{aligned}$$

$$\text{Misal } t_e = 1 \text{ cm}$$

$$\begin{aligned}
 A_{las} &= 2 \times (1 \times 6) = 12 \text{ cm}^2 \\
 I_x &= \frac{(12)^3}{12} = 144 \text{ cm}^4
 \end{aligned}$$

$$\begin{aligned}
 F_{U_{las}} &= \varnothing \times 0,60 \times F_{E70XX} \times t_e \\
 &= 0,75 \times 0,60 \times 4921 \times 1 \\
 &= 2214,45 \text{ kg/cm}^2
 \end{aligned}$$

$$\begin{aligned}
 \varnothing.R_n &= F_{U_{las}} \times A_{las} > V_u \\
 &= 2214,45 \times 12 > V_u \\
 &= 26573,40 \text{ kg} > 5281,33 \text{ kg} \quad \mathbf{OK}
 \end{aligned}$$

Akibat  $V_u$

$$f_{\text{total}} = f_v = \frac{V_u}{A_{\text{las}}} = \frac{5281,33}{12} = 440,11 \text{ kg/cm}^2$$

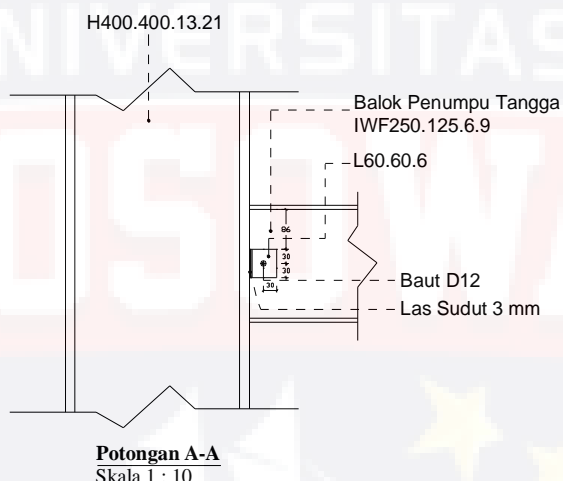
$$t_e = \frac{f_{\text{total}}}{f_{u_{\text{las}}}} = \frac{440,11}{2214,45} = 0,20 \text{ cm}$$

$$a = \frac{t_e}{0,707} = \frac{0,20}{0,707} = 0,28 \text{ cm}$$

Persyaratan ukuran min las sudut berdasarkan tabel J2.4 SNI 1729:2015

$t_{\text{plat}} = 6 \text{ mm}$      $t < 6 \text{ mm}$ ,  $a_{\text{min}} = 3 \text{ mm}$

Digunakan las sudut dengan  $a = 0,30 \text{ cm}$



Gambar 4. 65: Sambungan J1B dan J1C

- c. Joint J2 dan J3 (Balok Utama Tangga dengan Balok Anak Lantai)

Sambungan antara balok utama tangga dan balok anak lantai direncanakan dengan las yang hanya memikul beban geser dari balok utama tangga, sehingga dalam analisa dianggap sebagai sendi.

Berikut adalah data profil yang dipakai dalam perencanaan sambungan balok utama tangga dengan balok anak lantai :

### Balok Utama Tangga

IWF 250 x 125 x 6 x 9

$$a = 250 \text{ mm} \quad t_w = 6 \text{ mm}$$

$$A = 37,66 \text{ cm}^2 \quad t_f = 9 \text{ mm}$$

$$V_u = 2533,97 \text{ kg}$$

### Balok Anak Lantai

IWF 350 x 175 x 7 x 11

$$a = 350 \text{ mm} \quad t_w = 7 \text{ mm}$$

$$A = 63,14 \text{ cm}^2 \quad t_f = 11 \text{ mm}$$

- Sambungan Las Pada Balok Anak Lantai Dengan Balok Utama Tangga:

$$V_u = 2533,97 \text{ kg}$$

$$d_{plat} = 175 \text{ mm}$$

$$\text{Mutu las} = F_{E70XX} = 70 \times 70,30 = 4921 \text{ kg/cm}^2$$

$$\text{Misal } t_e = 1 \text{ cm}$$

$$A_{las} = 2 \times (1 \times 17,5) = 35 \text{ cm}^2$$

$$I_x = \frac{(35)^3}{12} = 3573 \text{ cm}^4$$

$$\begin{aligned} F_{u_{las}} &= \emptyset \times 0,60 \times F_{E70XX} \times t_e \\ &= 0,75 \times 0,60 \times 4921 \times 1 \\ &= 2214,45 \text{ kg/cm}^2 \end{aligned}$$

$$\begin{aligned} \emptyset \cdot R_n &= F_{u_{las}} \times A_{las} > V_u \\ &= 2214,45 \times 35 > V_u \\ &= 77505,75 \text{ kg} > 2533,97 \text{ kg} \quad \text{OK} \end{aligned}$$

Akibat  $V_u$

$$f_{total} = f_v = \frac{V_u}{A_{las}} = \frac{2533,97}{35} = 72,40 \text{ kg/cm}^2$$

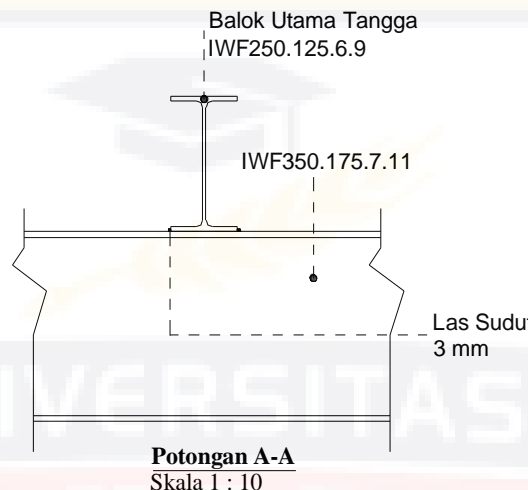
$$t_e = \frac{f_{total}}{f_{u_{las}}} = \frac{72,40}{2214,45} = 0,03 \text{ cm}$$

$$a = \frac{t_e}{0,707} = \frac{0,03}{0,707} = 0,05 \text{ cm}$$

Persyaratan ukuran min las sudut berdasarkan tabel J2.4 SNI 1729:2015

$$t_{plat} = 9 \text{ mm} \quad 6 < t < 13 \text{ mm}, \quad a_{min} = 5 \text{ mm}$$

Digunakan las sudut dengan  $a = 0,50 \text{ cm}$



Gambar 4. 66: Sambungan J2 dan J3

- d. Joint J4 (Kolom Penumpu Tangga dengan Balok Induk Lantai)

Sambungan antara kolom penumpu tangga dan balok induk lantai direncanakan dengan las yang hanya memikul beban geser dari kolom penumpu tangga, sehingga dalam analisa dianggap sebagai sendi. Berikut adalah data profil yang dipakai dalam perencanaan sambungan kolom penumpu tangga dengan balok induk lantai :

#### Kolom Penumpu Tangga

IWF 150 x 100 x 6 x 9

$$a = 150 \text{ mm} \quad t_w = 6 \text{ mm}$$

$$A = 37,66 \text{ cm}^2 \quad t_f = 9 \text{ mm}$$

$$V_u = 5281,33 \text{ kg}$$

#### Balok Induk Lantai

IWF 400 x 200 x 8 x 13

$$a = 400 \text{ mm} \quad t_w = 8 \text{ mm}$$

$$A = 84,10 \text{ cm}^2 \quad t_f = 13 \text{ mm}$$

### Pelat Penyambung

$$L = 60 \times 60 \times 6$$

$$t = 6 \text{ mm}$$

$$A = 6,91 \text{ cm}^2$$

Mutu baut = A325 -  $f_{nv} = 3720 \text{ kg/cm}^2$  Tabel J3.2 SNI 1729:2015

Mutu profil = BJ41 -  $f_u = 4100 \text{ kg/cm}^2$

-  $f_y = 2500 \text{ kg/cm}^3$

- Sambungan Pada Badan Kolom Penumpu Tangga:

$$\varnothing \text{baut} = 12 \text{ mm} - A_b = 1,13 \text{ cm}^2$$

$$m = 2 \quad (\text{jumlah bidang geser})$$

$$F_{nv} = 3720 \text{ kg/cm}^2 \quad (\text{ulir pada bidang geser})$$

Kuat geser baut:

$$\varnothing \cdot R_n = \varnothing \times F_{nv} \times A_b \times m$$

$$= 0,75 \times 3720 \times 1,13 \times 2$$

$$= 6307,63 \text{ kg} \quad \text{tidak menentukan}$$

Kuat tumpu baut

$$\varnothing \cdot R_n = \varnothing \times 2,40 \times d_b \times t_p \times f_{up} \times n$$

$$= 0,75 \times 2,40 \times 1,20 \times 0,60 \times 4100 \times 1$$

$$= 5313,60 \text{ kg} \quad \text{menentukan}$$

Jumlah baut

$$\frac{V_u}{\varnothing \cdot R_n} = 0,99 = 1 \text{ buah}$$

- Kontrol Jarak Baut

$$\text{Jarak antar baut} = 0$$

$$3d_b \leq S \leq 15t_p = 36 \leq 0 \leq 90$$

$$\text{Jarak baut ketepi terbebani} = 30 \text{ mm}$$

$$1.5d_b \leq S_1 \leq (4t_p + 100) = 18 \leq 30 \leq 124$$

$$\text{Jarak baut ketepi tidak terbebani} = 30 \text{ mm}$$

$$1.5d_b \leq S \leq 12t_p = 18 \leq 30 \leq 72$$

Panjang pelat siku

$$(0 \times 0) + (30 \times 2) = 60 \text{ mm}$$

- Kontrol Kekuatan Pelat

Kuat leleh

$$\begin{aligned}\emptyset \cdot R_n &= \emptyset \times A_g \times f_y \\ &= 0,9 \times 6,91 \times 2500 \\ &= 15547,50 \text{ kg}\end{aligned}$$

Kuat putus

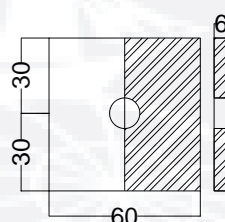
$$\begin{aligned}\emptyset_{\text{baut}} &= 12 \text{ mm} \\ \emptyset_{\text{lubang}} &= 12 + 1,5 = 13,50 \text{ mm} \\ A_n &= 6,91 - (1 \times 1,35 \times 0,6) \\ &= 6,10 \text{ cm}^2\end{aligned}$$

$$A_n \leq 0,85A_g = 6,10 > 5,87 \quad A_n = 0,85A_g$$

$$U = 1 \quad \text{faktor shear lag}$$

$$\begin{aligned}A_e &= U \times A_n \\ &= 1 \times 5,87 \\ &= 5,87 \text{ cm}^2 \\ \emptyset \cdot R_n &= \emptyset \times A_e \times f_u \\ &= 0,75 \times 5,87 \times 4100 \\ &= 18061,01 \text{ kg}\end{aligned}$$

Kontrol geser



Gambar 4. 67: Bidang Geser pada Profil L60x60x6

$$\begin{aligned}A_{gv} &= P_{\text{pelat}} \times t_{\text{pelat}} \\ &= 60 \times 6 = 360 \text{ mm}^2\end{aligned}$$

$$\begin{aligned}A_{nv} &= A_{gv} - n_{\text{baut}} \times \emptyset_{\text{lubang}} \times t_{\text{pelat}} \\ &= 360 - 1 \times 13,50 \times 6 = 279,00 \text{ mm}^2 = 2,79 \text{ cm}^2\end{aligned}$$

$$\begin{aligned}\emptyset \cdot R_n &= \emptyset \times 0,60 \times f_u \times A_{nv} \\ &= 0,75 \times 0,60 \times 4100 \times 2,79 \\ &= 5147,55 \text{ kg}\end{aligned}$$

Digunakan 2 pelat siku

$$\text{Maka, } 2\emptyset \cdot R_n = 10295,10 \text{ kg} > V_u = 5281,33 \text{ kg} \quad \text{OK}$$

- Sambungan Las Pada Balok Induk Lantai Dengan Pelat:

$$V_u = 5281,33 \text{ kg}$$

$$d_{plat} = 60 \text{ mm}$$

$$\text{Mutu las} = F_{E70XX} = 70 \times 70,30 = 4921 \text{ kg/cm}^2$$

$$\text{Misal } t_e = 1 \text{ cm}$$

$$A_{las} = 2 \times (1 \times 6) = 12 \text{ cm}^2$$

$$I_x = \frac{(12)^3}{12} = 144 \text{ cm}^4$$

$$\begin{aligned}F_{u_{las}} &= \emptyset \times 0,60 \times F_{E70XX} \times t_e \\ &= 0,75 \times 0,60 \times 4921 \times 1 \\ &= 2214,45 \text{ kg/cm}^2\end{aligned}$$

$$\begin{aligned}\emptyset \cdot R_n &= F_{u_{las}} \times A_{las} > V_u \\ &= 2214,45 \times 12 > V_u \\ &= 26573,40 \text{ kg} > 5281,33 \text{ kg} \quad \text{OK}\end{aligned}$$

Akibat  $V_u$

$$f_{total} = f_v = \frac{V_u}{A_{las}} = \frac{5281,33}{12} = 440,11 \text{ kg/cm}^2$$

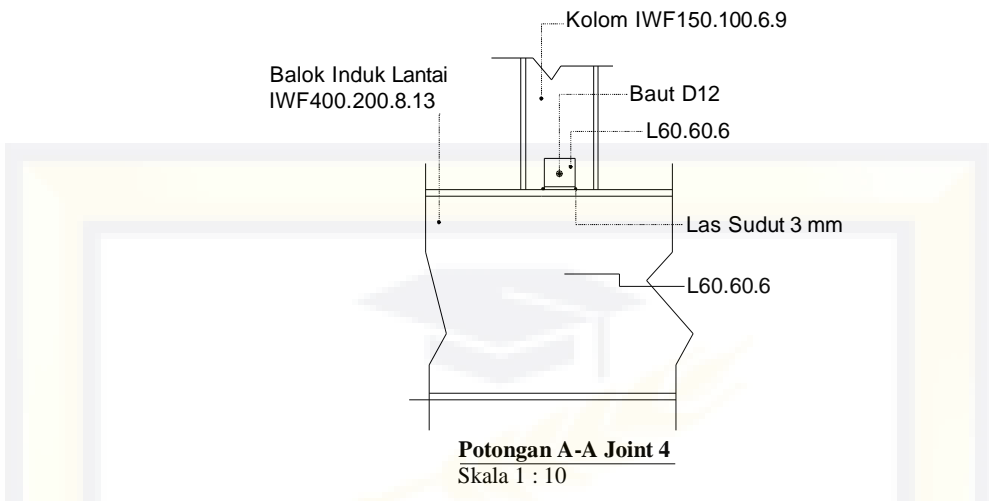
$$t_e = \frac{f_{total}}{f_{u_{las}}} = \frac{440,11}{2214,45} = 0,20 \text{ cm}$$

$$a = \frac{t_e}{0,707} = \frac{0,20}{0,707} = 0,28 \text{ cm}$$

Persyaratan ukuran minimum las sudut berdasarkan tabel J2.4 SNI 1729:2015

$$t_{plat} = 6 \text{ mm} \quad t < 6 \text{ mm}, \quad a_{min} = 3 \text{ mm}$$

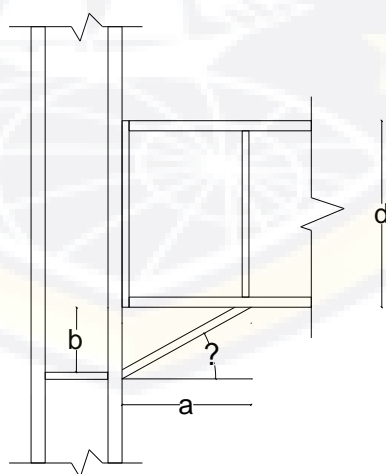
Digunakan las sudut dengan  $a = 0,30 \text{ cm}$



Gambar 4. 68: Sambungan J4

#### 4.4.3.4. Sambungan Balok Induk dengan Kolom

Sambungan balok induk dengan kolom direncanakan menggunakan sambungan baut dan las yang memikul beban geser dan momen yang terjadi pada balok induk. Perencanaan sambungan ini dianggap sebagai jepit (*rigid connection*). Sambungan balok induk menggunakan *end-plate* dengan menambahkan potongan profil sama berbentuk segitiga (*haunch*) yang dilas pada bagian bawah profil balok.



Gambar 4. 69: Desain Geometris Haunch

Keterangan :

D = Tinggi profil balok

A = Panjang rencana haunch ( $a = 0,6d$ )

$\Theta$  = Sudut rencana haunch ( $\theta = 30^\circ \pm 5^\circ$ )

B = Tinggi rencana haunch ( $b = a \tan \theta$ )

Berikut ini adalah data profil yang dipakai dalam perencanaan sambungan balok induk lantai dengan kolom:

Balok Induk Melintang

IWF 400 x 200 x 8 x 13

$a = 400 \text{ mm}$     $t_w = 8 \text{ mm}$     $l_y = 4,54 \text{ cm}$

$A = 84,1 \text{ cm}^2$     $t_f = 13 \text{ mm}$     $Z_x = 1285,95 \text{ cm}^3$

$V_u = 15506,22 \text{ kg}$     $L = 600 \text{ cm}$

Kolom

IWF 400 x 400 x 13 x 21

$a = 400 \text{ mm}$     $t_w = 13 \text{ mm}$

$A = 218,70 \text{ cm}^2$     $t_f = 21 \text{ mm}$

Pelat Penyambung

$t = 8 \text{ mm}$

$A = 15,36 \text{ cm}^2$

Mutu baut = A325 -  $f_{nv} = 3720 \text{ kg/cm}^2$  Tabel J3.2 SNI 1729:2015

-  $f_{ub} = 8250 \text{ kg/cm}^2$

Mutu profil = BJ41 -  $f_u = 4100 \text{ kg/cm}^2$

-  $f_y = 2500 \text{ kg/cm}^3$

Mutu pelat = BJ41 -  $f_u = 4100 \text{ kg/cm}^2$

-  $f_y = 2500 \text{ kg/cm}^3$

Mutu las = FE<sub>70xx</sub> =  $70 \times 70,30 = 4921 \text{ kg/cm}^3$

### Preliminary Design Haunch

$$a = 0,60 \times d = 240 \text{ mm}$$

$$\theta = 32^\circ$$

$$b = a \tan \theta = 150, \text{ digunakan } b = 150 \text{ mm}$$

$$h = d + b = 550 \text{ mm}$$

- Perhitungan gaya pada sambungan

Akibat kapasitas penampang

$$\begin{aligned} M_{ub} &= 1,10 \times R_y \times Z_x \times f_y \\ &= 1,10 \times 1,50 \times 1285,95 \times 2500 \\ &= 5304543,75 \text{ kgcm} \end{aligned}$$

$$\begin{aligned} V_{ub1} &= 2 \times (M_u / L) \\ &= 2 \times (5304543,75 / 600) \\ &= 17681,81 \text{ kg} \end{aligned}$$

Akibat kombinasi 1.2D+1.6L

$$V_{ub2} = 18109,89 \text{ kg}$$

$$\begin{aligned} V_{utotal} &= V_{ub1} + V_{ub2} \\ &= 35791,70 \text{ kg} \end{aligned}$$

- Sambungan Baut Pada Kolom Dengan Pelat

$$\varnothing_{baut} = 16 \text{ mm} - A_b = 2,01 \text{ cm}^2$$

$$m = 1 \quad (\text{jumlah bidang geser})$$

$$F_{nv} = 3720 \text{ kg/cm}^2 \quad (\text{ulir pada bidang geser})$$

Kuat geser baut:

$$\begin{aligned} \varnothing R_n &= \varnothing \times F_{nv} \times A_b \times m \\ &= 0,75 \times 3720 \times 2,01 \times 1 \\ &= 5606,78 \text{ kg} \quad \text{menentukan} \end{aligned}$$

Kuat tumpu baut

$$\begin{aligned} \varnothing R_n &= \varnothing \times 2,40 \times d_b \times t_p \times f_{up} \times n \\ &= 0,75 \times 2,40 \times 1,60 \times 0,80 \times 4100 \times 1 \\ &= 9446,40 \text{ kg} \quad \text{tidak menentukan} \end{aligned}$$

Kuat tarik baut

$$\begin{aligned}\emptyset \cdot T_n &= \emptyset \times 0,75 \times A_b \times f_{ub} \\ &= 0,75 \times 0,75 \times 2,01 \times 8250 \\ &= 9325,80 \text{ kg} \quad \text{tidak menentukan}\end{aligned}$$

Jumlah baut

$$\frac{V_u}{\emptyset \cdot T_n} = 6,38 = 8 \text{ buah}$$

- Kontrol Jarak Baut

$$\text{Jarak antar baut} = 60 \text{ mm}$$

$$3d_b \leq S \leq 15t_p = 48 \leq 60 \leq 120$$

$$\text{Jarak baut ketepi terbebani} = 97 \text{ mm}$$

$$1.5d_b \leq S_1 \leq (4t_p + 100) = 24 \leq 97 \leq 132$$

$$\text{Jarak baut ketepi tidak terbebani} = 48 \text{ mm}$$

$$1.5d_b \leq S \leq 12t_p = 24 \leq 48 \leq 72$$

$$\text{Panjang pelat} = 374 \text{ mm}$$

$$\text{Lebar pelat} = 96 \text{ mm}$$

- Kontrol Kekuatan Pelat

Kuat leleh

$$\begin{aligned}\emptyset \cdot R_n &= \emptyset \times A_g \times f_y \\ &= 0,9 \times 15,36 \times 2500 \\ &= 34560 \text{ kg}\end{aligned}$$

Kuat putus

$$\emptyset_{\text{baut}} = 16 \text{ mm}$$

$$\emptyset_{\text{lubang}} = 16 + 1,5 = 17,50 \text{ mm}$$

$$\begin{aligned}A_n &= 15,4 - (1 \times 1,75 \times 0,80) \\ &= 13,96 \text{ cm}^2\end{aligned}$$

$$A_n \leq 0,85A_g = 13,96 > 13,06 \quad A_n = 0,85A_g$$

$$U = 1 \quad \text{faktor shear lag}$$

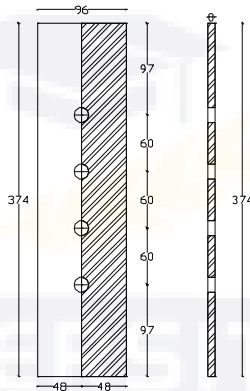
$$A_e = U \times A_n$$

$$= 1 \times 13,06$$

$$= 13,06 \text{ cm}^2$$

$$\begin{aligned}
 \varnothing.R_n &= \varnothing \times A_e \times f_u \\
 &= 0,75 \times 13,06 \times 4100 \\
 &= 40147,20 \text{ kg}
 \end{aligned}$$

Kontrol geser



Gambar 4. 70: Bidang Geser pada Profil end plate

$$\begin{aligned}
 A_{gv} &= P_{pelat} \times t_{pelat} \\
 &= 374 \times 8 = 2992 \text{ mm}^2 \\
 A_{nv} &= A_{gv} - n_{baut} \times \varnothing_{lubang} \times t_{pelat} \\
 &= 2992 - 4 \times 17,50 \times 8 = 2432 \text{ mm}^2 = 24,32
 \end{aligned}$$

$$\begin{aligned}
 \varnothing.R_n &= \varnothing \times 0,60 \times f_u \times A_{nv} \\
 &= 0,75 \times 0,60 \times 4100 \times 24 \\
 &= 44870 \text{ kg}
 \end{aligned}$$

Jadi,  $\varnothing.R_n = 69120,00 \text{ kg} > V_u = 35791,70 \text{ kg}$  OK

- Sambungan Las Pada Balok Dengan Pelat:

$$\begin{aligned}
 V_u &= 35791,70 \text{ kg} \\
 d_{plat} &= 374 \text{ mm} \\
 \text{Mutu las} &= F_{E70XX} = 70 \times 70,30 = 4921 \text{ kg/cm}^2
 \end{aligned}$$

$$\begin{aligned}
 \text{Misal } t_e &= 1 \text{ cm} \\
 A_{las} &= 2 \times (1 \times 37) = 75 \text{ cm}^2
 \end{aligned}$$

$$I_x = \frac{(75)^3}{12} = 34876 \text{ cm}^4$$

$$\begin{aligned}
 F_{u_{las}} &= \varnothing \times 0,60 \times F_{E70XX} \times t_e \\
 &= 0,75 \times 0,60 \times 4921 \times 1 \\
 &= 2214,45 \text{ kg/cm}^2
 \end{aligned}$$

$$\begin{aligned}
 \varnothing R_n &= F_{u_{\text{las}}} \times A_{\text{las}} > V_u \\
 &= 2214,45 \times 75 > V_u \\
 &= 165640,86 \text{ kg} > 35791,70 \text{ kg} \quad \text{OK}
 \end{aligned}$$

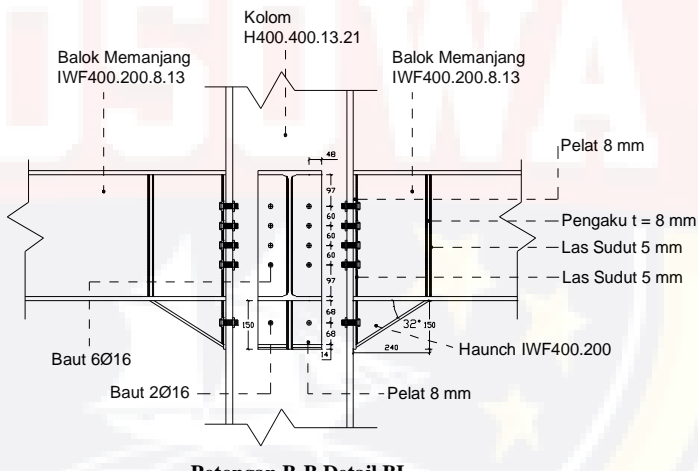
Akibat  $V_u$

$$\begin{aligned}
 f_{\text{total}} = f_v &= \frac{V_u}{A_{\text{las}}} = \frac{35791,70}{74,8} = 478,50 \text{ kg/cm}^2 \\
 t_e &= \frac{f_{\text{total}}}{f_{u_{\text{las}}}} = \frac{478,50}{2214,45} = 0,22 \text{ cm} \\
 a &= \frac{t_e}{0,707} = \frac{0,22}{0,707} = 0,31 \text{ cm}
 \end{aligned}$$

Persyaratan ukuran min las sudut berdasarkan tabel J2.4 SNI 1729:2015

$$t_{\text{plat}} = 8 \text{ mm} \quad 6 < t < 13 \text{ mm} \quad a_{\min} = 5 \text{ mm}$$

Digunakan las sudut dengan  $a = 0,50 \text{ cm}$



Gambar 4. 71: Sambungan Balok Induk dengan Kolom

#### 4.4.3.5. Sambungan Antar Kolom

Sambungan kolom yang direncanakan pada lantai 4. Berdasarkan hasil analisis SAP 2000 diperoleh gaya yang bekerja pada kolom lantai 4 adalah sebagai berikut :

#### Kolom Lt 4

IWF 400 x 400 x 13 x 21

$$a = 400 \text{ mm} \quad t_w = 13 \text{ mm} \quad I_x = 66600 \text{ cm}^4$$

$$A = 218,70 \text{ cm}^2 \quad t_f = 21 \text{ mm} \quad I_y = 22400 \text{ cm}^4$$

$$P_u = 80292,31 \text{ kg} \quad (1.2D+1.6L)$$

$$M_{ux} = 560850 \text{ kgcm} \quad (1.2D+1.6L)$$

$$M_{uy} = 689060 \text{ kgcm} \quad (1.2D+1E_y+1L)$$

$$V_{ux} = 2782,14 \text{ kg} \quad (1.2D+1.6L)$$

$$V_{uy} = 1516,49 \text{ kg} \quad (1.2D+1.6L)$$

#### Kolom Lt 3

IWF 400 x 400 x 13 x 21

$$a = 400 \text{ mm} \quad t_w = 13 \text{ mm}$$

$$A = 218,70 \text{ cm}^2 \quad t_f = 21 \text{ mm}$$

#### Pembagian beban aksial

$$\begin{aligned} P_{ubadan} &= \frac{A_{badan}}{A_{proffil}} \times P_u \\ &= \frac{1,30 \times 40}{218,70} \times 80292,31 = 19090,99 \text{ kg} \end{aligned}$$

$$\begin{aligned} P_{usayap} &= P_u - P_{ubadan} \\ &= 80292,31 - 19090,99 \\ &= 61201,32 \text{ kg} \end{aligned}$$

#### a. Sambungan arah-y

#### Pembagian beban momen

$$\begin{aligned} M_{ubadan} &= \frac{I_{badan}}{I_{proffil}} \times M_{uy} \\ &= \frac{1/12 \times 1,30 \times 40^3}{66600} \times 689060,00 \\ &= 71733,97 \text{ kgcm} \end{aligned}$$

$$\begin{aligned} M_{usayap} &= M_{uy} - M_{ubadan} \\ &= 689060,00 - 71733,97 \\ &= 617326,03 \text{ kgcm} \end{aligned}$$

- Sambungan baut pada sayap kolom

$$\emptyset_{\text{baut}} = 22 \text{ mm} \quad - A_b = 3,80 \text{ cm}^2$$

$$f_{ubaut} = 8250 \text{ kg/cm}^2 \quad (\text{Mutu baut A325})$$

$$F_{nv} = 3720 \text{ kg/cm}^2 \quad (\text{ulir pada bidang geser})$$

$$m = 1 \quad (\text{jumlah bidang geser})$$

$$t_p = 15 \text{ mm}$$

$$f_{upelat} = 4100 \text{ kg/cm}^2$$

$$f_y_{pelat} = 2500 \text{ kg/cm}^3$$

Kuat geser baut:

$$\emptyset.R_n = \emptyset \times F_{nv} \times A_b \times m$$

$$= 0,75 \times 3720 \times 3,80 \times 1$$

$$= 10600,33 \text{ kg} \quad \text{menentukan}$$

Kuat tumpu baut

$$\emptyset.R_n = \emptyset \times 2,40 \times d_b \times t_p \times f_{up} \times n$$

$$= 0,75 \times 2,40 \times 2,20 \times 1,50 \times 4100 \times 1$$

$$= 24354 \text{ kg} \quad \text{tidak menentukan}$$

Gaya kopel pada sayap

$$T = \frac{Mu_{\text{sayap}}}{a} = \frac{617326,03}{40} = 15433,15 \text{ kg}$$

Jumlah gaya total pada sayap

$$T_u = T + P_{u\text{sayap}}$$

$$= 15433,15 + 61201,32 = 76634,47 \text{ kg}$$

Jumlah baut

$$\frac{T_u}{\emptyset.V_n} = 7,23 = 8 \text{ buah}$$

Kontrol Jarak Baut

$$\text{Jarak antar baut} = 70 \text{ mm}$$

$$3d_b \leq S \leq 15t_p = 66 \leq 70 \leq 225$$

$$\text{Jarak baut ketepi terbebani} = 40 \text{ mm}$$

$$1.5d_b \leq S_1 \leq (4t_p+100) = 33 \leq 40 \leq 160$$

$$\begin{aligned} \text{Jarak baut ketepi tidak terbebani} &= 60 \text{ mm} \\ 1.5d_b \leq S \leq 12t_p &= 33 \leq 60 \leq 180 \end{aligned}$$

Panjang pelat

$$(70 \times 3) + (40 \times 2) = 290 \text{ mm}$$

$$\text{Lebar pelat} = 210 \text{ mm}$$

#### b. Sambungan arah-x

Pembagian beban momen

$$\begin{aligned} Mu_{\text{badan}} &= \frac{I_{\text{badan}}}{I_{\text{profil}}} \times Mu_x \\ &= \frac{1/12 \times 1,30 \times 40^3}{22400} \times 560850,00 \\ &= 173596,43 \text{ kgcm} \end{aligned}$$

$$\begin{aligned} Mu_{\text{sayap}} &= Mu_x - Mu_{\text{badan}} \\ &= 560850,00 - 173596,43 \\ &= 387253,57 \text{ kgcm} \end{aligned}$$

#### - Sambungan baut pada badan kolom

$$\varnothing_{\text{baut}} = 22 \text{ mm} - A_b = 3,80 \text{ cm}^2$$

$$f_u_{\text{baut}} = 8250 \text{ kg/cm}^2 \quad (\text{Mutu baut A325})$$

$$F_{nv} = 3720 \text{ kg/cm}^2 \quad (\text{ulir pada bidang geser})$$

$$m = 2 \quad (\text{jumlah bidang geser})$$

$$t_p = 15 \text{ mm}$$

$$f_u_{\text{pelat}} = 4100 \text{ kg/cm}^2$$

$$f_y_{\text{pelat}} = 2500 \text{ kg/cm}^3$$

Kuat geser baut:

$$\begin{aligned} \varnothing R_n &= \varnothing \times F_{nv} \times A_b \times m \\ &= 0,75 \times 3720 \times 3,80 \times 2 \\ &= 21200,65 \text{ kg} \quad \text{tidak menentukan} \end{aligned}$$

Kuat tumpu baut

$$\begin{aligned} \varnothing R_n &= \varnothing \times 2,40 \times d_b \times t_p \times f_{up} \times n \\ &= 0,75 \times 2,40 \times 2,20 \times 1,30 \times 4100 \times 1 \\ &= 21106,80 \text{ kg} \quad \text{menentukan} \end{aligned}$$

Momen yang bekerja pada titik berat sambungan badan:

$$e = \frac{Mu_{badan}}{P_u} = \frac{173596,43}{80292,31} = 2,16 \text{ cm}$$

$$\begin{aligned} Mu_{total} &= Mu_{badan} + Pu_{badan} \times e \\ &= 173596,43 + (19090,99 \times 2,16) \\ &= 214872,21 \text{ kgcm} \end{aligned}$$

$$\begin{aligned} Pu_{total} &= Pu_{badan} \\ &= 19090,99 \text{ kg} \end{aligned}$$

Perkiraan jumlah baut:

$$n = \sqrt{\frac{6 \cdot Mu}{\mu \cdot Ru}}$$

Sambungan memikul beban  $M_u$  dan  $P_u$  sehingga  $R_u$

direduksi  $\phi = 0,70$ .

Susunan baut lebih dari satu deret nilai  $R_u$  dinaikan 1,20

$$R_u = 0,70 \times 1,20 \times 21106,80 = 17729,71 \text{ kg}$$

$$\begin{aligned} n &= \sqrt{\frac{6 \cdot Mu_{total}}{\mu \cdot Ru}} \\ &= \sqrt{\frac{6 \cdot 251578,64}{10 \cdot 17729,71}} = 7,27 = 10 \text{ buah} \end{aligned}$$

#### Kontrol Jarak Baut

Jarak antar baut = 70 mm

$3d_b \leq S \leq 15t_p = 66 \leq 70 \leq 225$

Jarak baut ketepi terbebani = 40 mm

$1.5d_b \leq S_1 \leq (4t_p+100) = 33 \leq 40 \leq 160$

Jarak baut ketepi tidak terbebani = 60 mm

$1.5d_b \leq S \leq 12t_p = 33 \leq 60 \leq 180$

Panjang pelat

$$(70 \times 4) + (40 \times 2) = 360 \text{ mm}$$

$$\text{Lebar pelat} = 238 \text{ mm}$$

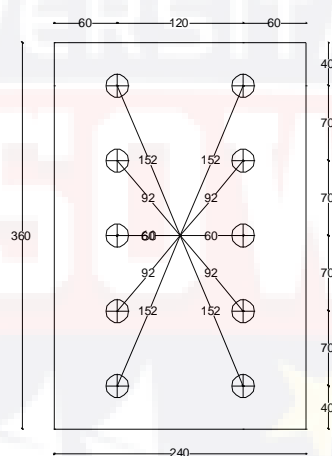
$$= 240 \text{ mm}$$

Kontrol beban

$$K_{uv1} = \frac{P_{ubadan}}{n} = \frac{19090,99}{10} = 1909,10 \text{ kg}$$

$$K_{uh1} = \frac{V_{ux}}{n} = \frac{2782,14}{10} = 278,21 \text{ kg}$$

Akibat  $M_{total}$



Gambar 4. 72: Titik Berat Sambungan Antar Kolom

Beban max pada baut dengan  $x = 6 \text{ cm}$  dan  $y = 10,50 \text{ cm}$

$$\begin{aligned}\Sigma (X^2 + Y^2) &= [(10(6^2) + 4(6^2 + 10^2 + 14^2))] \\ &= 1688 \text{ cm}^2\end{aligned}$$

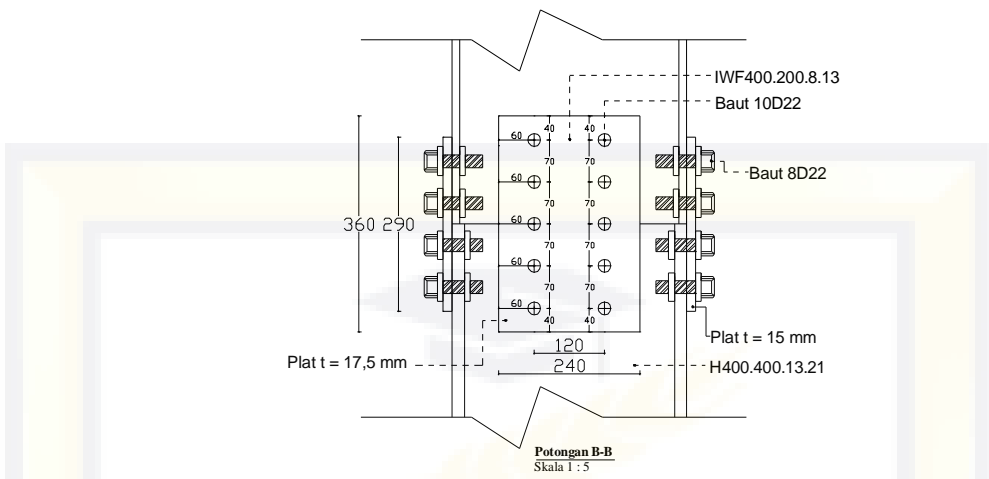
$$K_{uh2} = \frac{M_{total} \cdot X}{\Sigma (X^2 + Y^2)} = \frac{214872,21 \times 6}{1688} = 763,76 \text{ kg}$$

$$K_{uv2} = \frac{M_{total} \cdot Y}{\Sigma (X^2 + Y^2)} = \frac{214872,21 \times 14,00}{1688} = 1782,12 \text{ kg}$$

$$\text{Sehingga, } K_{total} = \sqrt{(\Sigma K_{uv})^2 + (\Sigma K_{uh})^2} = 3835,46 \text{ kg}$$

$$K_{total} \leq \emptyset \cdot R_n$$

$$3835,46 \leq 21200,65 \quad \text{OK}$$



Gambar 4. 73: Sambungan Antar Kolom

#### 4.4.3.6. Sambungan Kolom dengan Base Plate

Sambungan kolom dengan base plate direncanakan menggunakan fixed plate 600x600x20 pada elemen yang menerima gaya paling maksimum yaitu pada elemen 131 di lantai dasar.

Dengan data-data sebagai berikut

##### Fixed Plate

600 x 600 x 30

H = 600 mm  $f_{u,pelat} = 4100 \text{ kg/cm}^2$

B = 600 mm  $f_{y,pelat} = 2500 \text{ kg/cm}^3$

$T_p = 30 \text{ mm}$

$q = 84,78 \text{ kg}$

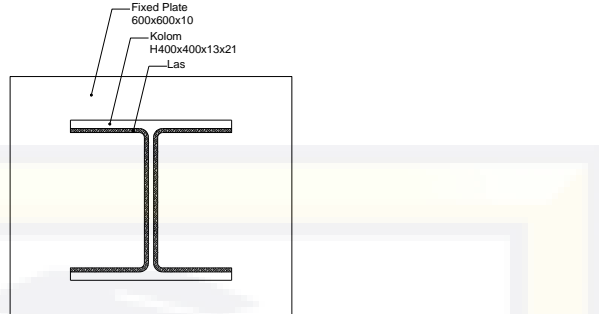
Dari hasil analisa SAP 2000 diperoleh gaya-gaya yang bekerja pada elemen 131 adalah sebagai berikut :

$$P_u = 172752,48 \text{ kg}$$

$$M_{uy} = 1487597 \text{ kgcm}$$

$$M_{ux} = 130704 \text{ kgcm}$$

$$V_u = 3568,84 \text{ kg}$$



Gambar 4. 74: Rencana Las pada Base Plate

- Sambungan las sudut pada base plate:

Direncanakan las pada daerah yang diarsir pada profil H400x400x13x21

Misal  $t_e = 1 \text{ cm}$

$$A_{\text{las}} = [(2 \times 36) + (2 \times 39)] \times 1 = 149 \text{ cm}^2$$

$$I_x = [2(\frac{1}{12} \times 1 \times 39^3 + \frac{1}{12} \times 36 \times 1)] \\ = 9666,07 \text{ cm}^4$$

$$I_y = [2(\frac{1}{12} \times 39 \times 1^3 + \frac{1}{12} \times 1 \times 36^3)] \\ = 7653,57 \text{ cm}^4$$

$$W_x = \frac{I_x}{y} = \frac{9666,07}{18} = 540 \text{ cm}^3$$

$$W_y = \frac{I_y}{x} = \frac{7653,57}{19} = 396 \text{ cm}^3$$

$$\text{Mutu las} = F_{E70XX} = 70 \times 70,30 = 4921 \text{ kg/cm}^2$$

$$F_{u\text{las}} = \emptyset \times 0.60 \times F_{E70XX} \times t_e \\ = 0,75 \times 0,60 \times 4921 \times 1 \\ = 2214,45 \text{ kg/cm}^2$$

Akibat  $P_u$

$$f_v = \frac{P_u}{A_{\text{las}}} + \frac{M_{ux}}{W_x} + \frac{M_{uy}}{W_y} \\ = \frac{172752,48}{149} + \frac{130704}{540} + \frac{1487597}{396} \\ = 5162,45 \text{ kg/cm}^2$$

Akibat  $V_u$

$$f_h = \frac{V_u}{A_{las}} = \frac{3568,84}{149} = 23,95 \text{ kg/cm}^2$$

$$f_{total} = \sqrt{f_v^2 + f_h^2}$$

$$= \sqrt{5162,45^2 + 23,95^2}$$

$$= 5162,45 \text{ kg/cm}^2$$

$$t_e = \frac{f_{total}}{f_{u_{las}}} = \frac{5162,45}{2214,45} = 2,33 \text{ cm}$$

$$a_{perlu} = \frac{t_e}{0,707} = \frac{2,33}{0,707} = 3,30 \text{ cm}$$

Persyaratan ukuran minimum las sudut berdasarkan tabel J2.4 SNI 1729:2015

$$t_{min\text{pelat}} = 13 \text{ mm} \quad 6 > t \geq 13 \text{ mm} \quad a_{min} = 5 \text{ mm}$$

$$a_{eff\ maks} = \frac{1,41 \times f_{u_{pelat}} \times t_p}{F_{E70XX}}$$

$$= \frac{1,41 \times 4100 \times 1,30}{4921} = 1,53 \text{ cm}$$

Digunakan las sudut dengan  $a = 1,53 \text{ cm}$

- Perhitungan base plate

Periksa eksentrisitas gaya:

$$e = \frac{M_u}{P_u} = \frac{1487597}{172752,48} = 8,61 \text{ cm}$$

$$\frac{1}{6} h = \frac{1}{6} \times 60 = 10 \text{ cm}$$

Karena  $1/6 h > e$ , maka tidak terjadi gaya tarik, sehingga

tidak perlu memasang gaya angkur (dipasang angkur praktis)

Direncanakan menggunakan  $\emptyset_{baut}$  angkur = 22 mm

$$h' \geq w_e + c_1$$

$w_e$  = jarak baut ke tepi

$$= 2 \times d_b = 44 \text{ mm} \quad \text{digunakan} = 100 \text{ mm}$$

$c_1$  = jarak minimum untuk kunci

$$= 27/16 \times d_b = 37 \text{ mm} \quad \text{digunakan} = 40 \text{ mm}$$

$$h' \geq 100 + 40 = 140 \text{ mm}$$

$$h \geq H - 0,50 h' = 530 \text{ mm}$$

$$B = 700 \text{ mm}$$

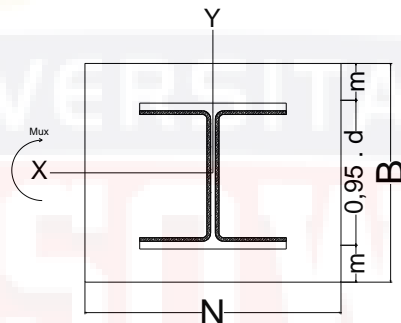
Dimensi beton : Mutu beton : 25 Mpa

$$\text{Panjang} = 700 \text{ mm}$$

$$\text{Lebar} = 700 \text{ mm}$$

$$\sqrt{\frac{A_2}{A_1}} = \sqrt{\frac{700 \times 700}{600 \times 600}} = 1,17$$

Perencanaan akibat beban sumbu X



Gambar 4. 75: Arah Sumbu X pada Base Plate

Akibat beban  $P_u$

$$f_{pa} = \frac{P_u}{B \cdot N} = \frac{172752,48}{60 \times 60} = 47,99 \text{ kg/cm}^2$$

Akibat beban  $M_{ux}$

$$f_{pb} = \frac{M_{ux}}{B \cdot N^2} = \frac{130704,00}{60 \times 60^2} = 0,61 \text{ kg/cm}^2$$

Tekanan maksimal

$$f_{p \max} = f_{pa} + f_{pb} = 47,99 + 0,61 = 48,59 \text{ kg/cm}^2$$

Tekanan yang dapat diterima kolom

$$f_{p \text{ avail}} = \emptyset \cdot 0,85 \cdot f'_c = 0,90 \times 0,85 \times 25 \\ = 19,13 \text{ Mpa} = 191,25 \text{ kg/cm}^2$$

Syarat :  $f_{p \text{ avail}} > F_{p \max}$

$$f_{p \text{ avail}} = 191,25 \text{ kg/cm}^2 > 48,59 \text{ kg/cm}^2 \quad \text{OK}$$

Menentukan  $Mu_{plate}$  pada sejauh m setiap lebar 1 cm pelat

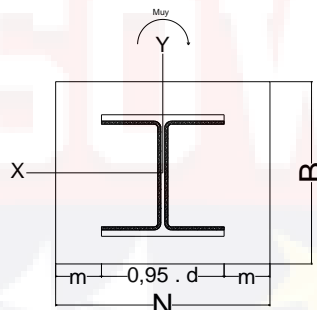
$$m = \frac{N - 0,95.d}{2} = \frac{60 - 0,95 \times 40}{2} = 11 \text{ cm}$$

$$\begin{aligned} Mu_{plate} &= (f_{p\max} - 2 \times f_{pb} \times \frac{m}{N}) \times (\frac{m^2}{2} + (2 \times f_{pb} \times \frac{m}{N}) \times (\frac{m^3}{3})) \\ &= (48,59 - 2 \times 0,61 \times \frac{11}{60}) \times (\frac{11^2}{2}) + (2 \times 0,61 \times \frac{11}{60}) \times (\frac{11^3}{3}) \\ &= 2926,39 + 98,44 = 3024,83 \text{ kgcm/cm} \end{aligned}$$

Kontrol tebal base plate

$$t = \sqrt{\frac{4 \cdot Mu_{plate}}{0,90 \cdot fy_{plate}}} = \sqrt{\frac{4 \times 3567,28}{0,90 \times 2500}} = 2,32 \text{ cm} < 3 \text{ cm} \quad \text{OK}$$

Perencanaan akibat beban sumbu Y



Gambar 4. 76: Arah Beban Sumbu Y pada Base Plate

Akibat beban  $P_u$

$$f_{pa} = \frac{P_u}{B \cdot N} = \frac{172752,48}{60 \times 60} = 47,99 \text{ kg/cm}^2$$

Akibat beban  $Mu_x$

$$f_{pb} = \frac{Mu_y}{B \cdot N^2} = \frac{1487597}{60 \times 60^2} = 6,89 \text{ kg/cm}^2$$

Tekanan maksimal

$$f_{p\max} = f_{pa} + f_{pb} = 47,99 + 6,89 = 54,87 \text{ kg/cm}^2$$

Tekanan yang dapat diterima kolom

$$f_p \text{ avail} = \emptyset \cdot 0,85 \cdot f'_c = 0,90 \times 0,85 \times 25 \\ = 19,13 \text{ Mpa} = 191,25 \text{ kg/cm}^2$$

Syarat :  $f_p \text{ avail} > F_{p \text{ max}}$

$$f_p \text{ avail} = 191,25 \text{ kg/cm}^2 > 54,87 \text{ kg/cm}^2 \text{ OK}$$

Menentukan  $Mu_{\text{pelat}}$  pada sejarak m setiap lebar 1 cm pelat

$$m = \frac{N - 0,95 \cdot d}{2} = \frac{60 - 0,95 \times 40}{2} = 11 \text{ cm}$$

$$\begin{aligned} Mu_{\text{plate}} &= (f_{p \text{ max}} - 2 \times f_{pb} \times \frac{m}{N}) \times (\frac{m^2}{2}) + (2 \times f_{pb} \times \frac{m}{N}) \times (\frac{m^3}{3}) \\ &= (54,87 - 2 \times 6,89 \times \frac{11}{60}) \times (\frac{11^2}{2}) + (2 \times 6,89 \times \frac{11}{60}) \times (\frac{11^3}{3}) \\ &= 3167,09 + 1120,37 = 4287,45 \text{ kgcm/cm} \end{aligned}$$

Kontrol tebal base plate

$$t = \sqrt{\frac{4 \cdot Mu_{\text{plate}}}{0,90 \cdot f_y \text{ plate}}} = \sqrt{\frac{4 \times 3933,60}{0,90 \times 2500}} = 2,76 \text{ cm} < 3 \text{ cm} \text{ OK}$$

- Perhitungan pelat pengaku

Pelat pengaku direncanakan seperti dengan dengan balok yang menerima beban momen dari pelat landas. Dimensi pelat minimum menurut SNI-1729-2015 Pasal G3-3

Lebar pelat pengaku minimum ( $b_s$ )

$$b_s \frac{b}{3} - \frac{t_w}{2} = \frac{40}{3} - \frac{1,30}{2} = 13 \text{ cm}$$

Tebal pelat pengaku minimum ( $t_s$ )

$$t_s \geq 0,50 t_f = 0,50 \times 2,10 = 1,05 \text{ cm}$$

Direncanakan tebal pengaku 1.5xtebal disambung, maka tebal pelat pengaku yang digunakan ( $t_s$ ) = 1.50 cm dengan las sudut minimum berdasarkan tabel J2.4 SNI 1729:2015 ( $a = 6 \text{ mm}$ )

$$\frac{b_s}{t_s} \leq 0,56 \sqrt{\frac{E}{f_{yelat}}} = \frac{13}{1,50} \leq 16 = 8,46 \leq 16 \quad \text{OK}$$

Pelat pengaku dengan tebal 1.50 cm dan lebar 13 cm dapat digunakan

- Perhitungan baut angkur

Gaya tarik yang terjadi pada angkur

$$T = \frac{f_{p\ max} \cdot H \cdot B}{2} - P_u$$

$$= \frac{54,87 \times 60 \times 60}{2} - 172752,48 = 24793,28 \text{ kg}$$

"Karena  $1/6 h > e$ , maka dipasang angkur praktis"

Direncanakan menggunakan baut angkur Ø22 mutu A325

$$f_{ubaut} = 8250 \text{ kg/cm}^2$$

$$f_{ytul} = 2500 \text{ kg/cm}^2$$

$$\varnothing_{baut} = 22 \text{ mm} \quad - A_b = 3,80 \text{ cm}^2$$

$$m = 1 \quad (\text{jumlah bidang geser})$$

$$F_{nv} = 3720 \text{ kg/cm}^2 \quad (\text{ulir pada bidang geser})$$

Kuat geser baut:

$$\begin{aligned} \varnothing \cdot R_n &= \varnothing \times F_{nv} \times A_b \times m \\ &= 0,75 \times 8250 \times 3,80 \times 1 \\ &= 23508,79 \text{ kg} \quad \text{tidak menentukan} \end{aligned}$$

Kuat tumpu baut

$$\begin{aligned} \varnothing \cdot R_n &= \varnothing \times 2,40 \times d_b \times t_p \times f_{up} \\ &= 0,75 \times 2,40 \times 2,20 \times 3 \times 4100 \times 1 \\ &= 48708 \text{ kg} \quad \text{tidak menentukan} \end{aligned}$$

Kuat tarik baut

$$\begin{aligned} \varnothing \cdot T_n &= \varnothing \times 0,75 \times A_b \times f_{ub} \\ &= 0,75 \times 0,75 \times 3,80 \times 8250 \\ &= 17631,59 \text{ kg} \quad \text{menentukan} \end{aligned}$$

Kontrol geser jumlah baut

$$n = \frac{V_u}{\varnothing \cdot V_n} = \frac{3568,84}{23508,79} = 0,15 = 1 \text{ buah}$$

Kontrol tarik jumlah baut

$$n = \frac{T}{\emptyset \cdot V_n} = \frac{24793,28}{23508,79} = 1,05 = 3 \text{ buah}$$

digunakan 3 buah baut arah x dan 3 buah baut arah y

$$\begin{aligned} L_d &= \left( \frac{f_y t_u l}{1,10 \lambda \sqrt{f'c}} \times \frac{\alpha \cdot \beta \cdot \gamma}{\left( \frac{c_b - K_{tr}}{d_b} \right)} \right) \times d_b \\ &= \left( \frac{250}{1,10 \times 1 \sqrt{25}} \times \frac{1 \times 1,20 \times 1}{\left( \frac{40-0}{22} \right)} \right) \times d_b \\ &= 45,45 \times 0,66 \times 22 \\ &= 660 \text{ mm} \end{aligned}$$

Maka panjang angkur yang dibutuhkan 66 cm dan direncanakan dipasang hingga 70 cm.

Tabel 4 15: Rekapitulasi Analisis Struktur Sekunder

Material	Jenis Balok/Pelat		L (m)	Profil		$M_u$ (kgm)	$\emptyset M_n$ (kgm)	$\frac{M_u}{\emptyset M_n} \leq 1$	$V_u$ (kg)	$\emptyset V_n$ (kg)	$\frac{V_u}{\emptyset V_n} \leq 1$	$f_{ijin}$ (cm)	$f_{maks}$ (cm)	$\frac{f_{maks}}{f_{ijin}} \leq 1$	Kontrol
	Balok	Pelat													
Tulangan BJT P280, Baja BJ-41, Super Floor Deck	Balok Anak Atap Portal 1-2	4,00	WF 150 x 100 x 6 x 9	2481,76	3443,31	0,72	2481,76	8910,00	0,28	1,67	1,62	0,97	Aman		
	Balok Anak Atap Portal 2-3	6,00	WF 300 x 150 x 6,5 x 9	6414,10	11745,00	0,55	4276,07	22464,00	0,19	2,50	1,30	0,52	Aman		
	Balok Anak Lantai Portal 1-2	4,00	WF 250 x 175 x 6 x 9	5618,12	7920,00	0,71	5618,12	16848,00	0,33	1,67	0,88	0,53	Aman		
	Balok Anak Lantai Portal 2-3	6,00	WF 350 x 175 x 7 x 11	14450,72	18922,50	0,76	9633,81	28539,00	0,34	2,50	1,42	0,57	Aman		
	Balok Bordes AB	1,40	WF 100 x 50 x 4,5 x 6,8	177,74	902,25	0,20	507,84	4702,05	0,11	0,39	0,07	0,19	Aman		
	Balok Bordes CD	1,40	WF 100 x 50 x 4,5 x 6,8	132,80	902,25	0,15	379,44	4702,05	0,08	0,39	0,05	0,13	Aman		
	Balok Utama Tangga	3,60	WF 250 x 125 x 6 x 9	3324,24	7920,00	0,42	2533,97	16848,00	0,15	1,69	0,45	0,27	Aman		
	Balok Penumpu Tangga	3,00	WF 250 x 125 x 6 x 9	3733,33	7920,00	0,47	5281,33	16848,00	0,31	1,25	0,23	0,18	Aman		
	Pelat Anak Tangga	0,30	Pelat Tebal 5 mm	17,09	196,88	0,09	-	-	-	0,08	0,03	0,32	Aman		
	Pengaku Pelat Anak Tangga	1,40	L 60 x 60 x 5	79,32	101,70	0,78	225,26	4050,00	0,06	0,58	0,26	0,44	Aman		
	Pelat Bordes	0,70	Pelat Tebal 10 mm	303,60	787,50	0,39	-	-	-	0,29	0,01	0,05	Aman		
	Balok Penggantung Lift	2,00	WF 300 x 150 x 6,5 x 9	5031,44	11745,00	0,43	5450,38	22464,00	0,24	0,56	0,13	0,23	Aman		
	Balok Penumpu Lift	2,10	WF 300 x 150 x 6,5 x 9	5837,80	11745,00	0,50	5669,24	22464,00	0,25	0,58	0,16	0,28	Aman		
Jenis Pelat	L (m)	t (m)	Flexural Strength Bondek		Tul. Utama (Arah X)			Tul. Susut (Arah Y)			$(M_u + (M_{ux}) + (M_{uy})) \leq 1$	$f_{ijin}$ (cm)	$f_{maks}$ (cm)	$\frac{f_{maks}}{f_{ijin}} \leq 1$	Kontrol
			$M_u$ (kgm)	$M_{ru}$ (kgm)	$M_u$ (kgm)	$\emptyset M_n$ (kgm)	$\phi - s$ (mm)	$M_u$ (kgm)	$\emptyset M_n$ (kgm)	$\phi - s$ (mm)	$(M_{ru}) + (\emptyset M_{nx}) + (\emptyset M_{ny})$				
Pelat Atap	2,40	0,10	382,10	1402,29	5,65	266,89	8 - 200	1,77	221,88	8 - 200	0,21	0,67	0,42	0,63	Aman
Pelat Lantai	2,40	0,125	802,15	2175,91	11,86	640,92	8 - 125	3,72	501,05	8 - 140	0,25	0,67	0,36	0,55	Aman

Tabel 4 16: Rekapitulasi Analisis Struktur Primer

Material	Jenis Balok	L (m)	Profil	M <sub>u</sub> (kgm)	ØM <sub>n</sub> (kgm)	$\frac{M_u}{ØM_n} \leq 1$	V <sub>u</sub> (kg)	ØV <sub>n</sub> (kg)	$\frac{V_u}{ØV_n} \leq 1$	f <sub>ijin</sub> (cm)	f <sub>maks</sub> (cm)	$\frac{f_{maks}}{f_{ijin}} \leq 1$	Kontrol	
Beton Fc 25 Mpa, Baja BJ-41	Balok Induk Arah-X (Melintang)	6,50	IWF 400 x 200 x 8 x 13	20285,35	28933,88	0,70	15506,22	36936	0,42	1,81	1,09	0,61	Aman	
	Balok Induk Arah-Y (Memanjang)	6,00	IWF 400 x 200 x 8 x 13	16365,40	28933,88	0,57	10153,26	36936	0,27	1,67	0,24	0,15	Aman	
Jenis Kolom	L (m)	Profil		P <sub>r</sub> (kg)	ØP <sub>n</sub> (kg)	$\frac{P_r}{ØP_n} \geq 0,2$	M <sub>rx</sub> (kgm)	M <sub>cx</sub> (kgm)	M <sub>ry</sub> (kgm)	M <sub>cy</sub> (kgm)	$\frac{P_r}{P_c} + \frac{8}{9} x \frac{(Mrx)}{(Mcx)} + \frac{(Mry)}{(Mcy)} \leq 1$	Kontrol		
	Kolom Lt 1 (Elemen 131)	3,96	H 400 x 400 x 13 x 21	217492,72	483380,42	0,45	5210,53	81000	20575,69	38137,50	0,99		Aman	
Sambungan	Profil		Mutu		Ukuran (mm)		V <sub>u</sub> (kg)	ØR <sub>n</sub> (kg)	$\frac{V_u}{ØR_n} \leq 1$	n Baut/Angkur		L las (mm)		Kontrol
	Profil 1	Profil 2	Las	Baut	t	ϕ				Profil 1	Profil 2	Profil 1	Profil 2	
BA Atap - BI Atap Portal 1-2	IWF 150 x 100	IWF 200 x 100	-	A325	-	12	1982,44	5313,60	0,37	1	2	-	-	Aman
BA Atap - BI Atap Portal 2-3	IWF 300 x 150	IWF 350 x 175	-	A325	-	12	4272,02	5756,40	0,74	1	2	-	-	Aman
BA Lantai - BI Lantai Portal 1-2	IWF 300 x 150	IWF 350 x 175	-	A325	-	12	5321,51	5313,60	1,00	2	2	-	-	Aman
BA Lantai - BI Lantai Portal 2-3	IWF 350 x 175	IWF 400 x 200	-	A325	-	12	9628,9	6199,20	1,55	2	4	-	-	Aman
BU Tangga - BP Tangga	IWF 250 x 125	IWF 250 x 125	-	A325	-	12	2533,97	5313,60	0,48	1	2	-	-	Aman
BP Tangga - Kolom	IWF 250 x 125	H 400 x 400	FE <sub>70xx</sub>	A325	3	12	5281,33	5313,60	0,99	1	-	-	60	Aman
BU Tangga - BA Lantai	IWF 250 x 125	IWF 350 x 175	FE <sub>70xx</sub>	-	5	2	2533,97	77505,75	0,03	-	-	-	175	Aman
KP Tangga - BI Lantai	IWF 150 x 100	IWF 400 x 200	FE <sub>70xx</sub>	A325	3	12	5281,33	5313,60	0,99	1	-	-	60	Aman
BI Lantai - Kolom	IWF 400 x 200	H 400 x 400	FE <sub>70xx</sub>	A325	5	16	35791,70	5606,78	6,38	-	8	374	-	Aman
Kolom - Kolom	H 400 x 400	H 400 x 400	-	A325	-	22	Beban telampir di Hal. IV-137-142				26	-	-	Aman
Kolom - Base Plate (Pedestal)	H 400 x 400	FP 600 x 600	FE <sub>70xx</sub>	A325	-	22	Beban telampir di Hal. IV-143-150				6	149	-	Aman

## 4.5. Evaluasi Kinerja

### 4.5.1. Kapasitas Struktur

Dari output analisa pushover didapatkan kurva kapasitas dari struktur, selanjutnya dari kurva kapasitas tadi dievaluasi kinerjanya dengan 3 metode yaitu *ATC-40*, *FEMA 356*, dan *FEMA 440*. Kurva kapasitas hasil analisa pushover untuk masing-masing arah adalah sebagai berikut :

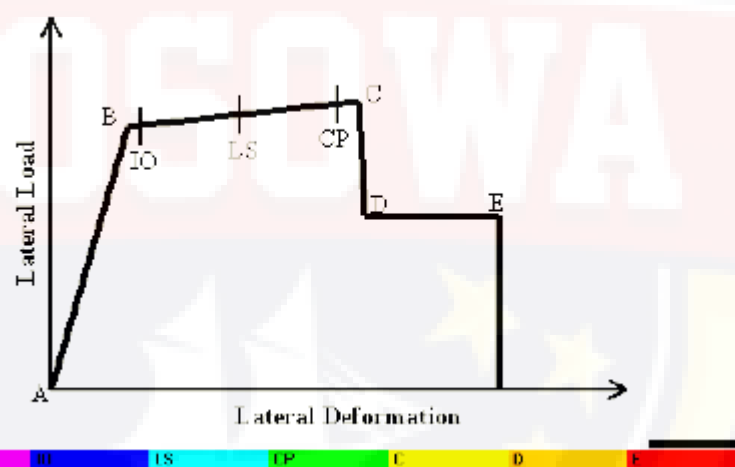
- a. Kurva kapasitas system rangka (arah x-x)

Dari hasil *running pushover analysis* dengan program SAP 2000, untuk arah x-x didapatkan 12 step pola beban dorong yang diberikan pada struktur hingga struktur mengalami keruntuhan. Dari 12 step beban dorong tersebut dapat digambarkan dalam grafik hubungan gaya dan perpindahan terhadap strukrur. 12 step pola beban dorong hasil running dengan SAP 2000 dapat dilihat pada tabel 4.15.

Tabel 4 17: *Output* Beban Dorong Arah x-x

LoadCase	Step	Displacement	BaseForce	AtoB	BtoO	ItoLS	LStoCP	CPtoC	CtoD	DtoE	BeyondE	Total
Text	Unitless	m	Kgf	Unitless								
PUSH X	0	-0,00000883	0	1008	0	0	0	0	0	0	0	1008
PUSH X	1	0,044911	134280,3	1008	0	0	0	0	0	0	0	1008
PUSH X	2	0,089831	268562	1008	0	0	0	0	0	0	0	1008
PUSH X	3	0,13475	402844,1	1008	0	0	0	0	0	0	0	1008
PUSH X	4	0,145295	434367,6	1007	1	0	0	0	0	0	0	1008
PUSH X	5	0,193077	572171,1	978	30	0	0	0	0	0	0	1008
PUSH X	6	0,225076	641000,9	909	90	9	0	0	0	0	0	1008
PUSH X	7	0,237929	657227,9	887	106	15	0	0	0	0	0	1008
PUSH X	8	0,286077	686262,9	854	55	98	0	1	0	0	0	1008
PUSH X	9	0,33442	705694,4	834	47	125	0	2	0	0	0	1008
PUSH X	10	0,381122	722526,2	820	23	161	0	3	1	0	0	1008
PUSH X	11	0,430739	738695,9	807	33	161	0	4	3	0	0	1008
PUSH X	12	0,449191	744271,9	783	56	162	0	4	3	0	0	1008

Output pada tabel 4.15, dapat dilihat nilai gaya yang diberikan pada struktur dan nilai perpindahan yang terjadi pada masing-masing step. Pada kolom paling kanan (total) merupakan jumlah total seluruh elemen struktur pada struktur yang dimodelkan. Pada kolom (A-B; B-IO; IO-LS; LS-CP; CP-C; C-D; D-E; > E) ini merupakan tingkatan kondisi yang terjadi pada sendi plastis di elemen struktur atau tingkat plastifikasi pada sendi plastis elemen struktur. Tingkatan kondisi plastifikasi pada sendi plastis pada elemen struktur lebih jelasnya dapat dilihat pada gambar 4.78.



Gambar 4. 77: Tingkatan Plastifikasi Sendi Plastis Elemen

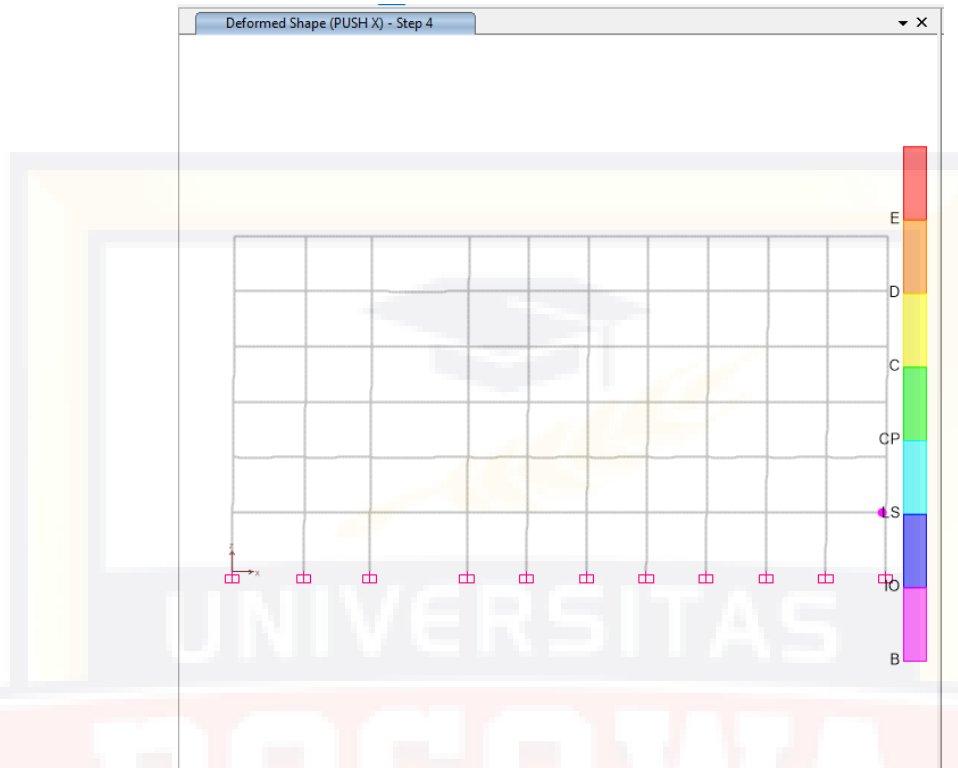
Keterangan :

- A = Merupakan kondisi dimana belum ada pembebanan sehingga belum terjadi plastifikasi pada sendi plastis.
- B = Merupakan kondisi dimana elemen mulai mengalami leleh yang pertama kali
- IO = Merupakan tahapan setelah leleh (plastis) dengan tingkat kinerja pada elemen *Immediately Occupancy*.

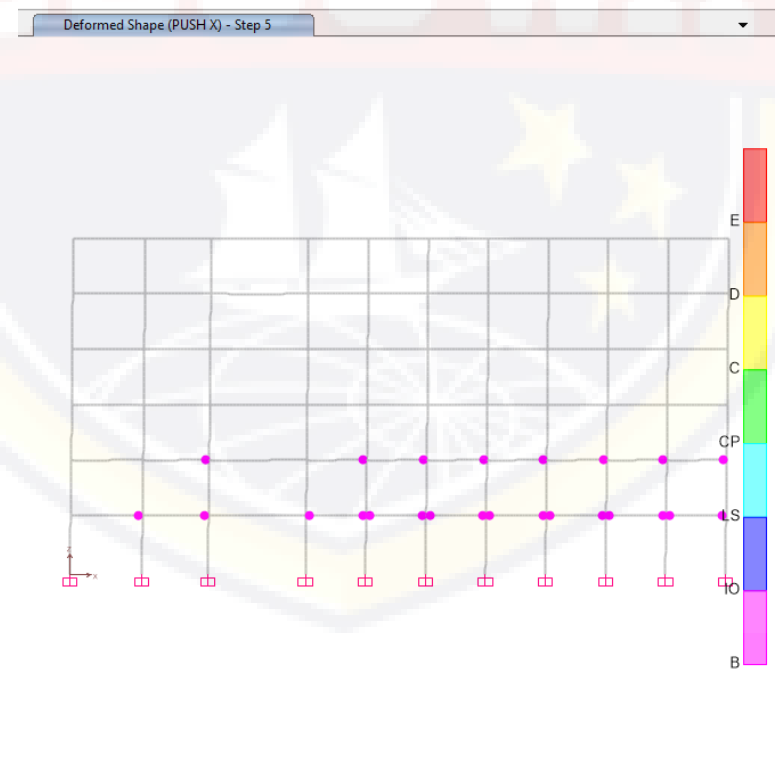
- LS = Elemen pada level kinerja *Life Safety* (kondisi plastis).  
CP = Elemen pada level kinerja *Collapse Prevention* (kondisi hamper runtuh).  
C = Merupakan kapasitas ultimit dari elemen.  
D = Kekuatan sisa elemen.  
E = Merupakan batas dimana elemen sudah mengalami keruntuhan.

Dari penjelasan tabel 4.17 bahwa setiap step pola beban dorong akan mempunyai tingkatan plastifikasi yang berbeda pada masing-masing elemen strukturnya. Pada step ke-4 elemen berada pada kondisi B-IO adalah 1 sisanya masih dalam kondisi A-B. Pada kondisi step ke-12 kondisi B-IO bertambah menjadi 783 dan kondisi plastifikasi pada elemen meningkat sehingga kondisi C-D berjumlah 3 yang sebelumnya belum ada pada step 4-9. Hal ini berarti bahwa pada setiap kenaikan beban dorong yang diberikan maka kondisi plastifikasi pada elemen juga akan meningkat secara bertahap hingga mengalami keruntuhan.

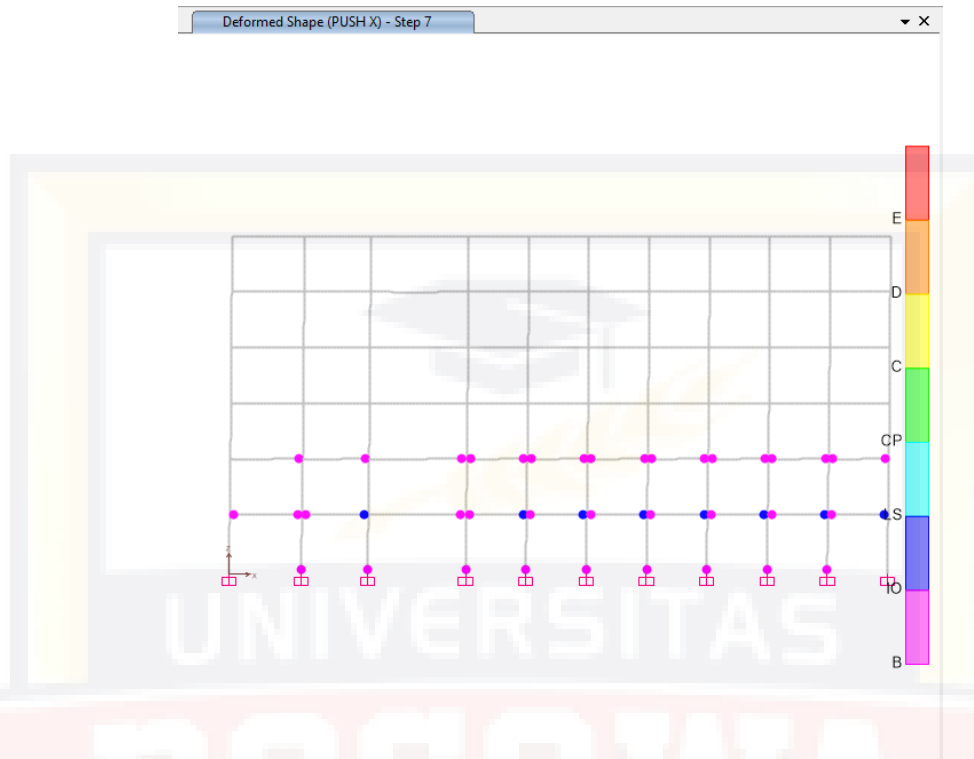
Pada gambar berikut adalah lokasi terjadinya sendi plastis pada elemen struktur untuk beban dorong arah x-x sebagai berikut :



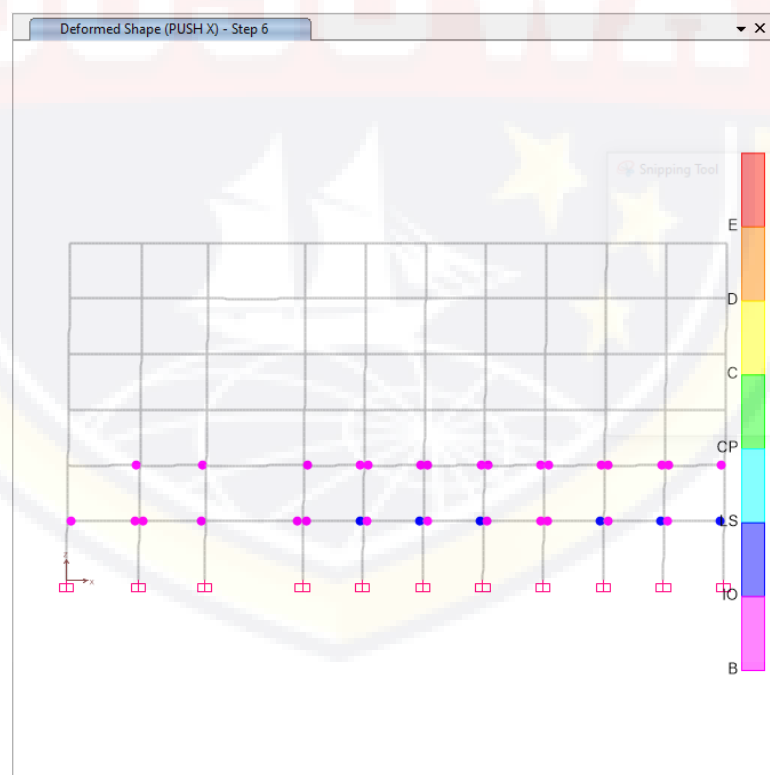
Gambar 4. 78: Pushover Arah X Step 4



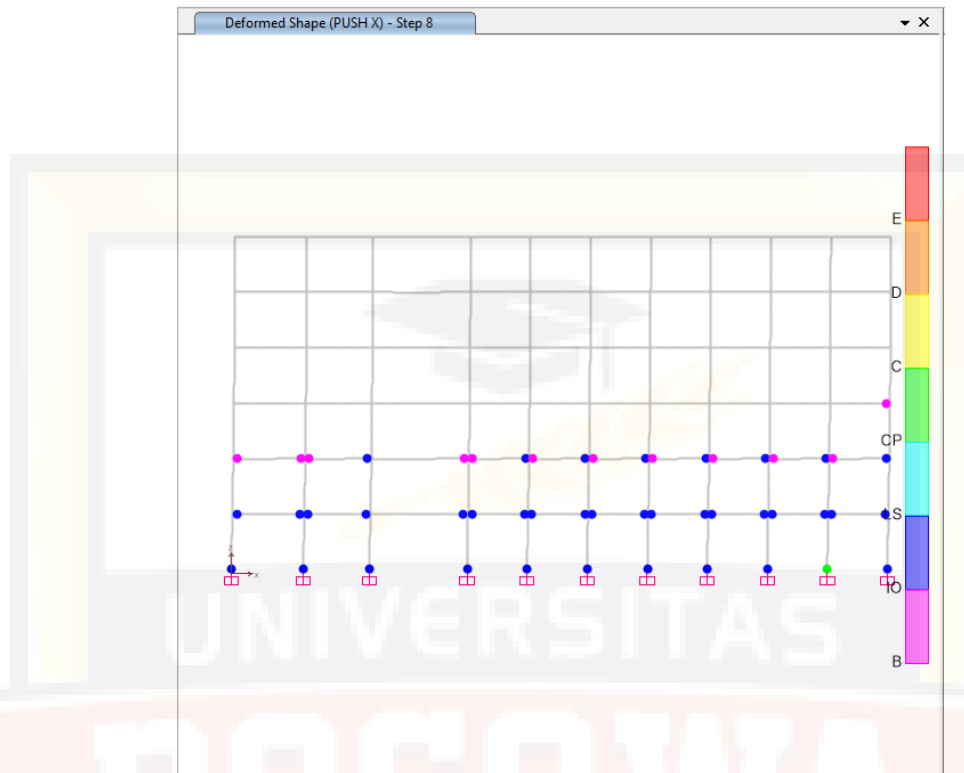
Gambar 4. 79: Pushover Arah X Step 5



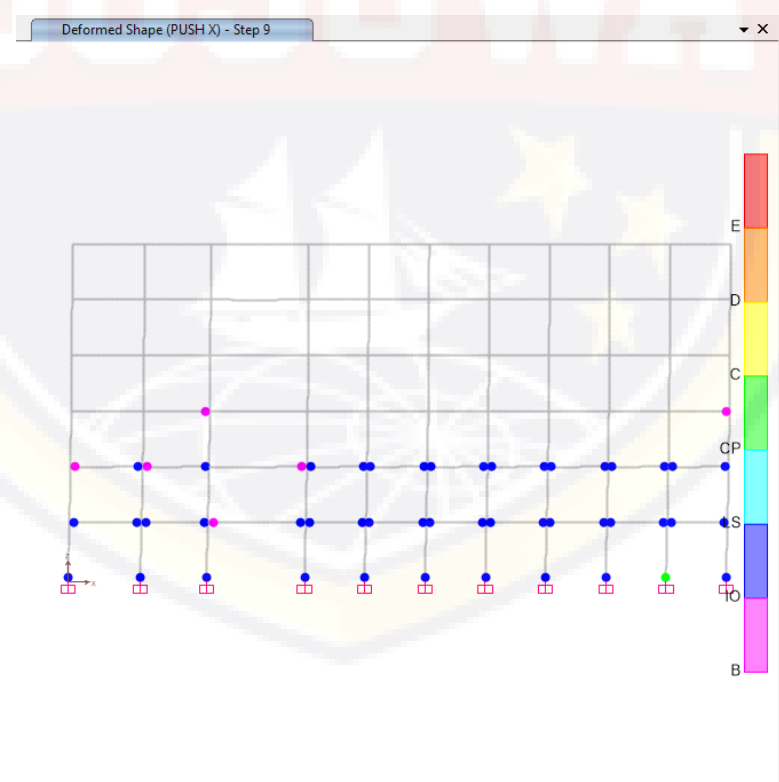
Gambar 4. 80: Pushover Arah X Step 6



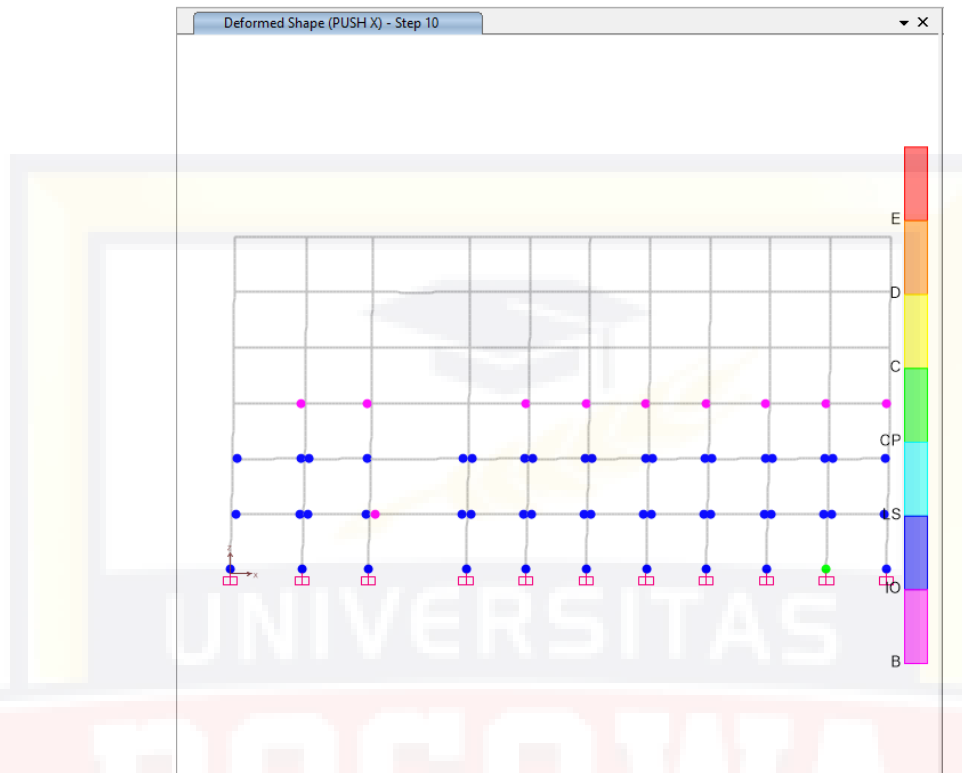
Gambar 4. 81: Pushover Arah X Step 7



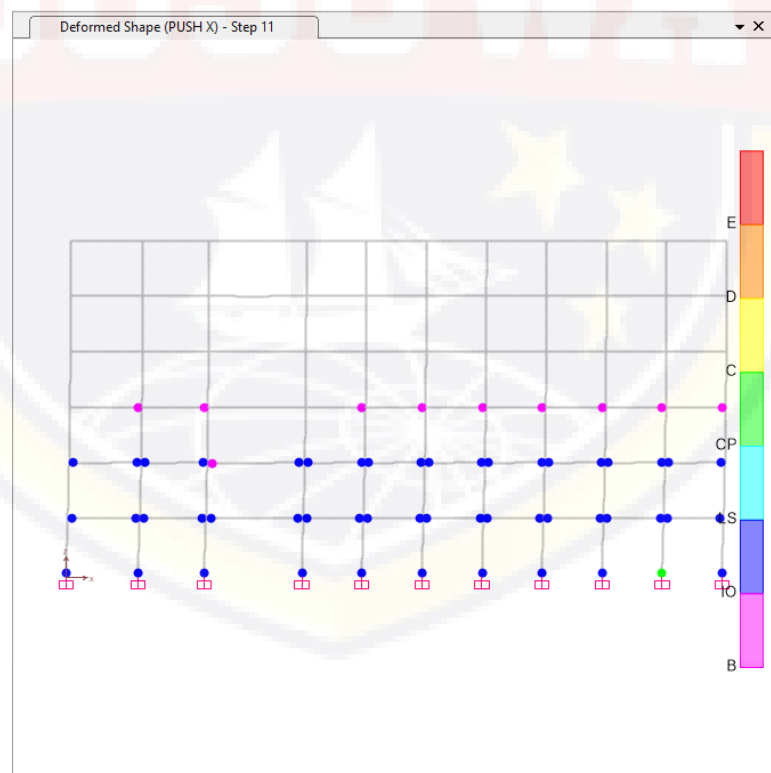
Gambar 4. 82: Pushover Arah X Step 8



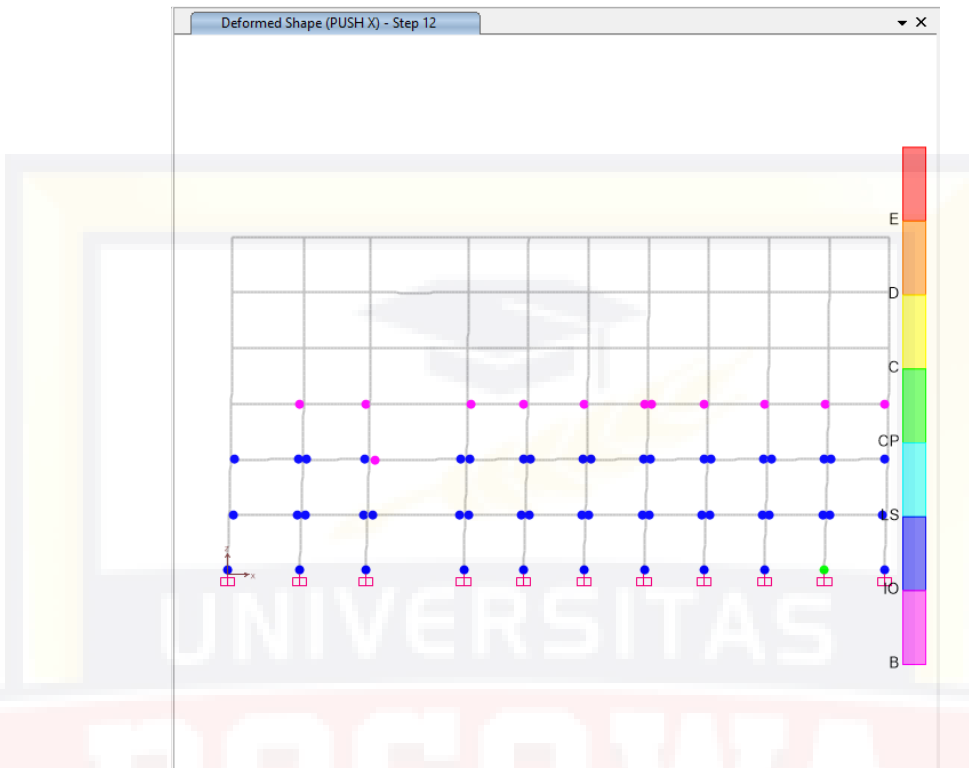
Gambar 4. 83: Pushover Arah X Step 9



Gambar 4. 84: Pushover Arah X Step 10

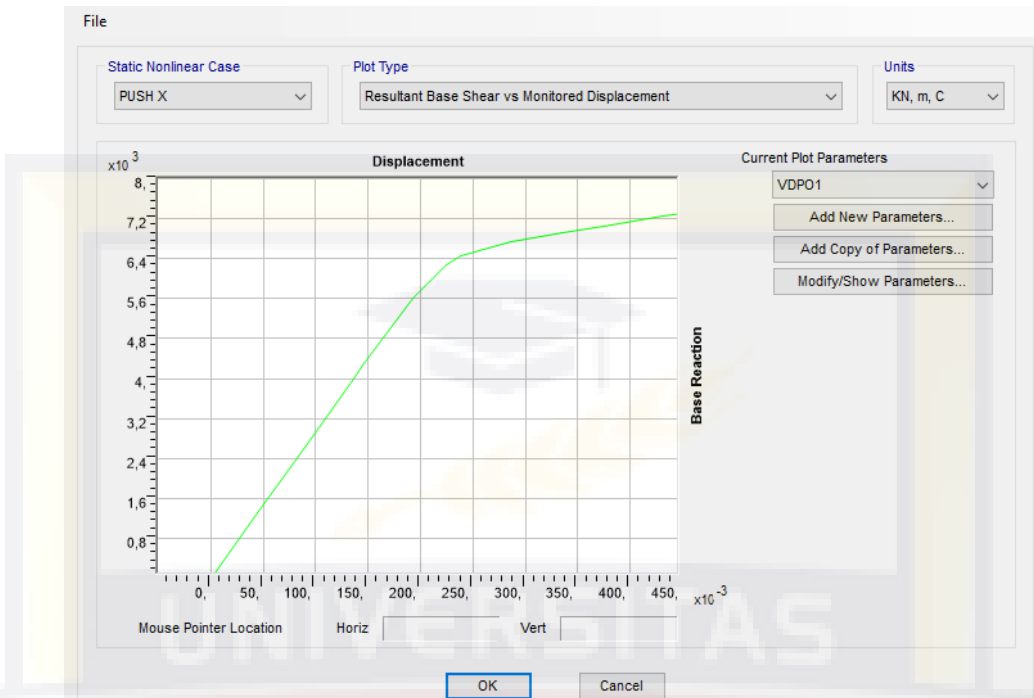


Gambar 4. 85: Pushover Arah X Step 11



Gambar 4. 86: Pushover Arah X Step 12

Pada gambar diatas dapat dilihat bahwa lokasi awal terjadinya sendi plastis akan berada pada balok lantai terendah dan akan secara bertahap naik seiring dengan pertambahan beban dorong yang diberikan pada struktur. Kemudian dapat dibuat grafik hubungan gaya vs perpindahan untuk setiap step beban dorong yang diberikan. Grafik tersebut merupakan kurva kapasitas struktur arah x-x yang dapat dilihat pada gambar berikut :



Gambar 4. 87: Kurva Kapasitas Arah x-x

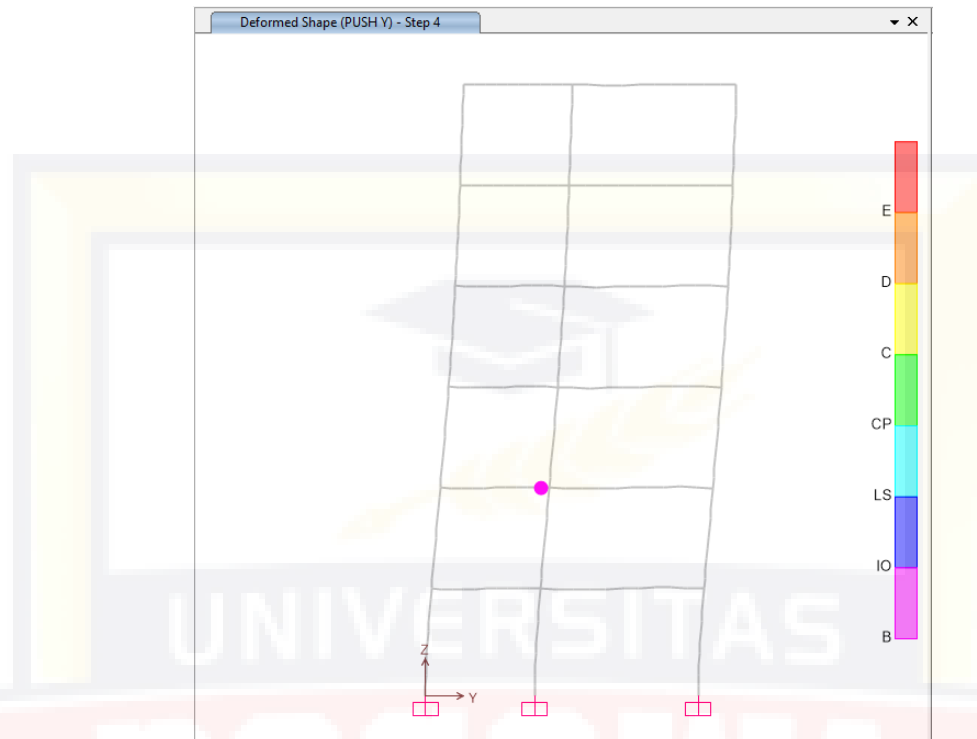
b. Kurva kapasitas sistem rangka (arah y-y)

Pada arah y-y, terdapat 10 step pola beban dorong yang diberikan pada struktur hingga mengalami keruntuhan seperti pada tabel 4.18.

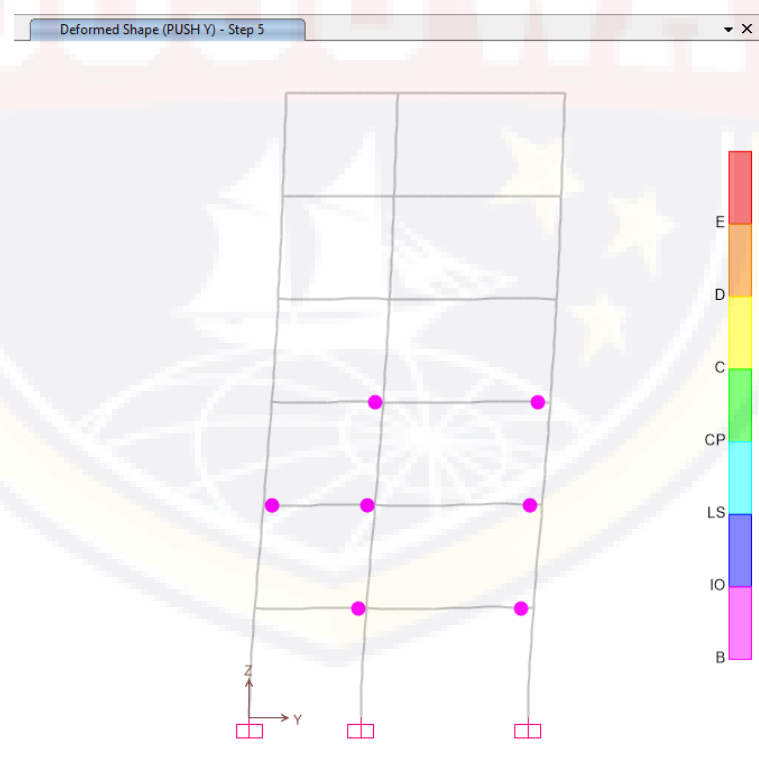
Tabel 4 18: *Output* Beban Dorong Arah y-y

LoadCase	Step	Displacement	BaseForce	AtoB	BtoIO	ItoOLS	LStoCP	CptoC	CtoD	DtoE	BeyondE	Total
Text	Unitless	m	Kgf	Unitless								
PUSH Y	0	-0,000169	0	1008	0	0	0	0	0	0	0	1008
PUSH Y	1	0,044751	963,458	1008	0	0	0	0	0	0	0	1008
PUSH Y	2	0,08967	1926,95	1008	0	0	0	0	0	0	0	1008
PUSH Y	3	0,13459	2890,449	1008	0	0	0	0	0	0	0	1008
PUSH Y	4	0,179351	3850,568	1006	2	0	0	0	0	0	0	1008
PUSH Y	5	0,226946	4708,678	970	38	0	0	0	0	0	0	1008
PUSH Y	6	0,277682	5262,916	926	78	4	0	0	0	0	0	1008
PUSH Y	7	0,323139	5647,795	901	87	20	0	0	0	0	0	1008
PUSH Y	8	0,369759	5972,076	879	84	45	0	0	0	0	0	1008
PUSH Y	9	0,420007	6267,209	853	85	70	0	0	0	0	0	1008
PUSH Y	10	0,449029	6398,113	846	75	87	0	0	0	0	0	1008

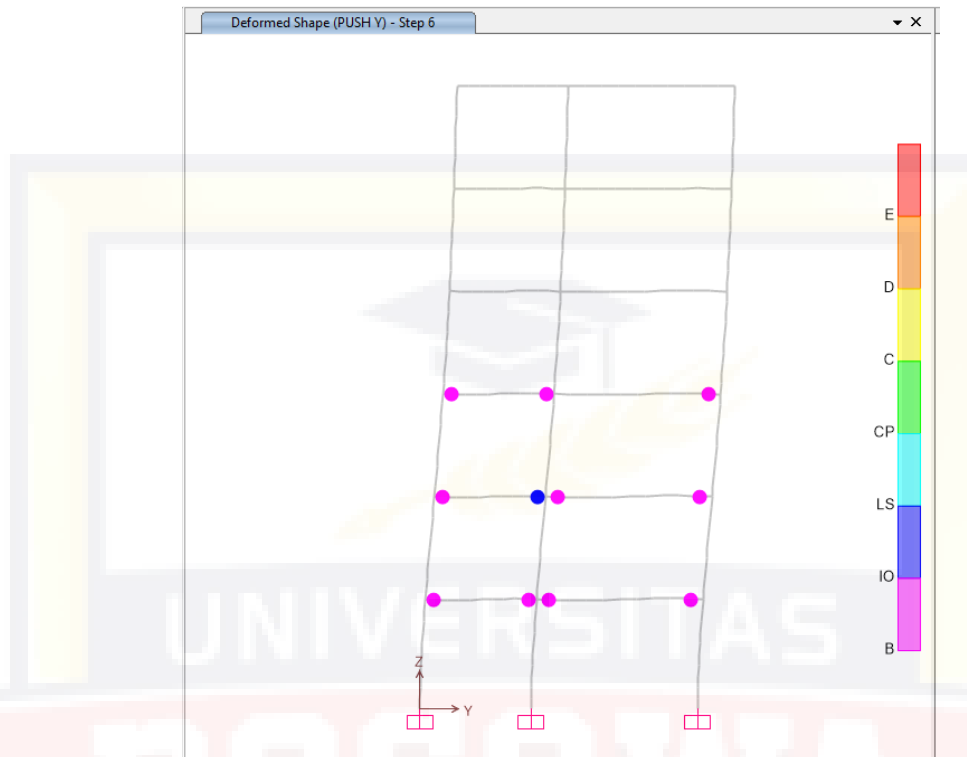
untuk arah y-y mekanisme terbentuknya sendi plastis dapat dilihat pada gambar berikut :



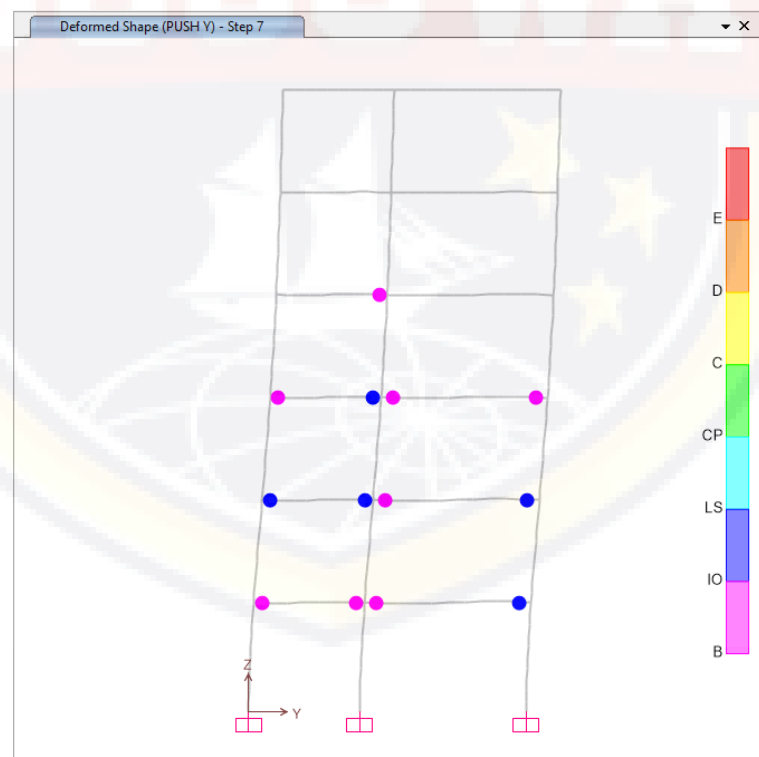
Gambar 4. 88: Pushover Arah Y Step 4



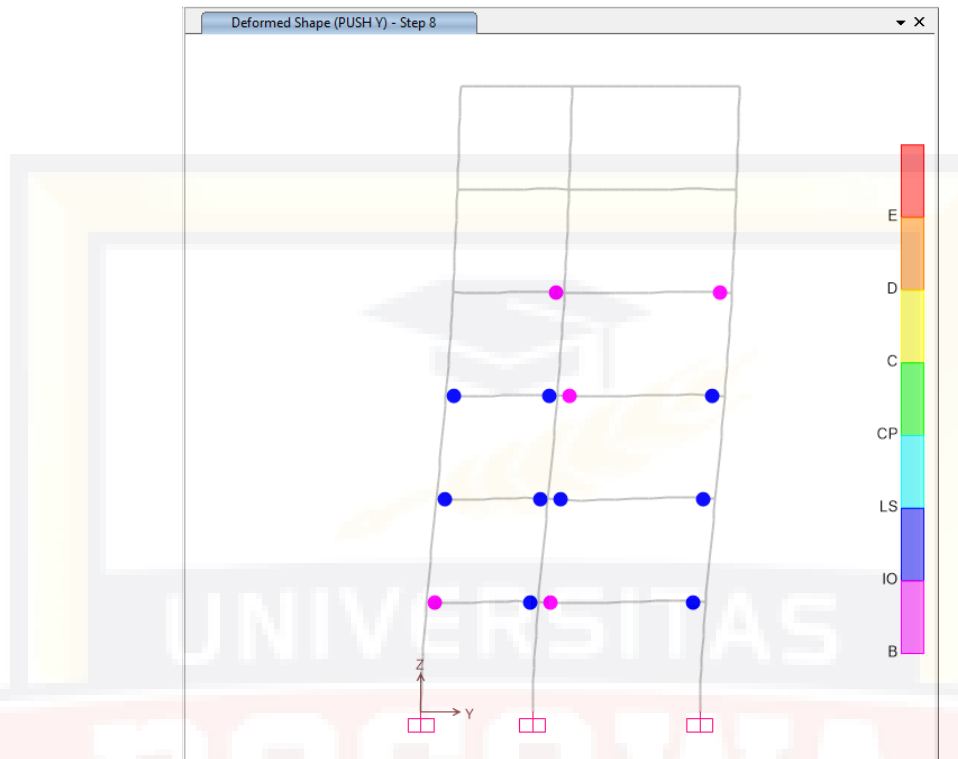
Gambar 4. 89: Pushover Arah Y Step 5



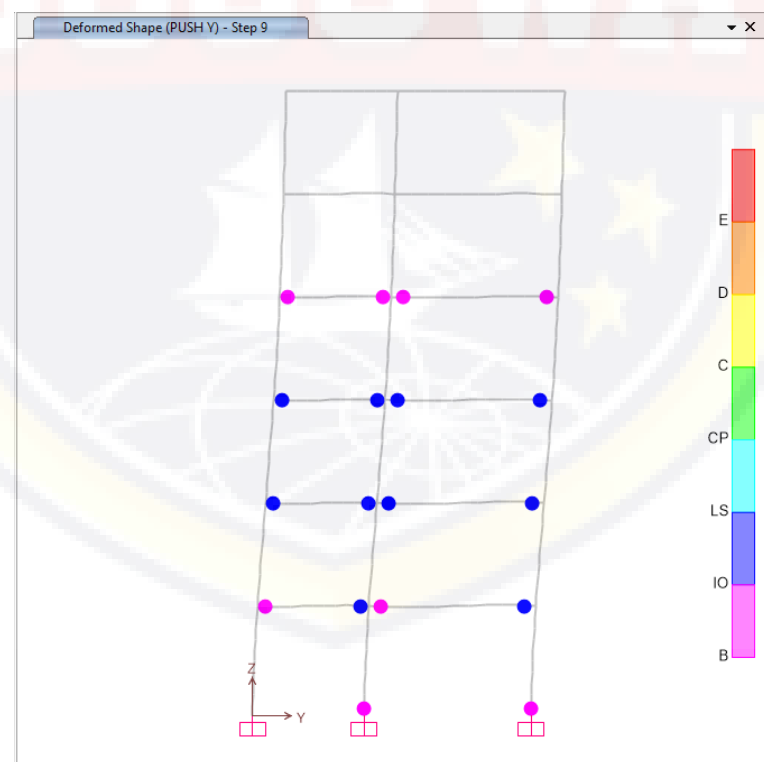
Gambar 4. 90: Pushover Arah Y Step 6



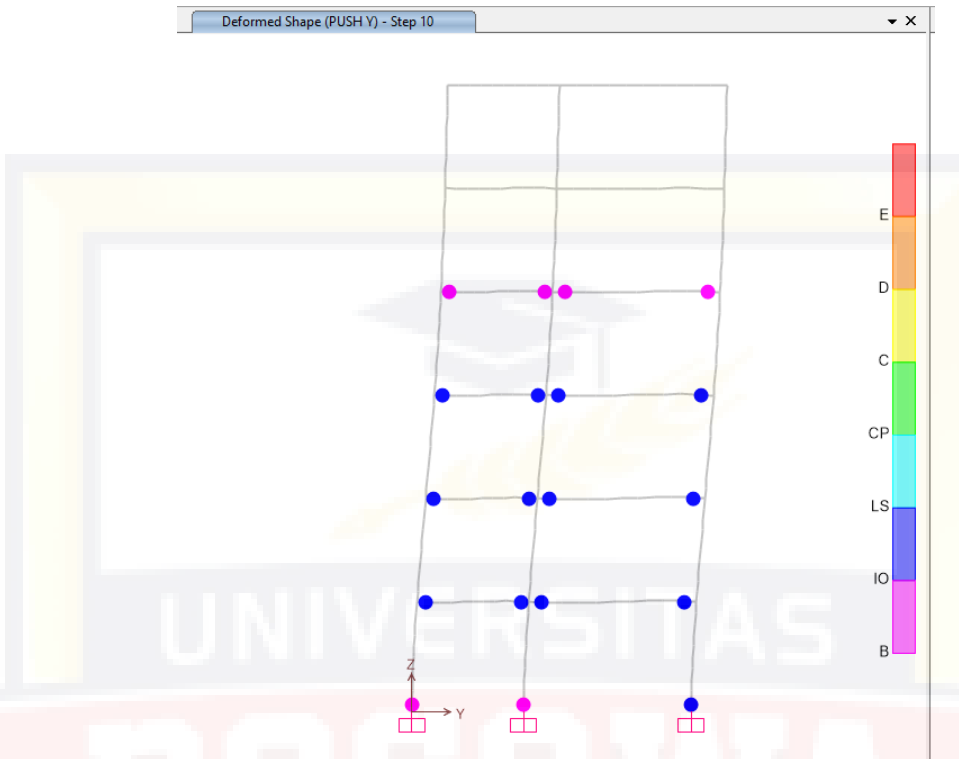
Gambar 4. 91: Pushover Arah Y Step 7



Gambar 4. 92: Pushover Arah Y Step 8

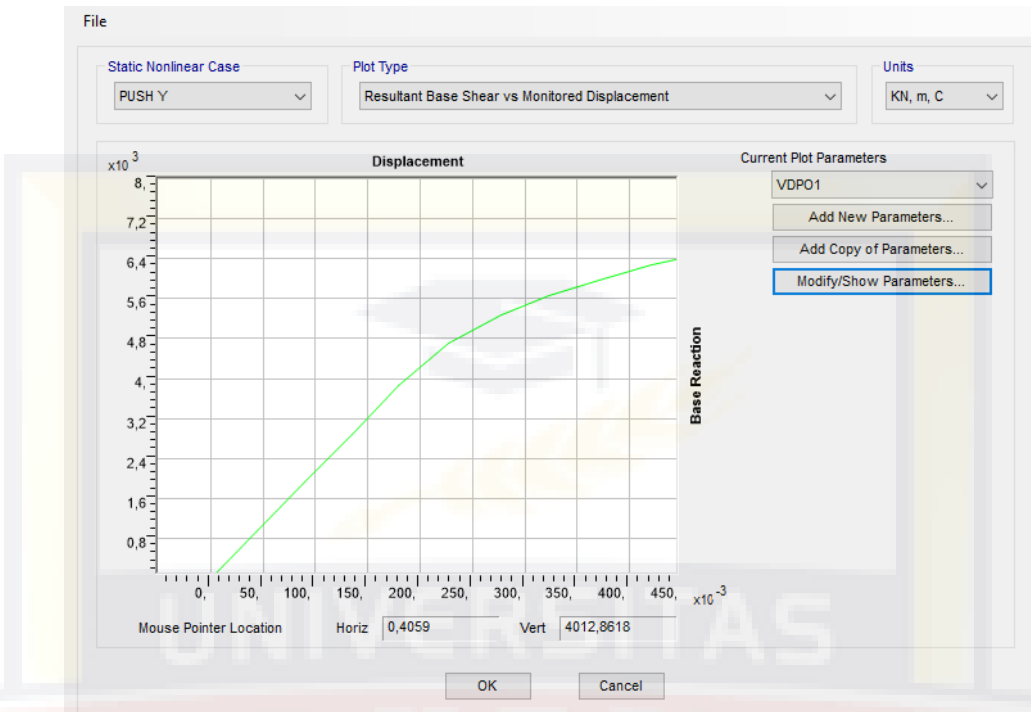


Gambar 4. 93: Pushover Arah Y Step 9



Gambar 4. 94: Pushover Arah Y Step 10

Pada gambar diatas dapat dilihat bahwa lokasi awal terjadinya sendi plastis akan berada pada balok lantai terendah dan akan secara bertahap naik seiring dengan pertambahan beban dorong yang diberikan pada struktur. Kemudian dapat dibuat grafik hubungan gaya vs perpindahan untuk setiap step beban dorong yang diberikan. Grafik tersebut merupakan kurva kapasitas struktur arah y-y yang dapat dilihat pada gambar berikut :



Gambar 4. 95: Kurva Kapasitas Arah y-y

#### 4.5.2. Evaluasi Kinerja Struktur

Evaluasi kinerja struktur digunakan untuk menentukan kinerja struktur yang didesain. Dari hasil evaluasi kinerja struktur ini nantiya akan didapatkan nilai kinerja struktur berdasarkan 3 peraturan yang umum digunakan yaitu *ATC 40*, *FEMA 356*, dan *FEMA 440*. Nilai kinerja struktur hasil yang didesain tadi akan dibandingkan dengan kinerja struktur yang didesain diawal saat perhitungan dengan *Direct Displacement Based Design (DDBD)*. Dengan perbandingan kinerja rencana dengan kinerja hasil desain maka akan didapatkan kesimpulan mengenai keefektifan metode desain berbasis kinerja dengan *DDBD* tersebut.

#### 4.5.2.1. Menentukan Spektrum Kapasitas ATC-40

##### a. Menentukan Nilai $C_A$ dan $C_v$ .

Dari Bab 4.3.1.3 pada perhitungan respon gempa untuk wilayah Makassar diketahui :

- Parameter respon percepatan pada periode 0,2 detik ( $S_{MS}$ )

$$S_{MS} = 0,60 \text{ g}$$

- Parameter respon percepatan pada periode 1 detik ( $S_{M1}$ )

$$S_{M1} = 0,47 \text{ g}$$

Selanjutnya berdasarkan ATC-40 pasal 4.4.3.1 dapat dihitung parameter nilai  $C_A$  dan  $C_v$  sebagai berikut :

$$C_A = 0,4 S_{MS} = 0,4 \times 0,60 = 0,24 \text{ g}$$

$$C_v = S_{M1} = 0,47 \text{ g}$$

##### b. Menentukan *Structural Behavior Type*

Untuk *Structural Behavior Type* sesuai dengan tabel 8.4 ATC-40 yang dapat dilihat pada Tabel 4.19.

Tabel 4.19: *Structural Behavior Type*

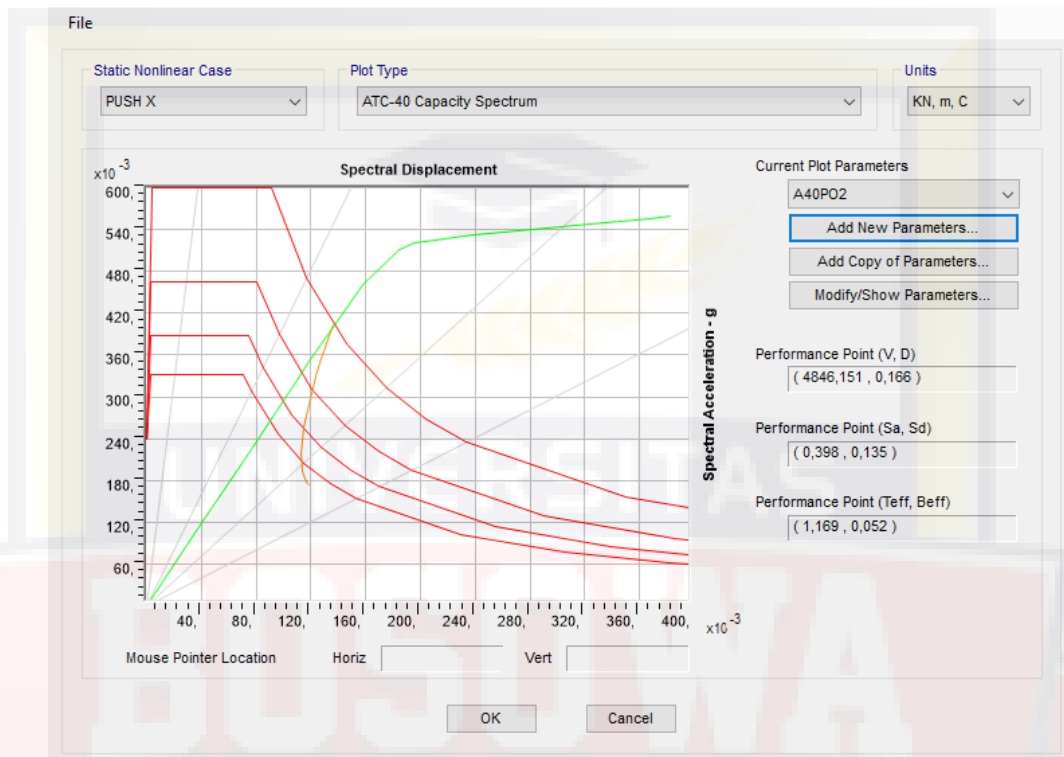
<i>Shaking Duration</i>	<i>Essentially New Building</i>	<i>Average Existing Building</i>	<i>Poor Existing Building</i>
<i>Short</i>	Type A	Type B	Type C
<i>Long</i>	Type B	Type C	Type C

##### c. Menentukan *Damping Parameter*

*Damping parameter* diisikan nilai 0,05 atau 5%.

Hasil Spektrum Kapasitas

Hasil dari Spektrum Kapasitas dari masing-masing arah dapat dilihat pada gambar 4.91 dan gambar 4.92.



Gambar 4. 96: Spektrum Kapasitas Arah x-x



Gambar 4. 97: Spektrum Kapasitas Arah y-y

Dari spektrum pada gambar 4.96 dan 4.97 dapat diketahui nilai-nilai parameter spektrum kapasitas. Nilai-nilai parameter spektrum kapasitas dapat dilihat pada Tabel 4.20 dan Tabel 4.21.

Tabel 4 20: *Output Spektrum Kapasitas Arah x-x:*

LoadCase	Step	Teff	Beff	SdCapacity	SaCapacity	SdDemand	SaDemand	Alpha	PPPhi
Text	Unitless	Sec	Unitless	m	Unitless	m	Unitless	Unitless	Unitless
PUSH X	0	1,166	0,050	0,000	0,000	0,136	0,403	1,000	1,000
PUSH X	1	1,166	0,050	0,037	0,108	0,136	0,403	0,838	1,227
PUSH X	2	1,166	0,050	0,073	0,217	0,136	0,403	0,838	1,227
PUSH X	3	1,166	0,050	0,110	0,325	0,136	0,403	0,838	1,227
PUSH X	4	1,166	0,050	0,118	0,350	0,136	0,403	0,838	1,227
PUSH X	5	1,173	0,054	0,158	0,461	0,134	0,393	0,839	1,225
PUSH X	6	1,205	0,073	0,185	0,512	0,128	0,354	0,846	1,220
PUSH X	7	1,228	0,087	0,196	0,522	0,124	0,330	0,851	1,217
PUSH X	8	1,340	0,146	0,238	0,533	0,115	0,257	0,870	1,203
PUSH X	9	1,446	0,190	0,281	0,541	0,113	0,217	0,882	1,192
PUSH X	10	1,539	0,219	0,322	0,548	0,114	0,193	0,892	1,183
PUSH X	11	1,629	0,235	0,366	0,556	0,117	0,178	0,898	1,176
PUSH X	12	1,660	0,239	0,383	0,559	0,118	0,173	0,899	1,174

Tabel 4 21: *Output Spektrum Kapasitas Arah y-y*

LoadCase	Step	Teff	Beff	SdCapacity	SaCapacity	SdDemand	SaDemand	Alpha	PFFphi
Text	Unitless	Sec	Unitless	m	Unitless	m	Unitless	Unitless	Unitless
PUSH Y	0	1,216	0,050	0,000	0,000	0,142	0,387	1,000	1,000
PUSH Y	1	1,216	0,050	0,031	0,083	0,142	0,387	0,796	1,466
PUSH Y	2	1,216	0,050	0,061	0,167	0,142	0,387	0,796	1,466
PUSH Y	3	1,216	0,050	0,092	0,250	0,142	0,386	0,796	1,467
PUSH Y	4	1,216	0,050	0,122	0,333	0,142	0,386	0,796	1,467
PUSH Y	5	1,228	0,057	0,153	0,409	0,139	0,371	0,794	1,484
PUSH Y	6	1,266	0,077	0,183	0,460	0,132	0,331	0,788	1,517
PUSH Y	7	1,307	0,097	0,211	0,497	0,128	0,301	0,784	1,534
PUSH Y	8	1,350	0,114	0,239	0,528	0,125	0,277	0,779	1,547
PUSH Y	9	1,395	0,129	0,269	0,557	0,124	0,257	0,775	1,560
PUSH Y	10	1,421	0,138	0,286	0,570	0,124	0,247	0,773	1,569

Selanjutnya untuk menentukan tingkat kinerja struktur parameter yang diperlukan adalah nilai *drift* rata-rata tiap lantai dimana total tinggi lantai adalah 22,46 m.

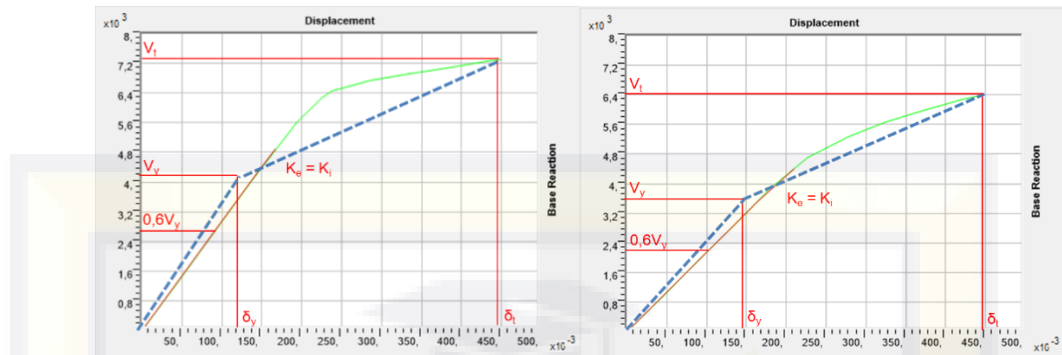
$$\text{Arah x-x} = 0,166 / 22,46 = 0,01 \dots\dots (\textit{Immediate Occupancy})$$

$$\text{Arah y-y} = 0,207 / 22,46 = 0,01 \dots\dots (\textit{Immediate Occupancy})$$

Maka sesuai ATC-40 struktur termasuk dalam level kategori *Immediate Occupancy* (IO) SP-1. Hal ini berarti desain awal dengan DDBD dengan *limit drift* pada kondisi *Life Safety* tercapai.

#### 4.5.2.2. Metode *FEMA 356*

Pada metode *FEMA 356* diambil kurva idealisasi *bilinear* (kurva biner *pushover*) yang didapat pada program SAP 2000.



Gambar 4. 98: Kurva Biner Pushover Arah X dan Arah Y

Data-data perhitungan target perpindahan Metode FEMA 356

terdapat pada tabel berikut :

Tabel 4 22: Output Data Perhitungan Target Perpindahan

Parameter Hitungan	Keterangan	Nilai	
		Arah X	Arah Y
Berat Total, $W_t$ (KN)	Output SAP 2000	14510,978	14510,978
$V_{base\ Yield}$ , $V_y$ (KN)	Output SAP 2000	4181,822	3534,479
$Yield\ Displacement$ , $\delta_y$ (m)	Output SAP 2000	0,131	0,145
Kekakuan Awal, $K_i$ (KN/m)	Output SAP 2000	29321,000	21529,390
Kekakuan Efektif, $K_e$ (KN/m)	Output SAP 2000	21529,390	21529,390
Periode Awal, $T_i$ (det)	Output SAP 2000	1,166	1,216
Periode Efektif, $T_{eff}$ (det)	Output SAP 2000	1,166	1,216
$C_0$	Output SAP 2000	1,226	1,478
$C_1$	Output SAP 2000	1,000	1,000
$T_s$	$S_{D1}/S_{DS}$	0,786	0,786
$C_2$	Output SAP 2000	1,000	1,000
$S_a$	Output SAP 2000	0,406	0,389
$R$	Output SAP 2000	1,267	1,438
$\alpha$	Output SAP 2000	0,968	0,881
$C_3$	Output SAP 2000	1,000	1,000

$$\delta_T = C_0 C_1 C_2 C_3 S_a \frac{T_e^2}{4\pi^2} g$$

Arah x-x =  $1,2 \times 1,0 \times 1,0 \times 1,0 \times 0,406 \times \frac{1,166^2}{4 \times 3,14^2} \times 9,81 = 0,168 \text{ m}$

Arah y-y =  $1,5 \times 1,0 \times 1,0 \times 1,0 \times 0,389 \times \frac{1,216^2}{4 \times 3,14^2} \times 9,81 = 0,211 \text{ m}$

#### 4.5.2.3. Metode FEMA 440

Untuk metode FEMA 440 digunakan cara yang sama dengan *FEMA 356* yaitu menggunakan kurva idealisasi dari pushover analysis pada gambar 4.92 untuk arah x-x dan gambar 4.93 untuk arah y-y, hanya ada perbedaan dalam menentukan nilai faktor modifikasi  $C_1$  dan faktor modifikasi  $C_2$ . Nilai faktor modifikasi  $C_1$  dan faktor modifikasi  $C_2$  ini ditentukan berdasarkan Tabel 10-1 *FEMA 440* dan dapat dilihat pada Gambar berikut :

Table 10-1 Coefficients for Use in Equations for Effective Damping			
Coefficient	Current Specification	Modification	Purpose of Coefficient
$C_1$	1.0 for $T_e \geq T_s$ [1.0 + (R-1) $T_s/T_e$ ]/R for $T_e < T_s$	$C_1 = 1 + \frac{R - 1}{aT^2}$ where a = 130 for site class B 90 for site class C 60 for site class D	Convert max. elastic displacement to estimate for inelastic system
$C_1$ (with short T "cap")	1.5 for $T_e < 0.1s$ interpolating to 1.0 for $T_e \geq T_s$	Not recommended	
$C_2$ (degrading systems)	Immediate Occupancy 1.0 Life Safety 1.3 for $T \leq 0.1$ interpolating to 1.1 for $T \geq T_s$ Collapse Prevention 1.5 for $T \leq 0.1$ interpolating to 1.2 for $T \geq T_s$	$C_2 = 1 + \frac{1}{800} \left[ \frac{R - 1}{T} \right]^2$ recommended only for structures with significant stiffness and/or strength degradation	Hysteretic pinching Cyclic degradation
$C_2$ (non-degrading systems)	1.0	1.0	
$C_3$	$1.0 + \frac{ \alpha (R - 1)^{3/2}}{T_e}$	Eliminate in favor of strength limit	P-A In-cycle degradation

Gambar 4. 99: Faktor Modifikasi  $C_1$  dan  $C_2$

dari perhitungan dapat diketahui nilai :

$$T_s = \frac{S_{D1}}{S_{DS}} = \frac{0,315}{0,400} = 0,786 \text{ det}$$

$$T_e = 1,166 \text{ det arah x-x}$$

$$T_e = 1,216 \text{ det arah y-y}$$

Maka  $T_e \geq T_s$ , sehingga  $C_1 = 1,0$  dan nilai  $C_2 = 1,0$  untuk non-degrading system, sehingga faktor  $C_1$ ,  $C_2$  bernilai sama dengan FEMA 356, sehingga target perpindahannya juga sama dengan FEMA 356

#### 4.5.2.4. Resume

Dari perhitungan dengan 3 metode diatas maka dapat ditabelkan nilai target perpindahan atau nilai performance point untuk masing-masing metode dengan nilai target kinerjanya, dan dapat dilihat pada tabel berikut :

Tabel 4 23: *Resume Target Perpindahan*

Arah	Parameter	Rencana DDBD	Hasil Pushover Analysis		
			ATC-40	FEMA 356	FEMA 440
Arah x-x	Target Perpindahan, $\Delta_m$ (m)	0,262	0,166	0,168	0,168
	Drift Aktual ( $\Delta_m / T_{tot}$ )	0,02	0,01	0,01	0,01
	Level Kinerja	Life Safety	Immediate Occupancy	Immediate Occupancy	Immediate Occupancy
Arah y-y	Target Perpindahan, $\Delta_m$ (m)	0,262	0,207	0,211	0,211
	Drift Aktual ( $\Delta_m / T_{tot}$ )	0,02	0,01	0,01	0,01
	Level Kinerja	Life Safety	Immediate Occupancy	Immediate Occupancy	Immediate Occupancy

Dari Tabel diatas dapat dilihat untuk masing-masing arah pada 3 metode menghasilkan nilai target perpindahan hampir mendekati nilai

rencana DDBD. Hal ini berarti seluruh keseluruhan struktur berada pada kategori kinerja *Immediate Occupancy* dengan level kinerja desain *Life Safety*.

#### 4.5.2.5. Perbandingan *Drift* dan *Displacement*

Nilai drift desain dan hasil analisis non linier atau pushover juga *displacement* profil desain dan hasil *pushover* perlu dibandingkan. Untuk drift desain akan dihitung menggunakan persamaan dibawah yang bersumber pada *Priestley et. al 2007*.

$$\theta_i = \left( 1,00 - 0,5 \frac{H_i}{H_n} \right) \times \theta_0$$

Dimana :

$\theta_0$  : desain *drift* limit rencana sesuai level kinerja (0,02 *Life Safety*)

$\theta_i$  : *drift* pada lantai ke-*i*

$H_i$  : ketinggian pada lantai ke-*i*

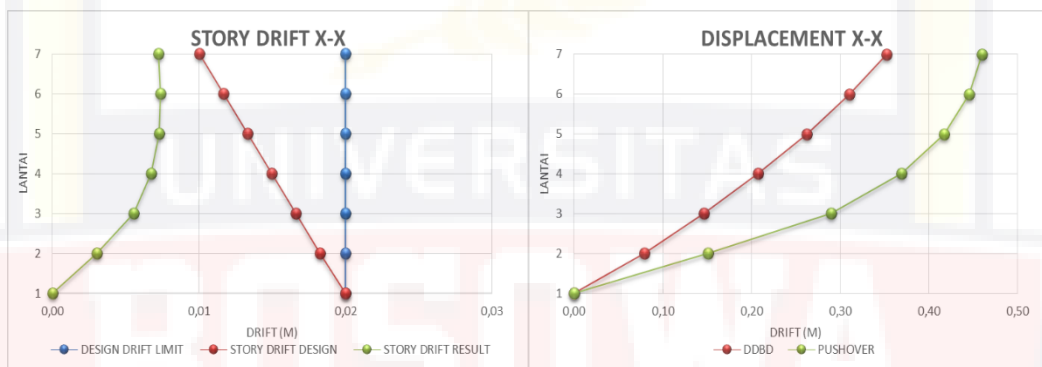
$H_n$  : ketinggian puncak

Selanjutnya perhitungan nilai drift desain akan dihitung pada Tabel 4.24 dan 4.25, juga nilainya akan dibandingkan dengan nilai hasil drift pada analisa pushover. Nilai drift hasil adalah nilai besarnya perpindahan antar lantai dibagi dengan ketinggian setiap lantai. Kemudian hasil dari Tabel 4.24 dan 4.25 akan dibuat grafik pada Gambar 4.94 dan 4.95.

Tabel 4.24: Perbandingan Nilai Drift dan Displacement Arah x-x

Level	Tinggi $H_i$ (m)	Design Drift Limit $\theta$	Displacement (DDBD)	Story Drift Design	Displacement (Pushover)	Story Drift Design
7	22,46	0,02	0,352	0,010	0,460	0,007
6	18,76	0,02	0,311	0,012	0,445	0,007

Level	Tinggi $H_i$ (m)	Design Drift Limit $\theta$	Displacement (DDBD)	Story Drift Design	Displacement (Pushover)	Story Drift Design
5	15,06	0,02	0,262	0,013	0,417	0,007
4	11,36	0,02	0,208	0,015	0,369	0,007
3	7,66	0,02	0,147	0,017	0,290	0,006
2	3,96	0,02	0,079	0,018	0,151	0,003
1	0,00	0,02	0,000	0,020	0,000	0,000



Gambar 4. 100: Perbandingan Drift dan Perbandingan Displacement

Tabel 4 25: Perbandingan Nilai Drift dan Displacement Arah y-y

Level	Tinggi $H_i$ (m)	Design Drift Limit $\theta$	Displacement (DDBD)	Story Drift Design	Displacement (Pushover)	Story Drift Design
7	22,46	0,02	0,352	0,010	0,429	0,007
6	18,76	0,02	0,311	0,012	0,396	0,007
5	15,06	0,02	0,262	0,013	0,347	0,006
4	11,36	0,02	0,208	0,015	0,268	0,005
3	7,66	0,02	0,147	0,017	0,164	0,003
2	3,96	0,02	0,079	0,018	0,069	0,001
1	0,00	0,02	0,000	0,020	0,000	0,000



Gambar 4. 101: Perbandingan Drift dan Perbandingan Displacement

Dari Tabell dan Gembar diatas dapat dilihat bahwa grafik *drift result* dari *pushover analysis* masih jauh dari grafik *design drift limit*. Nilai *drift* hasil *pushover analysis* memiliki nilai yang tidak melebihi nilai *design drift limit* yang berarti bahwa untuk masing-masing lantai masih berada dalam level kinerja *life safety* sesuai desain.

## BAB V

### PENUTUP

#### 5.1. Kesimpulan

Dari hasil perhitungan dengan Metode Berbasis Kinerja

1. Target Kinerja Struktur
- Digunakan tingkat kinerja struktur *life safety* dengan sesuai kegunaan bangunan yaitu fasilitas pendidikan mengacu pada ATC 40 : 1996
2. Struktur sekunder :
  - Pelat menggunakan bondek dari Super Floor Deck dengan tebal 0,75 mm. Untuk pelat atap dengan tebal 100 mm dengan tulangan negative ø8-200 (susut dan utama). Sedangkan pelat lantai dengan tebal 125 mm dengan tulangan negative ø8-125 (utama) dan ø8-140 (susut).
  - Dimensi balok anak pada atap portal 1-2 menggunakan profil IWF150x100x6x9 dan portal 2-3 menggunakan profil IWF350x175x7x11. Sedangkan balok anak pada lantai portal 1-2 menggunakan profil IWF250x125x6x9 dan portal 2-3 menggunakan profil IWF350x175x7x11.
  - Tebal pelat anak tangga digunakan 5 mm, dimensi pengaku pelat anak menggunakan profil L60x60x5. Tebal pelat bordes yang digunakan 10 mm, dimensi balok bordes AB dan CD menggunakan

profil IWF100x50x4,5x6,8. Dimensi balok utama tangga dan balok penumpu tangga menggunakan profi IWF250x125x6x9.

- Dimensi balok penggantung lift menggunakan profil IWF300x150x6,5x9.

- Digunakan mutu baja BJ41

### 3. Struktur primer

- Dimensi balok induk atap portal 1-2 arah x menggunakan profil IWF200x100x5,5x8 dan arah y menggunakan profil IWF150x100x6x9. Sedangkan pada portal 2-3 arah x menggunakan profil IWF350x175x7x11 dan arah y menggunakan profil IWF300x150x6,5x9.

- Dimensi balok induk lantai portal 1-2 arah x dan y menggunakan profil IWF300x150x6,5x9. Sedangkan pada portal 2-3 arah x dan y menggunakan profil IWF400x200x8x13.

- Dimensi kolom pada portal 1-2 dan 2-3 lantai 1-6 menggunakan profil H400x400x13x21.

- Digunakan mutu baja BJ41

### 4. Evaluasi kinerja struktur

- Level kinerja yang direncanakan pada metode *Direct Displacement Based Design (DDBD)* adalah 0,02 (*Life Safety*) dan pada kinerja struktur untuk metode ATC-40, FEMA 356, dan FEMA 440 mendapat level kinerja yang lebih baik yaitu 0,01 (*Immediate*

*(Occupancy)* dimana kondisi gedung setelah terjadinya gempa hampir sama dan dapat digunakan kembali.

- Dari hasil *running pushover analysis*, untuk arah x didapatkan 12 *step* pola beban dorong. Terjadinya peleahan sendi plastis pertama kali pada *step* ke-4, yaitu elemen berada pada kondisi B-IO berjumlah 1 sendi plastis, sisanya masih dalam kondisi A-B. Pada kondisi *step* ke-12 kondisi B-IO bertambah menjadi 783 sendi plastis dan kondisi plastifikasi pada elemen meningkat sehingga kondisi C-D berjumlah 3 sendi plastis yang sebelumnya belum ada pada *step* ke-4 sampai ke-9. Sedangkan untuk arah y terdapat 10 *step* pola beban dorong, sendi plastis pertama kali terjadi pada *step* ke-4 yaitu elemen berada pada kondisi B-IO berjumlah 2 sendi plastis, sisanya masih dalam kondisi A-B. Pada kondisi *step* ke-10 kondisi B-IO bertambah menjadi 75 sendi plastis dan kondisi plastifikasi pada elemen meningkat sehingga kondisi IO-LS berjumlah 87 sendi plastis yang sebelumnya belum ada pada *step* ke-4 dan *step* ke-5.

## 5.2. Saran

1. Sebaiknya dilakukan studi yang mempelajari tentang perencanaan struktur dengan menggunakan *performance based design* atau desain berbasis kinerja lebih lanjut karena metode ini sangat membutuhkan tinjauan lanjut dan koreksi agar dapat diterapkan

dengan tepat sehingga dihasilkan kinerja struktur bangunan yang sesuai ketika terjadi gempa.

2. Sebaiknya dilakukan peninjauan terhadap Gedung 1 dan 2 Universitas Bosowa agar titik kinerja dan level kinerja gedung diketahui saat dan setelah terjadi gempa.

## DAFTAR PUSTAKA

- Anomius, 2015, *Spesifikasi untuk Bangunan Baja Struktural, SNI 1729:2015*, Badan Standardisasi Nasional, Jakarta.
- Anomius, 2019, *Tata Cara Perencanaan Ketahanan Gempa untuk Bangunan Gedung, SK SNI 03-1726-2019*, Badan Standardisasi Nasional, Bandung.
- Anomius, 2018, *Beban Desain Minimun dan Kriteria Terkait untuk Bangunan Gedung dan Struktur Lain, SNI 1727:2020*, Badan Standardisasi Nasional, Jakarta.
- Applied Technologi Council (ATC 40), 1996, *Seismic Evaluation and Retrofit of Concrete Buildings Volume 1*, Redwood City, California, U.S.A.
- ASCE, 2000, *FEMA 356 – Prestandard and Commentary for The Seismic Rehabilitation of Buildings*, Federal Emergency Management Agency, Washintong, D.C.
- Applied Technology Council (ATC 55), 2005, *FEMA 440 – Improvement of Nonlinier Static Seismic Analysis Procedures*, Department of Homeland Security Federal Emergency Management Agency, Washintong, D.C.
- Dewobroto, Wiryanto, 2006, *Evaluasi Kinerja Bangunan Baja Tahan Gempa dengan SAP2000*, Jurnal Teknik Sipil Vol. 3, Jurusan Teknik Sipil Universitas Pelita Harapan, Jakarta.

Hendra Laksono: dan Ricky Christiyanto, 2010, *Perencanaan Struktur Gedung Rusunawa Unimus*, Skripsi Tidak Diterbitkan, Program Studi Teknik Sipil Fakultas Teknik Universitas Katolik Soegijapranata, Semarang.

Nurdianti, Ulfa, 2013, *Studi Keandalan Struktur Gedung Tinggi Tidak Beraturan Menggunakan Pushover Analysis Pada Tanah Medium*, Skripsi Tidak Diterbitkan, Jurusan Teknik Sipil Universitas Hasanuddin, Makasar.

Steel Deck Institute, 2012, *C-2011 Standart for Composite Steel Floor Deck-Slabs*, Steel Deck Institute, Alisson Park.

Setiawan, Agus, 2008, *Perencanaan Struktur Baja dengan Metode LRFD*, Semarang, Erlangga.

Tavio: dan Wijaya, 2018, *Desain Rekayasa Gempa Berbasis Kinerja*, Yogyakarta, Penerbit Andi.

Wibowo, Panji, 2016, *Perencanaan Ulang Gedung I.T.S Tower Jakarta Menggunakan Metode Performance Based Design*, Skripsi Tidak Diterbitkan, Jurusan Teknik Sipil Institute Teknologi Sepuluh November, Surabaya.

LAMPIRAN 1

---

# PENGEMBANGAN GEDUNG FAKULTAS KEDOKTERAN UNIVERSITAS BOSOWA

---





UNIVERSITAS  
**BOSOWA**

Konsep Desain  
PENGEMBANGAN GEDUNG  
**FAKULTAS KEDOKTERAN**  
UNIVERSITAS BOSOWA



UNIVERSITAS  
PENDIDIKAN GANESHA  
KEDOKTERAN

YAYASAN AKSA MAHMUD  
- owner  
- architect



karnabana  
desain interior exterior

- architect

Dr. Ir. Firdausi Pollelongi, M.Kes  
Dosen Jurusan Kedokteran  
Universitas Pendidikan Ganesha

- MENGETAHUI 1

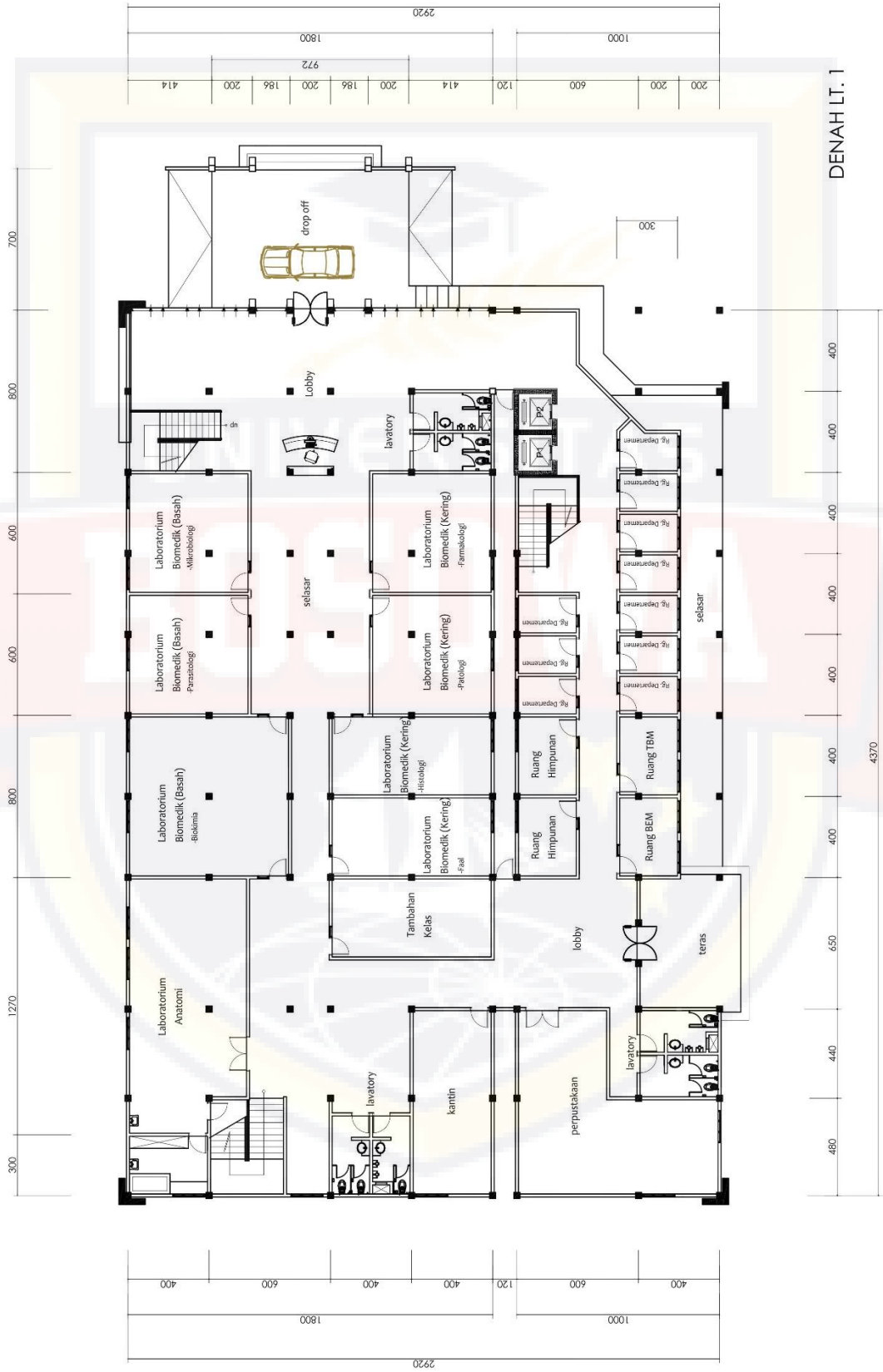
Prof. Dr. Ir. H. Mahomed Salleh PGS. M.Sc.  
Rektor Universitas Pendidikan Ganesha

- MENGETAHUI 2

Prof. Dr. Ir. H. Mahomed Salleh PGS. M.Sc.  
Rektor Universitas Pendidikan Ganesha

- MENGETAHUI 3

DENAH LT. 1

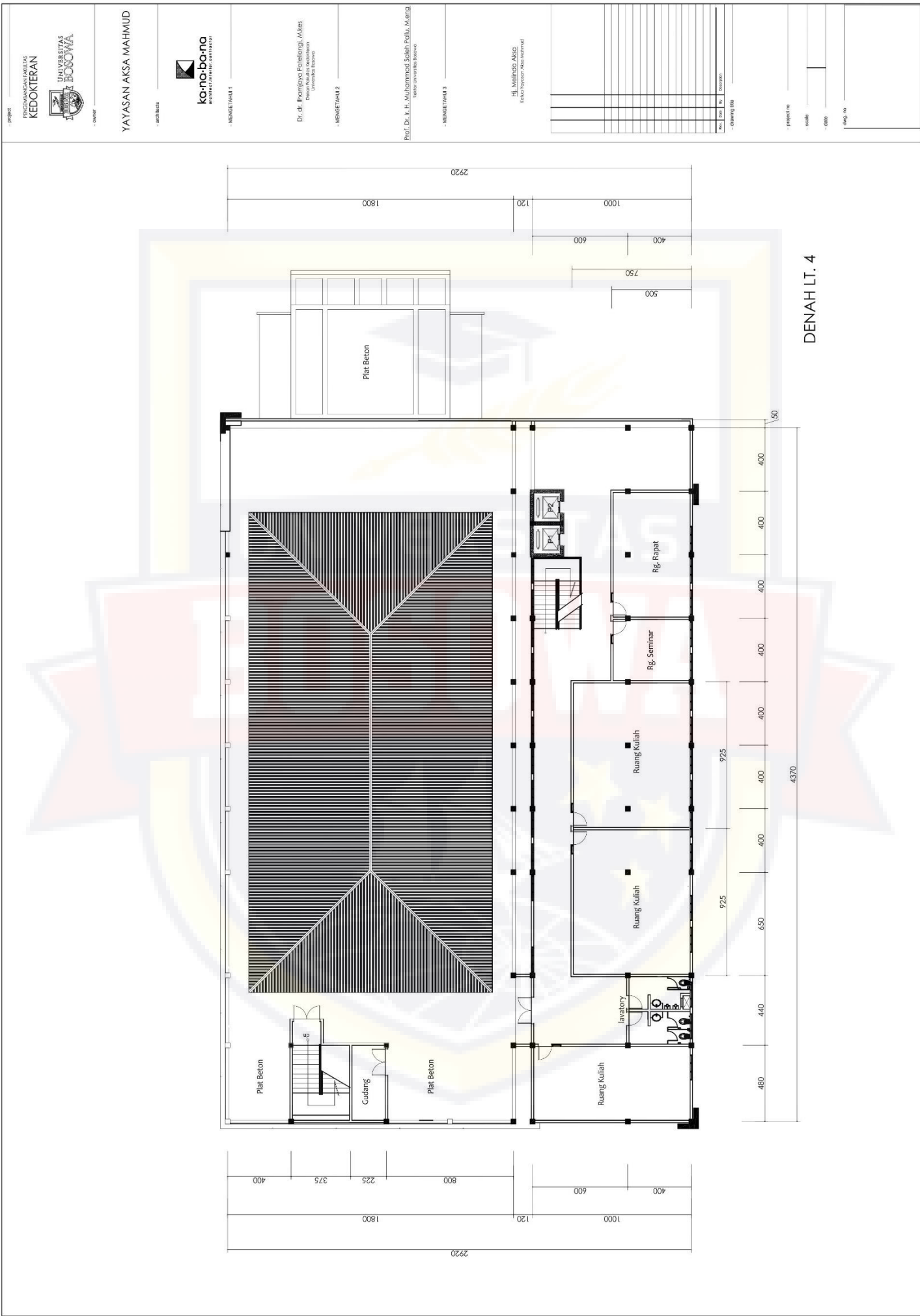




This architectural floor plan illustrates a building section with the following details:

- Dimensions:** The overall width of the building section is 4114 mm, divided into 120, 600, 400, 1000, and 1800 units along the top edge. The height is 2920 mm, divided into 700, 800, 725, 545, and 700 units along the left edge.
- Rooms and Fixtures:**
  - Ruang PBL 1:** Located at the bottom left, featuring a staircase and a lavatory.
  - Ruang PBL 2:** A large room with a "rg. kuliah" fixture.
  - Ruang PBL 3:** A room with a "rg. kuliah" fixture.
  - Ruang PBL 4:** A room with a "rg. kuliah" fixture.
  - Ruang PBL 5:** A room with a "rg. kuliah" fixture.
  - Ruang PBL 6:** A room with a "rg. kuliah" fixture.
  - Ruang PBL 7:** A room with a "rg. kuliah" fixture.
  - Ruang PBL 8:** A room with a "rg. kuliah" fixture.
  - Ruang PBL 9:** A room with a "rg. kuliah" fixture.
  - Ruang PBL 10:** A room with a "rg. kuliah" fixture.
  - Ruang PBL 11:** A room with a "rg. kuliah" fixture.
  - Ruang PBL 12:** A room with a "rg. kuliah" fixture.
  - Ruang PBL 13:** A room with a "rg. kuliah" fixture.
  - Ruang PBL 14:** A room with a "rg. kuliah" fixture.
  - Ruang PBL 15:** A room with a "rg. kuliah" fixture.
  - Ruang PBL 16:** A room with a "rg. kuliah" fixture.
  - Ruang PBL 17:** A room with a "rg. kuliah" fixture.
  - Ruang PBL 18:** A room with a "rg. kuliah" fixture.
  - Ruang PBL 19:** A room with a "rg. kuliah" fixture.
  - Ruang PBL 20:** A room with a "rg. kuliah" fixture.
  - Ruang PBL 21:** A room with a "rg. kuliah" fixture.
  - Ruang PBL 22:** A room with a "rg. kuliah" fixture.
  - Ruang PBL 23:** A room with a "rg. kuliah" fixture.
  - Ruang PBL 24:** A room with a "rg. kuliah" fixture.
  - Plat Beton:** A central concrete slab area.
  - Lavatory:** Located in several rooms, including Ruang PBL 1, Ruang PBL 6, Ruang PBL 10, and Ruang PBL 17.
- Fixtures:** Each room contains a "rg. kuliah" fixture, which typically refers to a lecture hall or classroom fixture.
- Walls:** Internal walls are indicated by solid lines, and external walls by dashed lines.
- Labels:** Room numbers and fixture types are clearly labeled throughout the plan.

DENAH LT. 3





- project:  
UNIVERSITAS  
KEDOKTERAN  
BHYANGKARA  
- owner:  
YAYASAN AKSA MAHMUD



- architect:

MENGEKH 1

Dr. Ir. H. Mulyadi Palenggi, M.S.  
Dosen Jurusan Teknik Sipil  
Universitas Bhayangkara

- MENGEKH 2

Prof. Dr. Ir. H. Muhammadi Saleh Palle, M.Eng.  
Ketua Jurusan Teknik Sipil

- MENGEKH 3

Hj. Melinda Aisyah  
Ketua Jurusan Teknik Sipil

- project:

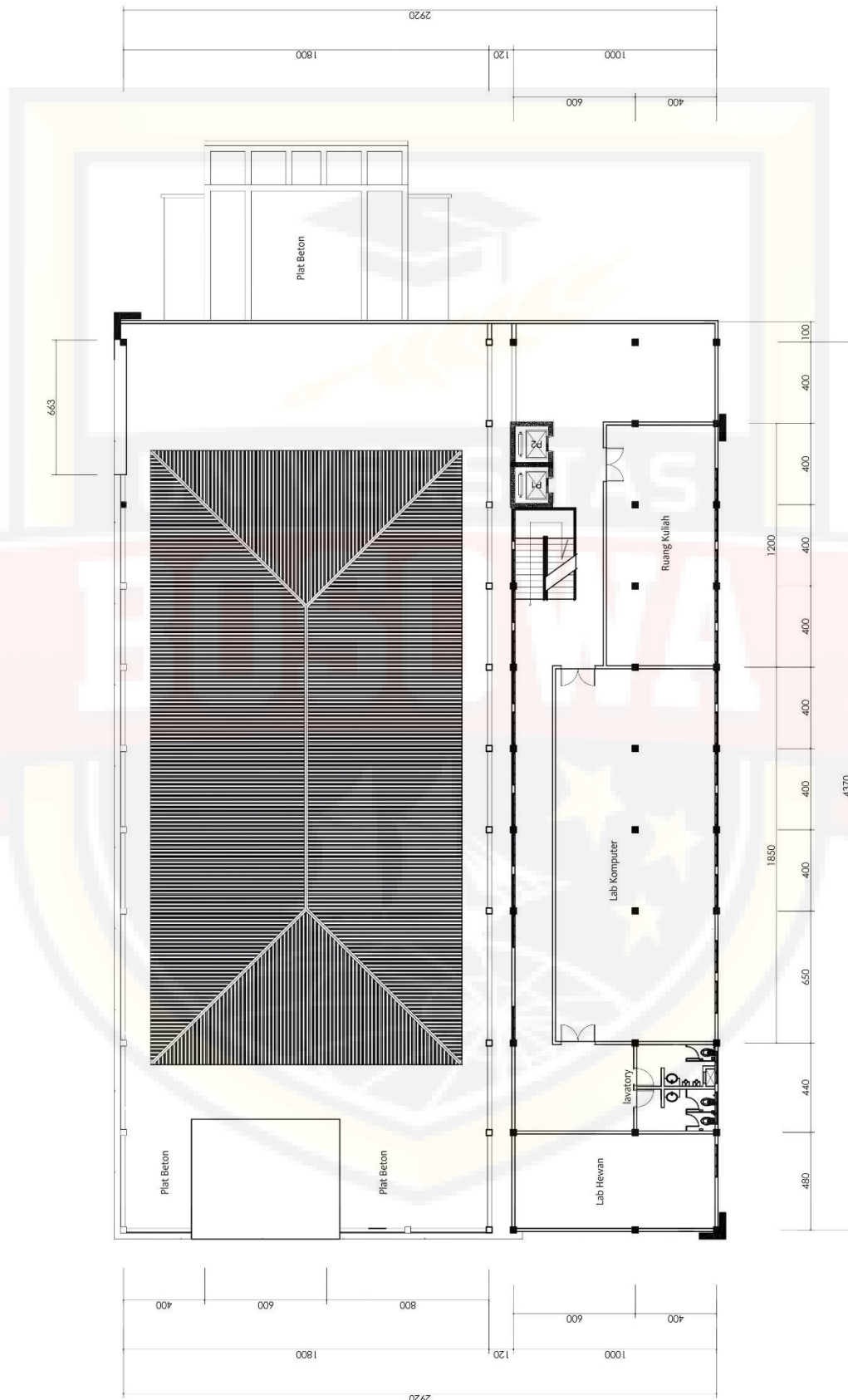
no:

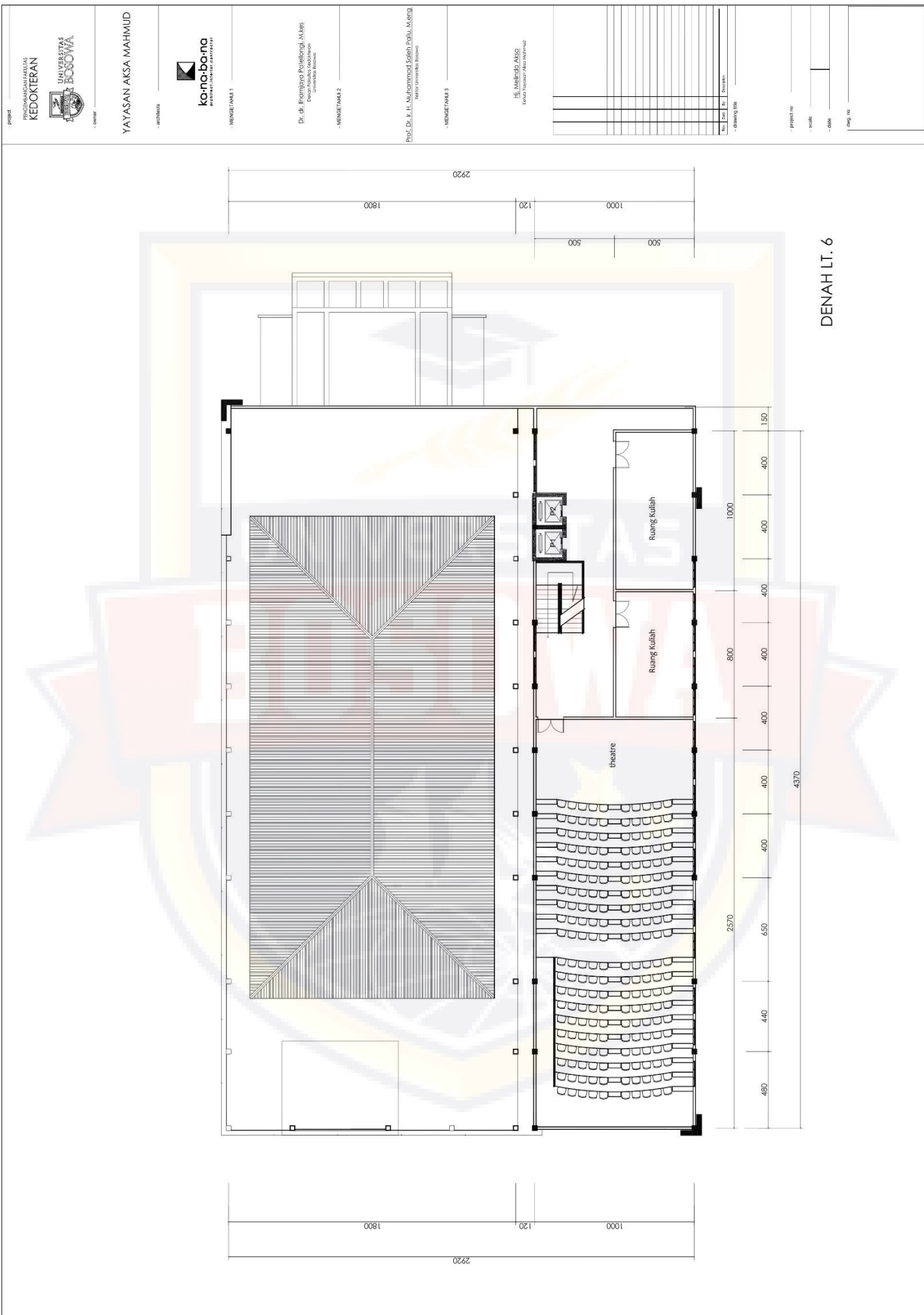
scale:

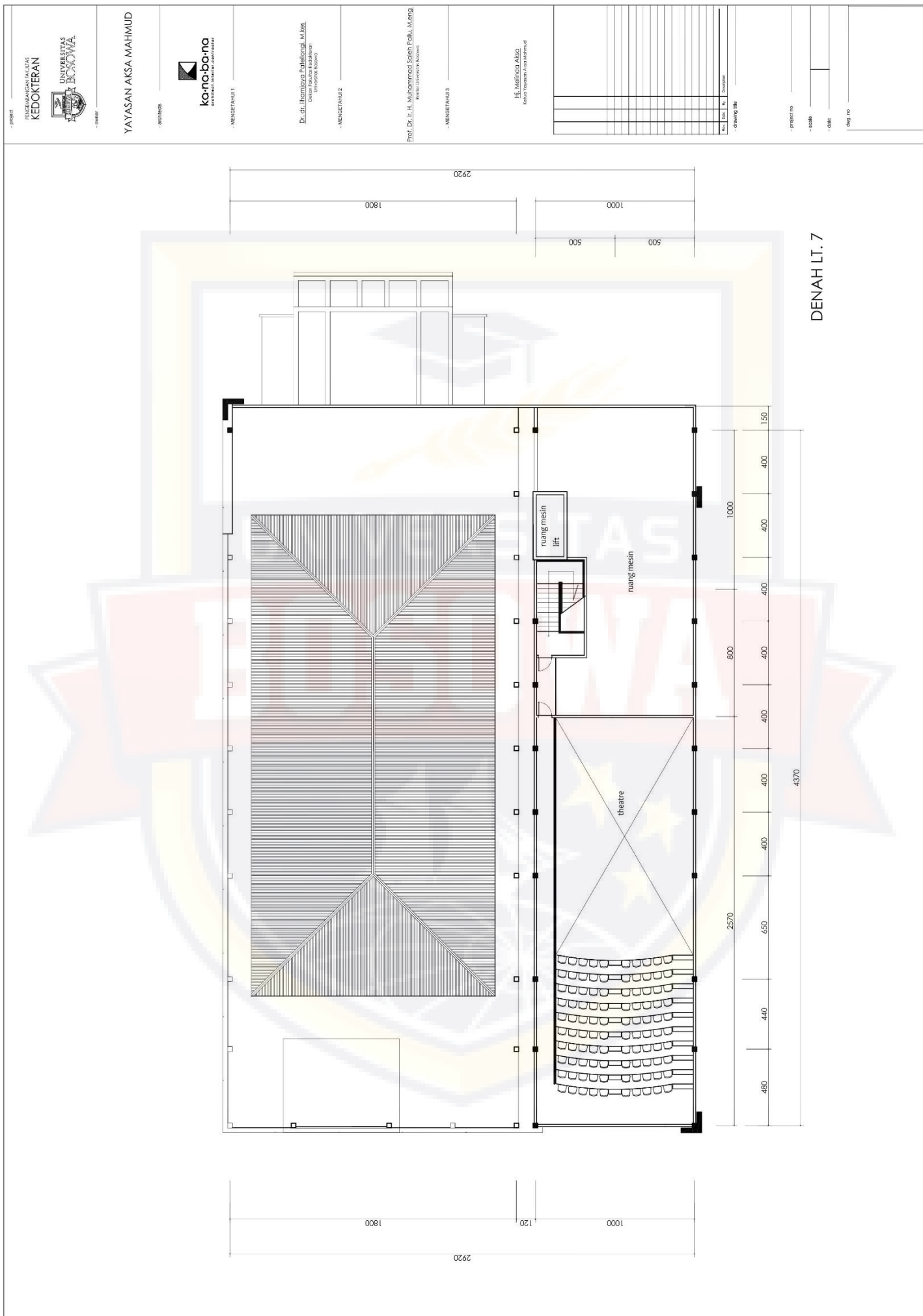
date:

obj:

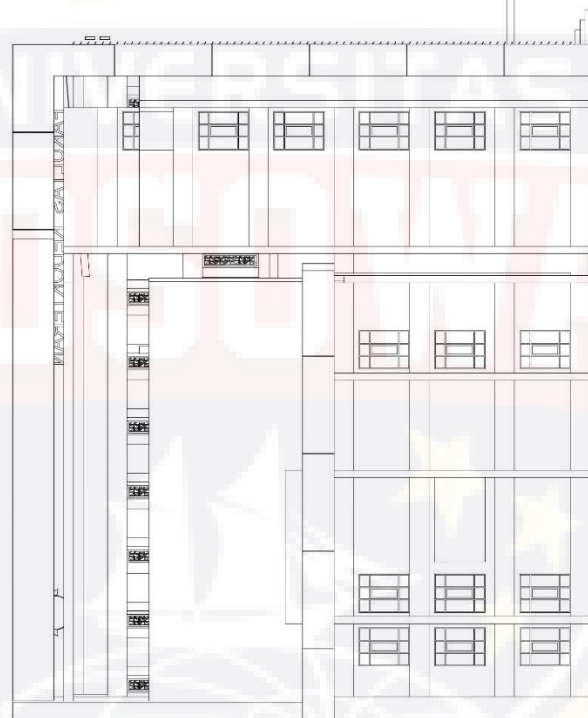
DENAH LT. 5





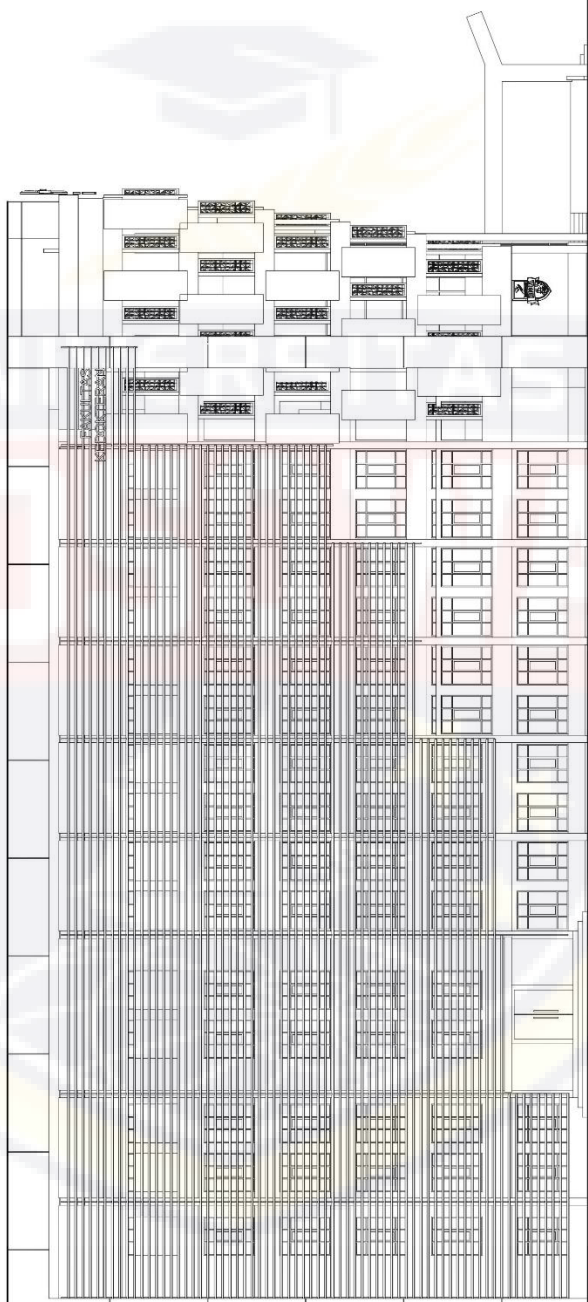


project	 <p>UNIVERSITAS KEDOKTERAN BOSOWA</p> <p>- owner</p>																						
	<p>YAYASAN AKSA MAHMUD</p> <p>- architect</p>																						
	 <p>karabara estabilished 1998</p> <p>- engineer</p>																						
	<p>MENGETAHUI 1</p> <p>Dr. Ir. H. Muliadi, MM Dosen Pendidikan dan Belajar Universitas Islam Negeri Maulana Malik Ibrahim</p>																						
	<p>MENGETAHUI 2</p> <p>Prof. Dr. Ir. H. Muhammad Saithi Polu, MEng Ketua Jurusan Sipil</p>																						
	<p>MENGETAHUI 3</p> <p>Hl. Melinda Aiko ketua Komite Abu Bakar</p>																						
	<table border="1"> <tr><td>No.</td><td>Date</td><td>By</td><td>Remarks</td></tr> <tr><td colspan="4">drawing title</td></tr> <tr><td colspan="4">- code</td></tr> <tr><td colspan="4">- date</td></tr> <tr><td colspan="4">no</td></tr> </table>			No.	Date	By	Remarks	drawing title				- code				- date				no			
No.	Date	By	Remarks																				
drawing title																							
- code																							
- date																							
no																							
 <p>FAKULTAS KEDOKTERAN</p> <p>UNIVERSITAS BOSOWA</p> <p>TAMPAK DEPAN</p>																							

<p>project BERGARANSI 1 TAHUN UNIVERSITAS KEDOKTERAN  - owner</p> <p>YAYASAN AKSA MAHMUD - architect</p> <p><b>karnabana</b> esential interior contractor - MENGETAHUI 1</p>	<p>Dr. dr. Ermingtony Potelongi, M.Kes Dosen Jurusan Kedokteran dan Biomedik Universitas Kedokteran</p> <p>- MENGETAHUI 2</p> <p>Prof. Dr. Ir. H. Muhammad Saleh, Pd.D., M.T.I. Rektor Universitas Kedokteran</p> <p>- MENGETAHUI 3</p> <p>H. Muliandri Aksa Konsultan Auto Academy</p>	<table border="1" style="width: 100%; border-collapse: collapse;"> <tr><td>No.</td><td>Date</td><td>% Done</td><td>Notes</td></tr> <tr><td>1</td><td>01/01/2024</td><td>0%</td><td>Initial</td></tr> <tr><td>2</td><td>02/01/2024</td><td>0%</td><td>Review</td></tr> <tr><td>3</td><td>03/01/2024</td><td>0%</td><td>Final</td></tr> </table>	No.	Date	% Done	Notes	1	01/01/2024	0%	Initial	2	02/01/2024	0%	Review	3	03/01/2024	0%	Final
No.	Date	% Done	Notes															
1	01/01/2024	0%	Initial															
2	02/01/2024	0%	Review															
3	03/01/2024	0%	Final															
		<b>TAMPAK BELAKANG</b>																

<p>- project RESEARCH &amp; LEARN UNIVERSITAS KEDOKTERAN BANDUNG</p> <p>- owner YAYASAN AKSA MAHMUD</p> <p>- architect karnabana arquitecto + arquitecte</p> <p>- MENG/E/P/Hd 1</p>		<p>Dr. dr. Ihamiyah Potealong, M.Ars Dosen Jurusan Arsitektur Universitas Pendidikan Ganesha</p> <p>- MENG/E/P/Hd 2</p>	<p>Prof. Dr. Ir. H. Mohammad Saleh Pdt., M.Tech Ketua Jurusan Arsitektur</p> <p>- MENG/E/P/Hd 3</p>	<p>Hl. MELIKO AKA Ketua Jurusan Arsitektur</p>	
<p>TAMPAK SAMPING KIRI</p>					
<p>No. Date To Drawing title</p> <p>- date</p> <p>- date</p> <p>- date</p>					

 <p>UNIVERSITAS KEDOKTERAN ISLAM BANDA ACEH</p> <p>- project</p>		<p>YAYASAN AKSA MAHMUD</p> <p>- owner</p>		 <p>kornaboro engineer architect</p> <p>- architect</p>		<p>Dr. Ir. Rhamdhana Patalonggi, M.Sc. Deputy Chairwoman of Architecture Universitas Islam Banda Aceh</p> <p>- MERGE FILE A1</p>		<p>Prof. Dr. Ir. H. Muhammad Saleh Poly, M.Eng. Editor of Universitas Islam Banda Aceh</p> <p>- MERGE FILE A2</p>		<p>H. M. Mulyadi, Aqiq Editor of Universitas Islam Banda Aceh</p> <p>- MERGE FILE A3</p>		<p>No. Col. by Row</p> <p>- drawing title</p>	
												<p>No. Col. by Row</p> <p>- title</p>	
												<p>No. Col. by Row</p> <p>- date</p>	
												<p>No. Col. by Row</p> <p>- page</p>	
												<p>No. Col. by Row</p> <p>- page</p>	



TAMPAK SAMPING KANAN

LAMPIRAN 2

**TUTORIAL *PUSHOVER ANALYSIS*,  
SAP2000 V22**



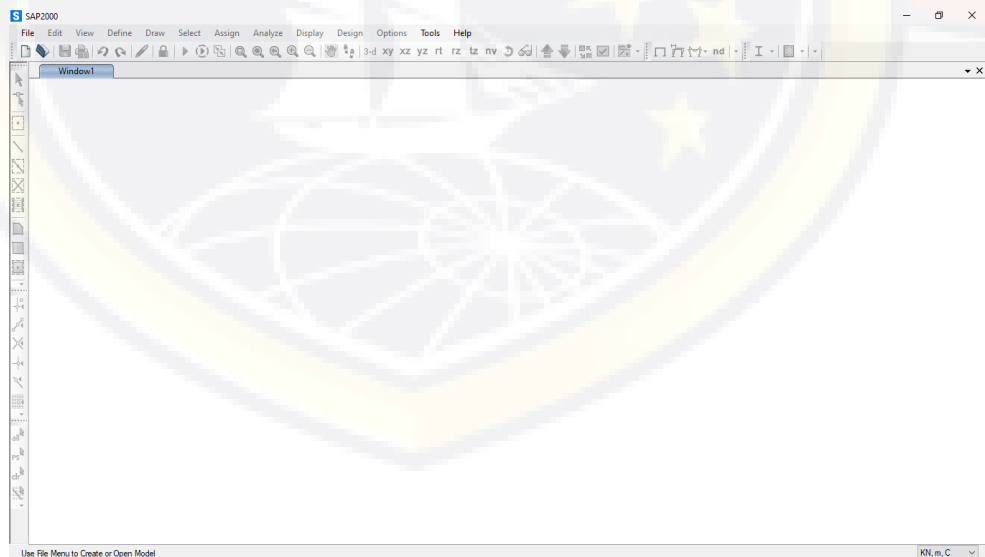
○ **PEMODELAN STRUKTUR PENGEMBANGAN GEDUNG FAKULTAS KEDOKTERAN UNIVERSITAS BOSOWA**

1. Bukalah program SAP2000 dengan cara klik *Start Menu > Computer*

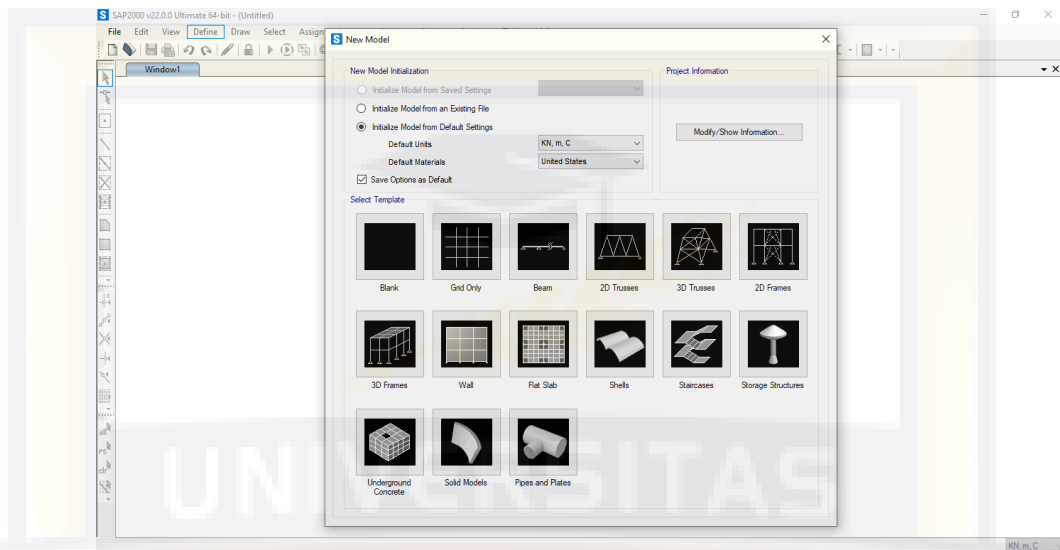
*and Structure > SAP2000 V22.*



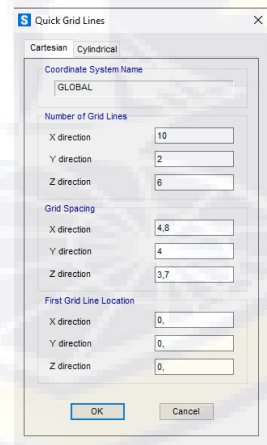
2. Maka akan muncul tampilan utama dari SAP2000 V22 sebagai berikut :



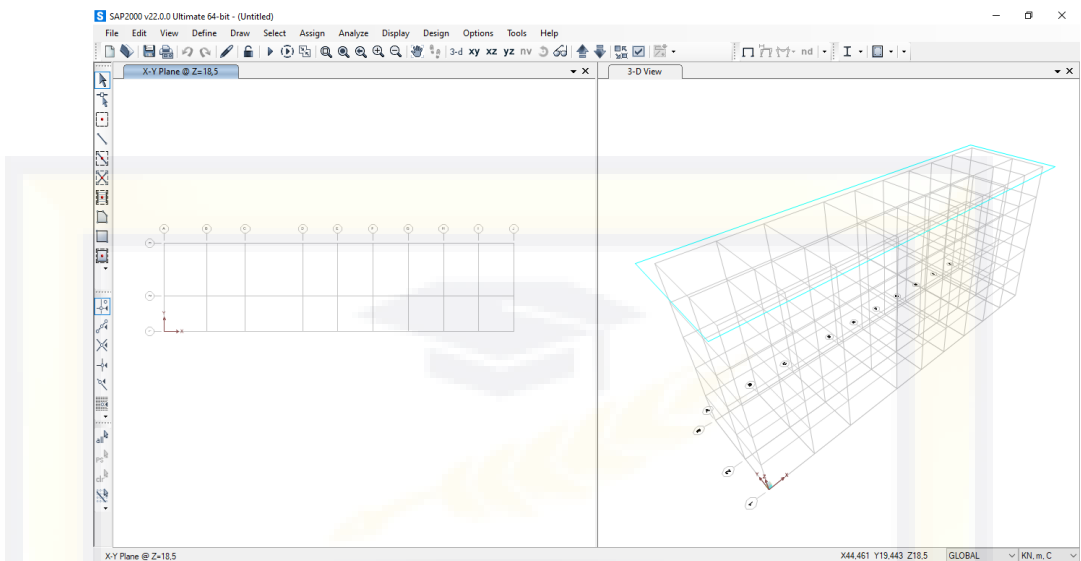
3. Lalu klik **File – New Model**, maka akan muncul kotak dialog seperti dibawah ini



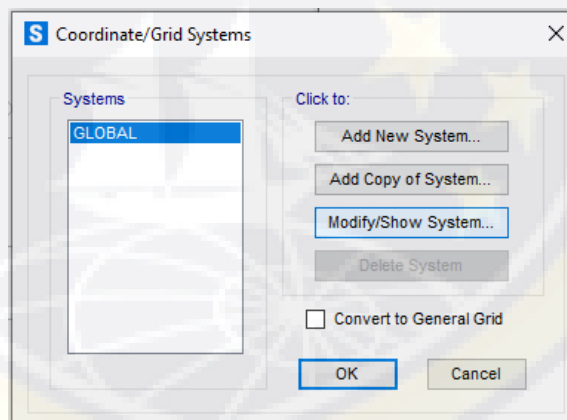
4. Pilih **Grid Only**, maka akan tampil seperti gambar dibawah ini. Setelah itu masukkan nilai x,y, dan z pada **Number of Grid Lines** menunjukkan jumlah joint tinjauan sedangkan **Grid Spacing** merupakan jarak antar joint.

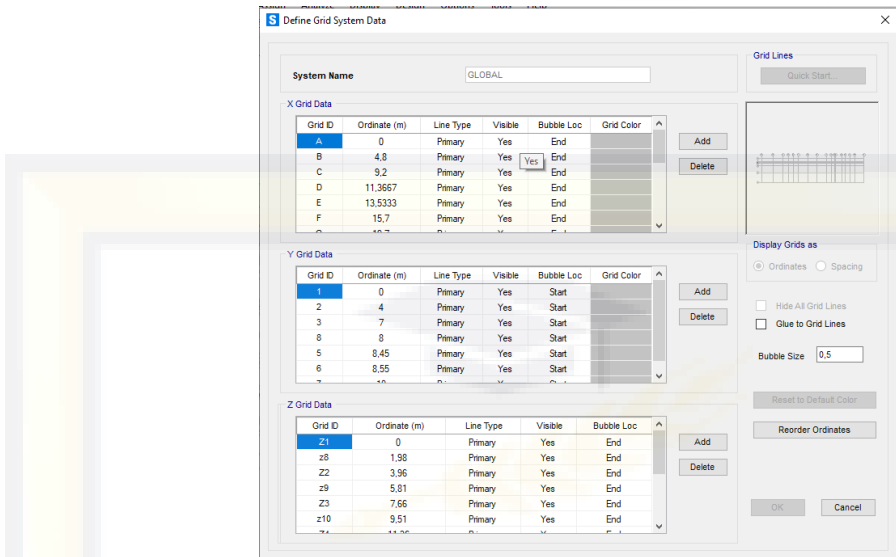


5. Bila data telah diisi, klik **OK** maka akan muncul grid sebagai berikut :



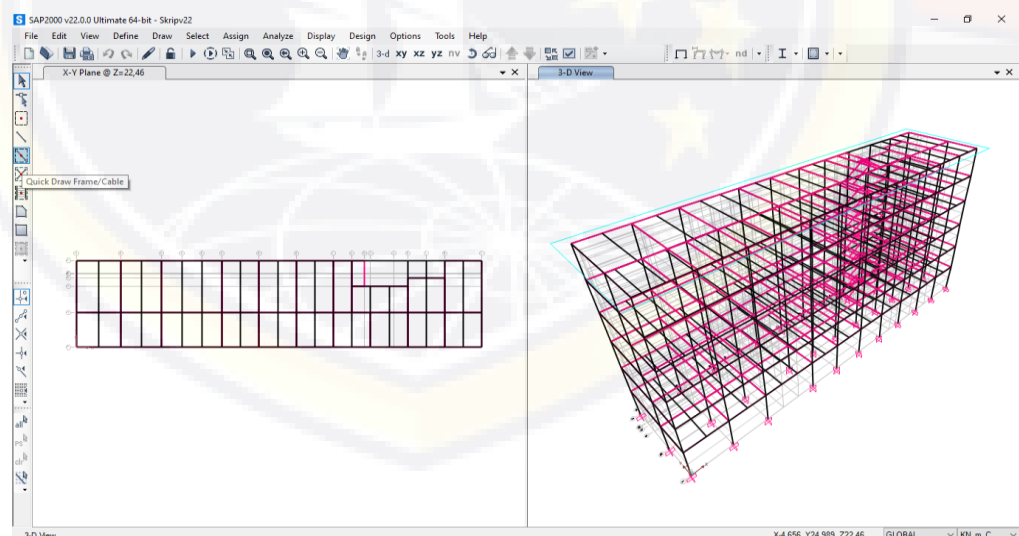
6. Untuk mengatur jarak grid, klik kanan mouse, lalu pilih menu **Edit Grid Data > Modify Show System** maka akan muncul kotak dialog seperti dibawah ini. Isi jarak terhadap bidang X, Y, Z sesuai dengan ukuran pengembangan gedung Fakultas Kedokteran Universitas Bosowa.



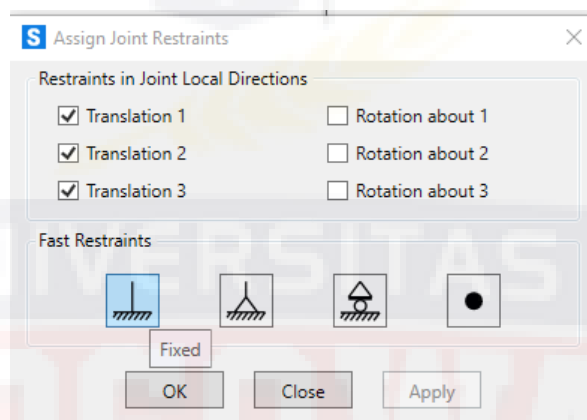


Isi kotak dialog diatas dengan jarak dalam satuan milimeter. Setelah itu klik **OK**

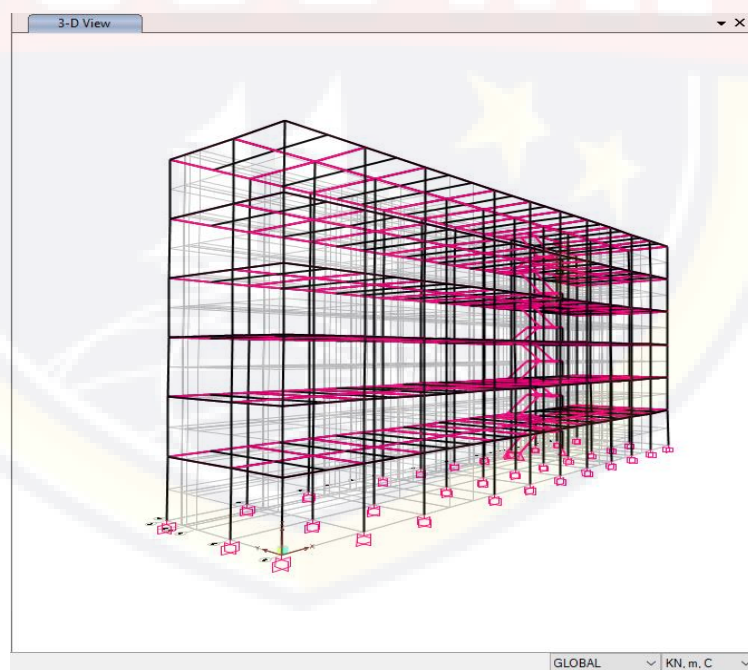
- Setelah jarak grid diatur, maka saatnya untuk menggambar Frame pada grid-grid tersebut. Klik pada menu **Draw > Draw frame/cable/tendon**. Dan gambar elemen frame, maka akan tampil seperti gambar dibawah ini.



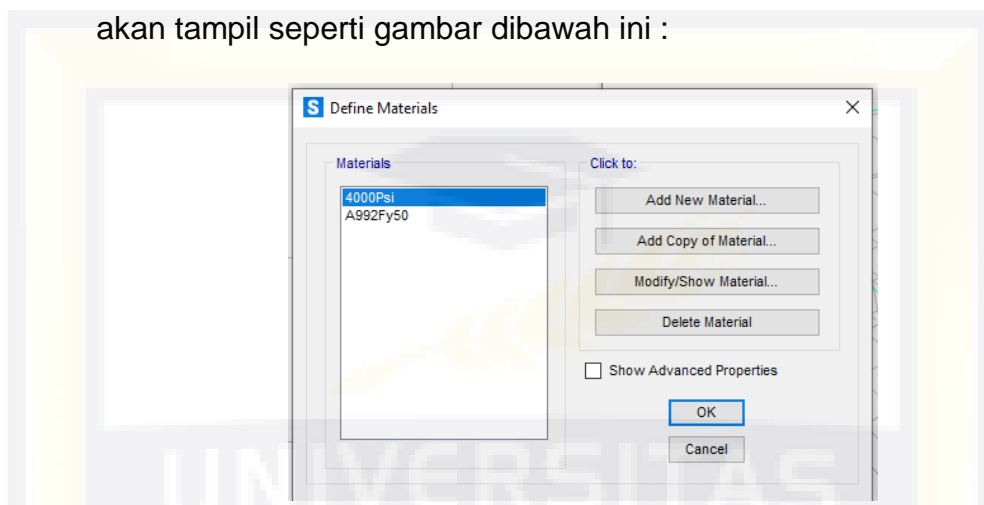
8. Draw semua frame pada grid arah x, arah y, arah z. sehingga setelah semua diberikan frame, maka berikan perletakan pada joint dasar. Lalu blok titik yang akan diberikan perletakan. Setelah itu menu **Assign > Joint > Restraints**. Beri perletakan jepit pada masing – masing joint dasar, lalu klik **OK**.



Sehingga akan muncul tampilan sebagai berikut :



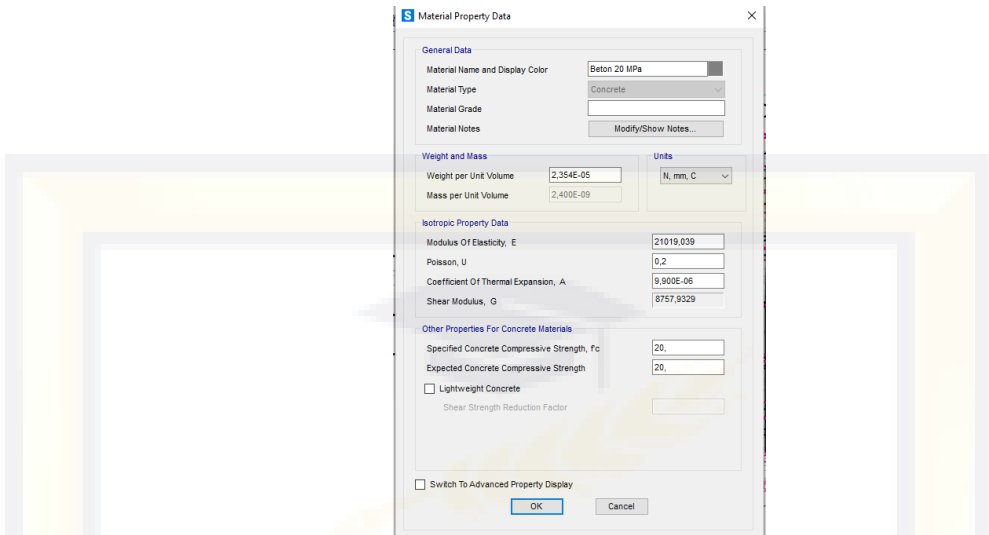
9. Langkah selanjutnya adalah mendefenisikan penampang untuk material yang akan digunakan. Pilih menu **Define > Materials** maka akan tampil seperti gambar dibawah ini :



Pilih **Add New Materials**, lalu pilih material **Steel** karena material yang digunakan adalah baja. Isi data baja sesuai dengan data material baja (BJ 41) pada kolom yang tersedia – Klik **OK**



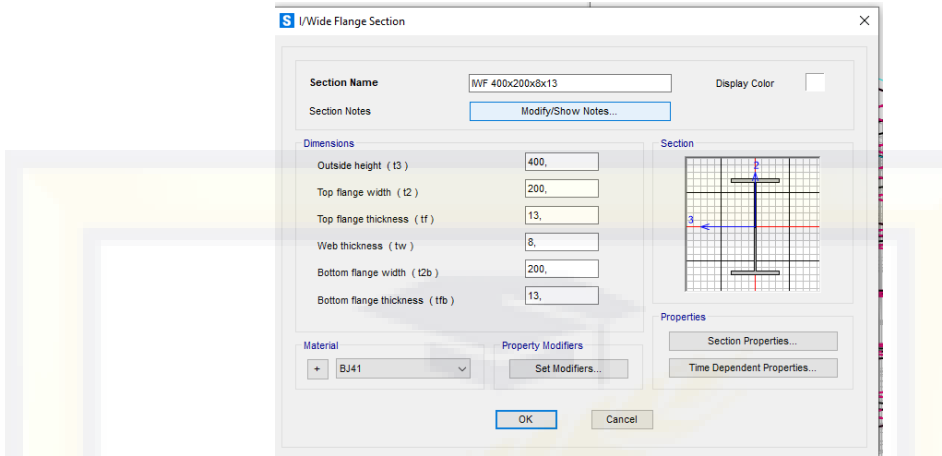
Kemudian **Add New Materials** lagi, pilih **Concrete** digunakan untuk pelat lantai isi data material beton ( $f'_c$  20 MPa) pada kolom yang disediakan – Klik **OK**



10. Setelah material baja dan beton telah didefinisikan, maka langkah selanjutnya adalah mendefinisikan properties dimensi penampang balok maupun kolom yang akan digunakan, pilih menu **Define > Section Properties > Frame Sections > Add New Property**, Pilih **Steel** lalu **I/Wide Flange**.

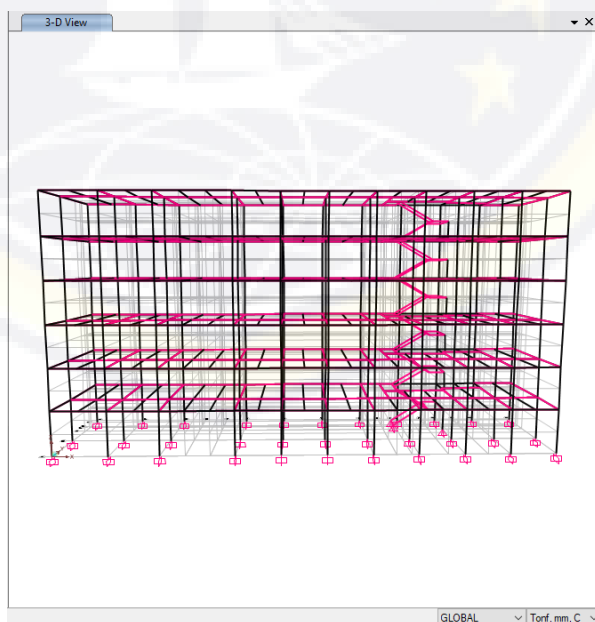


Kemudian ubah Section Name menjadi Nama penampang Kolom/Balok isi data pada kolom sesuai dengan data profil baja. Setelah itu Klik **OK**



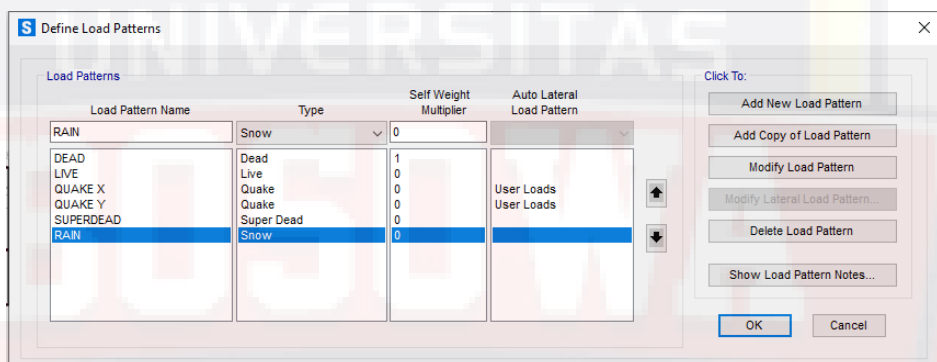
11. Setelah pendefinisian balok dan kolom selesai selanjutnya pendefinisian pelat dan tangga. Pilih menu **Define > Section Properties > Area Section**, selanjutnya pilih **Add New Section** lalu definisikan tebal pelat dan tangga yang digunakan.

12. Selanjutnya adalah me assign frame-frame tadi. Klik semua balok ato kolom pada gambar rencana, lalu pilih **Assign > Frame > Frame Sections**. Pilih dimensi balok atau kolom yang digunakan. Klik **OK**, sehingga tampilan struktur seperti berikut :

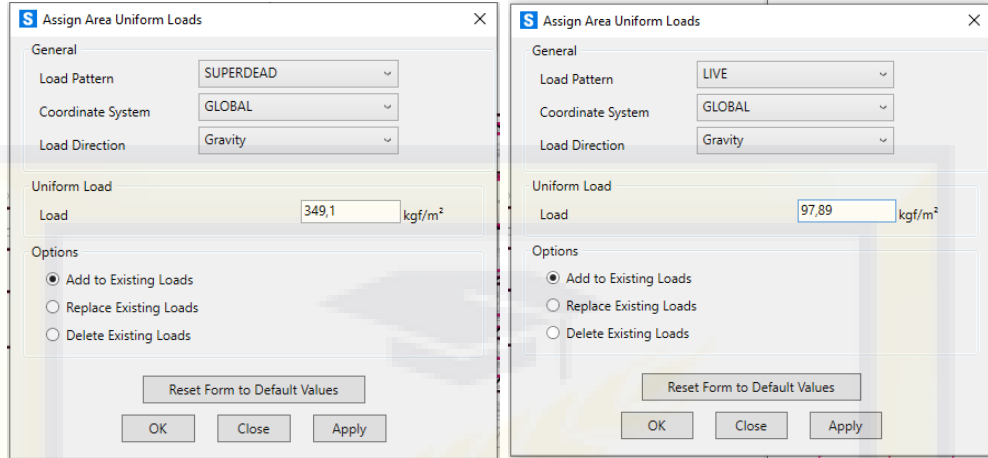


○ PEMBEBANAN STRUKTUR PENGEMBANGAN GEDUNG  
FAKULTAS KEDOKTERAN UNIVERSITAS BOSOWA

13. Selanjutnya memberikan beban-beban pada komponen struktur yang digunakan adalah Beban mati, Beban Hidup, Beban Mati Tambahan, Gempa Statik Arah X dan Arah Y serta mendefinisikan beban air hujan. Kemudian pilih **Define > Load Pattern**. Setelah kotak dialog muncul masukkan jenis beban seperti pada gambar berikut :



14. Untuk beban mati tambahan dan beban hidup, pilih semua elemen pelat lalu pilih **Assign > Area Loads > Uniform (Shell)**. Untuk beban mati tambahan pada Load Pattern Name pilih **Superdead** sedangkan untuk beban hidup pilih **Live**. Input nilai beban pada **Uniform Load > Load**.



15. Untuk beban gempa statik yang diperoleh dari perhitungan dengan metode DDBD nilainya diinput dengan cara pilih **Define > Load Pattern > Quake X**, Kemudian pilih **Modify Lateral Load Pattern**.

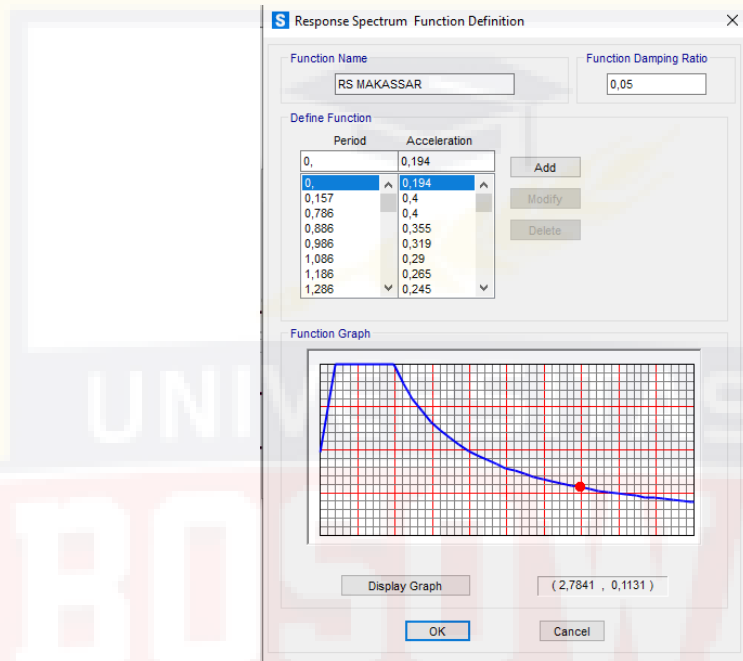
Diaphragm	Diaphragm Z	FX	FY	MZ	X	Y
DIAPH_22_46	22.46	187.37	0.	0.		
DIAPH_18_76	18.76	41.73	0.	0.		
DIAPH_15_06	15.06	35.39	0.	0.		
DIAPH_11_36	11.36	28.51	0.	0.		
DIAPH_7_66	7.66	19.39	0.	0.		
DIAPH_3_96	3.96	10.19	0.	0.		

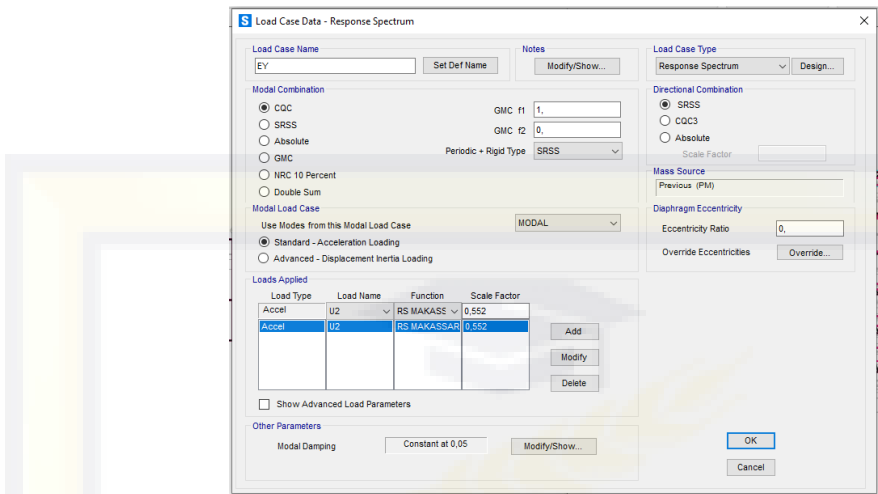
Diaphragm	Diaphragm Z	FX	FY	MZ	X	Y
DIAPH_22_46	22.46	0.	617.82	0.		
DIAPH_18_76	18.76	0.	195.25	0.		
DIAPH_15_06	15.06	0.	165.59	0.		
DIAPH_11_36	11.36	0.	133.38	0.		
DIAPH_7_66	7.66	0.	90.72	0.		
DIAPH_3_96	3.96	0.	47.69	0.		

kemudian input nilai hasil perhitungan, untuk arah Y caranya seperti diatas.

16. Untuk beban gempa dinamik, pilih **Define > Funcion > Respon Spectrum**. Kemudian masukkan nilai Respon Spektrum Desain (Sa) terhadap Periode (T). seperti gambar berikut :



17. Setelah pendefenisian respon spektrum selesai. Pilih **Define > Load Case > Add New Load Case**, Pada **Load Case Type** pilih Respon SPektrum sehingga muncul kotak dialog seperti ini



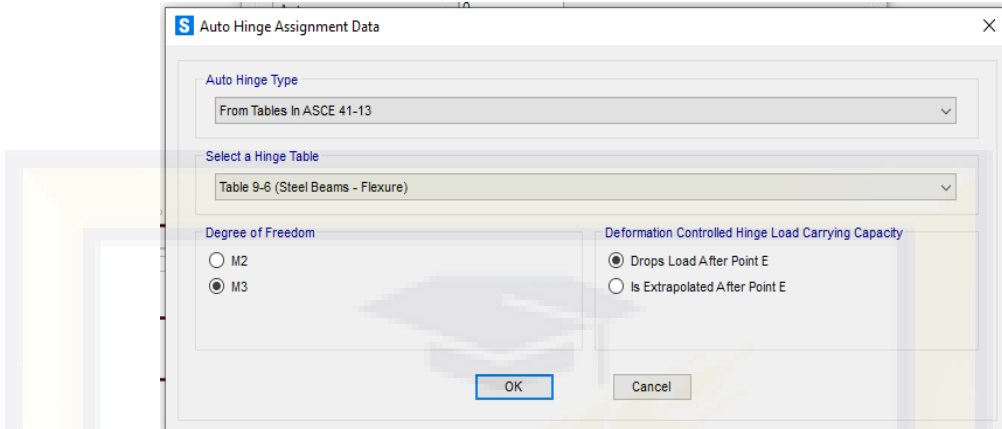
Isi parameter-parameter seperti diatas, sesuai SNI 1726-2019 input respon spektrum diberikan nilai pengali sebesar  $g \times I / R$  maka didapatkan  $U_1 = 1,8394$  dan  $U_2 = \frac{1}{2} U_1 = 0,552$ .

### o ANALISA BEBAN DORONG STATIK (PUSHOVER ANALYSIS)

18. Perilaku leleh dan pasca leleh pada elemen struktur dapat dimodelkan dalam ***Hinge Properties*** hanya dapat dipakai dalam elemen rangka. Pushover memberikan pilihan perhitungan *yield moment* dan *yield rotation* dari sendi plastis elemen rangka dilakukan secara otomatis oleh program ini atau bisa diinputkan nilainya. Untuk penelitian ini dilakukan secara otomatis pada program SAP2000 yang mengacu pada Tabel 9-6 ASCE 41-13.

- Pendefinisan ***Hinge Properties*** balok

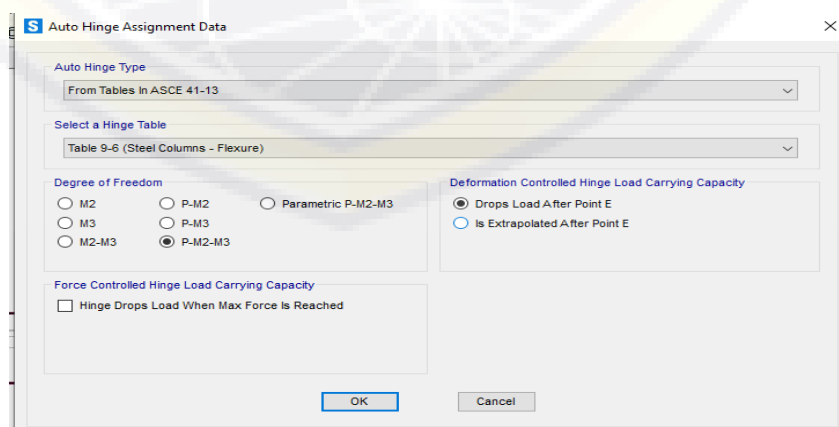
Pilih semua elemen balok, lalu pilih **Assign > Frame Hinges**. Pada ***Relative Distance*** masukkan nilai 0,05 yang menyatakan panjang bersih balok, lalu klik **Add**, sehingga muncul kotak dialog berikut :



Pada kotak **Auto Hinge Type** pilih **From Tables ASCE 41-13**, lalu pilih **Table 9-6 (Steel Beam – Flexure)**. Untuk elemen balok untuk **Degree of Freedom** pilih **M3** yang berarti sendi plastis hanya terjadi karena momen searah sumbu lokal 3.

Kembali pada form **Frame Hinge Assignment** masukkan 0,95 pada **Realative Distance** yang menyatakan posisi akhir dari panjang bersih balok, lalu klik **Add**.

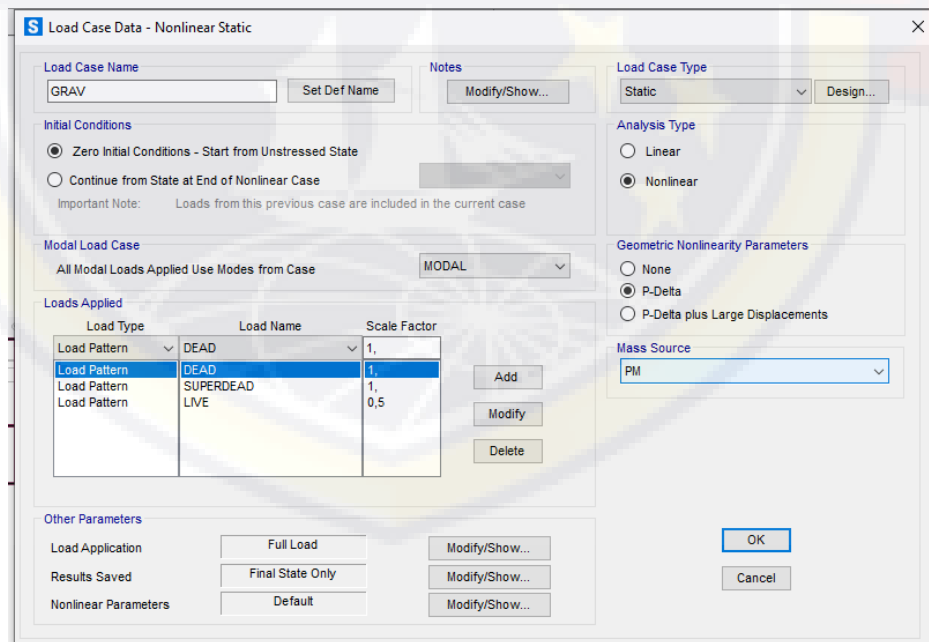
- Pendefenisian **Hinge Properties** kolom  
Pilih semua elemen balok, lalu pilih **Assign > Frame Hinges**. Pada **Relative Distance** masukkan nilai 0,05 yang menyatakan panjang bersih balok, lalu klik **Add**, sehingga muncul kotak dialog berikut :



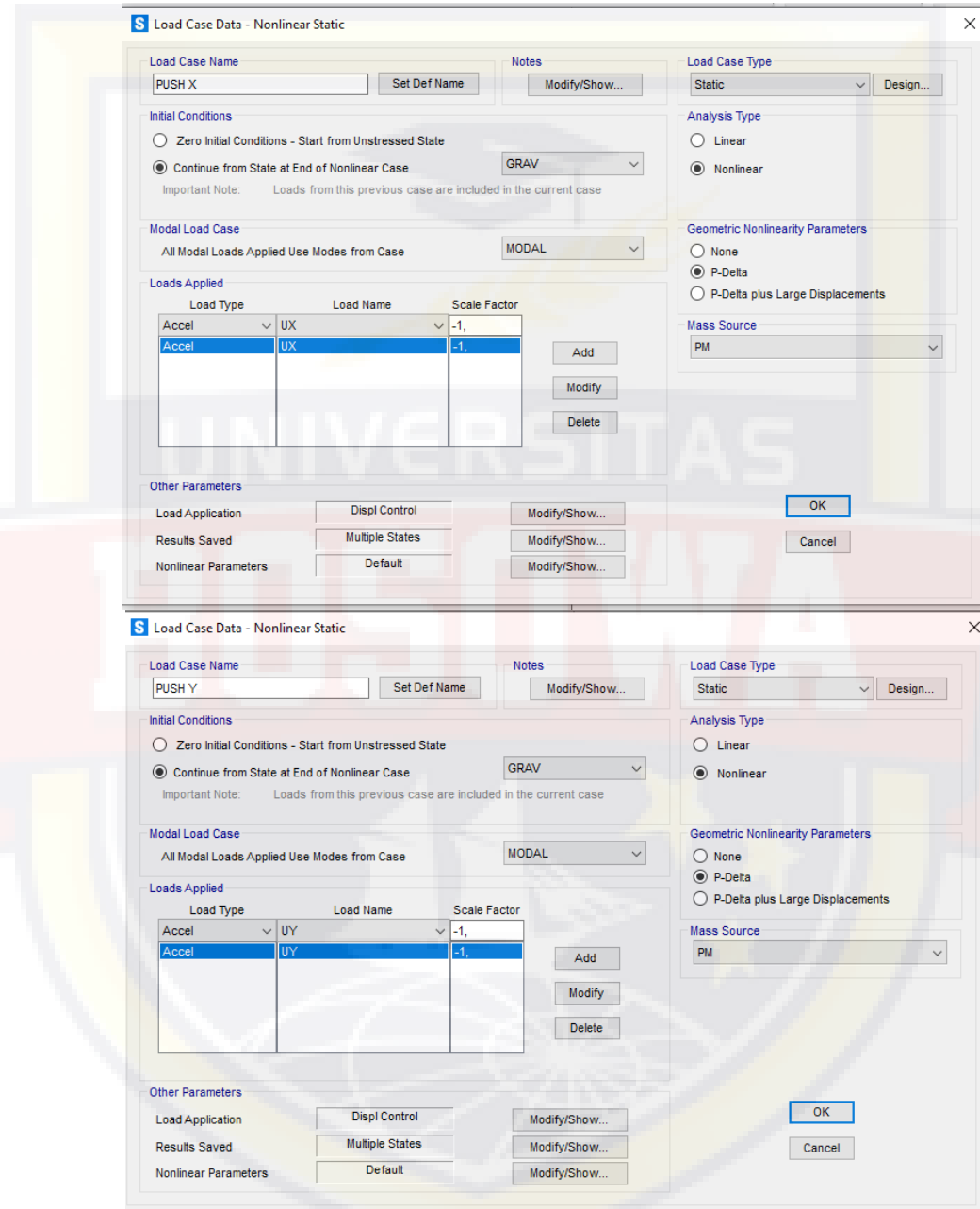
Pada kotak **Auto Hinge Type** pilih **From Tables ASCE 41-13**, lalu pilih **Table 9-6 (Steel Column – Flexure)**. Untuk elemen kolom untuk **Degree of Freedom** pilih **P-M2-M3** yang berarti sendi plastis karena interaksi gaya aksial (P) dan momen (M) sumbu lokal 2 dan sumbu lokal 3.

Kembali pada form **Frame Hinge Assignment** masukkan 0,95 pada **Relative Distance** yang menyatakan posisi akhir dari panjang bersih balok, lalu klik **Add**.

19. Pembebaan diberikan dalam dua tahapan, yakni yang pertama adalah pembebaan akibat beban gravitasi, yaitu kombinasi beban mati, beban mati tambahan dan beban hidup. Pilih **Define > Load Case > Add New Load Case**. Pada tahap ini sudah diperhitungkan kondisi non linier.



20. Selanjutnya pendefinisian beban lateral pada struktur. Pendefinisian tahap kedua melalui **Define > Load Case > Add New Load Case**.

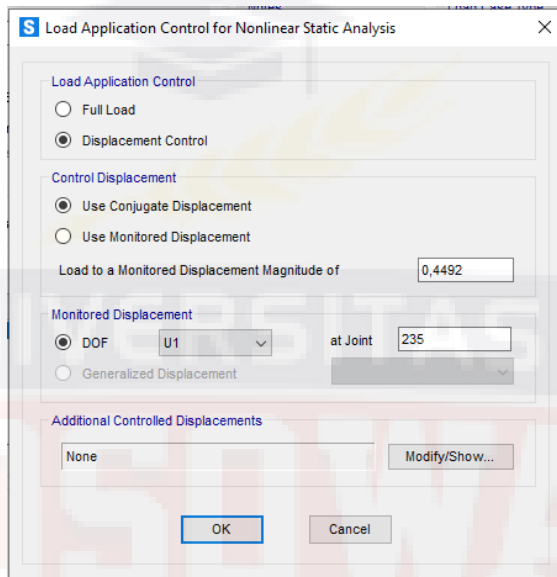


Kemudian pilih pada **Other Parameter > Load Application > Modify>Show**. Kemudian pada **Load Application Control** pilih **Displacement Control**, pada **Control Displacement** pilih **Use**

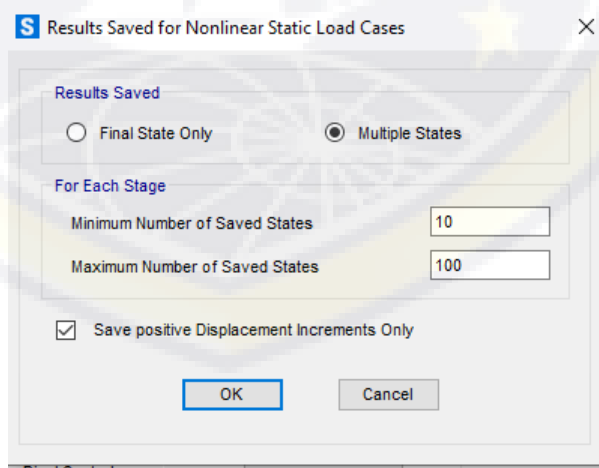
### **Conjugate Displacement, Load to a Monitored Displacement**

**Magnitude of** nilainya didapatkan dari  $0,20H_n = 0,20 \times 22,46 = 0,4492$  m, pada **Monitored Displacement DOF U1 at joint 235**

lalu klik **OK**.

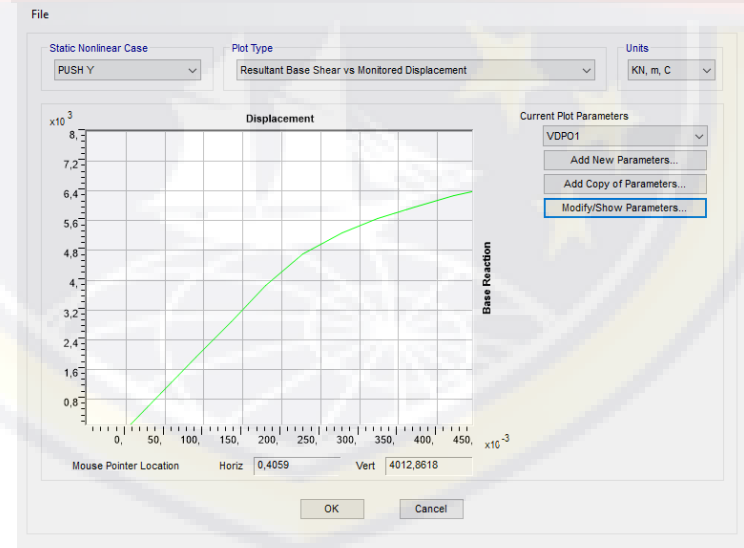
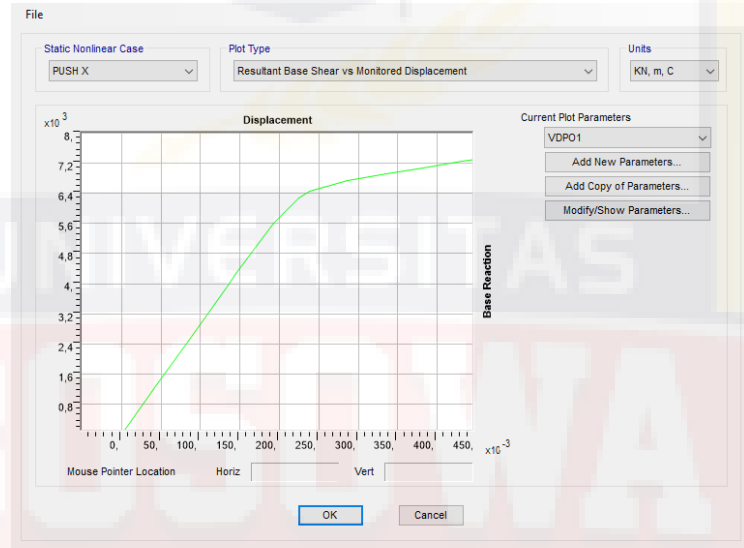


Pada **Other Parameter > Results Saved > Modify>Show**. Hasil disimpan secara **Multiple States** dengan jumlah minimum 10 dan maksimum 100 steps.



21. Klik **Run Analysis** untuk menampilkan **Set Load Cases to Run**, pada form ini pastikan beban **GRAV**, **PUSH X**, dan **PUSH Y** pada kondisi **Run** di action. Klik **Run Now** untuk menjalankan analisis.

22. Untuk menampilkan kurva pushover, pilih **Display > Show Static Pushover Curve**



Pilih **File > Display Table** untuk menampilkan perpindahan titik kontrol vs gaya geser dasar yang terjadi pada setiap step.

**S Pushover Capacity Curve**

File View Edit Format-Filter-Sort Select Options

Units: As Noted

Pushover Capacity Curve

Displacement BaseForce AtoB BtoI0 ItoLS LStoCP CPtoC CtoD DtoE BeyondE Total

KN Unitless Unitless Unitless Unitless Unitless Unitless Unitless Unitless Unitless Unitless

	Displacement	BaseForce	AtoB	BtoI0	ItoLS	LStoCP	CPtoC	CtoD	DtoE	BeyondE	Total
►	0	-8,83E-06	0	1008	0	0	0	0	0	0	0
1	0,044911	1316,84	1008	0	0	0	0	0	0	0	0
2	0,089831	2633,694	1008	0	0	0	0	0	0	0	0
3	0,13475	3950,552	1008	0	0	0	0	0	0	0	0
4	0,145295	4259,691	1007	1	0	0	0	0	0	0	0
5	0,193077	5811,081	978	30	0	0	0	0	0	0	0
6	0,225076	6286,071	909	90	9	0	0	0	0	0	0
7	0,237929	6445,204	887	106	15	0	0	0	0	0	0
8	0,286077	6729,941	854	55	98	0	1	0	0	0	0
9	0,33442	6920,498	834	47	125	0	2	0	0	0	0
10	0,381122	7085,562	820	23	161	0	3	1	0	0	0
11	0,430739	7244,132	807	33	161	0	4	3	0	0	0
12	0,449191	7298,814	783	56	162	0	4	3	0	0	0

Record: << < > >> of 13 Done

**S Pushover Capacity Curve**

File View Edit Format-Filter-Sort Select Options

Units: As Noted

Pushover Capacity Curve

Displacement BaseForce AtoB BtoI0 ItoLS LStoCP CPtoC CtoD DtoE BeyondE Total

KN Unitless Unitless Unitless Unitless Unitless Unitless Unitless Unitless Unitless

	Displacement	BaseForce	AtoB	BtoI0	ItoLS	LStoCP	CPtoC	CtoD	DtoE	BeyondE	Total
►	0	-0,000169	0	1008	0	0	0	0	0	0	0
1	0,044751	983,458	1008	0	0	0	0	0	0	0	0
2	0,08967	1926,95	1008	0	0	0	0	0	0	0	0
3	0,13459	2890,449	1008	0	0	0	0	0	0	0	0
4	0,179351	3850,568	1006	2	0	0	0	0	0	0	0
5	0,226946	4708,678	970	38	0	0	0	0	0	0	0
6	0,277682	5262,916	926	78	4	0	0	0	0	0	0
7	0,323139	5647,795	901	87	20	0	0	0	0	0	0
8	0,369759	5972,076	879	84	45	0	0	0	0	0	0
9	0,420007	6267,209	853	85	70	0	0	0	0	0	0
10	0,449029	6398,113	846	75	87	0	0	0	0	0	0

Record: << < > >> of 11 Done

Pilih **Display > Show Deformed Shape** untuk menampilkan pelelehan sendi plastis akibat pushover arah x dan y.

LAMPIRAN 3

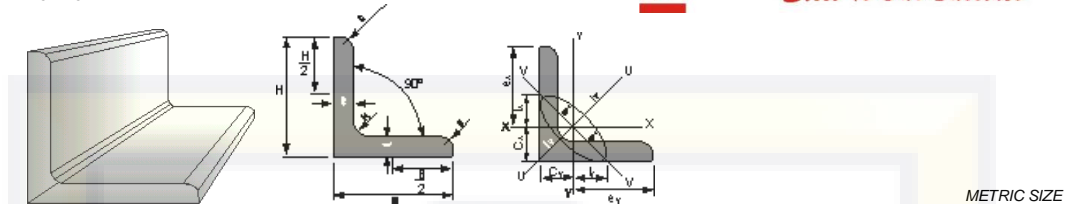
**TABEL BAJA BURUNG GARUDA ,  
SUPER FLOOR DECK COMPOSITE &  
STEEL FLOOR DECK – SLAB**

## Equal Angle

HOT FORMED



**PT. GUNUNG GARUDA**  
Steel Is Our Business

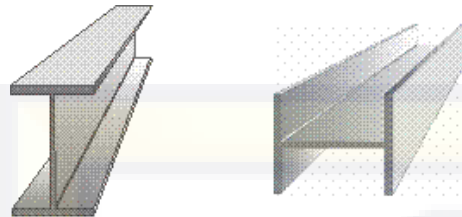


METRIC SIZE

STANDARD SECTIONAL DIMENSIONS				SECTION AREA	UNIT WEIGHT	INFORMATIVE REFERENCE							
H x B	t	r1	r2			Cx = Cy	Ix = ly	Max Iu	Min Iv	ix = iy	Maxiu	Min iv	Zx = Zy
mm x mm	mm	mm	mm	cm <sup>2</sup>	kg/m	cm	cm <sup>3</sup>	cm <sup>4</sup>	cm	cm	cm	cm <sup>3</sup>	
25 x 25	3	4	2	1,427	1,12	0,719	0,797	1,26	0,332	0,747	0,94	0,48	0,448
30 x 30	3	4	2	1,727	1,36	0,844	1,42	2,26	0,59	0,908	1,14	0,58	0,661
40 x 40	3	4,5	2	2,336	1,83	1,09	3,53	5,6	1,46	1,23	1,55	0,79	1,21
40 x 40	4	4,5	2	2,336	1,83	1,09	3,53	5,6	1,46	1,23	1,55	0,79	1,21
40 x 40	5	4,5	3	3,755	2,95	1,17	5,42	8,59	2,25	1,2	1,51	0,77	1,91
45 x 45	5	6,5	3	4,302	3,38	1,28	6,5	10,3	2,7	1,36	1,71	0,87	2
45 x 45	4	6,5	3	3,492	2,74	1,24	7,91	12,5	3,29	1,36	1,72	0,88	2,46
50 x 50	4	6,5	3	3,892	3,06	1,41	9,06	14,4	3,76	1,52	1,91	0,98	2,49
50 x 50	5	6,5	3	4,802	3,77	1,37	11,1	17,5	4,58	1,53	1,92	0,98	3,08
50 x 50	6	6,5	4,5	5,644	4,43	1,44	12,6	20	5,23	1,5	1,88	0,96	3,55
60 x 60	4	6,5	3	4,692	3,68	1,61	16	25,4	6,62	1,85	2,33	1,19	3,66
60 x 60	5	6,5	3	5,802	4,55	1,66	19,6	31,2	8,09	1,84	2,32	1,18	4,52
60 x 60	6	8	4	6,910	5,40	1,7	22,79	36,16	9,42	1,82	2,29	1,17	5,28
65 x 65	5	8,5	3	6,367	5,00	1,77	25,3	40,1	10,5	1,99	2,51	1,28	5,35
65 x 65	6	8,5	4	7,527	5,91	2,69	125	199	51,7	2,68	3,38	1,73	19,5
65 x 65	8	8,5	6	9,761	7,66	2,57	129	205	53,2	2,71	3,42	1,74	21,1
70 x 70	6	8,5	4	8,127	6,38	1,81	29,4	46,6	12,2	1,98	2,49	1,27	6,26
75 x 75	6	8,5	4	8,727	6,85	2,18	80,7	128	33,4	2,46	3,1	1,58	14,2
75 x 75	9	8,5	6	12,690	9,96	2,42	81,9	129	34,5	2,77	3,48	1,78	15,7
75 x 75	12	8,5	6	16,560	13,00	2,46	93	148	38,3	2,76	3,48	1,77	17,7
80 x 80	6	8,5	4	9,230	7,32	1,88	36,8	58,3	15,3	1,94	2,44	1,25	7,33
90 x 90	6	10	5	10,550	8,28	1,93	37,1	58,9	15,3	2,14	2,69	1,37	7,96
90 x 90	7	10	5	12,220	9,59	2,06	46,1	73,2	19	2,3	2,9	1,48	8,47
90 x 90	10	10	7	17,000	13,30	2,17	56,4	89,6	23,2	2,25	2,84	1,45	9,7
90 x 90	13	10	7	21,710	17,00	2,29	64,4	102	26,7	2,22	2,79	1,44	12,3
100 x 100	7	10	5	13,620	10,70	2,71	156	248	65,3	3,08	3,88	1,98	24,4
100 x 100	13	10	7	24,310	19,10	2,94	175	278	72	3	3,78	1,94	24,8
*100 x 100	10	10	7	19,000	14,90	2,82	220	348	91,1	3,04	3,83	1,95	29,5
120 x 120	8	12	5	18,760	14,70	3,24	258	410	106	3,71	4,67	2,38	31,1
*120 x 120	11	13	6,5	25,370	19,90	3,3	340	541	140	3,66	4,62	2,35	38,7
*120 x 120	12	13	6,5	27,540	21,60	3,4	366	583	150	3,65	4,6	2,35	39,36
*130 x 130	9	12	6	22,740	17,90	3,53	367	583	151	4,01	5,06	2,57	41,6
130 x 130	15	12	8,5	36,750	28,80	3,76	467	743	192	3,93	4,95	2,53	42,68
*130 x 130	12	12	8,5	29,760	23,40	3,64	568	902	234	3,96	5	2,54	49,9
*150 x 150	10	14	7	29,000	23,00	4,14	740	1,180.00	304	4,61	5,82	2,96	68,1
*150 x 150	12	14	7	34,770	27,30	4,24	888	1,410.00	365	4,56	5,75	2,92	82,6
150 x 150	19	14	10	53,380	41,90	4,4	1,090.00	1,730.00	451	4,52	5,69	2,91	91,8
175 x 175	12	15	11	40,520	31,80	4,73	1,170.00	1,860.00	480	5,38	6,78	3,44	103
175 x 175	15	15	11	50,210	39,40	4,85	1,440.00	2,290.00	589	5,35	6,75	3,48	114
*200 x 200	15	17	12	57,750	45,30	5,46	2,180.00	3,470.00	891	6,14	7,75	3,93	150
*200 x 200	20	17	12	76,000	59,70	5,67	2,820.00	4,490.00	1,160.00	6,09	7,68	3,9	197
200 x 200	25	17	12	93,750	73,60	5,86	3,420.00	5,420.00	1,410.00	6,04	7,61	3,88	242
250 x 250	35	24	18	162,600	128,00	7,45	6,950.00	11,000.00	2,860.00	7,49	9,42	4,83	388
250 x 250	25	24	12	119,4	119,400	9,370	9,110.00	14,400.00	3,790.00	7,63	9,62	4,89	519

NOTE: \* Available ready stock

## Wide Flange Shape



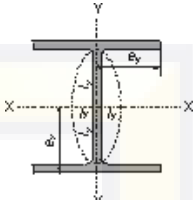
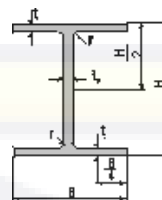
**IWF**

**H-BEAM**

JIS G3192/TIS 1227-194 (HOT ROLLED H-SECTION)



**PT. GUNUNG GARUDA**  
Steel Is Our Business



Metric

Nominal Dimensional	Standard Sectional Dimension				Area A	Unit Mass	Informative Reference							
	H x B	t1	t2	r			Geometrical moment of inertia		Radius of gyration of area		Modulus of Section			
							I <sub>x</sub>	I <sub>y</sub>	i <sub>x</sub>	i <sub>y</sub>	Z <sub>x</sub>	Z <sub>y</sub>		
mm x mm	mm x mm	mm	mm	mm	cm <sup>2</sup>	kg/m	cm <sup>4</sup>	cm <sup>4</sup>	cm	cm	cm <sup>3</sup>	cm <sup>3</sup>		
100 x 100	100 x 100	6	8	10	21,90	17,20	383	134,0	4,18	2,47	76,5	26,7		
125 x 125	125 x 125	6,5	9	10	30,31	23,80	847	293,0	5,29	3,11	136,0	47,0		
150 x 75	150 x 75	5	7	8	17,85	14,00	666	49,5	6,11	1,66	88,8	13,2		
150 x 100	148 x 100	6	9	11	26,84	21,10	1.020	151,0	6,17	2,37	138,0	30,1		
150 x 150	150 x 150	7	10	11	40,14	31,50	1.640	563,0	6,39	3,75	219,0	75,1		
175 x 175	175 x 175	7,5	11	12	51,21	40,20	2.880	984,0	7,50	4,38	330,0	112,0		
200 x 100	198 x 99	4,5	7	11	23,18	18,20	1.580	114,0	8,26	2,21	160,0	23,0		
	200 x 100	5,5	8	11	27,16	21,30	1.840	134,0	8,24	2,22	184,0	26,8		
200 x 150	194 x 150	6	9	12	38,80	30,60								
200 x 200	200 x 200	8	12	13	63,53	49,90	4.720	1.600	8,62	5,02	472,0	160,0		
	248 x 124	5	8	12	32,68	25,70	3.540	255,0	10,40	2,79	285,0	41,1		
250 x 125	250 x 125	6	9	12	37,66	29,60	4.050	294,0	10,40	2,79	324,0	47,0		
250 x 250	250 x 250	9	14	16	92,18	72,40	10.800	3.650	10,80	6,29	867,0	292,0		
	298 x 149	5,5	8	13	40,80	32,00	6.320	442,0	12,40	3,29	424,0	59,3		
300 x 150	300 x 150	6,5	9	13	46,78	36,70	7.210	508,0	12,40	3,29	481,0	67,7		
300 x 300	300 x 300	10	15	18	119,80	94,00	20.400	6.750	13,10	7,51	1.360	450,0		
	346 x 174	6	9	14	52,68	41,40	11.100	792,0	14,50	3,88	641,0	91,0		
350 x 175	350 x 175	7	11	14	63,14	49,60	13.600	984,0	14,70	3,95	775,0	112,0		
350 x 350	350 x 350	12	19	20	173,90	137,00	40.300	13.600	15,20	8,84	2.300	776,0		
	396 x 199	7	11	16	72,16	56,60	20.000	1.450	16,70	4,48	1.010	145,0		
400 x 200	400 x 200	8	13	16	84,10	66,00	23.700	1.740	16,8	4,54	1.190	174,0		
*400 x 400	400 x 400	13	21	22	218,70	172,00	66.600	22.400	17,5	10,10	3.330	1.120		
450 x 200	450 x 200	9	14	18	96,80	76,00	33.500	1.870	18,6	4,40	1.490	187,0		
500 x 200	500 x 200	10	16	20	114,20	89,60	47.800	2.140	20,5	4,33	1.910	214,0		
600 x 200	600 x 200	11	17	22	134,40	106,00	77.600	2.280	24,0	4,12	2.590	228,0		
600 x 300	588 x 300	12	20	28	192,50	151,00	118.000	9.020	24,8	6,85	4.020	601,0		
*700 x 300	700 x 300	13	24	28	235,50	185,00	201.000	10.800	29,3	6,78	5.760	722,0		
*800 x 300	800 x 300	14	26	28	267,40	210,00	292.000	11.700	33,0	6,62	7.290	782,0		
*900 x 300	900 x 300	16	28	28	309,8	243,00								

Note : \* Special size for welded beam

**Super Floor Deck®** adalah bahan lembaran panel berbentuk plat gelombang yang terbuat dari baja struktural bermutu tinggi dengan High-tensile steel JIS 3302 (570 N/mm<sup>2</sup>), dan berfungsi sebagai bekisting tetap dan penulangan positif satu arah pada lantai beton bangunan berlengkap.

Tebal bahan yang tersedia adalah 0.75 mm dan 1.00 mm dengan lapisan seng minimum 220 gr/m<sup>2</sup>.

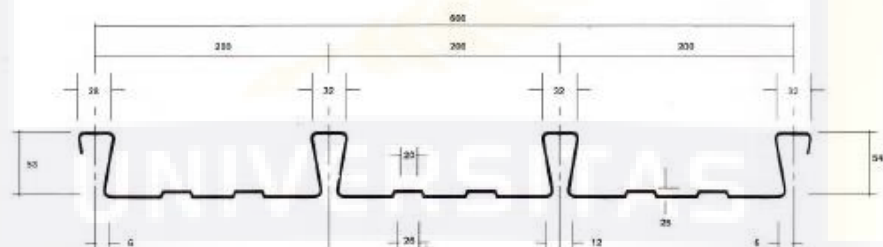
**Super Floor Deck®** dapat dipesan sesuai panjang yang dibutuhkan. Untuk memudahkan dalam pemasangan dan pengangkutan, dianjurkan panjang maximum 12 meter.

#### KEUNGGULAN-KEUNGGULAN **Super Floor Deck®**

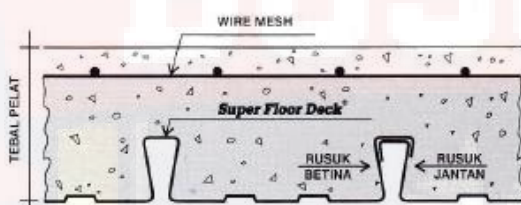
- pemasangan yang cepat dan mudah.
- Sebagai pengganti tulangan positif searah.
- Ketahanannya terhadap kebakaran lebih baik.
- Dapat difinishing dengan cat sebagai plafond.
- Baja berkekuatan tinggi yang memberikan platform kerja yang lebih aman.

#### SPESIFIKASI

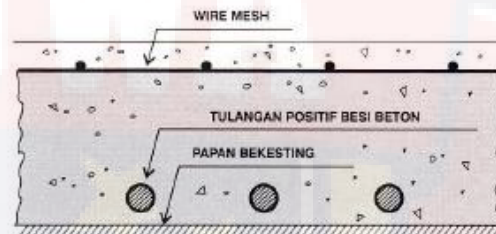
Bentuk gelombang dan ukuran **Super Floor Deck®**



Berat per satuan luas : 10,10 Kg/M<sup>2</sup> untuk ketebalan 0,75 mm  
Berat per satuan panjang : 6,06 Kg/M<sup>2</sup>



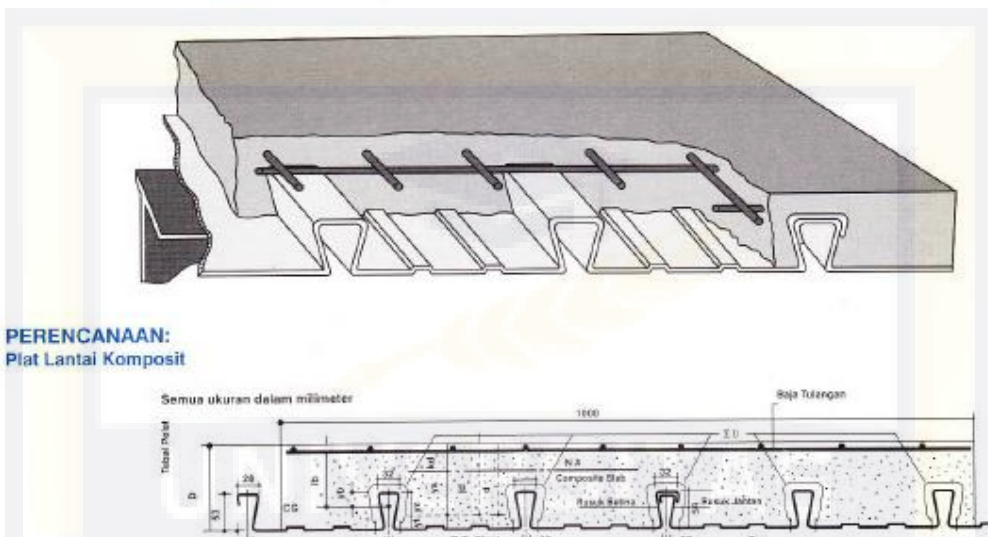
#### SUPER KOMPOSIT PELAT BETON



#### KONVESIONAL PELAT BETON

PERBANDINGAN	Jenis Beketing	Bentang m	Beban kg/m <sup>2</sup>	Tebal cm	Tulangan Positif
KONVENTIONAL PELAT BETON	Kayu	4.5	400	14	O 12 mm
SUPER KOMPOSIT PELAT BETON	<b>Super Floor Deck®</b>	4.5	400	11	Tidak Perlu

# ***Super Floor Deck***®



### **PERENCANAAN:**

#### Plat Lantai Komposit

### Tabel Perencanaan Praktis

Tabel Perencanaan Praktis berikut ini bisa membantu dalam perencanaan penggunaan **Super Floor Deck**<sup>®</sup> untuk suatu bangunan antara lain:

- Menunjukkan tabel piat beton untuk bentang tunggal, bentang ganda, dan bentang menerus.
  - Kebutuhan tulangan negatif, serta perhitungan luas penampangnya, pada bentang ganda atau bentang menerus.
  - Ketebalan piat beton pada bentang tertentu, serta berbagai beban (Super Imposed Load)
  - Tiang penyangga sementara yang dibutuhkan untuk mendukung lantunan awal pada waktu beton dan **Super Floor Deck** belum berfungsi.

TABEL 1 : SIFAT PENAMPANG Super Floor Deck® PERLEBAR 1000 MM

Tabel Pelat	Berat per setumpuk lantai	Luas perstumpuk	Perpanjangan efektif penuh		Momen lentur positif			Momen lentur negatif			le	Gaya reaktif aman untuk penitipan tegi			Gaya reaktif aman untuk penitipan tengah		
			V <sub>u</sub>	V <sub>b</sub>	l <sub>p</sub>	Z <sub>pe</sub>	Z <sub>pl</sub>	In	I <sub>bc</sub>	Z <sub>el</sub>		10 mm perstumpuk	Pertimbangan per 15 mm Increse, Per 10 mm Km	10 mm perstumpuk	Pertimbangan per 15 mm Increse, Per 10 mm Km	10 mm perstumpuk	Pertimbangan per 15 mm Increse, Per 10 mm Km
mm	kg / m <sup>2</sup>	m <sup>2</sup>	mm	mm	10 <sup>3</sup> x mm <sup>3</sup>	10 <sup>3</sup> x mm <sup>3</sup>	10 <sup>3</sup> x mm <sup>3</sup>	10 <sup>3</sup> x mm <sup>3</sup>	10 <sup>3</sup> x mm <sup>3</sup>								
0.75	18.1	1241	28.8	16.4	6.511	13.15	33.15	0.569	93.21	10.73	0.479	3.78	0.99	0.11	15.21	1.14	19.19

Ciri-ciri : Isi = momen hidrostatik pada posisi diametral positif

Zinc = 0,001. Ubahlah nilai dalam satuan milimeter negatif ke angka bulat

→ Analisis klasifikasi skripsi untuk pertumbuhan ledakan berlangsung minim

↳ → [View details](#)

Zo'n drie durenhout, dat ik eerst mocht paard tegenover teken.

- 4 -

For more information on how much money you can expect to receive in your pension, visit [www.pensions.gov](http://www.pensions.gov).

TABEL 2 : TABEL PERENCANAAN PRAKTIS

Super Fiber Deck® 0.75 MM	RENGKANGAN DAN TEGANGAN YANG MENGAKIBATKAN SIMPLE SPAN CONSTRUCTION WITH POSITIVE REINFORCEMENT										RENGKANGAN DAN TEGANGAN YANG MENGAKIBATKAN SIMPLE SPAN CONDITIONS WITH NEGATIVE REINFORCEMENT																										
	TABEL 1: RENGKANGAN DAN TEGANGAN YANG MENGAKIBATKAN SIMPLE SPAN CONSTRUCTION WITH POSITIVE REINFORCEMENT					TABEL 2: RENGKANGAN DAN TEGANGAN YANG MENGAKIBATKAN SIMPLE SPAN CONDITIONS WITH NEGATIVE REINFORCEMENT					TABEL 3: RENGKANGAN DAN TEGANGAN YANG MENGAKIBATKAN SIMPLE SPAN CONSTRUCTION WITH NEGATIVE REINFORCEMENT					TABEL 4: RENGKANGAN DAN TEGANGAN YANG MENGAKIBATKAN SIMPLE SPAN CONDITIONS WITH POSITIVE REINFORCEMENT																					
SISTEM PENGETAHUAN		SUPER MOVED LOAD 6.0 M		SUPER MOVED LOAD 6.0 M		TABEL 1: RENGKANGAN DAN TEGANGAN YANG MENGAKIBATKAN SIMPLE SPAN CONSTRUCTION WITH POSITIVE REINFORCEMENT		TABEL 2: RENGKANGAN DAN TEGANGAN YANG MENGAKIBATKAN SIMPLE SPAN CONDITIONS WITH NEGATIVE REINFORCEMENT		TABEL 3: RENGKANGAN DAN TEGANGAN YANG MENGAKIBATKAN SIMPLE SPAN CONSTRUCTION WITH NEGATIVE REINFORCEMENT		TABEL 4: RENGKANGAN DAN TEGANGAN YANG MENGAKIBATKAN SIMPLE SPAN CONDITIONS WITH POSITIVE REINFORCEMENT		TABEL 1: RENGKANGAN DAN TEGANGAN YANG MENGAKIBATKAN SIMPLE SPAN CONSTRUCTION WITH POSITIVE REINFORCEMENT		TABEL 2: RENGKANGAN DAN TEGANGAN YANG MENGAKIBATKAN SIMPLE SPAN CONDITIONS WITH NEGATIVE REINFORCEMENT		TABEL 3: RENGKANGAN DAN TEGANGAN YANG MENGAKIBATKAN SIMPLE SPAN CONSTRUCTION WITH NEGATIVE REINFORCEMENT		TABEL 4: RENGKANGAN DAN TEGANGAN YANG MENGAKIBATKAN SIMPLE SPAN CONDITIONS WITH POSITIVE REINFORCEMENT																	
TIME PERIODIC PERIOD	SWINGING MATERIAL SPAN M	TIME PERIODIC PERIOD	SWINGING MATERIAL SPAN M	TIME PERIODIC PERIOD	SWINGING MATERIAL SPAN M	TIME PERIODIC PERIOD	SWINGING MATERIAL SPAN M	TIME PERIODIC PERIOD	SWINGING MATERIAL SPAN M	TIME PERIODIC PERIOD	SWINGING MATERIAL SPAN M	TIME PERIODIC PERIOD	SWINGING MATERIAL SPAN M	TIME PERIODIC PERIOD	SWINGING MATERIAL SPAN M	TIME PERIODIC PERIOD	SWINGING MATERIAL SPAN M	TIME PERIODIC PERIOD	SWINGING MATERIAL SPAN M	TIME PERIODIC PERIOD	SWINGING MATERIAL SPAN M																
TWENTY PERIODS	1.50	6	4	4	4	4	4	9.375	9	2.91	9	1.67	9	2.14	9	1.40	9	1.99	9	2.56	9	1.55	9	4.75	9	0.85	9	0.96	9	1.11	9	1.31	9	1.41			
1.75	9	5	9	9	9	9	9	10	9	3.10	9	1.25	9	1.43	9	1.71	9	1.94	9	2.29	10	2.53	9	0.81	9	0.99	9	1.17	9	1.35	9	1.53	9	1.81	10	2.10	
2.00	9	9	9	9	9	9	9	10	9	3.58	9	1.60	9	1.95	9	2.26	9	2.57	9	3.04	10	3.38	9	1.07	9	1.31	9	1.55	9	1.79	9	2.02	9	2.33	10	2.61	
2.25	9	9	9	9	9	9	9	11	9	3.73	9	2.12	9	2.50	9	2.90	9	3.29	9	3.33	11	3.88	9	1.37	9	1.78	9	1.95	9	2.30	9	2.60	9	3.08	11	3.17	
2.50	9	9	9	9	9	9	9	10	14	9	2.16	9	2.01	9	3.15	9	3.32	9	4.11	10	4.29	14	4.68	9	1.71	9	2.08	9	2.48	9	2.86	9	3.25	10	3.38	14	3.41
2.75	10	10	10	10	10	11	12	15	9	2.64	9	3.34	9	3.03	10	3.44	11	4.02	12	4.29	15	4.23	9	2.04	9	2.25	9	3.02	10	3.11	11	3.18	12	3.39	15	3.42	
3.00	10	10	10	10	11	12	13	15	9	3.17	9	3.87	10	4.10	11	4.28	12	4.41	13	4.74	9	2.51	9	3.07	10	3.25	11	3.38	12	3.49	13	3.75	10	3.81			
3.25	11	11	11	11	12	13	14	15	10	3.41	9	4.13	10	4.87	12	4.85	13	4.83	14	5.22	10	2.70	10	3.27	10	3.64	12	3.67	13	3.82	14	4.12					
3.50	12	12	12	12	13	13	15	15	11	3.68	11	4.41	11	5.16	12	5.44	13	5.64	15	5.71	11	2.90	11	3.49	11	4.09	12	4.29	13	4.46	15	4.51					
3.75	13	13	13	13	13	14	14	15	11	4.25	11	6.11	11	5.95	13	5.83	14	6.09	11	3.36	11	4.04	11	4.73	13	4.81	14	4.81	15	4.81							
4.00	14	14	14	14	14	15	15	12	4.66	12	6.43	12	6.93	14	6.44	15	6.55	12	3.59	12	4.26	12	4.99	14	4.93	15	5.17	15	5.17								
4.25	13	13	13	13	13	13	13	13	15	5.49	13	6.51	14	7.05	15	7.33	13	4.34	13	5.14	14	5.95	15	5.95	15	5.95	15	5.95	15	5.95							
4.50	15	15	15	15	15	15	15	15	15	6.20	15	3.27	15	5.90	15	5.40	15	5.75	15	5.95	15	6.30	15	6.59	15	6.59	15	6.59	15	6.59							
5.00	15	15	15	15	15	15	15	15	15	6.20	15	3.27	15	5.90	15	5.40	15	5.75	15	5.95	15	6.30	15	6.59	15	6.59	15	6.59	15	6.59							

Catatan: — BERAN MATI /BERAT SENDIRI, **Super Floor Deck®** DAN PELAT BETON) SUDAH DIPERHITUNGKAN.

BERAN BERGUNA DALAH FIMI AH BERAN HIDUP DAN BEBAN-BEBAN FINISHING LAINNYA

#### MULAI BERPADA TULANGAN

## Appendix 3

### Strength Determination of Composite Deck-Slab by Shear Bond Method

#### A3.1 General

1. This Appendix provides methods for the calculation of strength of composite steel deck-slabs by the shear bond method. It shall be permitted to use this method if steel headed stud anchors (studs) are not present on the beam flange supporting the composite steel deck, or if steel headed stud anchors are present in any quantity.
2. Limitations:
  - A. Deck shall be limited to galvanized or top surface uncoated steel decks.
  - B. All sheet steel used for deck shall comply with Section 2.1 of this Standard.
  - C. Concrete shall comply with Section 2.1 of this Standard.
  - D. The concrete thickness above the steel deck shall be equal to or greater than 2 inches (50mm).
3. The strength of a composite deck-slab shall be the least of the following strength limit states:
  - A. Shear bond resistance
  - B. Flexural strength
  - C. One-way shear strength in accordance with Section 2.4.B.7
4. For load combinations that include concentrated loads, punching shear in accordance with Section 2.4.B.8 shall be considered.

#### A3.2 Shear bond Resistance

1. The ultimate shear bond resistance of a composite slab section shall be calculated using parameters determined from a testing program of full-scale slab specimens in accordance with SDI-T-CD. The shear bond resistance ( $V_r$ ) of a composite slab shall be determined as follows:

LRFD

$$V_r = \phi_v V_t \quad (\text{Eq. A3-1a})$$

ASD

$$V_r = \frac{V_t}{\Omega_v} \quad (\text{Eq. A3-1b})$$

Where,

- $V_r$  = shear bond resistance, pounds/ft (N/m) of slab width,  
 $V_t$  = tested shear bond resistance, pounds/ft (N/m) of slab width,  
determined in accordance with SDI-T-CD,  
 $\phi_v$  = 0.75  
 $\Omega_v$  = 2.00

2. The permissible uniform load for shear bond shall be:

$$W_r = 2V_r/L \quad (\text{Eq. A3-2})$$

Where:

- $L$  = deck design span, ft. (m)

### A3.3 Flexural Strength

1. Composite slabs subject to flexural failure shall be classified as under-reinforced or over-reinforced slabs depending on the compression depth ratio,  $(c/d)$ . Slabs with  $(c/d)$  less than the balanced condition ratio  $(c/d)_b$  shall be considered under-reinforced, whereas slabs with  $(c/d)$  greater than or equal to  $(c/d)_b$  shall be considered over-reinforced. The compression depth ratio shall be calculated as:

$$(c/d) = \frac{A_s F_y}{0.85 f'_c b \beta_1} \quad (\text{Eq. A3-3})$$

The compression depth ratio for the balanced condition shall be calculated as:

$$(c/d)_b = \frac{0.003(h - d_d)}{\left(\frac{F_y}{E_s} + 0.003\right)d} \quad (\text{Eq. A3-4})$$

Where:

$A_s$	=	area of steel deck, in <sup>2</sup> /ft (mm <sup>2</sup> /m) of slab width
$b$	=	unit width of compression face of composite slab, 12 in.(1000 mm)
$c$	=	distance from extreme compression fiber to composite neutral axis, in. (mm)
$d$	=	distance from extreme compression fiber to centroid of steel deck, in. (mm)
$d_d$	=	overall depth of steel deck profile, in. (mm)
$E_s$	=	modulus of elasticity of steel deck
	=	29,500,000 psi (203,000 MPa)
$f_c$	=	specified compressive strength of concrete, psi (MPa)
$F_y$	=	specified yield strength of steel deck, psi (MPa)
$h$	=	nominal out-to-out depth of slab, in. (mm)
$\beta_1$	=	0.85 if $f_c \leq 4000$ psi (27.58 MPa)

$$\beta_1 = 1.05 - 0.05 \left( \frac{f'_c}{1000} \right) \geq 0.65 \text{ if } f'_c > 4000 \text{ psi}$$

$$\beta_1 = 1.09 - 0.008 f_c \geq 0.65 \text{ if } f_c > 27.58 \text{ MPa}$$

2. Under-reinforced Slabs  $(c/d) < (c/d)_b$ 
  - A. The moment resistance, in positive bending, of an under-reinforced composite slab shall be taken as:

LRFD

$$M_r = \phi_s M_y \quad (\text{Eq. A3-5a})$$

ASD

$$M_r = M_y / \Omega_s \quad (\text{Eq. A3-5b})$$

$$\begin{aligned} M_y &= \text{Yield moment for the composite deck-slab, considering a} \\ &= \text{cracked cross section} \\ &= F_y I_{cr} / (h - y_{cc}) \end{aligned}$$

Where:

$\phi_s$	=	0.85
$\Omega_s$	=	1.75
$F_y$	=	yield stress of steel deck, psi (MPa)
$I_{cr}$	=	cracked section moment of inertia, in <sup>4</sup> (mm <sup>4</sup> )
$h$	=	slab depth, in (mm)
$y_{cc}$	=	distance from top of slab to neutral axis of cracked section, in (mm)

3. Over-reinforced Slabs ( $c/d \geq (c/d)_b$ )

- A. The moment resistance, in positive bending, of an over-reinforced composite slab shall be determined by:

LRFD

$$M_{ro} = \phi_c f'_c b \beta_1 c (d - \beta_1 c / 2) \leq \Phi_s M_y \quad (\text{Eq. A3-6a})$$

ASD

$$M_{ro} = f'_c b \beta_1 c (d - \beta_1 c / 2) / \Omega_c \leq M_y / \Omega_s \quad (\text{Eq. A3-6b})$$

Where:

$$c = d \left\{ \sqrt{\rho m + \left( \frac{\rho m}{2} \right)^2} - \frac{\rho m}{2} \right\} \quad (\text{Eq. A3-7})$$

$$\rho = \frac{A_s}{bd} \quad (\text{Eq. A3-8})$$

$$m = \frac{E_s \epsilon_{cu}}{f'_c \beta_1} \quad (\text{Eq. A3-9})$$

$E_s$  = modulus of elasticity of steel deck  
= 29,500,000 psi (203,000 MPa)

$\epsilon_{cu}$  = 0.003

$\phi_c$  = 0.65

$\Omega_c$  = 2.30

$\phi_s$  = 0.85

$\Omega_s$  = 1.75

- B. Equation A3-6 is valid only for composite slabs where no part of the steel deck has yielded.

## Appendix 5

### Section Properties of Composite Deck-Slabs

#### A5.1 General

This Appendix provides methods for the calculation of geometric cross section properties for composite steel deck cross sections with concrete. Alternate methods of rational analysis which consider material properties and cracked cross section properties shall be permitted.

**User Note:** This method will provide conservative results for slabs with reinforcing. The designer may choose to use alternate methods that consider the contribution of the reinforcing steel in this case.

#### A5.2 Transformed Composite Neutral Axis

The distance  $y_{cc}$  from the extreme compression fiber of the concrete to the neutral axis of the transformed composite section shall be determined from Figure A5-1 and Equations A5-1 and A5-3.

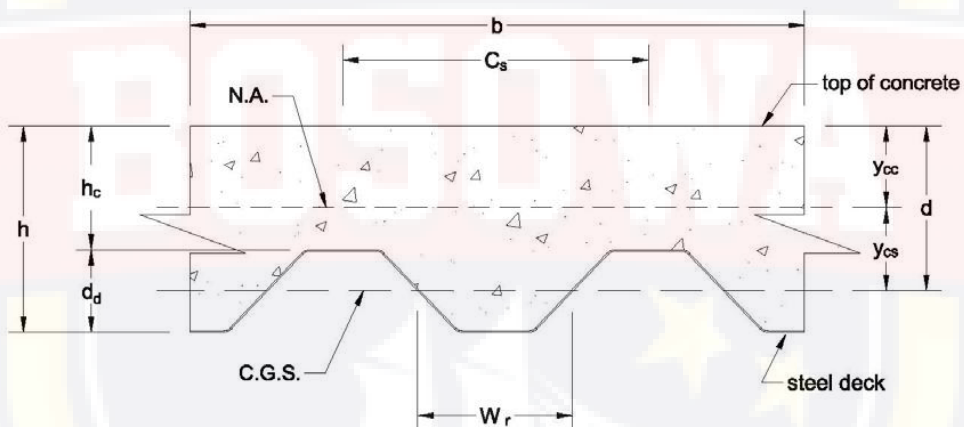


Figure A5-1 – Composite Section

Note: Section shows non-cellular deck. Section shall be either cellular, a blend of cellular and non-cellular, or non-cellular deck. Unless testing is performed that demonstrates that the interlocking device is capable of developing the full strength of the cross-section, only the element in contact with the concrete shall be considered in the design.

C.G.S. =      centroidal neutral axis of full, unreduced cross section of  
                  steel deck, in. (mm)  
C<sub>s</sub>        =      pitch of deck ribs in. (mm)

#### A5.4 Moment of Inertia of the Uncracked Section

For the uncracked moment of inertia

$$y_{cc} = \frac{0.5bh_c^2 + nA_s d + W_r d_d (h - 0.5d_d) \frac{b}{C_s}}{bh_c + nA_s + W_r d_d \frac{b}{C_s}} \quad (\text{Eq. A5-3})$$

The uncracked moment of inertia transformed to steel,  $I_u$ , shall be calculated using Equation A5-4.

$$y_{cs} = d - y_{cc} \quad \text{where } y_{cc} \text{ shall be determined from Equation A5-3.}$$

$$I_u = \frac{bh_c^3}{12n} + \frac{bh_c}{n} (y_{cc} - 0.5h_c)^2 + I_{sf} + A_s y_{cs}^2 + \frac{W_r bd_d}{nC_s} \left[ \frac{d_d^2}{12} + (h - y_{cc} - 0.5d_d)^2 \right] \quad (\text{Eq. A5-4})$$

#### A5.5 Moment of Inertia of the Composite Section

The moment of inertia of the composite section considered effective for deflection computations shall be calculated by Equation A5-5.

$$I_d = \frac{I_u + I_c}{2} \quad (\text{Eq. A5-5})$$

LAMPIRAN 4

**GAMBAR STRUKTUR FAKULTAS  
KEDOKTERAN UNIVERSITAS  
BOSOWA**





**JUDUL TUGAS AKHIR**

PERHITTINGAN SUPER STRUKTUR  
RENCANA GEDUNG KULIAH  
FAKULTAS KEDOKTERAN  
UNIVERSITAS BOSOWA DENGAN  
METODE BERBASIS KINERJA

**DOSEN PEMBIMBING**

Ir. ARMAN SETIAWAN, ST., MT.  
Ir. EKA YUNIARTO, ST., MT.

**MAHASISWA**

ASRIADI A

**KETERANGAN**

Material Profil : BJ 41  
Mutu Baja :  $F_u = 41$  Mpa  
 $F_y = 25$  Mpa  
Mutu Baut : A325 ( $F_u = 830$  Mpa)  
Mutu Las : F<sub>E70XX</sub> ( $F_u = 492$  Mpa)  
Mutu Beton : 20 Mpa

**NAMA GAMBAR**

DENAH BALOK UTAMA  
DAN ANAK

**SKALA**

1 : 150

STR

**NO. GAMBAR**

**TOTAL GAMBAR**

01

16

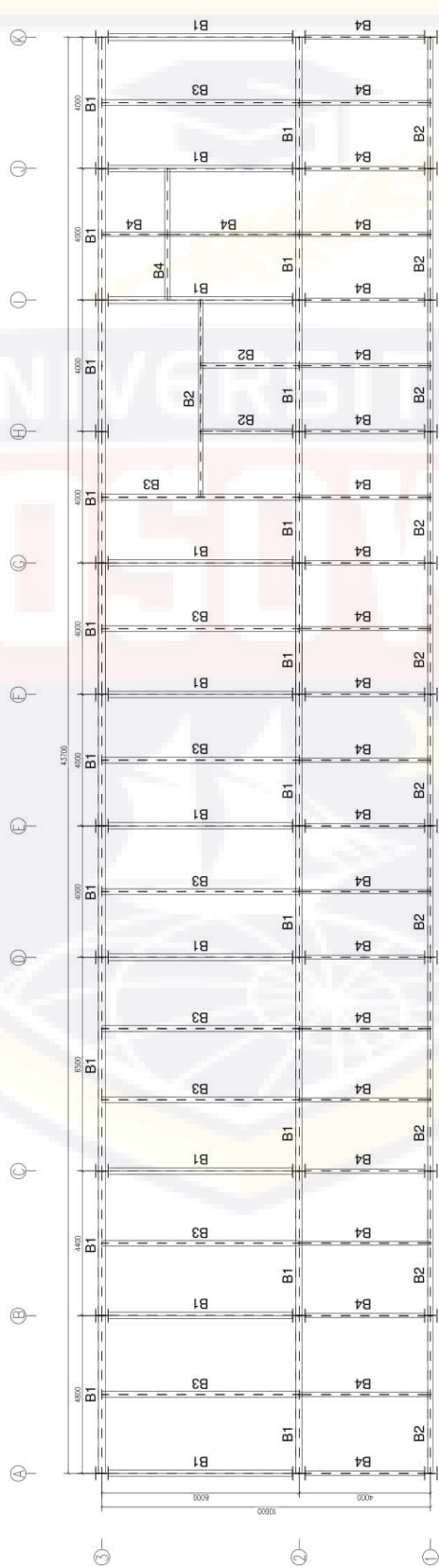
**REVISI**

**TANGGAL**

**MEMBER LIST**

MARK	DESCRIPTION
C1	H400X400X13X21
C2	H400X400X8X13
B1	IWF400X200X8X13
B2	IWF300X150X6.5X9
B3	IWF350X175X7X11
B4	IWF250X125X6X9
B5	IWF200X100X5.5X8
B6	IWF148X100X6X9

**DENAH BALOK UTAMA  
DAN ANAK EL+3960**  
Skala 1 : 150





PRODI TEKNIK SIPIL  
FAKULTAS TEKNIK  
UNIVERSITAS BOSOWA

### JUDUL TUGAS AKHIR

PERHITUNGAN SUPER STRUKTUR  
RENCANA GEDUNG KULIAH  
FAKULTAS KEDOKTERAN  
UNIVERSITAS BOSOWA DENGAN  
METODE BERBASIS KINERJA

### DOSEN PEMBIMBING

Ir. ARMAN SETIAWAN, ST., MT.  
Ir. EKA YUNIARTO, ST., MT.

### MAHASISWA

ASRIADI A

### KETERANGAN

Material Profil : BJ 41  
Mutu Baja :  $F_u = 41$  Mpa  
 $F_y = 25$  Mpa  
Mutu Batu : A325 ( $F_u = 830$  Mpa)  
Mutu Las : F<sub>E70XX</sub> ( $F_u = 492$  Mpa)  
Mutu Baton : 20 Mpa

### NAMA GAMBAR

DENAH BALOK UTAMA  
DAN ANAK

### SKALA

### KODE GAMBAR

NO. GAMBAR

TOTAL GAMBAR

REVISI

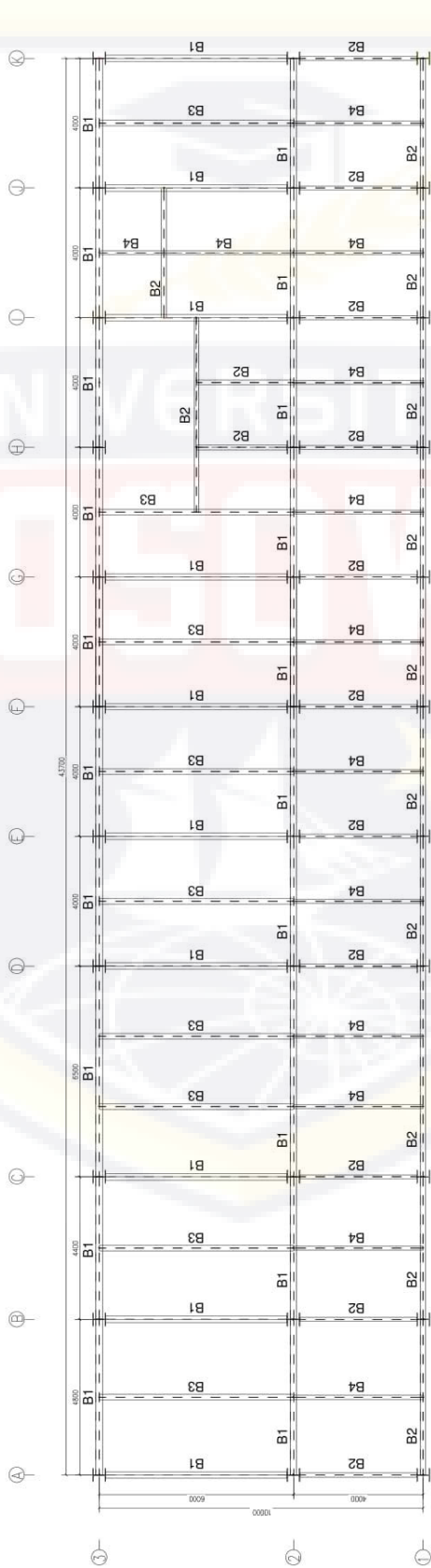
16

TANGGAL

### MEMBER LIST

MARK	DESCRIPTION
C1	H400X400X13X21
C2	H400X400X8X13
B1	IWF400X200X8X13
B2	IWF300X150X6.5X9
B3	IWF350X175X7X11
B4	IWF250X125X6X9
B5	IWF200X100X5.5X8
B6	IWF148X100X6X9

**DENAH BALOK UTAMA  
DAN ANAK EL+7660 & EL+11360**  
Skala 1 : 150





PRODI TEKNIK SIPIL  
FAKULTAS TEKNIK  
UNIVERSITAS BOSOWA

### JUDUL TUGAS AKHIR

PERHITUNGAN SUPER STRUKTUR  
RENCANA GEDUNG KULIAH  
FAKULTAS KEDOKTERAN  
UNIVERSITAS BOSOWA DENGAN  
METODE BERBASIS KINERJA

### DOSEN PEMBIMBING

Ir. ARMAN SETIAWAN, ST., MT.  
Ir. EKA YUNIARTO, ST., MT.

### MAHASISWA

ASRIADI A

### KETERANGAN

Material Profil : B141  
Mutu Baja :  $F_u = 41$  Mpa  
 $F_y = 25$  Mpa  
Mutu Baut : A325 ( $F_u = 830$  Mpa)  
Mutu Las : F<sub>E70XX</sub> ( $F_u = 492$  Mpa)  
Mutu Beton : 20 Mpa

### NAMA GAMBAR

DENAH BALOK UTAMA  
DAN ANAK

### KODE GAMBAR

1 : 150 STR

### NO. GAMBAR TOTAL GAMBAR

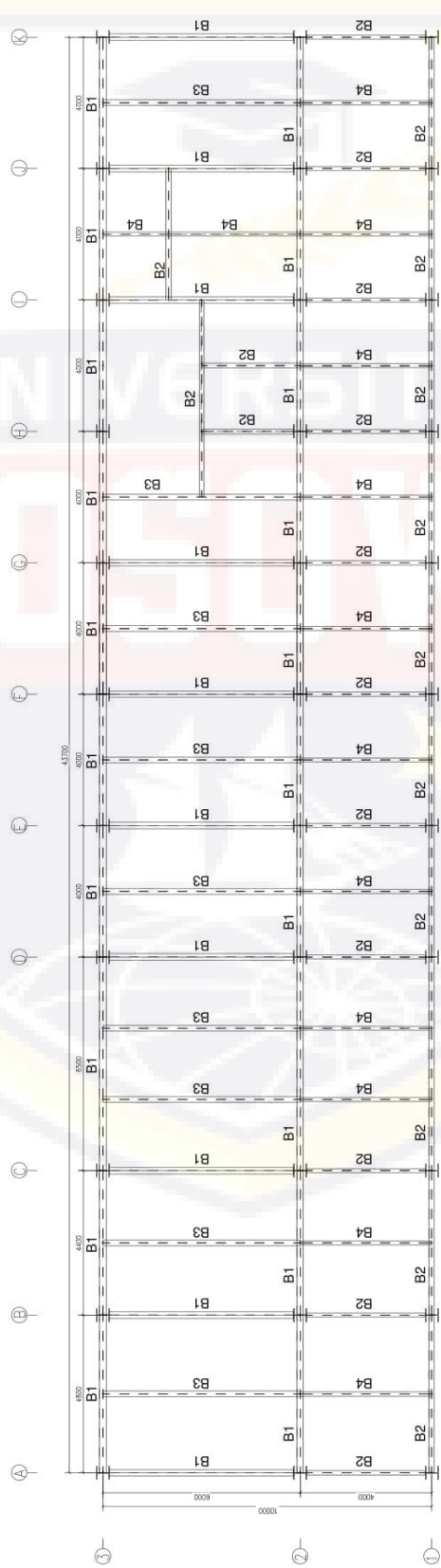
03 16

### REVISI TANGGAL

### MEMBER LIST

MARK	DESCRIPTION
C1	H400X400X13V21
C2	H400X400X8Y13
B1	IWF400X200X8Y13
B2	IWF300X150X6.5X9
B3	IWF350X175X7X11
B4	IWF250X125X6X9
B5	IWF200X100X5.5X8
B6	IWF148X100X6X9

**DENAH BALOK UTAMA  
DAN ANAK EL+15060 & EL+18760**  
Skala 1 : 150





PRODI TEKNIK SIPIL  
FAKULTAS TEKNIK  
UNIVERSITAS BOSOWA

## JUDUL TUGAS AKHIR

PERHITUNGAN SUPER STRUKTUR  
RENCANA GEDUNG KULIAH  
FAKULTAS KEDOKTERAN  
UNIVERSITAS BOSOWA DENGAN  
METODE BERBASIS KINERJA

### DOSEN PEMBIMBING

Ir. ARMAN SETIAWAN, ST., MT.  
Ir. EKA YUNIARTO, ST., MT.

### MAHASISWA

ASRIADI A

### KETERANGAN

Material Profil : BJ 41  
Mutu Baja :  $F_u = 41$  Mpa  
 $F_y = 25$  Mpa  
Mutu Baut : A325 ( $F_u = 830$  Mpa)  
Mutu Las : F<sub>E70XX</sub> ( $F_u = 492$  Mpa)  
Mutu Beton : 20 Mpa

### NAMA GAMBAR

DENAH BALOK UTAMA  
DAN ANAK

### SKALA

1 : 150

NO. GAMBAR

04

STR

TOTAL GAMBAR

16

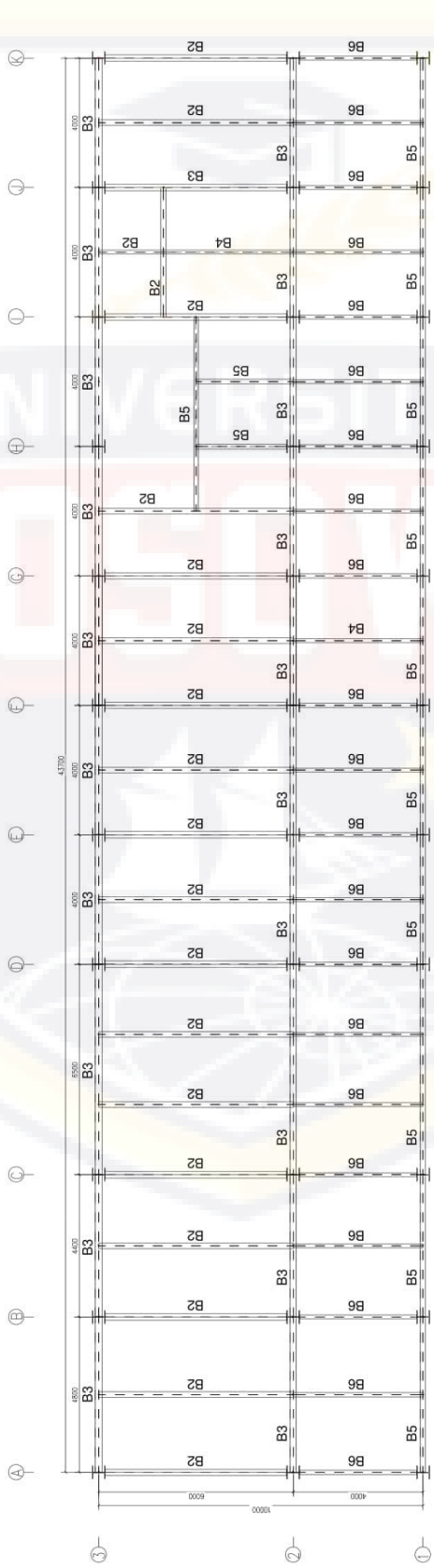
### REVISI

TANGGAL

### MEMBER LIST

MARK	DESCRIPTION
C1	H400X400X13X21
C2	H400X400X8X13
B1	IWF400X200X8X13
B2	IWF300X150X6.5X9
B3	IWF350X175X7X11
B4	IWF250X125X6X9
B5	IWF200X100X5.5X8
B6	IWF148X100X6X9

**DENAH BALOK UTAMA  
DAN ANAK EL+22460**  
Skala 1 : 150





**PRODI TEKNIK SIPIL  
FAKULTAS TEKNIK  
UNIVERSITAS BOSOWA**

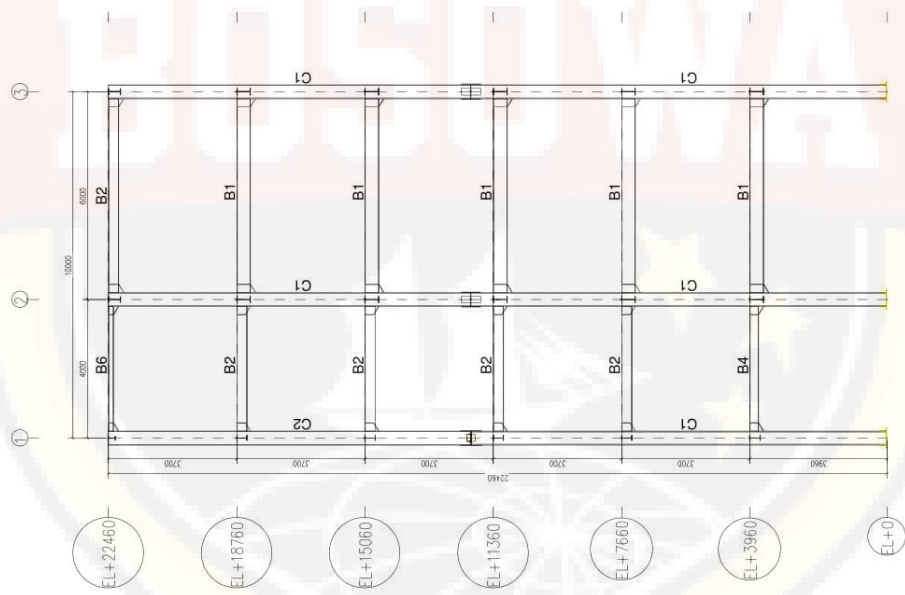
## JUDUL TUGAS AKHIR

PERHITUNGAN SUPER STRUKTUR  
RENCANA GEDUNG KULIAH  
FAKULTAS KEDOKTERAN  
UNIVERSITAS BOSOWA DENGAN  
METODE BERBASIS KINERJA

<b>DOSEN PEMBIMBING</b>	
Ir. ARMAN SETIAWAN, ST, MT.	
Ir. EKA YUNIARTO, ST, MT.	
<b>MAHASISWA</b>	
ASRIADI A	
<b>KETERANGAN</b>	
Material Pofil BJ 41	
Mutu Baja : $F_u = 41 \text{ Mpa}$	
$F_y = 25 \text{ Mpa}$	
Mutu Baut : A325 ( $F_u = 830 \text{ Mpa}$ )	
Mutu Las : $F_{E70XX} (\text{Fu} = 492 \text{ Mpa})$	
Mutu Beton : $>20 \text{ Mpa}$	

NAMA GAMBAR		TAMPAK	
SKALA	KODE GAMBAR	STR	
1 : 150			
NO. GAMBAR	TOTAL GAMBAR	16	
05			
REVISI	TANGGAL		

CATATAN



TAMPAK  
Skala 1 : 150



PRODI TEKNIK SIPIL  
FAKULTAS TEKNIK  
UNIVERSITAS BOSOWA

JUDUL TUGAS AKHIR  
PERHITUNGAN SUPER STRUKTUR  
RENCANA GEDUNG KULIAH  
FAKULTAS KEDOKTERAN  
UNIVERSITAS BOSOWA DENGAN  
METODE BERBASIS KINERJA

**DOSEN PEMBIMBING**

Ir. ARMAN SETIAWAN, ST., MT.  
Ir. EKA YUNIARTO, ST., MT.

**MAHASISWA**

ASRIADI A

**KETERANGAN**

Material Profil : BJ 41  
Mutu Baja :  $F_u = 41$  Mpa  
 $F_y = 25$  Mpa  
Mutu Baut : A325 ( $F_u = 830$  Mpa)  
Mutu Las : F<sub>E70XX</sub> ( $F_u = 492$  Mpa)  
Mutu Beton : 20 Mpa

**NAMA GAMBAR**

DETAIL PENULANGAN PELAT ATAP

**SKALA**

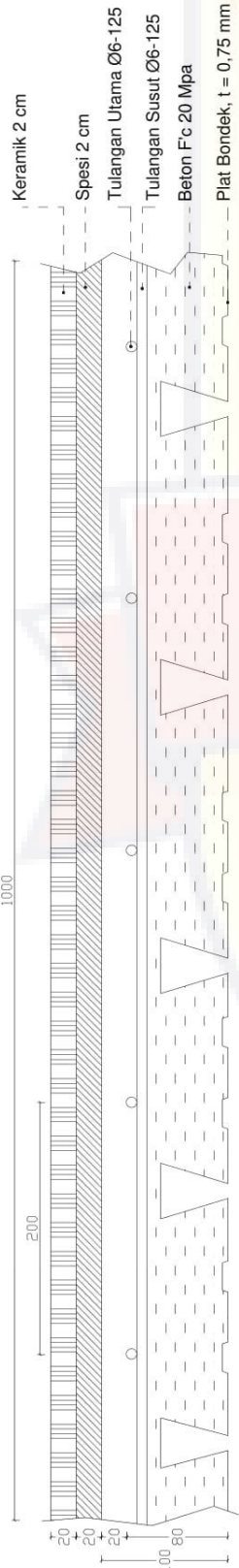
1 : 4

**NO. GAMBAR**

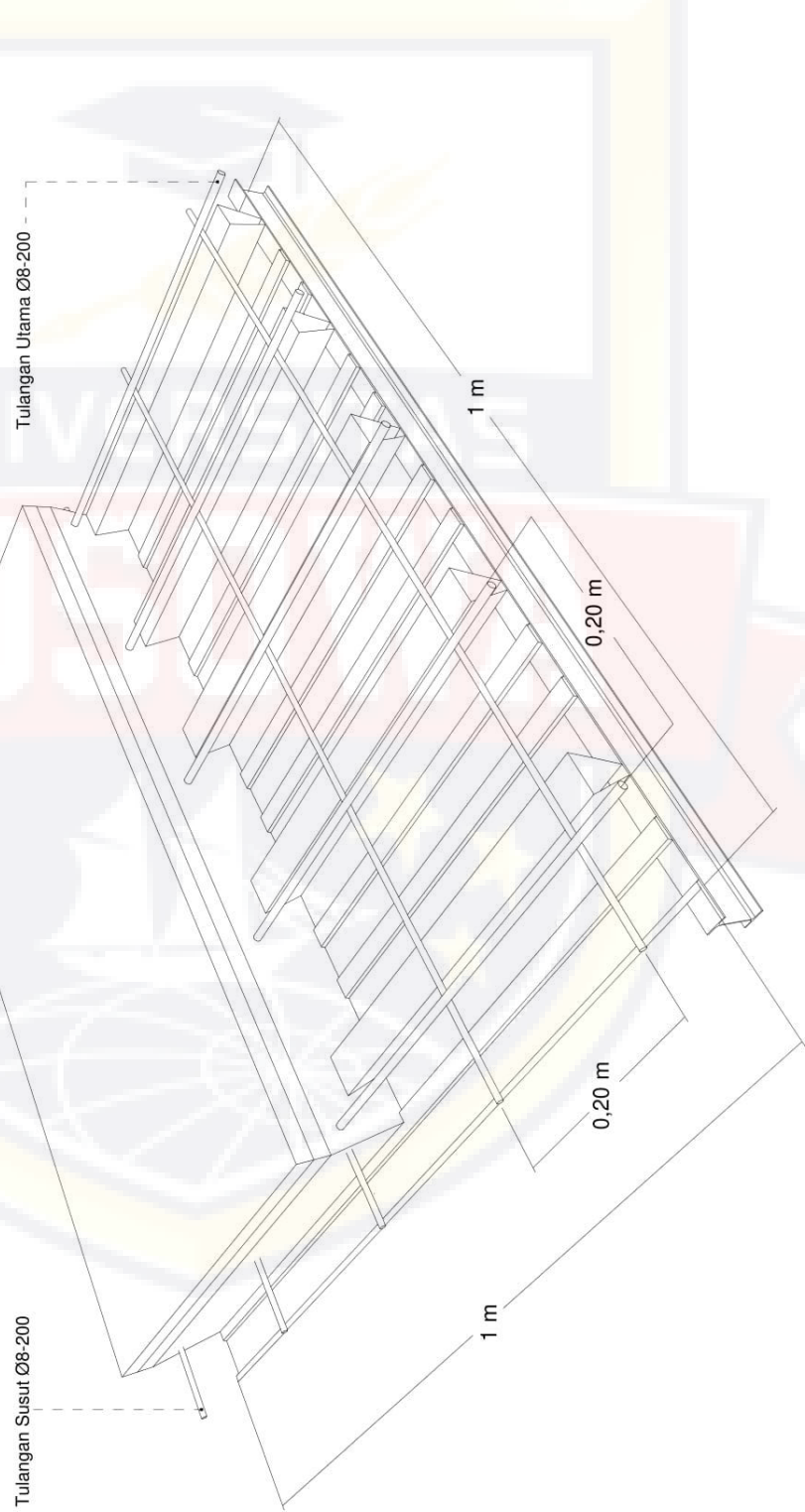
TOTAL GAMBAR  
06 16

**REVISI**

**CATATAN**



**Penulangan Pelat Atap**  
Skala 1 : 4



**Detail Penulangan Pelat Atap**  
Non scale



PRODI TEKNIK SIPIL  
FAKULTAS TEKNIK  
UNIVERSITAS BOSOWA

JUDUL TUGAS AKHIR  
PERHITUNGAN SUPER STRUKTUR  
RENCANA GEDUNG KULIAH  
FAKULTAS KEDOKTERAN  
UNIVERSITAS BOSOWA DENGAN  
METODE BERBASIS KINERJA

DOSEN PEMBIMBING

Ir. ARMAN SETIAWAN, ST., MT.  
Ir. EKA YUNIARTO, ST., MT.

MAHASISWA

ASRIADI A

KETERANGAN

Material Profil : BJ 41  
Mutu Baja :  $F_u = 41 \text{ Mpa}$   
 $F_y = 25 \text{ Mpa}$   
Mutu Baut : A325 ( $F_u = 830 \text{ Mpa}$ )  
Mutu Las : F<sub>E70XX</sub> ( $F_u = 492 \text{ Mpa}$ )  
Mutu Beton : 20 Mpa

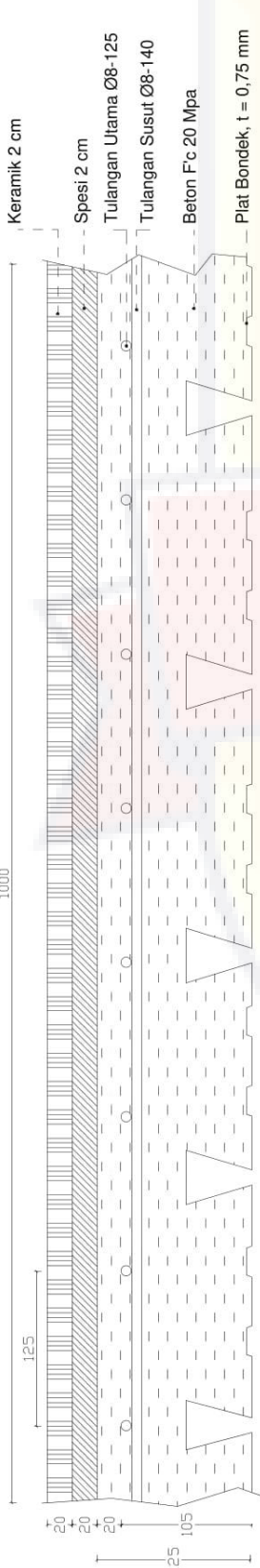
NAMA GAMBAR

DETALI PENULANGAN PELAT  
LANTAI

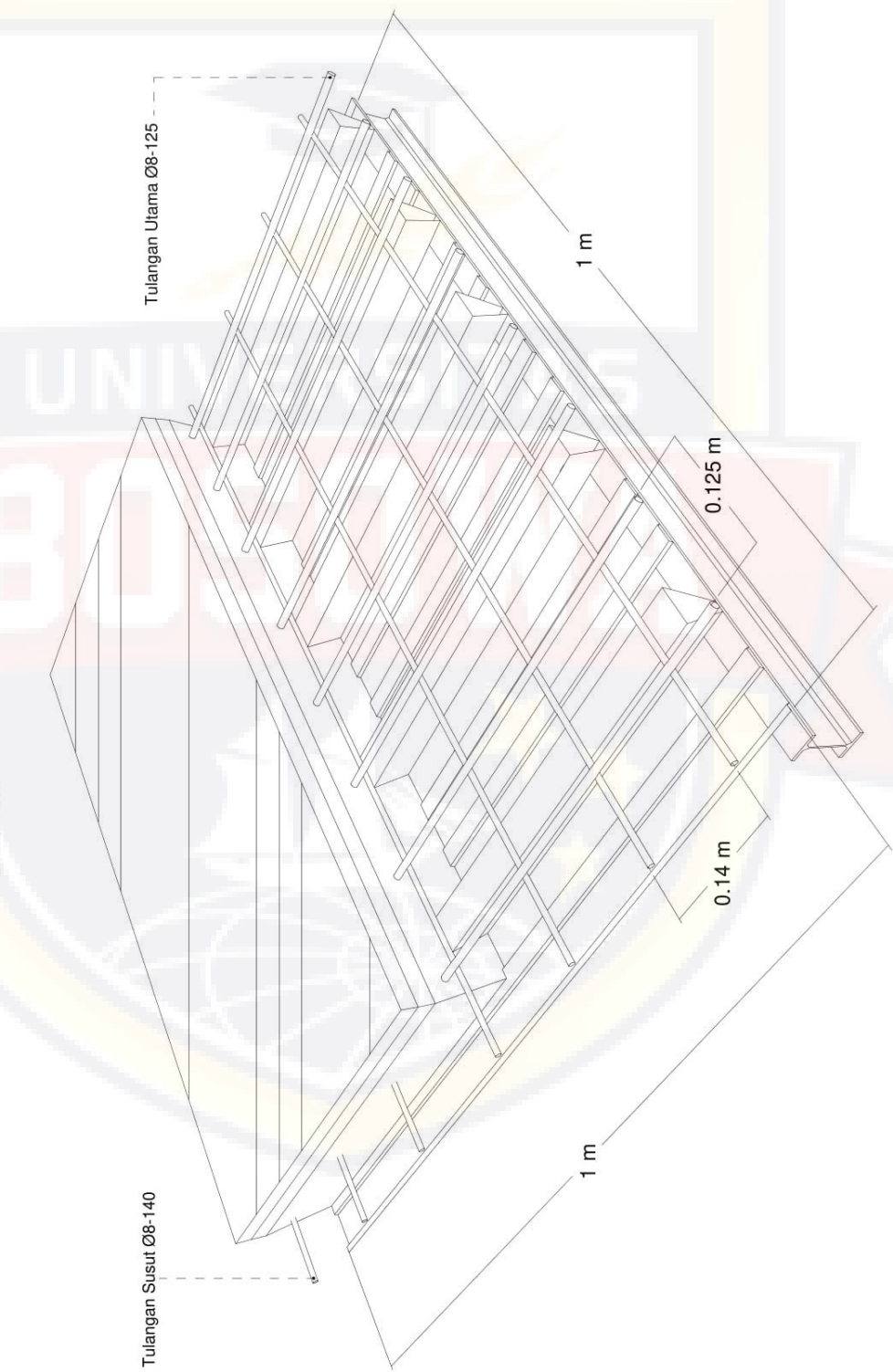
SKALA	KODE GAMBAR
1 : 4	STR
NO. GAMBAR	TOTAL GAMBAR
07	16

REVISI TANGGAL

CATATAN



Penulangan Pelat Lantai  
Skala 1 : 4



Detail Penulangan Pelat Lantai  
Non scale



PRODI TEKNIK SIPIL  
FAKULTAS TEKNIK  
UNIVERSITAS BOSOWA

**JUDUL TUGAS AKHIR**  
PERHITUNGAN SUPER STRUKTUR  
RENCANA GEDUNG KULIAH  
FAKULTAS KEDOKTERAN  
UNIVERSITAS BOSOWA DENGAN  
METODE BERBASIS KINERJA

**DOSEN PEMBIMBING**

Ir. ARMAN SETIAWAN, ST., MT.  
Ir. EKA YUNIARTO, ST., MT.

**MAHASISWA**

ASRIADI A

**KETERANGAN**

Material Profil : BJ 41  
Mutu Baja :  $F_u = 41 \text{ MPa}$   
 $F_y = 25 \text{ MPa}$   
Mutu Baut : A325 ( $F_u = 830 \text{ MPa}$ )  
Mutu Las : F<sub>E70XX</sub> ( $F_u = 492 \text{ MPa}$ )  
Mutu Beton : 20 MPa

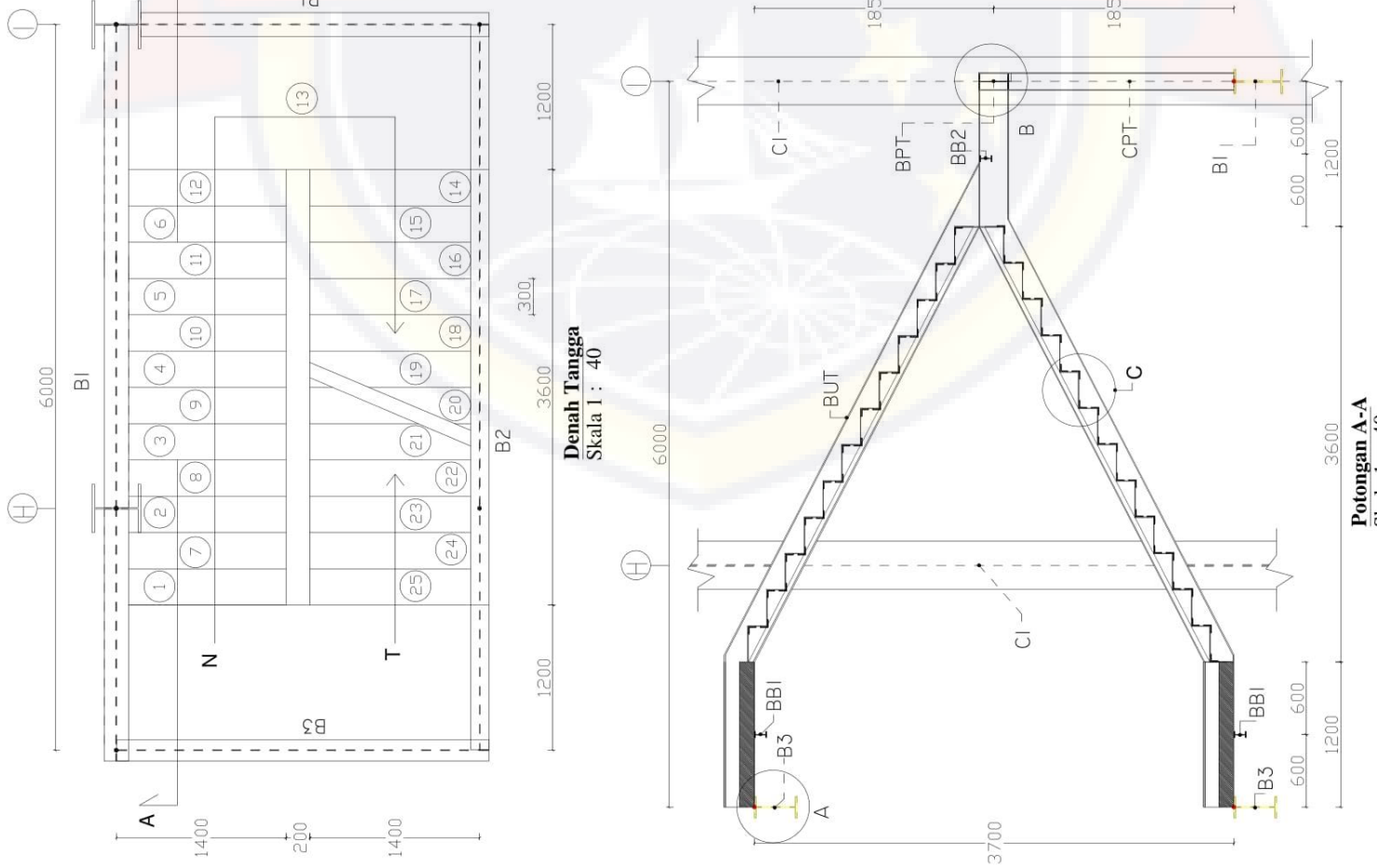
**NAMA GAMBAR**

DENAH DAN POTONGAN TANGGA

SKALA	KODE GAMBAR
1 : 40	STR
NO. GAMBAR	TOTAL GAMBAR
08	16
REVISI	TANGGAL

**CATATAN**

**Detail C**  
Skala 1 : 15





PRODI TEKNIK SIPIL  
FAKULTAS TEKNIK  
UNIVERSITAS BOSOWA

**JUDUL TUGAS AKHIR**

PERHITUNGAN SUPER STRUKTUR  
RENCANA GEDUNG KULIAH  
FAKULTAS KEDOKTERAN  
UNIVERSITAS BOSOWA DENGAN  
METODE BERBASIS KINERJA

**DOSEN PEMBIMBING**

Ir. ARMAN SETIAWAN, ST., MT.  
Ir. EKA YUNIARTO, ST., MT.

**MAHASISWA**

ASRIADI A

**KETERANGAN**

Material Profil : B141  
Mutu Baja :  $F_u = 41$  Mpa  
 $F_y = 25$  Mpa  
Mutu Baut : A325 ( $F_u = 830$  Mpa)  
Mutu Las : F<sub>E70XX</sub> ( $F_u = 492$  Mpa)  
Mutu Beton : 20 Mpa

**NAMA GAMBAR**

SAMBUNGAN BALOK UTAMA  
TANGGA DENGAN BALOK  
PENUMPAT TANGGA

**SKALA**

1 : 40

**NO. GAMBAR**

TOTAL GAMBAR

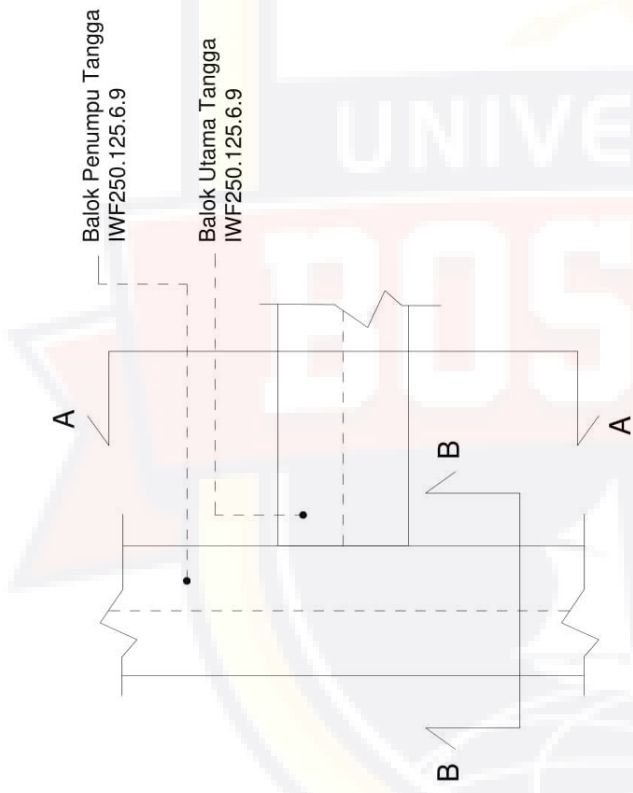
09

16

**REVISI**

TANGGAL

**CATATAN**

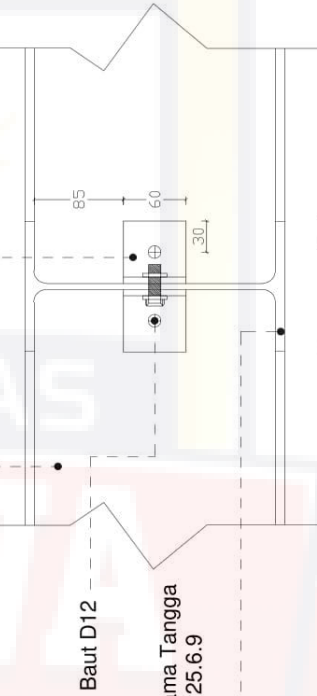


**Detail B1**  
Skala 1 : 5

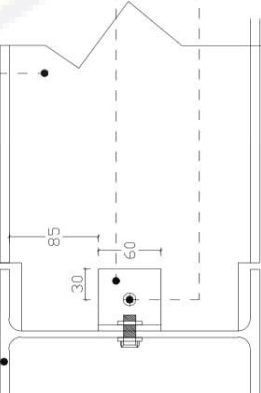
Balok Penumpu Tangga  
IWF250.125.6.9  
--- L60.60.6

Balok Penumpu Tangga  
IWF250.125.6.9  
--- L60.60.6

Baut D12  
Balok Utama Tangga  
IWF250.125.6.9  
--- Baut D12



**Potongan AA**  
Skala 1 : 5



**Potongan BB**  
Skala 1 : 5



PRODI TEKNIK SIPIL  
FAKULTAS TEKNIK  
UNIVERSITAS BOSOWA

### JUDUL TUGAS AKHIR

PERHITUNGAN SUPER STRUKTUR  
RENCANA GEDUNG KULIAH  
FAKULTAS KEDOKTERAN  
UNIVERSITAS BOSOWA DENGAN  
METODE BERBASIS KINERJA

### DOSEN PEMBIMBING

Ir. ARMAN SETIAWAN, ST., MT.  
Ir. EKA YUNIARTO, ST., MT.

### MAHASISWA

ASRIADI A

### KETERANGAN

Material Profil: BJ 41  
Mutu Baja :  $F_u = 41$  Mpa

$F_y = 25$  Mpa

Mutu Baut : A325 ( $F_u = 830$  Mpa)  
Mutu Las : F<sub>E70XX</sub> ( $F_u = 492$  Mpa)  
Mutu Beton : 20 Mpa

### NAMA GAMBAR

-SAMBUNGAN BALOK PENUMPU  
TANGGA DENGAN KOLOM  
-SAMBUNGAN BALOK UTAMA  
TANGGA DENGAN BALOK ANAK

### SKALA

1 : 10

### KODE GAMBAR

STR

### NO. GAMBAR

TOTAL GAMBAR

10 16

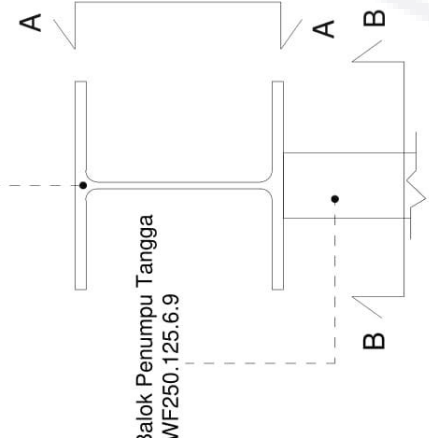
### REVISI

TANGGAL

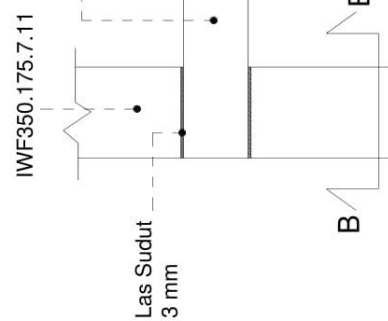
### CATATAN

Potongan B-B  
Skala 1 : 10

H400.400.13.21

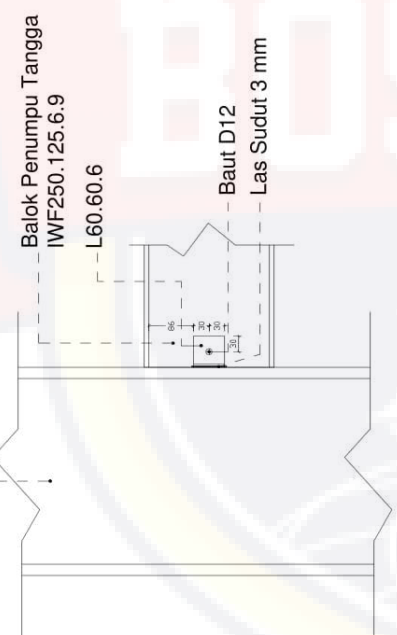


Potongan A-A  
Skala 1 : 10

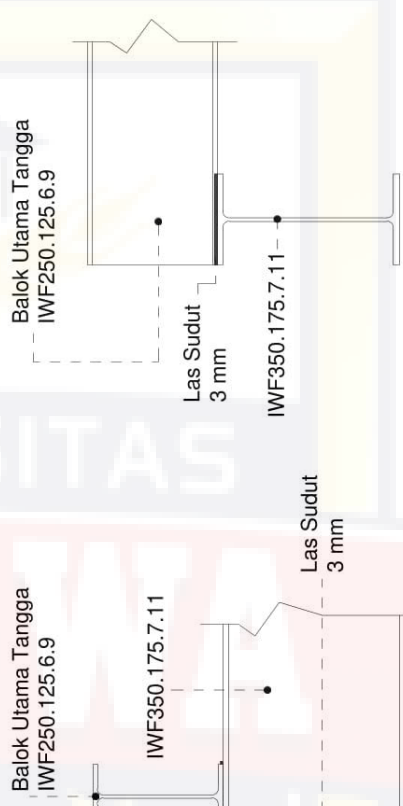


Potongan A-A  
Skala 1 : 10

H400.400.13.21

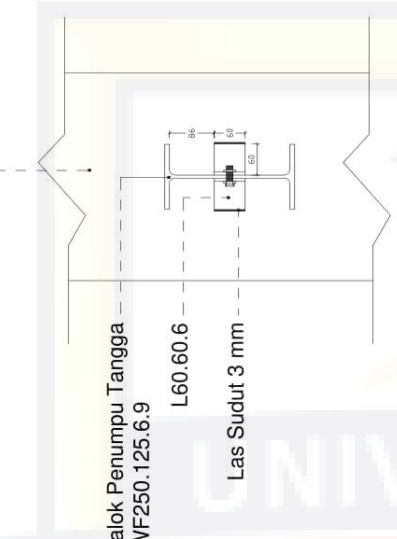


Potongan B-B  
Skala 1 : 10



Potongan B-B  
Skala 1 : 10

H400.400.13.21



Potongan B-B  
Skala 1 : 10



PRODI TEKNIK SIPIL  
FAKULTAS TEKNIK  
UNIVERSITAS BOSOWA

### JUDUL TUGAS AKHIR

PERHITUNGAN SUPER STRUKTUR  
RENCANA GEDUNG KULIAH  
FAKULTAS KEDOKTERAN  
UNIVERSITAS BOSOWA DENGAN  
METODE BERBASIS KINERJA

### DOSEN PEMBIMBING

Ir. ARMAN SETIAWAN, ST., MT.  
Ir. EKA YUNIARTO, ST., MT.

### MAHASISWA

ASRIADI A

### KETERANGAN

Material Profil : BJ.41  
Mutu Baja :  $F_u = 41 \text{ Mpa}$   
 $F_y = 25 \text{ Mpa}$   
Mutu Baut : A.325 ( $F_u = 830 \text{ Mpa}$ )  
Mutu Las : F.E70XX ( $F_u = 492 \text{ Mpa}$ )  
Mutu Beton : 20 Mpa

### NAMA GAMBAR

SAMBUNGAN BALOK ANAK  
DENGAN BALOK INDUK ATAP ATAP

SKALA

1 : 10

KODE GAMBAR

STR

NO. GAMBAR

TOTAL GAMBAR

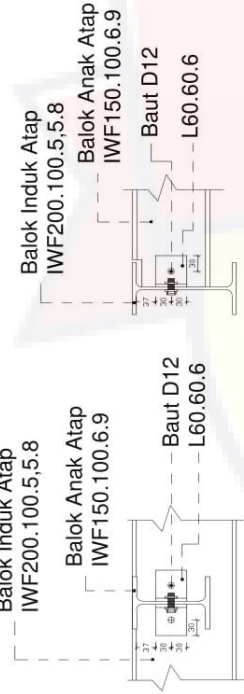
11

16

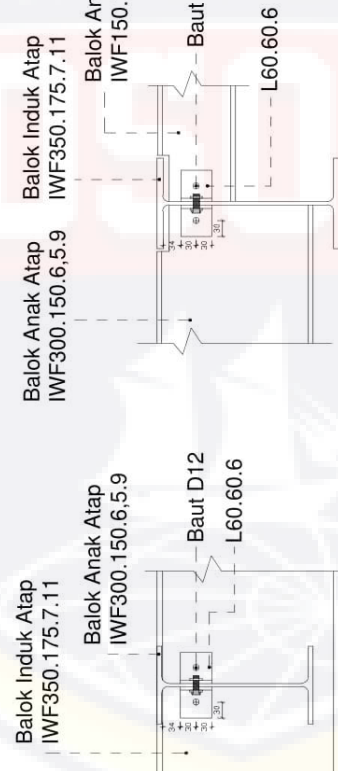
REVISI

TANGGAL

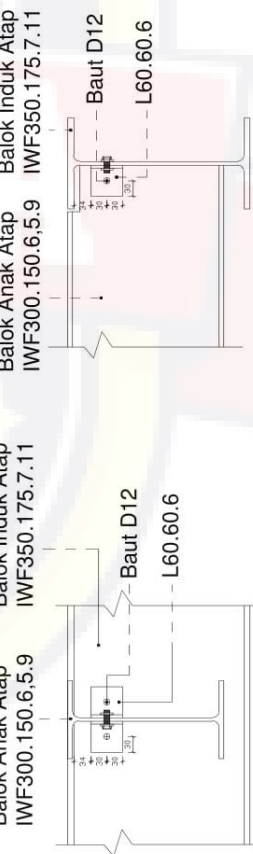
CATATAN



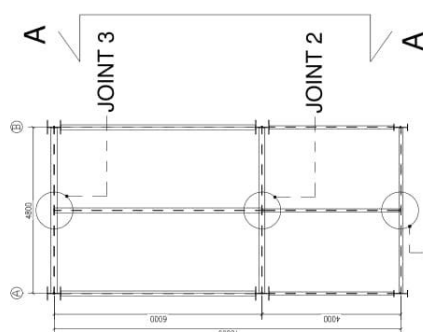
**Potongan B-B Joint 1**  
Skala 1 : 10



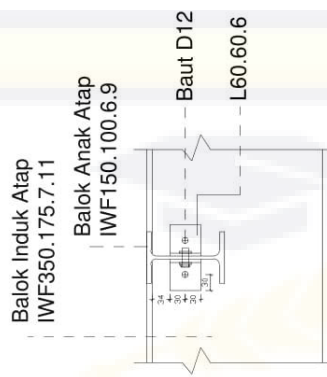
**Potongan A-A Joint 2**  
Skala 1 : 10



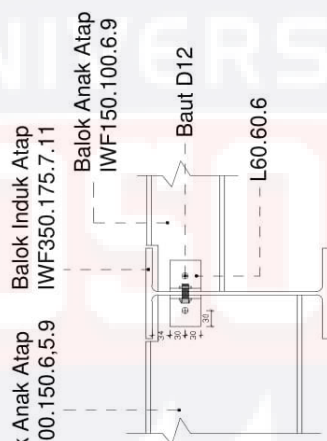
**Potongan B-B Joint 3**  
Skala 1 : 10



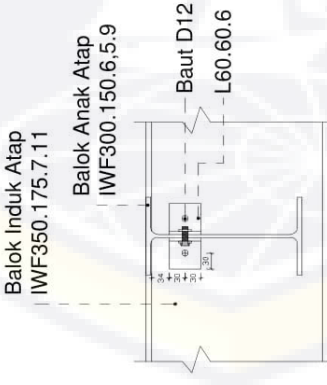
**Potongan A-A Joint 3**  
Skala 1 : 10



**Potongan B-B Joint 1**  
Skala 1 : 10



**Potongan A-A Joint 2**  
Skala 1 : 10



**Potongan B-B Joint 2B**  
Skala 1 : 10



PRODI TEKNIK SIPIL  
FAKULTAS TEKNIK  
UNIVERSITAS BOSOWA

### JUDUL TUGAS AKHIR

PERHITUNGAN SUPER STRUKTUR  
RENCANA GEDUNG KULIAH  
FAKULTAS KEDOKTERAN  
UNIVERSITAS BOSOWA DENGAN  
METODE BERBASIS KINERJA

### DOSEN PEMBIMBING

Ir. ARMAN SETIAWAN, ST., MT.  
Ir. EKA YUNIARTO, ST., MT.

### MAHASISWA

ASRIADI A

### KETERANGAN

Material Profil : BJ.41  
Mutu Baja :  $F_u = 41 \text{ Mpa}$   
 $F_y = 25 \text{ Mpa}$   
Mutu Baut : A325 ( $F_u = 830 \text{ Mpa}$ )  
Mutu Las : F<sub>E70XX</sub> ( $F_u = 492 \text{ Mpa}$ )  
Mutu Beton : 20 Mpa

### NAMA GAMBAR

SAMBUNGAN BALOK ANAK  
DENGAN BALOK INDUK LANTAI

### SKALA

1 : 10      STR

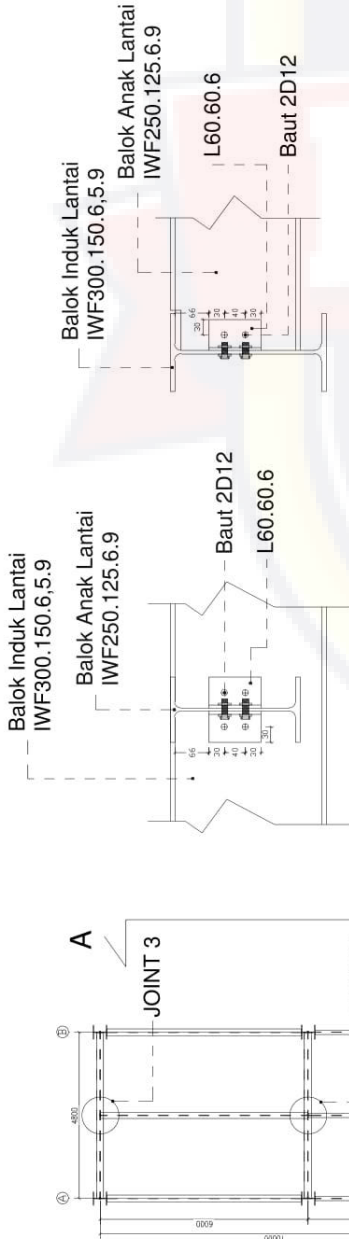
### NO. GAMBAR

TOTAL GAMBAR  
12      16

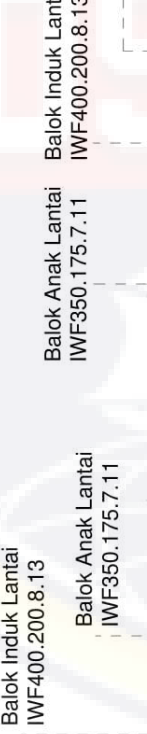
### REVISI

TANGGAL

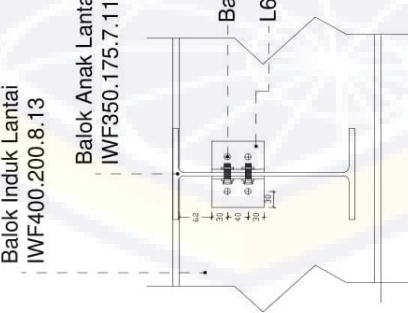
### CATATAN



Potongan A-A Joint 1  
Skala 1 : 10

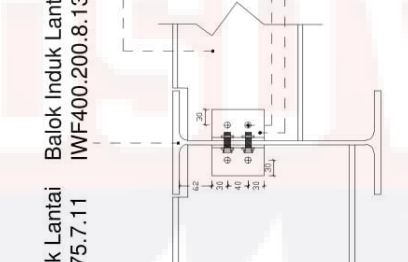


Potongan B-B Joint 1  
Skala 1 : 10

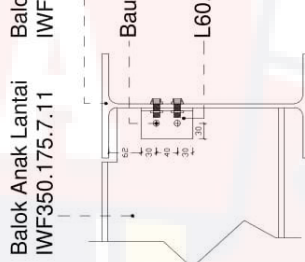


Detailed Drawing  
Skala 1 : 150

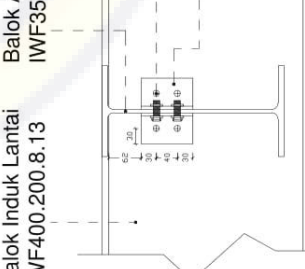
Potongan A-A Joint 2A  
Skala 1 : 10



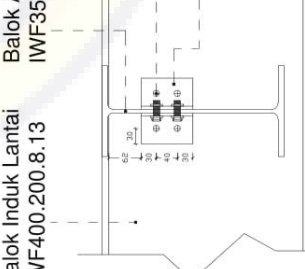
Potongan B-B Joint 2A  
Skala 1 : 10



Potongan A-A Joint 2B  
Skala 1 : 10



Potongan B-B Joint 2B  
Skala 1 : 10



Potongan A-A Joint 3  
Skala 1 : 10

Potongan B-B Joint 3  
Skala 1 : 10

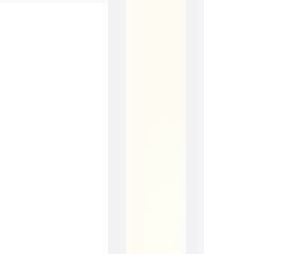
Potongan A-A Joint 2A  
Skala 1 : 10



Potongan B-B Joint 2A  
Skala 1 : 10



Potongan A-A Joint 2B  
Skala 1 : 10



Potongan B-B Joint 2B  
Skala 1 : 10





**PRODI TEKNIK SIPIL  
FAKULTAS TEKNIK  
UNIVERSITAS BOSOWA**

JUDUL TUGAS AKHIR

PERHITUNGAN SUPER STRUKTUR  
RENCANA GEDUNG KULIAH  
FAKULTAS KEDOKTERAN  
UNIVERSITAS BOSOWA DENGAN  
METODE BERBASIS KINERJA

DOSEN PEMBIMBING

Ir. ARMAN SETIAWAN, ST., MT.  
Ir. EKA YUNIARTO, ST., MT.

MAHASISWA

ASRIADI

KETERANGAN

Material Pofil: BJ 41  
Mutu Baja :  $F_u = 41 \text{ Mpa}$

Mutu Baut	:A325 (F <sub>u</sub> = 830 Mpa)
Mutu Las	:F <sub>E70XX</sub> (F <sub>u</sub> = 492 Mpa)
Mutu Beton	:20 Mpa

NAMA GAMBAR

AMBUNGAN BALOK INDUK  
DENGAN KOLOM

**Potongan A-A Detail BI**  
Skala 1 : 15

Skala 1 : 15

**Denah Balok Induk**

Skala 1 : 150

**Detail B1**

Denah Balok Induk  
Skala 1 : 150

**Potongan B-B Detail BI**  
Skala 1 : 15

Skala 1 : 15



PRODI TEKNIK SIPIL  
FAKULTAS TEKNIK  
UNIVERSITAS BOSOWA

### JUDUL TUGAS AKHIR

PERHITUNGAN SUPER STRUKTUR  
RENCANA GEDUNG KULIAH  
FAKULTAS KEDOKTERAN  
UNIVERSITAS BOSOWA DENGAN  
METODE BERBASIS KINERJA

### DOSEN PEMBIMBING

Ir. ARMAN SETIAWAN, ST., MT.  
Ir. EKA YUNIARTO, ST., MT.

MAHASISWA

ASRIADI A

### KETERANGAN

Material Profil: BJ 41  
Mutu Baja :  $F_u = 41 \text{ MPa}$   
 $F_y = 25 \text{ MPa}$   
Mutu Baut : A325 ( $F_u = 830 \text{ MPa}$ )  
Mutu Las : F<sub>E70XX</sub> ( $F_u = 492 \text{ MPa}$ )  
Mutu Beton : 20 MPa

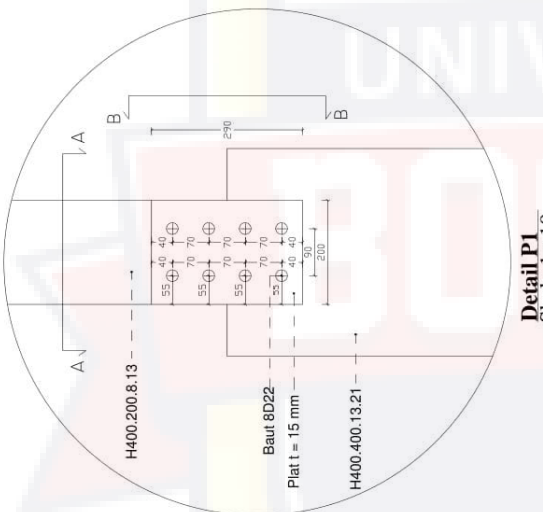
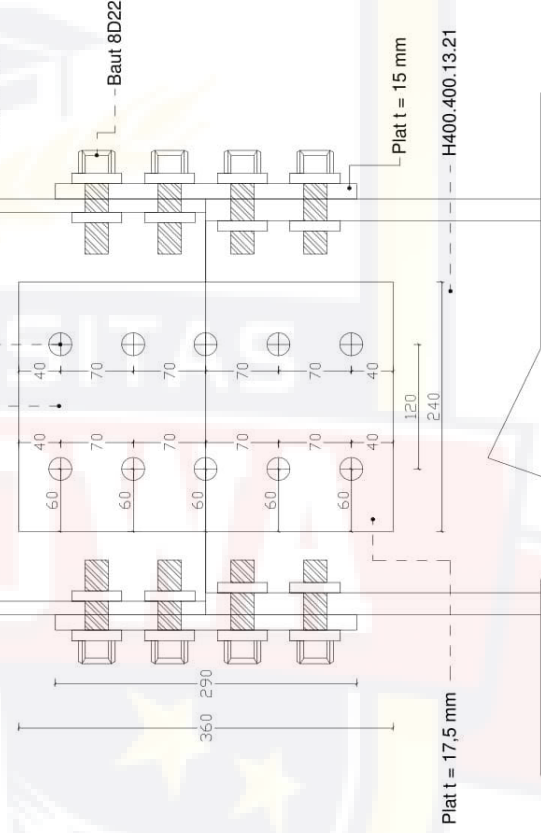
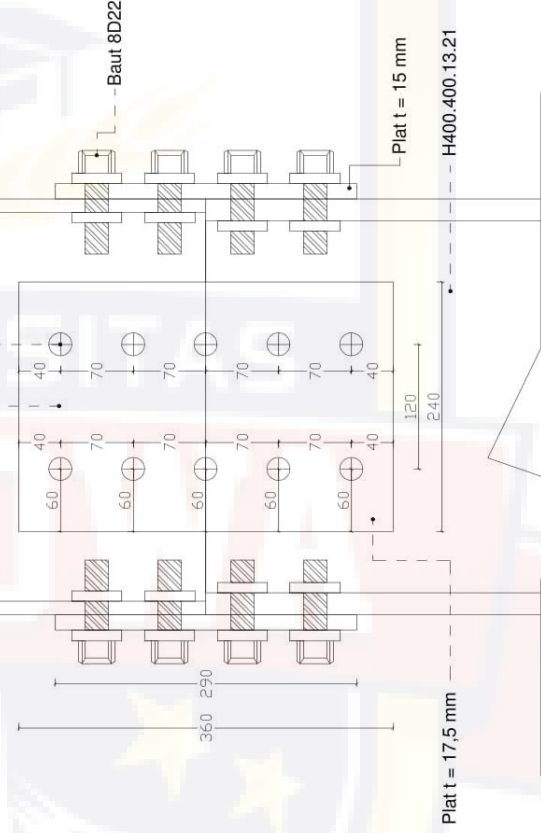
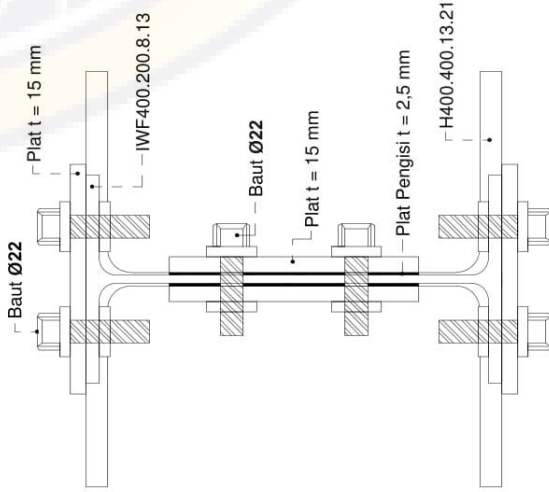
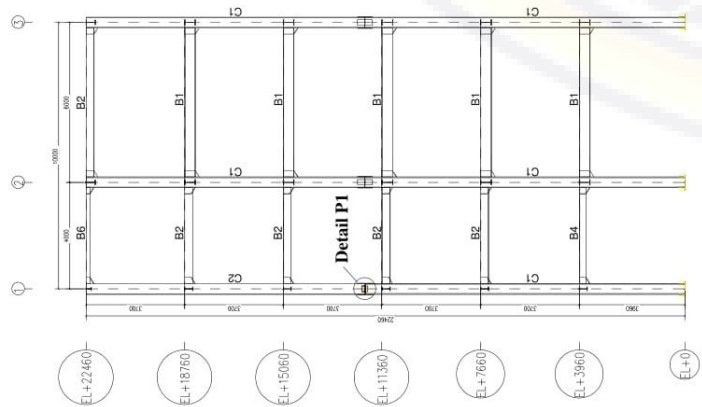
NAMA GAMBAR  
SAMBUNGAN ANTAR KOLOM  
C1 DAN C2

SKALA	KODE GAMBAR
1 : 10	STR
14	TOTAL GAMBAR
16	REVISI
	TANGGAL

CATATAN

Potongan B-B  
Skala 1 : 5

Potongan A-A  
Skala 1 : 5





PRODI TEKNIK SIPIL  
FAKULTAS TEKNIK  
UNIVERSITAS BOSOWA

### JUDUL TUGAS AKHIR

PERHIT时AN SUPER STRUKTUR  
RENCANA GEDUNG KULIAH  
FAKULTAS KEDOKTERAN  
UNIVERSITAS BOSOWA DENGAN  
METODE BERBASIS KINERJA

### DOSEN PEMBIMBING

Ir. ARMAN SETIAWAN, ST., MT.  
Ir. EKA YUNIARTO, ST., MT.

### MAHASISWA

ASRIADI A

### KETERANGAN

Material Profil: BJ 41  
Mutu Baja :  $F_u = 41 \text{ MPa}$   
 $F_y = 25 \text{ MPa}$   
Mutu Baut : A325 ( $F_u = 830 \text{ MPa}$ )  
Mutu Las : F<sub>E70XX</sub> ( $F_u = 492 \text{ MPa}$ )  
Mutu Beton : 20 MPa

NAMA GAMBAR  
SAMBUINGAN ANTAR KOLOM  
C1 DAN C1

### SKALA

1 : 5      STR

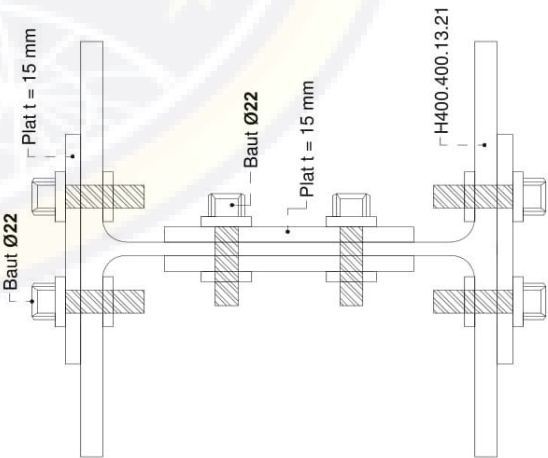
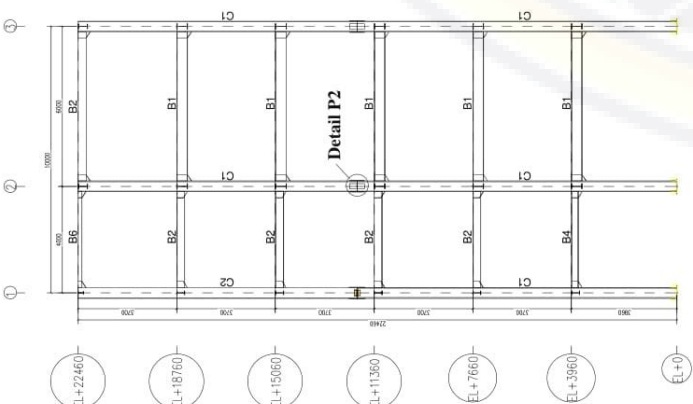
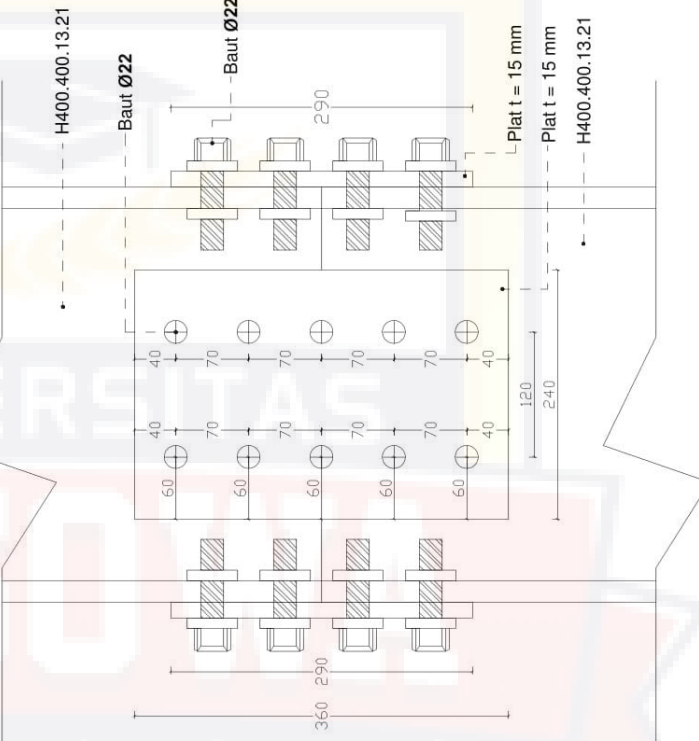
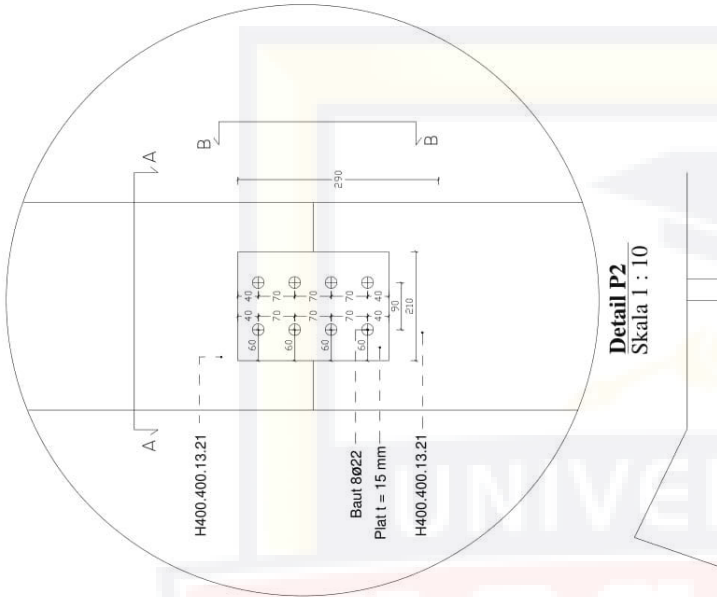
### NO. GAMBAR

TOTAL GAMBAR  
15      16

### REVISI

### TANGGAL

### CATATAN





PRODI TEKNIK SIPIL  
FAKULTAS TEKNIK  
UNIVERSITAS BOSOWA

### JUDUL TUGAS AKHIR

PERHITUNGAN SUPER STRUKTUR  
RENCANA GEDUNG KULIAH  
FAKULTAS KEDOKTERAN  
UNIVERSITAS BOSOWA DENGAN  
METODE BERBASIS KINERJA

### DOSEN PEMBIMBING

Ir. ARMAN SETIAWAN, ST., MT.  
Ir. EKA YUNIARTO, ST., MT.

### MAHASISWA

ASRIADI A

### KETERANGAN

Material Profil: B141  
Mutu Baja :  $F_u = 41$  Mpa  
 $F_y = 25$  Mpa  
Mutu Baut : A325 ( $F_u = 830$  Mpa)  
Mutu Las : F<sub>E70XX</sub> ( $F_u = 492$  Mpa)  
Mutu Beton : 20 Mpa

### NAMA GAMBAR

SAMBUNGAN BASE PLATE

SKALA A | KODE GAMBAR

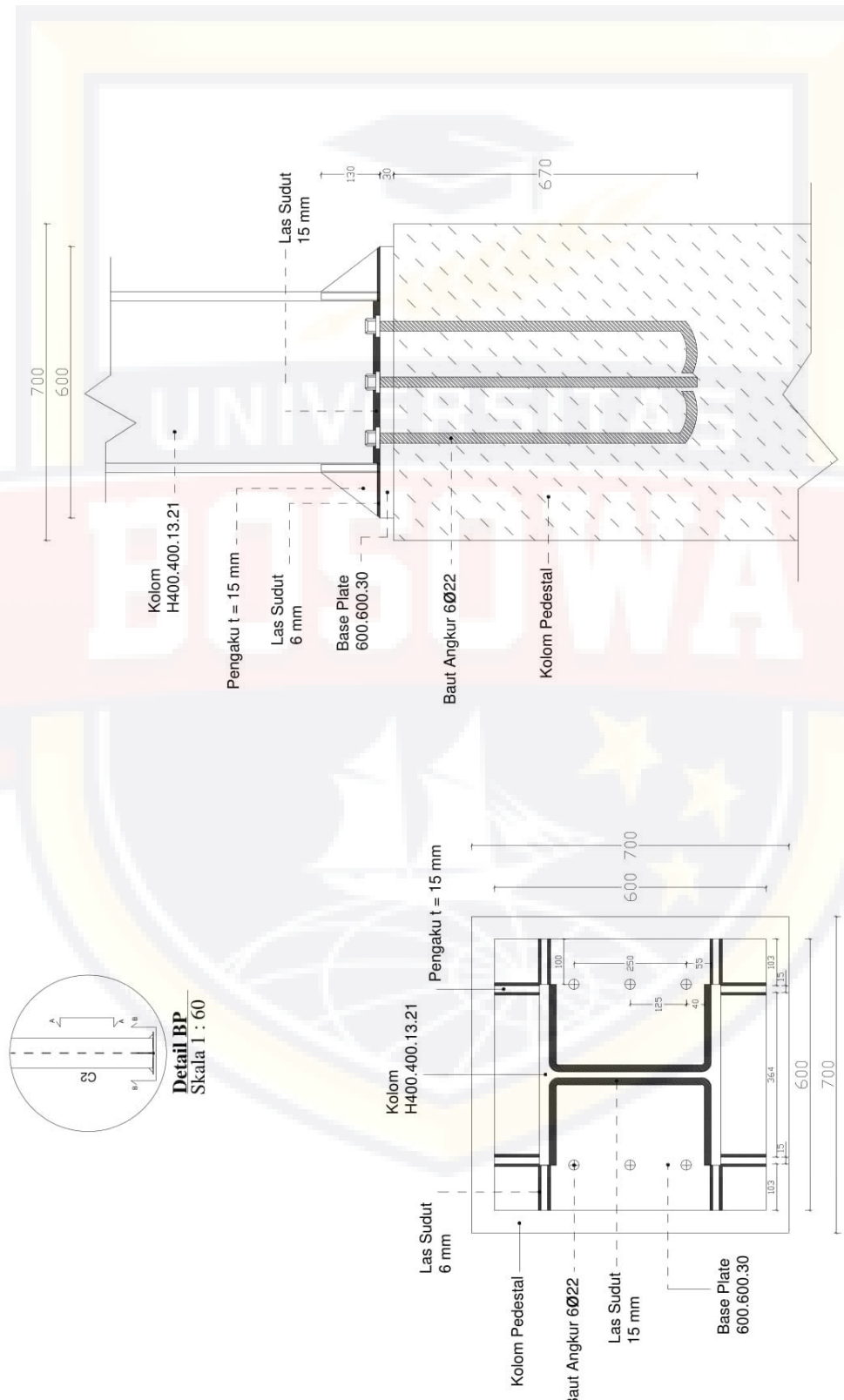
1 : 10 | STR

NO. GAMBAR | TOTAL GAMBAR

16 | 16

REVISI | TANGGAL

CATATAN



**Potongan A-A Detail BP**  
Skala 1 : 10